



STUDIUL GEOTEHNIC

PRIVIND NATURA TEREN FUNDARE

**LUCRARI DE CONSTRUIRE PARC FOTOVOLTAIC TEIUS
COMPUS DIN: PANOURI FOTOVOLTAICE, LINII
ELECTRICE SUBTERANE (LES) DE JOASA, MEDIE SI
INALTA TENSIUNE, STATIE ELECTRICA DE
TRANSFORMARE, INSTALATIE DE RACORDARE LA LEA
110 KV EXISTENTA, AMENAJARE TEREN SI DRUMURI
DE ACCES INTERIOARE/ PRIVATE, ORGANIZARE DE
SANTIER, IMPREJMUIRE TEREN, AMPLASAT PE
PARCELELE IDENTIFICATE CU N.C. 75622, 75652, 75654,
75657, 75658, PARCELE SITUATE IN INTRAVILANUL
ORASULUI TEIUS, JUD. ALBA**

TEIUȘ

BENEFICIAR : SC TEIUS SOLAR SRL

MINISTERUL LUCRĂRILOR PUBLICE, TRANSPORTURILOR ȘI LOCUINȚEI

SE ATESTĂ DOMNUL / DOAMNA

În baza certificatului nr. 06109 din 07.05.2003

VASILIU I. VIOREL - EUGEN
 nascut/a în anul 1954 luna OCTOMBRIE ziua 03
 în orașul (comuna) MIZIL
 profesie INGINER GEOLOG

1) Pentru calitatea de VERIFICATOR PROIECTE
 2) În domeniile : TOATE DOMENIILE

3) În specialitatea : —

4) Pentru următoarele cerințe : REZISTENȚA ȘI STABILITATEA
 TERENULUI DE FUNDARE A CONSTRUCȚIILOR ȘI A
 MASINELOR DE PĂNANT (A)

Valabil (vezi verso)
 Prezentul certificat a fost eliberat în baza legii nr. 10/1995. SERIA M NR. 06109

DIRECTOR GENERAL

ION STĂNESCU

Comisia nr. 15

SECRETAR DE STAT

Data eliberării 13.06.2003

Prezentul certificat va fi vizat de emitent din 5 în 5 ani
 de la data eliberării

13.06.2013	13.06.2013	13.06.2013	
MDRT	DIRECTOR	GENERAL	
13.06.2013	13.06.2013	13.06.2013	

LEGITIMATIE

REFERAT

Privind verificarea de calitate la cerința “Af”

“STUDIUL GEOTEHNIC PRIVIND LUCRARI DE CONSTRUIRE PARC FOTOVOLTAIC TEIUS COMPUS DIN: PANOURI FOTOVOLTAICE, LINII ELECTRICE SUBTERANE (LES) DE JOASA, MEDIE SI INALTA TENSIUNE, STATIE ELECTRICA DE TRANSFORMARE, INSTALATIE DE RACORDARE LA LEA 110 KV EXISTENTA, AMENAJARE TEREN SI DRUMURI DE ACCES INTERIOARE/ PRIVATE, ORGANIZARE DE SANTIER, IMPREJMUIRE TEREN, AMPLASAT PE PARCELELE IDENTIFICATE CU N.C. 75622, 75652, 75654, 75657, 75658, PARCELE SITUATE IN INTRAVILANUL ORASULUI TEIUS, JUD. ALBA”

1. DATE DE IDENTIFICARE

- Beneficiar : SC TEIUS SOLAR SRL
- Proiectant de specialitate : SC GEOLOGIC DON SRL PLOIESTI
- Amplasament : TEIUS, NC 75622,75652,75654,75657,75658, JUD. ALBA

2. CARACTERISTICI PRINCIPALE ALE STUDIULUI

Lucrarea se referă la determinarea condițiilor geomorfologice și geotehnice pentru determinarea calităților fizico-mecanice ale terenului pentru lucrări de construire parc fotovoltaic.

Lucrările de cercetare se înscriu în categoria geotehnică 1.

Pentru realizarea studiului au fost efectuate 30 foraje cu adâncimea de 4,0m, dublate de penetrări dinamice grele (PDG).

În cadrul studiului sunt prezentate condițiile geomorfologice și geologice ale zonei, cele seismice, stratificația, principalele caracteristici geotehnice ale analizelor de laborator.

Nu sunt semnalate zone de eroziuni, cu alunecări de teren și nici terenuri sensibile la umezire sau cu proprietăți contractile.

În capitolul concluzii s-a calculat presiunea convențională conform NP 112-2014, sub adâncimea de îngheț; s-a calculat de asemenea capacitatea portantă la solicitare axială pentru tevi bătute.

S-au făcut de asemenea măsurători de rezistivitate a solului, metoda Wenner.

Nivelul hidrostatic a fost întâlnit în toate forajele, fiind menționată adâncimea la descrierea litologică și în fișele forajelor.

3. DOCUMENTE PREZENTATE LA VERIFICARE

- Memoriu tehnic;
- Rapoarte încercare probe geotehnice;
- Amplasament foraje;
- Tabel interpretări PDG;
- Analize agresivitate ape;
- Fișe foraje.

4. CONCLUZII PRIVIND VERIFICAREA

Studiul geotehnic conține datele necesare întocmirii proiectului, fiind în concordanță cu NP74/2014.

În concluzie, studiul corespunde cerințelor “Af”.

Verificator atestat în domeniul Af
Dr. ing. V-E. Vasiliu

10.02.2022





STUDIUL GEOTEHNIC

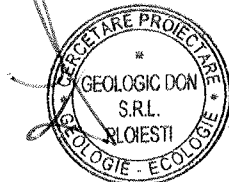
PRIVIND NATURA TEREN FUNDARE

**LUCRARI DE CONSTRUIRE PARC FOTOVOLTAIC TEIUS
COMPUS DIN: PANOURI FOTOVOLTAICE, LINII
ELECTRICE SUBTERANE (LES) DE JOASA, MEDIE SI
INALTA TENSIUNE, STATIE ELECTRICA DE
TRANSFORMARE, INSTALATIE DE RACORDARE LA LEA
110 KV EXISTENTA, AMENAJARE TEREN SI DRUMURI
DE ACCES INTERIOARE/ PRIVATE, ORGANIZARE DE
SANTIER, IMPREJMUIRE TEREN, AMPLASAT PE
PARCELELE IDENTIFICATE CU N.C. 75622, 75652, 75654,
75657, 75658, PARCELE SITUATE IN INTRAVILANUL
ORASULUI TEIUS, JUD. ALBA**

TEIUȘ

BENEFICIAR : SC TEIUS SOLAR SRL

ASS. MANAGER,
ING. IULIA LEFTER



IANUARIE 2022



STUDIUL GEOTEHNIC

PRIVIND NATURA TEREN FUNDARE

**LUCRARI DE CONSTRUIRE PARC FOTOVOLTAIC TEIUS
COMPUS DIN: PANOURI FOTOVOLTAICE, LINII ELECTRICE
SUBTERANE (LES) DE JOASA, MEDIE SI INALTA TENSIUNE,
STATIE ELECTRICA DE TRANSFORMARE, INSTALATIE DE
RACORDARE LA LEA 110 KV EXISTENTA, AMENAJARE TEREN
SI DRUMURI DE ACCES INTERIOARE/ PRIVATE, ORGANIZARE
DE SANTIER, IMPREJMUIRE TEREN, AMPLASAT PE PARCELELE
IDENTIFICATE CU N.C. 75622, 75652, 75654, 75657, 75658, PARCELE
SITUATE IN INTRAVILANUL ORASULUI TEIUS, JUD. ALBA**

INTRODUCERE

La solicitarea SC TEIUS SOLAR SRL, S.C. GEOLOGIC DON s.r.l. a efectuat un studiu geotehnic pentru CONSTRUIRE PARC FOTOVOLTAIC SOLAR TEIUS, NC 75652, 75654, 75657, 75658, 75622, JUD. ALBA. In acest scop, s-a executat o cartare geologică generală și au fost efectuate – la solicitarea beneficiarului – 30 foraje geotehnice cu sondeza mecanică GTR 790 Geotool, RKS system, OD 80-68, dublate de penetrări dinamice grele (PDG).

De asemenea, au fost efectuate măsurători de rezistivitate a solului.

Forajele au fost amplasate pe locațiile indicate de beneficiar.

Probele prelevate - netulburate - au fost analizate de laboratorul autorizat S.C. LABOR TEST SRL Ploiești, autorizatie 3015.

GEOMORFOLOGIE

Din punct de vedere geomorfologic, perimetrul investigat este situat în zonă relativ plană, de terasă a Mureșului, aparținând Podișului Secașului.

Local, arealul cercetat nu este afectat de fenomene de eroziune sau alunecări de teren.

GEOLOGIE

Depozitele ce apar in zona perimetrului apartin Cuaternarului, mai precis Holocenului.

Holocenul inferior cuprinde depozitele de terasă, constituite din aluviuni grosiere si sedimente mai fine, care le accoperă, totalizând grosimi de 10-20m. Aluviunile sunt reprezentate prin pietrisuri, bolovănișuri și nisipuri iar sedimentele care le acoperă sunt formate din nisipuri prăfoase, prafuri, prafuri argiloase sau chiar argile nisipoase-prăfoase.

Holocenul superior grupează aluviunile recente ale luncilor, reprezentate prin pietrișuri și nisipuri, cu grosimi de 2-20m.

DATE SEISMICE

Conform Codului de proiectare seismica – prevederi de proiectare pentru clădiri, Indicativ P100/1-2013, hazardul seismic pentru proiectare este caracterizat de valoarea de vârf a accelerației orizontale a_g determinată pentru intervalul mediu de recurență $IMR = 225$ ani (20% probabilitate de depășire în 50 ani), corespunzător stării limită ultime, valoare numită “accelerație pentru proiectare” iar condițiile locale de teren sunt date prin valoarea perioadei de control (colț) T_c a spectrului de răspuns și reprezintă granița dintre zona (palierul) de valori maxime în spectrul de accelerații absolute și zona (palierul) de valori maxime în spectrul de viteze relative.

Din zonarea teritoriului României în termeni de perioada de control (colț) a spectrului de răspuns, $T_c = 0,7s$, iar după zonarea în termeni de valori de vârf ale accelerației terenului de proiectare $a_g = 0,10g$.

ADÂNCIMEA DE ÎNGHEȚ

Conform STAS 6054-77, Zonarea după adâncimea de îngheț, perimetrul prezintă adâncimea de îngheț este de 80-90 cm.

LITOLOGIA

În urma efectuării forajelor geotehnice și a interpretării rezultatelor analizelor de laborator, s-a stabilit următoarea succesiune litologică a depozitelor existente pe locație:

F.G. 1

N 46° 13' 19,91"
E 23° 41' 41,17"

- 0,00 – 0,20m = sol vegetal;
0,20 – 0,80m = orizont tranziție;
0,80 – 1,70m = nisip prăfos de culoare galben-cafenie, vine calcaroase,
îndesare medie ;
1,70 – 4,00m = pietriș poligen cu masă de legătură din nisip mare de culoare galbenă.

NH = -1,40m

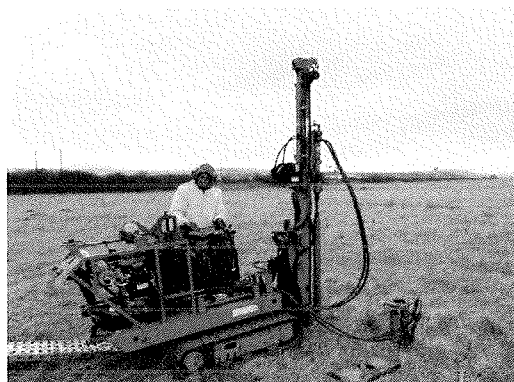


FOTO LOCATIE

F.G. 2

N 46° 13' 19,95"
E 23° 41' 47,65"

- 0,00 – 0,20m = sol vegetal;
0,20 – 0,80m = orizont tranziție;
0,80 – 1,90m = praf nisipos de culoare cafenie, vine calcaroase, plasticitate
medie, plastic vârtos;
1,90 – 4,00m = pietriș poligen cu masă de legătură din nisip mare de culoare cafenie.

NH = -2,00m

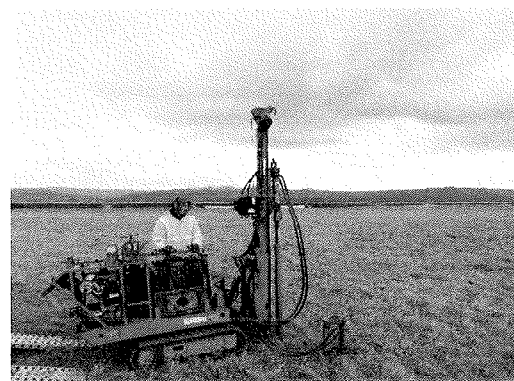


FOTO LOCATIE

F.G. 3N 46° 13' 20,00"
E 23° 41' 53,00"

0,00 – 0,20m = sol vegetal;
0,20 – 0,80m = orizont tranziție;
0,80 – 2,20m = nisip prăfos de culoare cafenie, vine calcaroase,
îndesare medie ;
2,20 – 4,00m = pietriș poligen cu masă de legătură din nisip mare de culoare
cafenie.

NH = -2,40m



FOTO LOCATIE

F.G. 4N 46° 13' 16,96"
E 23° 41' 43,95"

0,00 – 0,20m = sol vegetal;
0,20 – 0,80m = orizont tranziție;
0,80 – 2,00m = praf de culoare cafenie, vine calcaroase, plasticitate
medie, plastic vârtos;
2,00 – 4,00m = pietriș poligen cu masă de legătură din nisip mare de culoare cafenie.

NH = -1,75m



FOTO LOCATIE

F.G. 5N 46° 13' 17,05"
E 23° 41' 51,94"

0,00 – 0,20m = sol vegetal;
0,20 – 0,80m = orizont tranziție;
0,80 – 1,80m = nisip prăfos de culoare cafenie, vine calcaroase, plasticitate medie, plastic vârtos;
1,80 – 4,00m = pietriș poligen cu masă de legătură din nisip mare de culoare cafenie.

NH = -2,00m

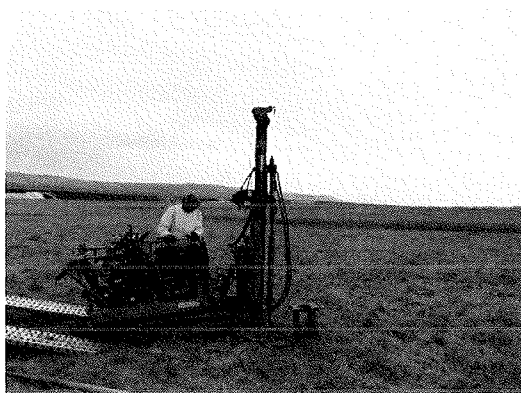


FOTO LOCATIE

F.G. 6N 46° 13' 14,07"
E 23° 41' 53,73"

0,00 – 0,20m = sol vegetal;
0,20 – 0,80m = orizont tranziție;
0,80 – 3,50m = praf de culoare cafenie, vine calcaroase, plasticitate medie, plastic vârtos;
3,50 – 4,00m = pietriș poligen cu masă de legătură din nisip fin de culoare cafenie.

NH = -3,50m

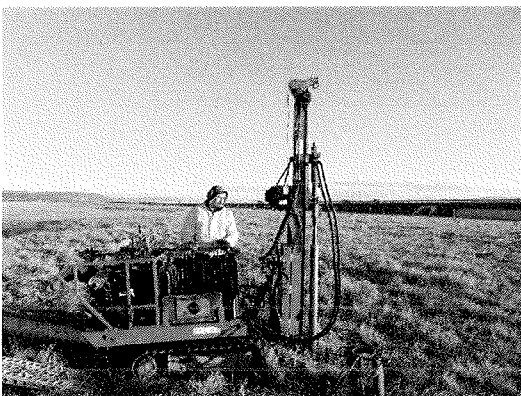


FOTO LOCATIE

F.G. 7N 46° 13' 13,98"
E 23° 41' 45,49"

0,00 – 0,20m = sol vegetal;
0,20 – 0,80m = orizont tranziție;
0,80 – 3,20m = argila prăfoasă de culoare cafenie, vine cenușii, plasticitate medie, plastic vârtoasă;
3,20 – 4,00m = pietriș poligen cu masă de legătură din nisip prăfos de culoare cafenie.

NH = -1,30m

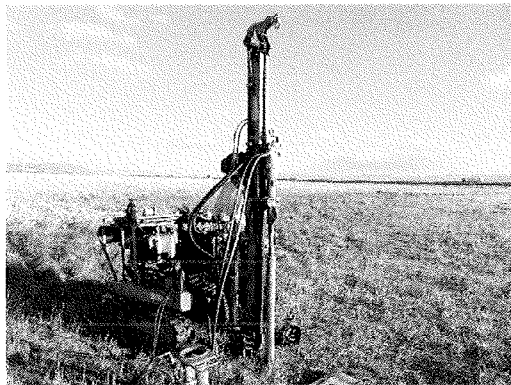


FOTO LOCATIE

F.G. 8N 46° 13' 10,12"
E 23° 41' 52,86"

0,00 – 0,20m = sol vegetal;
0,20 – 1,60m = material de umplură eterogen, necompactat controlat;
1,60 – 3,00m = pietriș poligen cu masă de umplură din nisip grosier de culoare cafenie ;
3,00 – 4,00m = pietriș poligen cu masă de legătură din nisip mediu de culoare cafenie.

NH = -3,0m

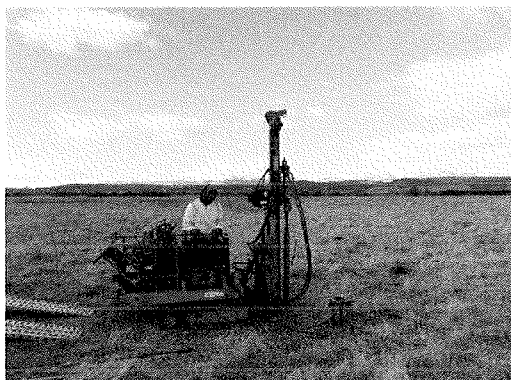


FOTO LOCATIE

F.G. 9N 46° 13' 08,94"
E 23° 41' 41,29"

0,00 – 0,20m = sol vegetal;
0,20 – 0,80m = orizont tranziție;
0,80 – 2,00m = nisip prăfos de culoare cafenie, vine ruginii,
îndesare medie ;
2,00 – 4,00m = pietriș poligen cu masă de legătură din nisip mediu de culoare
cafenie.

NH = -0,90m

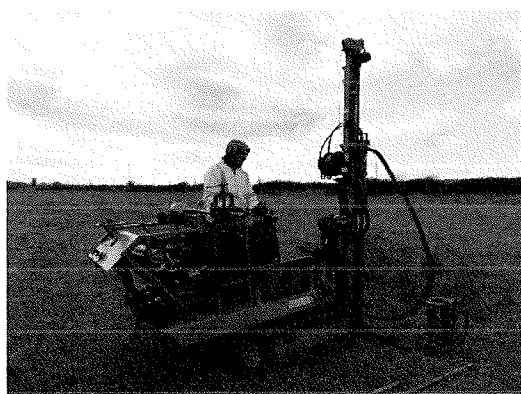


FOTO LOCATIE

F.G. 10N 46° 13' 04,77"
E 23° 41' 40,26"

0,00 – 0,20m = sol vegetal;
0,20 – 0,80m = orizont tranziție;
0,80 – 1,70m = nisip mediu de culoare cafenie, pietriș < 5%, îndesare medie ;
1,70 – 4,00m = pietriș poligen cu masă de legătură din nisip mediu
de culoare cafenie.

NH = -1,0m



FOTO LOCATIE

F.G. 11N 46° 13' 04,88"
E 23° 41' 48,04"

0,00 – 0,20m = sol vegetal;
0,20 – 0,80m = orizont tranziție;
0,80 – 2,00m = nisip prăfos de culoare cafenie, vine ruginii,
îndesare medie ;
2,00 – 4,00m = pietriș poligen cu masă de legătură din nisip mare de culoare
cafenie.

NH = -1,10m

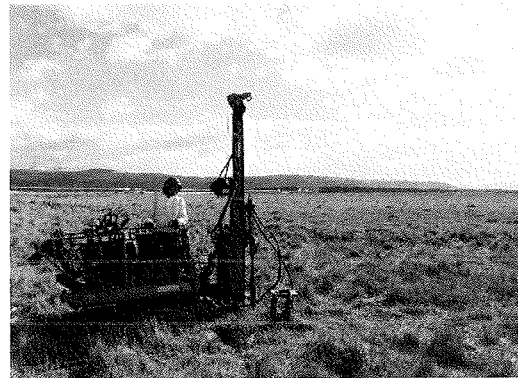


FOTO LOCATIE

F.G. 12N 46° 13' 04,20"
E 23° 41' 42,96"

0,00 – 0,20m = sol vegetal;
0,20 – 0,80m = orizont tranziție;
0,80 – 2,50m = nisip mare de culoare cafenie, vine ruginii, îndesare medie ;
2,50 – 4,00m = pietriș poligen cu masă de legătură din nisip mare de culoare cafenie.

NH = -1,10m



FOTO LOCATIE

F.G. 13N 46° 13' 01,89"
E 23° 41' 52,71"

0,00 – 0,20m = sol vegetal;
0,20 – 0,80m = orizont tranziție;
0,80 – 2,30m = nisip prăfos de culoare cafenie, vine calcaroase,
afânat ;
2,30 – 4,00m = pietriș poligen cu masă de legătură din nisip mare de culoare
cafenie.

NH = -2,0m



FOTO LOCATIE

F.G. 14N 46° 12' 58,83"
E 23° 41' 39,16"

0,00 – 0,20m = sol vegetal;
0,20 – 0,90m = material umplută, eterogen, necompactat controlat;
0,90 – 3,00m = praf argilos de culoare cafenie, vine cenușii, plasticitate
medie, plastic vârtos;
3,00 – 4,00m = pietriș poligen cu masă de legătură din praf nisipos mare de
culoare cafenie.

NH = -0,80m

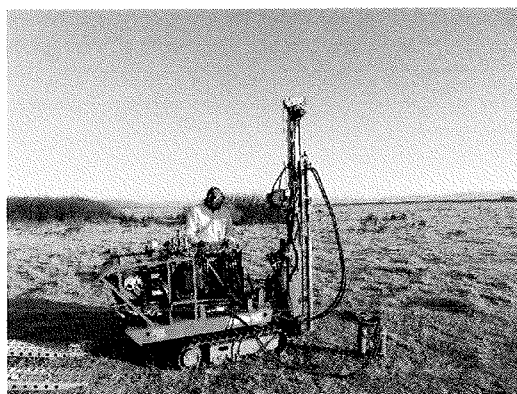


FOTO LOCATIE

F.G. 15N 46° 12' 58,91"
E 23° 41' 48,42"

0,00 – 0,20m = sol vegetal;
0,20 – 0,80m = orizont tranziție;
0,80 – 3,20m = praf argilos de culoare cafenie, vine calcaroase, plasticitate medie, plastic vârtos ;
3,20 – 4,00m = pietriș poligen cu masă de legătură din nisip mediu de culoare cafenie.

NH = -1,00m

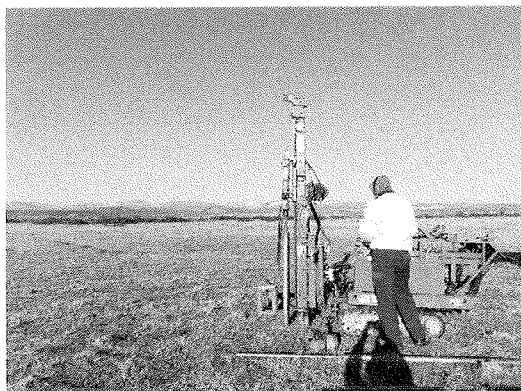


FOTO LOCATIE

F.G. 16N 46° 12' 54,83"
E 23° 41' 40,49"

0,00 – 0,20m = sol vegetal;
0,20 – 1,20m = material de umplură eterogen, necompactat controlat;
1,20 – 2,20m = praf nisipos de culoare cafenie, vine calcaroase, plasticitate medie, plastic vârtos;
2,20 – 4,00m = pietriș poligen cu masă de legătură din nisip mare de culoare cafenie.

NH = -0,90m



FOTO LOCATIE

F.G. 17N 46° 12' 54,93"
E 23° 41' 47,42"

0,00 – 0,20m = sol vegetal;
0,20 – 1,00m = material de umplură terigen, necompactat controlat;
1,00 – 2,50m = praf de culoare cafenie, vine calcaroase, plasticitate medie, plastic vârtos;
2,50 – 4,00m = pietriș poligen cu masă de legătură din nisip mare de culoare cafenie.

NH = -1,10m



FOTO LOCATIE

F.G. 18N 46° 12' 54,99"
E 23° 41' 56,23"

0,00 – 0,90m = material de umplură terigen, necompactat controlat;
0,90 – 2,50m = nisip fin și mediu de culoare cafenie, vine calcaroase, îndesare medie;
2,50 – 4,00m = pietriș poligen cu masă de legătură din nisip mediu de culoare cafenie.

NH = -1,70m



FOTO LOCATIE

F.G. 19N 46° 12' 49,65"
E 23° 41' 51,90"

0,00 – 0,20m = sol vegetal;
0,20 – 1,50m = material de umplură terigen, necompactat;
1,50 – 2,70m = nisip argilos de culoare cafenie, vine calcaroase,
plasticitate medie, vârtos ;
2,70 – 4,00m = pietriș poligen cu masă de legătură din nisip mediu de culoare
cafenie.

NH = -3,50m



FOTO LOCATIE

F.G. 20N 46° 12' 47,16"
E 23° 41' 43,97"

0,00 – 0,20m = sol vegetal;
0,20 – 0,90m = material de umplură terigen, necompactat;
0,90 – 2,50m = nisip prăfos de culoare cafenie, vine calcaroase, îndesare
medie;
2,50 – 4,00m = pietriș poligen cu masă de legătură din nisip mediu de culoare cafenie.

NH = -0,60m

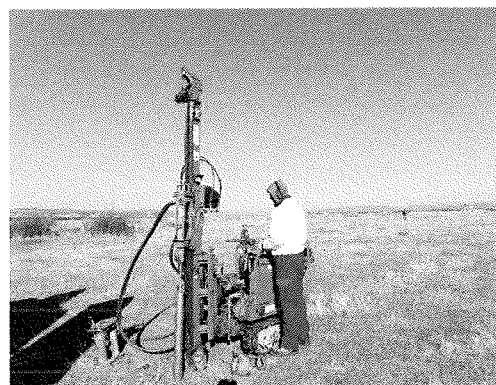


FOTO LOCATIE

F.G. 21N 46° 12' 45,03"
E 23° 41' 34,72"

0,00 – 0,20m = sol vegetal;
0,20 – 0,90m = material de umplură heterogen, necompactat (argila, caramizi);
0,90 – 2,40m = nisip prăfos de culoare cafenie, vine calcaroase,
îndesare medie ;
2,40 – 4,00m = nisip mediu cu pietriș poligen .

NH = -0,55m

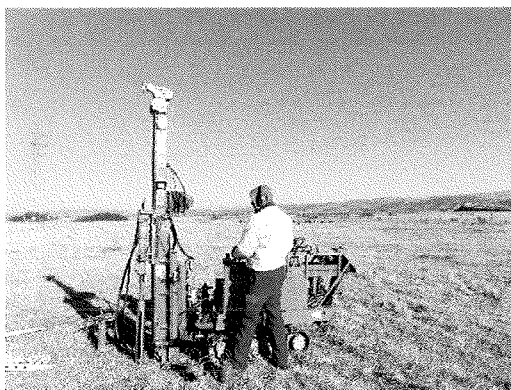


FOTO LOCATIE

F.G. 22N 46° 13' 14,26"
E 23° 42' 11,80"

0,00 – 0,20m = sol vegetal;
0,20 – 0,80m = orizont tranziție;
0,80 – 3,00m = praf argilos de culoare cafenie, vine calcaroase, plasticitate
medie, vârtos;
3,00 – 4,00m = pietriș poligen cu masă de legătură din nisip fin de culoare cafenie.

NH = -2,50m



FOTO LOCATIE

F.G. 23N 46° 13' 14,15"
E 23° 42' 04,22"

0,00 – 0,20m = sol vegetal;
0,20 – 0,80m = orizont tranzitie;
0,80 – 3,20m = nisip prăfos de culoare cafenie, vine calcaroase,
plasticitate medie, vârtos ;
3,20 – 4,00m = pietriș poligen cu masă de legătură din nisip mediu de culoare
cenușie.

NH = -3,00m

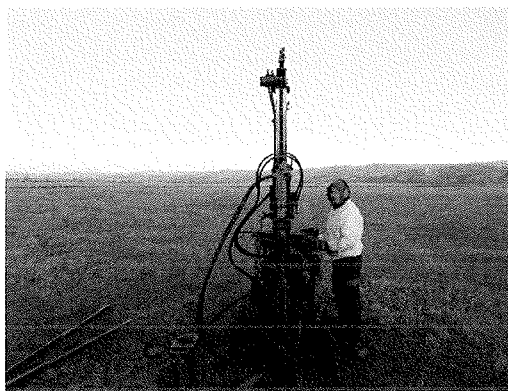


FOTO LOCATIE

F.G. 24N 46° 13' 10,28"
E 23° 42' 07,71"

0,00 – 0,20m = sol vegetal;
0,20 – 0,80m = orizont tranzitie;
0,80 – 3,00m = nisip argilos de culoare cafenie, vine calcaroase, plasticitate
medie, vârtos ;
3,00 – 4,00m = pietriș poligen cu masă de legătură din nisip fin de culoare cafenie.

NH = -2,50m



FOTO LOCATIE

F.G. 25N 46° 13' 10,33"
E 23° 42' 18,17"

0,00 – 0,20m = sol vegetal;
0,20 – 0,80m = orizont tranzitie;
0,80 – 3,20m = nisip argilos de culoare cafenie, vine calcaroase,
plasticitate mare, consistent ;
3,20 – 4,00m = pietriș poligen cu masă de legătură din nisip fin de culoare
cafenie.

NH = -2,30m

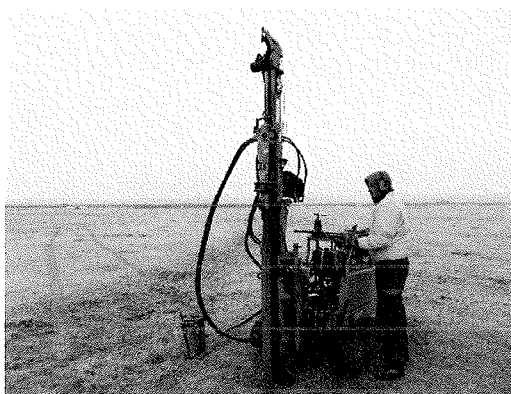


FOTO LOCATIE

F.G. 26N 46° 13' 05,16"
E 23° 42' 19,46"

0,00 – 0,20m = sol vegetal;
0,20 – 0,80m = orizont tranzitie;
0,80 – 1,70m = nisip prăfos de culoare galben-cafenie, vine calcaroase, îndesare
medie;
1,70 – 4,00m = nisip mediu de culoare cafenie-negricioasă.

NH = -2,60m

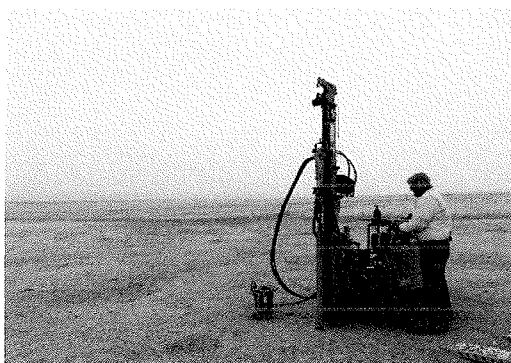


FOTO LOCATIE

F.G. 27N 46° 13' 05,13"
E 23° 42' 12,63"

0,00 – 0,20m = sol vegetal;
0,20 – 0,80m = orizont tranzitie;
0,80 – 2,00m = praf nisipos argilos de culoare cafenie, vine calcaroase,
plasticitate medie, consistent ;
2,00 – 4,00m = nisip mediu de culoare cafenie cu pietriș < 45%.

NH = -2,50m

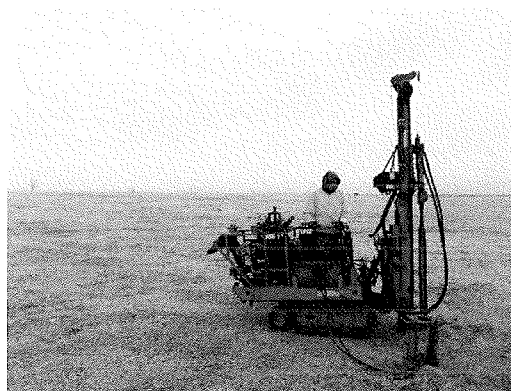


FOTO LOCATIE

F.G. 28N 46° 13' 05,05"
E 23° 42' 04,85"

0,00 – 0,20m = sol vegetal;
0,20 – 0,80m = orizont tranzitie;
0,80 – 1,80m = praf de culoare cafenie, vine cenușii, plasticitate medie,
plastic moale ;
1,80 – 4,00m = nisip mediu de culoare cafenie, **afânat**.

NH = -1,50m

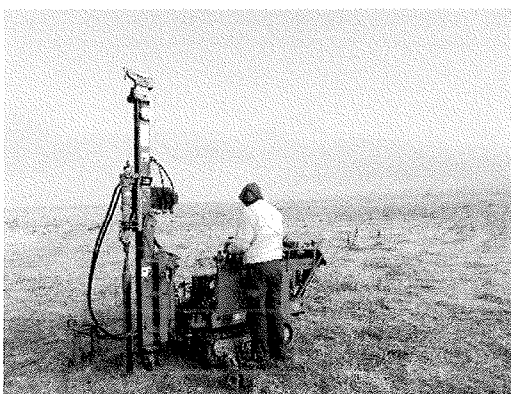


FOTO LOCATIE

F.G. 29N 46° 13' 01,72"
E 23° 42' 18,03"

0,00 – 0,20m = sol vegetal;
0,20 – 0,80m = orizont tranzitie;
0,80 – 2,00m = nisip prăfos de culoare cafenie, vine calcaroase,
îndesare medie ;
2,00 – 4,00m = pietriș poligen cu masă de legătură din nisip fin de culoare
cenușie.

NH = -2,50m



FOTO LOCATIE

F.G. 30N 46° 13' 01,12"
E 23° 42' 10,77"

0,00 – 1,00m = material de umplură terigen, necompactat;
1,00 – 1,70m = praf nisipos argilos de culoare cafenie, vine calcaroase,
plasticitate mare, vârtos ;
1,70 – 4,00m = nisip mare de culoare cafenie, pietriș < 20%.

NH = -1,70m



FOTO LOCATIE



CONCLUZII

Din punct de vedere geomorfologic, perimetrul construcției este localizat în zonă relativ plană, aparținând Podișului Secașelor; local nu se manifestă alunecări de teren sau procese erozionale.

Geologic, arealul considerat este situat pe depozite cuaternare, constituite superior din depozite loessoide si in baza din sedimente aluvionare de terasă .

Forajele executate au semnalat existența unor depozite loessoide constituite din prafuri nisipoase, nisipuri prafoase-argiloase, care stau pe pietrișuri sau nisipuri.

Rezultatele analizelor geotehnice (limite Atterberg, granulometrie, greutate volumetrică, etc.), sunt prezentate în fișa anexă ce are și o coloană litologică sintetică.

Au fost calculați parametrii derivați : indicele porilor, porozitate, indicele de plasticitate, indicele de consistență.

Caracteristici fizico-mecanice ale terenului de fundare

Caracteristica fizico-mecanica	Simbol	Unitate de masura	Minim	Maxim
Umiditate	w	%	2,1	27,2
Limita curgere	w _L	%	31	46
Limita framantare	w _p	%	14	17
Indice plasticitate	I _p	%	16	28
Indice consistenta	I _c	-	0,55	1,0
Argila	d 1	%	-	33
Praf	d 2	%	-	63
Nisip	d 3	%	14	100
Pietriș	d 4	%	-	79
Greutate volumica naturala	γ	kN/m ³	17,61	22,74
Greutate volumica uscata	γ _d	kN/m ³	14,03	20,98
Porozitate	n	%	20	47
Indice de porozitate	e	-	0,26	0,98
Grad de umiditate (saturatie)	S _r	-	0,18	0,99

Este anexat de asemeni buletinul de analiză al laboratorului.

Nivelul freatic a fost întâlnit în toate forajele, la adâncimi cuprinse între -0,55m și -3,5m; conform SR EN 206-1, apa nu prezintă agresivitate pentru betoane de ciment.



Penetrările dinamice efectuate (PDG), cu rezultatele anexate, arată câteva zone cu teren slab, cu calități fizico-mecanice reduse (F6, F7, F14, F30).

Capacitatea portantă a fost calculată conform NP 112-2014 : Normativ privind proiectarea fundațiilor de suprafață, pentru o fundație cu lățimea de 1m, la adâncimea de fundare de -1,0m, respectiv -2,0m, sub adâncimea de îngheț.

$$P_{\text{conv. 1,00m}} = 150 \text{ kPa}$$

$$P_{\text{conv. 2,00m}} = 200 \text{ kPa}$$

În conformitate cu prevederile NP 112-2014, la calculul preliminar sau definitiv al terenului de fundare pe baza presiunilor convenționale trebuie să se respecte condițiile:

- la încărcări centrice

$$p_{\text{ef}} \leq p_{\text{conv}} \text{ și } p'_{\text{ef}} \leq 1,2 p_{\text{conv}}$$

- la încărcări cu:

- excentricități după o singură direcție

$$p_{\text{ef max}} \leq 1,2 p_{\text{conv}} \text{ în gruparea fundamentală}$$

$$p'_{\text{ef max}} \leq 1,4 p_{\text{conv}} \text{ în gruparea specială}$$

- excentricități după ambele direcții

$$p_{\text{ef max}} \leq 1,4 p_{\text{conv}} \text{ în gruparea fundamentală}$$

$$p'_{\text{ef max}} \leq 1,6 p_{\text{conv}} \text{ în gruparea specială}$$

Coeficientul de pat, K_s , conform NP 112-04:

$$K_{s1,0m} = 40.000 \text{ kN/m}^3$$

Calcul pentru tevi batute la -3,5m.

S-a ales pentru un calcul estimativ o țevă bătută cu diametrul de 0,20m iar adâncimea a fost aleasă astfel încât majoritatea țevelor să fie încastrate în pietriș.

Având în vedere faptul că roca de bază este o rocă competentă, și că litologia în zona superficială este foarte diferită, s-a considerat că piloții sunt purtători pe vârf. În acest caz,

$$R_{c,d} = R_{b,d} = R_{b,k} / \gamma_b$$

unde:

$R_{b,k}$ = valoarea caracteristică a rezistenței pe bază a pilotului

γ_b = coeficient parțial pentru rezistența pe bază a pilotului: $\gamma_b = 1,0$



$$R_{b,k} = A_b q_{b,k}$$

A_b = suprafata bazei pilotului;

$q_{b,k}$ = valoarea caracteristica a presiunii pe baza;

$$A_b = \pi d^2 / 4$$

$q_{b,k}$ = conform Tabel 4, NP 123/2010

1. Pentru

F1,F2,F3,F4,F9,F10,F11,F12,F15,F16,F18,F19,F21,F23,F25,F27,F29

$$R_{c,d} = 238 \text{ kN}$$

2. Pentru

F5,F6,F7,F8,F13,F14,F17,F20,F22,F24,F26,F28,F30

$$R_{c,d} = 91 \text{ kN}$$

Este recomandabil să se facă teste în teren de smulgere și de cedare la aplicare de forte orizontale pentru a se observa comportarea țevelor la acest tip de eforturi.

MASURATORI GEOFIZICE PENTRU DETERMINARI DE REZISTIVITATE APARENTA A SOLULUI

Masuratorile geoelectrice amplasate pe locatiile turbinelor au fost efectuate cu un dispozitiv de masura cuadripolar simetric AMNB, de tip Wenner. Caracteristic acestui dispozitiv este faptul ca lungimea liniei de curent AB, este un multiplu intreg al lungimii liniei de potential MN.

In acest fel, s-au executat masuratori electrometrice pe directii perpendiculare (E-W și N-S) amplasate si centrate in teren pe locatia unde a fost efectuat forajul; valorile R au fost obtinute prin medierea rezultatelor masuratorilor pe cele doua directii

Masuratorile au fost efectuate cu un aparat GEOHM 33D, cu generator inductor incorporat, productie Gossen - Germania.

Au fost efectuate teste pentru adâncimi de 2m și 3m.

Formula de calcul simplificată utilizată este :

$$\rho = 2\pi aR \text{ } [\Omega m]$$



NR.CRT	FORAJ NR.	ADANCIME/VALOARE REZISTIVITATE (Ωm)	
		2 m	3 m
1	F 2	32	36
2	F 7	26	25
3	F 8	124	128
4	F 10	29	34
5	F 13	29	28
6	F 16	15	17
7	F 19	32	36
8	F 23	12	14
9	F 25	13	16
10	F 29	13	22

La dimensionarea prizelor de pământ, trebuie ținut cont de faptul că în perioada de efectuare a măsurătorilor pământul era relativ uscat. În perioadele ploioase, pătura superficială (cel puțin pentru prima adâncime) putând fi umectată, poate conduce la o scădere a rezistivității.

Pe baza datelor geotehnice, a elementelor geologice, hidrogeologice, seismice și a celor referitoare la antecedentele amplasamentului obținute în urma cercetării geotehnice (recunoaștere geotehnică, prospectare și rezultatele încercărilor de laborator), încadrarea geotehnică este:

Risc geotehnic = Redus

Categoria geotehnică = 1

FACTOR		PUNCTAJ
Condiții teren	Teren mediu	3
Apă subterană	Fără epuismențe	1
Clasif. construcției	Normală	3
Vecinătăți	Fără riscuri	1
Zona seismică	0,10	1
Risc geotehnic		9

Studiul geotehnic are aceeași semnificație cu „Raport privind investigarea terenului”, care se întocmește conform SR EN 1997-2.

Studiul geotehnic a fost întocmit respectând indicațiile **Normativ NP 074/2014**.

Prezentul studiu este valabil numai pentru perimetrul de teren descris mai sus, orice altă modificare de amplasament impunând efectuarea unui nou studiu geotehnic.

Intocmit de
Ing. M.C. Stefan



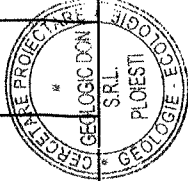
REFERINTE TEHNICE ȘI LEGISLATIVE

- NP 074-2014 : Normativ privind documentațiile geotehnice pentru construcții.
- NP 112-2014 : Normativ privind proiectarea fundațiilor de suprafață;
- NP 120-2014 : Normativ privind cerințele de proiectare, execuție și monitorizare a
excavațiilor adânci în zone urbane;
- NP 123-2010 : Normativ privind proiectarea geotehnica a fundațiilor pe piloți;
- NP 124-2010 : Normativ privind proiectarea geotehnică a lucrărilor de susținere;
- NP 125-2010 : Normativ privind fundarea construcțiilor pe pământuri sensibile la
- NP 126-2010 : Normativ privind fundarea construcțiilor pe pământuri cu umflări și
contractii mari.
- HG 766/1997 : Aprobarea unor regulamente privind calitatea în construcții, cu
modificările și completările ulterioare.
- NP 120-2013 : Normativ privind cerințele de proiectare, execuție și monitorizare a
excavațiilor adânci în zone urbane.
- SR EN 1997-1: 2004 Eurocod 7 : Proiectare geotehnică, Partea 1: Reguli generale.
- SR EN 1997-1: 2007 Eurocod 7 : Proiectare geotehnică, Partea 1: Reguli generale.
Anexa națională
- SR EN ISO 22475-1: 2007 Eurocod 7 : Investigații și încercări geotehnice. Metode de
prelevare și măsurări ale apei subterane. Partea 1: Principii tehnice
pentru execuție.
- SR CEN ISO/TS 22475-3: 2009 Eurocod 7 : Investigații și încercări geotehnice. Metode.
- STAS 3300/1-85 : Teren de fundare. Principii generale de calcul.
- STAS 3300/2-85 : Teren de fundare. Calculul terenului de fundare în cazul fundării
directe.
- STAS 1242/3-87 : Teren de fundare. Cercetarea prin sondaje deschise executate în
pământuri.
- STAS 1242/4-85 : Teren de fundare. Cercetări geotehnice prin foraje executate în
pământuri.
- SR EN ISO 14688-1: 2004 : Cercetări și încercări geotehnice. Identificarea și
clasificarea pământurilor. Partea 1 : Identificare și descriere.
- SR EN ISO 14688-2: 2006 : Cercetări și încercări geotehnice. Identificarea și
clasificarea pământurilor. Partea 2 : Principii pentru o clasificare.
- SR EN ISO 22476-2: 2006 : Cercetări și încercări geotehnice. Incercări pe teren.
Partea 2 : Incercarea de penetrare dinamică.
- SR EN ISO 22476-3: 2006 : Cercetări și încercări geotehnice. Incercări pe teren.
Partea 2 : Incercarea de penetrare standard.
- SR EN 1997-2: 2007 Eurocod 7 : Proiectare geotehnică, Partea 2: Investigarea și
cercetarea terenului.
- SR EN 1997-2: 2007/NB:2009 Eurocod 7 : Proiectare geotehnică, Partea 2: Investigarea
și încercarea terenului. Anexa națională.
- SR EN 1997-2/AC:2010 Eurocod 7 : Proiectare geotehnică, Partea 2: Investigarea
și încercarea terenului. Erată.

FIŞA FORAJULUI F 1

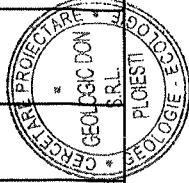
COTA : TN m

Cota foraj	Nivel hidrostatic	Grosime strat	Stratificatie	Litologie	Nr. proba	Limita de curgere	Limita frământare	Indice plasticitate	Indice consistență	Compoziție granulometrică				Umiditate naturala	Greutate volum. naturala	Greutate volum uscată	Porozitate	Indicele porilor	Grad de umiditate	Indice de activitate	Permeabilitate	Indici de compresibilitate			Rezist. la tăiere	
						WL %	WP %	Ip %	Ic	Argila	Praf	Nisip	Pietriş	W %	γ kN/mc	γ'd kN/mc	n %	e	Sr	A2	K cm /s	Modul edometric M 2-3 kPa	Coef. tasare ep2 cm/m	Tasare specif. la umezire Im3 cm/m	Unghi de frecare Φ grd	Coeziune c kPa
0		0,20		Sol vegetal						0,005	0,005-0,05	0,05 - 2,0	> 2,0													
1	N.H 1,40	0,80		Orizont tranziție	36761										19,11	16,42	38	0,61	0,72							
2		1,70		Nisip prăfos						9	37	51	3	16,3												
3				Pietriş poligen	36762								76	8,1	22,08	20,42	23	0,29	0,74							
4		4,00																								



COTA : TN m

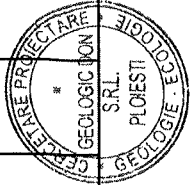
Cota foraj	Nivel hidrostatic	Grosime strat	Stratificație	Litologie	Nr. probă	Limita de curgere	Limita frământare	Indice plasticitate	Indice consistență	Compoziție granulometrică				Umiditate naturală	Greutate volum. naturală	Greutate volum uscată	Porozitate	Indicele porilor	Grad de umiditate	Indice de activitate	Permeabilitate	Indici de compresibilitate			Rezist. la tăiere	
										Argilă	Praf	Nisip	Pietriș									Modul edometric	Coef. tasare	Tasare specif. la umezire	Unghi de frecare	Coezune
0									Ic	0,005	0,005-0,05	0,05 - 2,0	> 2,0	W %	γ kN/mc	γd kN/mc	n %	e	Sr	A2	K cm /s	M 2-3 kPa	e p2 cm/m	Im3 cm/m	Φ grd	c kPa
1		0,20		Sol vegetal	36763	31	15	16	0,86	9	50	38	3	17,1	18,99	16,21	38	0,63	0,73			-	-	-	-	-
		0,80		Orizont tranziție																						
2	NH	1,90		Praf nisipos	36763																					
	2,00																									
3				Pietriș poligen	36764	-	-	-	-	-	-	33	67	6,5	21,64	20,31	23	0,30	0,58			-	-	-	-	-
4		4,00																								



FIȘA FORAJULUI F 3

COTA : TN m

Cota foraj	Nivel hidrostatic	Grosime strat	Stratificație	Litologie	Nr. probă	Limita de curgere	Limita frământare	Indice plasticitate	Indice consistență	Compoziție granulometrică				Umiditate naturală	Greutate volum. naturală	Greutate volum uscată	Porozitate	Indicele porilor	Grad de umiditate	Indice de activitate	Permeabilitate	Indici de compresibilitate			Rezist. la tăiere	
						WL %	WP %	Ip %	Ic	Argilă 0,005	Praf 0,005-0,05	Nisip 0,05 - 2,0	Pietriș > 2,0	W %	γ kN/mc	γd kN/mc	n %	e	Sr	A2	K cm /s	Modul edometric M 2-3 kPa	Coef. tasare ep2 cm/m	Tasare specif. la Im3 cm/m	Unghi de frecare Φ grd	Rezist. la Coeziune c kPa
0		0,20		Sol vegetal																						
1		0,80		Orizont tranziție																						
2		2,20		Nisip prăfos	36765	-	-	-	-	5	31	64	-	16,3	18,93	16,27	38	0,62	0,70							
3	2,40 N.H.			Pietriș poligen	36766	-	-	-	-	-	1	34	65	8,0	20,59	20,91	21	0,26	0,81							
4		4,00																								



COTA : TN m

Cota foraj	Nivel hidrostatic	Grosime strat	Stratificație	Litologie	Nr. probă	Limita de curgere	Limita frământare	Indice plasticitate	Indice consistență	Compoziție granulometrică				Umiditate naturală	Greutate volum. naturală	Greutate volum uscată	Porozitate	Indicele porilor	Grad de umiditate	Indice de activitate	Permeabilitate	Indici de compresibilitate			Rezist. la tăiere	
										Argilă	Praf	Nisip	Pietriș									Modul edometric	Coef. tasare	Tasare specif. la umezire	Unghi de frecare	Coeziune
0									Ic	0,005	0,005-0,05	0,05 - 2,0	> 2,0	W %	γ kN/mc	γd kN/mc	n %	e	Sr	A2	K cm /s	M 2-3 kPa	e p2 cm/m	Im3 cm/m	Φ grd	c kPa
1		0,20		Sol vegetal		33	16	17	1	14	57	29	-	14,0	18,93	16,60	37	0,59	0,63			-	-	-	-	-
2	1,75 N.H.	0,80		Orizont tranziție																						
3		2,00		Praf	36767																					
4		4,00		Pietriș poligen	36768	-	-	-	-	-	1	41	58	12,1	22,36	19,95	24	0,32	0,99			-	-	-	-	-



COTA : TN m

Cota foraj	Nivel hidrostatic	Grosime strat	Stratificație	Litologie	Nr. probă	Limita de curgere	Limita frământare	Indice plasticitate	Indice consistența	Compoziție granulometrică				Umiditate naturală	Greutate volum. naturală	Greutate volum uscată	Porozitate	Indicele porilor	Grad de umiditate	Indice de activitate	Permeabilitate	Indici de compresibilitate			Rezist. la tăiere	
						WL %	WP %	Ip %	Ic	Argilă	Praf	Nisip	Pietriș	W %	γ kN/mc	γd kN/mc	n %	e	Sr	A2	K cm/s	Modul edometric M 2-3 kPa	Coef. tasare e p2 cm/m	Tasare specif. la umezire Im3 cm/m	Unghi de frecare Φ grd	Coeziune c kPa
0		0,20		Sol vegetal						0,005	0,005-0,05	0,05 - 2,0	> 2,0													
1		0,80		Orizont tranziție																						
2	2,00 N.H.	1,80		Nisip prăfos	36769	32	15	17	1	12	36	48	4	13,8	18,99	16,68	37	0,58	0,63							
3				Pietriș poligen	36770	-	-	-	-	-	2	42	56	9,9	22,74	20,68	22	0,28	0,95							
4		4,00																								



COTA : TN m

Cota foraj	Nivel hidrostatic	Grosime strat	Stratificație	Litologie	Nr. probă	Limita de curgere WL %	Limita frământare WP %	Indice plasticitate Ip %	Indice consistență Ic	Compoziție granulometrică				Umiditate naturală W %	Greutate volum. naturală γ kN/ mc	Greutate volum uscată γd kN/ mc	Porozitate n %	Indicele porilor e	Grad de umiditate Sr	Indice de activitate A2	Permeabilitate K cm /s	Indici de compresibilitate				Rezist. la tăiere		
										Argilă 0,005	Praf 0,005-0,05	Nisip 0,05 - 2,0	Pietriș > 2,0									Modul edometric M 2-3 kPa	Coef. tasare e p2 cm/m	Tasare specifi. la Im3 cm/m	Unghi de frecare Φ grd	c kPa	Coeziune	
0		0,20		Sol vegetal																								
1		0,80		Orizont tranziție																								
2				Nisip prăfos	36771	37	14	23	0,95	22	61	17	-	15,0	18,61	16,17	39	0,63	0,63			-				-		
3																												
4	NH 3,50	3,50 4,00		Pietriș poligen	36772	-	-	-	-	1	4	31	64	9,9	21,74	19,78	25	0,33	0,81			-				-		



FIŞA FORAJULUI F 7

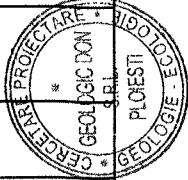
COTA : TN m

Cota foraj	Nivel hidrostatic	Grosime strat	Stratificatie	Litologie	Nr. proba	Limita de curgere	Limita frământare	Indice plasticitate	Indice consistență	Compoziție granulometrică				Umiditate naturala	Greutate volum. naturala	Greutate volum uscată	Porozitate	Indicele porilor	Grad de umiditate	Indice de activitate	Permeabilitate	Indici de compresibilitate				Rezist. la tăiere	
						WL %	WP %	Ip %	Ic	Argila	Praf	Nisip	Pietriș	W %	γ kN/mc	γd kN/mc	n %	e	Sr	A2	K cm /s	Modul edometric M 2-3 kPa	Coef. tasare e p2 cm/m	Tasare specifi. la Im3 cm/m	Unghi de frecare Φ grd	Coeziune c kPa	
0		0,20		Sol vegetal						0,005	0,005-0,05	0,05 - 2,0	> 2,0														
1	NH 1,30	0,80		Orizont tranziție																							
2				Argilă prăfoasă	36773	45	17	28	0,95	33	53	14	-	18,4	18,40	15,53	41	0,70	0,70								
3		3,20		Pietriș poligen	36774	-	-	-	-	-	16	23	61	20,7	20,15	16,69	37	0,58	0,95								
4		4,00																									



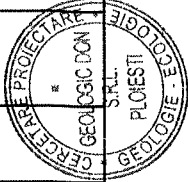
COTA : TN m

Cota foraj	Nivel hidrostatic	Grosime strat	Stratificație	Litologie	Nr. probă	Limita de curgere	Limita frământare	Indice plasticitate	Indice consistență	Compoziție granulometrică				Umiditate naturală	Greutate volum. naturală	Greutate volum. uscată	Porozitate	Indicele porilor	Grad de umiditate	Indice de activitate	Permeabilitate	Indici de compresibilitate			Rezist. la tăiere	
						WL %	WP %	Id %	Ic	Argilă	Praf	Nisip	Pietriș	W %	γ kN/mc	γd kN/mc	n %	e	Sr	A2	K cm /s	Modul edometric M 2-3 kPa	Coef. tasare ep2 cm/m	Tasare specif. la umezire Im3 cm/m	Unghi de frecare Φ grd	Rezist. la coeziune c kPa
0		0,20		Sol vegetal						0,005	0,005-0,05	0,05 - 2,0	> 2,0													
1				Material umlătură																						
2		1,60									1	22	77	2,1	20,71	20,28	23	0,30	0,18							
3	NH 3,00	3,00		Pietriș poligen	36775																					
4		4,00		Pietriș poligen	36776						2	19	79	6,0	19,84	18,70	29	0,41	0,39							



COTA : TN m

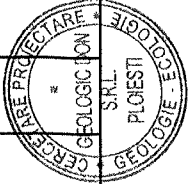
Cota foraj	Nivel hidrostatic	Grosime strat	Stratificație	Litologie	Nr. proba	Limita de curgere	Limita frământare	Indice plasticitate	Indice consistență	Compoziție granulometrică				Umiditate naturală	Greutate volum. naturală	Greutate volum uscată	Porozitate	Indicele porilor	Grad de umiditate	Indice de activitate	Permeabilitate	Indici de compresibilitate				Rezist. la tăiere	
										Argilă	Praf	Nisip	Pietriș									Modul edometric	Coef. tasare	Tasare specif. la	Unghi de frecare	c	φ
0		0,20		Sol vegetal					Ic		0,005	0,005-0,05	0,05 - 2,0	> 2,0	W %	γ kN/mc	γd kN/mc	n %	e	Sr	A2	K cm/s	M 2-3 kPa	ep2 cm/m	Im3 cm/m	φ grd	c kPa
1	0,90 N.H	0,80		Orizont tranziție	36777						3	17	80	-	19,0	19,02	15,97	39	0,65	0,78							
2		2,00		Nisip prașos	36778																						
3				Pietriș poligen	36778									58	12,4	21,35	18,99	28	0,39	0,85							
4		4,00																									



FIŞA FORAJULUI F 10

COTA : TN m

Cota foraj	Nivel hidrostatic	Grosime strat	Stratificaţie	Litologie	Nr. probă	Limita de curgere	Limita frământare	Indice plasticitate	Indice consistenţă	Compoziţie granulometrică				Umiditate naturală	Greutate volum. naturală	Greutate volum uscată	Porozitate	Indicele porilor	Grad de umiditate	Indice de activitate	Permeabilitate	Indici de compresibilitate			Rezist. la tăiere	
						WL %	WP %	Ip %	Ic	Argilă	Praf	Nisip	Pietriş	W %	γ kN/mc	γd kN/mc	n %	e	Sr	A2	K cm/s	Modul edometric M 2-3 kPa	Coef. tasare ep2 cm/m	Tasare specif. la Im3 cm/m	Unghi de frecare Φ grd	Coeziune c kPa
0		0,20		Sol vegetal						0,005	0,003-0,03	0,05 - 2,0	> 2,0	18,9	19,51	16,40	38	0,61	0,83							
1	N.H. 1,00	0,80		Orizont tranziţie	36779							89	2													
2		1,70		Nisip praşos							9															
3				Pietriş poligen	36780							37	63	14,8	21,85	19,02	28	0,39	1,0							
4		4,00																								



FIŞA FORAJULUI F 11

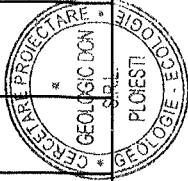
COTA : TN m

Cota foraj	Nivel hidrostatic	Grosime strat	Stratificație	Litologie	Nr. proba	Limita de curgere	Limita frământare	Indice plasticitate	Indice consistență	Compoziție granulometrică				Umiditate naturală	Greutate volum. naturală	Greutate volum uscată	Porozitate	Indicele porilor	Grad de umiditate	Indice de activitate	Permeabilitate	Indici de compresibilitate				Rezist. la tăiere	
										Argilă	Praf	Nisip	Pietriș									Modul edometric	Coef. tasare	Tasare specifi. la	Unghi de frecare	c	φ
0		0,20		Sol vegetal		WL %	WP %	Ip %	Ic	0,005	0,003-0,05	0,05 - 2,0	> 2,0	W %	γ kN/mc	γd kN/mc	n %	e	Sr	A2	K cm/s	M 2-3 kPa	e p2 cm/m	Im3 cm/m	φ grd	c kPa	
1	NH 1,10	0,80		Orizont tranziție	36781	-	-	-	-	6	32	57	5	18,6	20,02	16,87	36	0,57	0,88			-	-	-	-	-	
2		2,00		Nisip prăfos		-	-	-	-													-	-	-	-	-	
3				Pietriș poligen	36782	-	-	-	-				44	8,4	21,25	19,59	26	0,35	0,65			-	-	-	-	-	
4		4,00																									



COTA : TN m

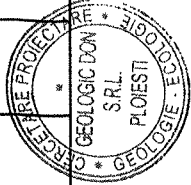
Cota foraj	Nivel hidrostatic	Grosime strat	Stratificație	Litologie	Nr. probă	Limita de curgere	Limita frământare	Indice plasticitate	Indice consistență	Compoziție granulometrică				Umiditate naturală	Greutate volum. naturală	Greutate volum uscată	Porozitate	Indicele porilor	Grad de umiditate	Indice de activitate	Permeabilitate	Indici de compresibilitate			Rezist. la tăiere	
										Argilă	Praf	Nisip	Pietriș									Modul edometric	Coef. tasare	Tasare specif. la umezire	Unghi de frecare	Rezist. la coeziune
0						WL	WP	Ip	Ic	0,005	0,005-0,05	0,05 - 2,0	> 2,0	W	γ	γd	n	e	Sr	A2	K	M 2-3	ep2	Im3	Φ	c
1		0,20		Sol vegetal											17,11	15,17	42	0,74	0,46							
2	N.H	0,80		Orizont tranziție																						
3	2,00	2,30		Nisip prașos	36785						11	87	2	12,7	21,73	19,70	25	0,34	0,80							
4		4,00		Pietriș poligen	36786								61	10,2												



FIŞA FORAJULUI F 14

COTA : TN m

Cota foraj	Nivel hidrostatic	Grosime strat	Stratificatie	Litologie	Nr. proba	Limita de curgere	Limita frământare	Indice plasticitate	Indice consistenţă	Compoziţie granulometrica				Umiditate naturala	Greutate volum. naturala	Greutate volum uscată	Porozitate	Indicele porilor	Grad de umiditate	Indice de activitate	Permeabilitate	Indici de compresibilitate			Rezist. la tăiere	
										Argilă	Praf	Nisip	Pietriş									Modul edometric	Coef. tasare	Tasare specif. la umezire	Unghi de frecare	Coeziune
0		0,20							Ic	0,005	0,005-0,05	0,05 - 2,0	> 2,0	W %	γ kN/mc	γd kN/mc	n %	e	Sr	A2	K cm /s	M 2-3 kPa	ep2 cm/m	Im3 cm/m	Φ grd	c kPa
1	N.H 0,80	0,90		Sol vegetal Orizont tranziţie	36787	37	17	20	0,83	20	59	19	2	20,4	18,14	15,07	43	0,75	0,72			-	-	-	-	-
2				Praf argilos						20																
3		3,00		Pietriş poligen	36788	-	-	-	-	4	28	21	47	25,8	19,61	15,58	41	0,70	0,99			-	-	-	-	-
4		4,00																								



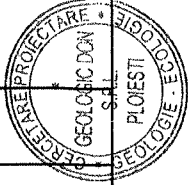
GEOLOGIC DON

FIȘA FORAJULUI F 15

ȘANTIER : CONSTRUIRE PARC FOTOVOLTAIC
TEIUȘ, P,135, P,137, P,140, P,143, P143/3, JUD. ALBA

COTA : TN m

Cota foraj	Nivel hidrostatic	Grosime strat	Stratificație	Litologie	Nr. probă	Limita de curgere WL %	Limita frământare WP %	Indice plasticitate Ip %	Indice consistență Ic	Compoziție granulometrică				Umiditate naturală W %	Greutate volum. naturală γ kN/ mc	Greutate volum uscată γd kN/ mc	Porozitate n %	Indicele porilor e	Grad de umiditate Sr	Indice de activitate A2	Permeabilitate K cm /s	Indici de compresibilitate				Rezist. la tăiere		
										Argilă 0,005	Praf 0,005-0,05	Nisip 0,05 - 2,0	Pietriș > 2,0									Modul edometric M 2-3 kPa	Coef. tasare ep2 cm/m	Tasare specifi. la Im3 cm/m	Unghi de frecare Φ grd	Coeziune c kPa		
0		0,20		Sol vegetal																								
1	N.H 1,00	0,80		Orizont tranziție																								
2				Praf argilos	36789	35	16	19	0,89	15	55	29	1	18,0	18,55	15,72	40	0,68	0,71									
3		3,20		Pietriș poligen	36790	-	-	-	-	-	3	21	76	8,1	21,65	20,62	24	0,32	0,68									
4		4,00																										



COTA : TN m

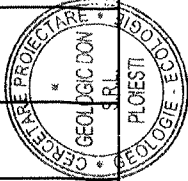
Cota foraj	Nivel hidrostatic	Grosime strat	Stratificație	Litologie	Nr. probă	Limita de curgere	Limita frământare	Indice plasticitate	Indice consistență	Compoziție granulometrică				Umiditate naturală	Greutate volum. naturală	Greutate volum uscată	Porozitate	Indicele porilor	Grad de umiditate	Indice de activitate	Permeabilitate	Indici de compresibilitate			Rezist. la tăiere	
										Argilă	Praf	Nisip	Pietriș									Modul edometric	Coef. tasare	Tasare specif. la umezire	Unghi de frecare	Coeziune
0										0,005	0,005-0,05	0,05 - 2,0	> 2,0	W %	γ kN/mc	γd kN/mc	n %	e	Sr	A2	K cm /s	M 2-3 kPa	e p2 cm/m	Im3 cm/m	Φ grd	c kPa
1	N.H 0,90	0,20		Sol vegetal																						
2		1,20		Material umplutură	36791	32	15	17	0,87	10	51	37	2	17,1	17,75	15,16	42	0,74	0,61							
3		2,20		Praf nisipos	36792	-	-	-	-	-	-	33	67	7,6	21,05	19,54	26	0,35	0,58							
4		4,00		Pietriș poligen																						



FIŞA FORAJULUI F 17

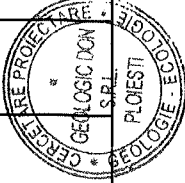
COTA : TN m

Cota foraj	Nivel hidrostatic	Grosime strat	Stratificație	Litologie	Nr. proba	Limita de curgere WL %	Limita frământare WP %	Indice plasticitate Ip %	Indice consistență Ic	Compoziție granulometrică				Umiditate naturală W %	Greutate volum. naturală γ kN/mc	Greutate volum uscată γd kN/mc	Porozitate n %	Indicele porilor e	Grad de umiditate Sr	Indice de activitate A2	Permeabilitate K cm /s	Indici de compresibilitate				Rezist. la tăiere	
										Argilă	Praf	Nisip	Pietriș									Modul edometric M2-3 kPa	Coef. tasare ep2 cm/m	Tasare specifi. la Im3 cm/m	Unghi de frecare Φ grd		Coeziune c kPa
0		0,20		Sol vegetal						0,003	0,003-0,05	0,05 - 2,0	> 2,0														
1	NH 1,10	1,00		Material umplutură																							
2		2,50		Praf	36793	34	17	17	0,81	14	60	24	2	20,2	18,36	15,27	42	0,73	0,74								
3				Pietriș poligen	36794	-	-	-	-	-	1	34	65	8,7	21,37	19,65	25	0,34	0,67								
4		4,00																									



COTA : TN m

Cota foraj	Nivel hidrostatic	Grosime strat	Stratificație	Litologie	Nr. probă	Limita de curgere	Limita frământare	Indice plasticitate	Indice consistență	Compoziție granulometrică				Umiditate naturală	Greutate volum. naturală	Greutate volum uscată	Porozitate	Indicele porilor	Grad de umiditate	Indice de activitate	Permeabilitate	Indici de compresibilitate			Rezist. la tăiere	
										Argilă	Praf	Nisip	Pietriș									Modul edometric	Coef. tasare	Tasare specif. la umezire	Unghi de frecare	Coeziune
0		0,00				WL	WP	Ip	Ic	0,005	0,005-0,05	0,05 - 2,0	> 2,0	W	γ	γd	n	e	Sr	A2	K	M 2-3	e p2	Im3	Φ	c
1		0,90													19,32	17,07	35	0,55	0,64							
2	N.H 1,70	2,50		Nisip fin	36795						5	82	13	13,1	20,59	18,59	30	0,42								
3				Pietriș poligen	36796								61	10,7					0,68							
4		4,00																								



GEOLOGIC DON

FIȘA FORAJULUI F 19

ȘANTIER : CONSTRUIRE PARC FOTOVOLTAIC
TEIUȘ, P,135, P,137, P,140, P,143, P143/3, JUD. ALBA

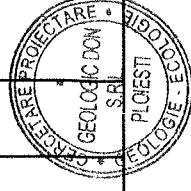
COTA : TN m

Cota foraj	Nivel hidrostatic	Grosime strat	Stratificație	Litologie	Nr. probă	Limita de curgere	Limita frământare	Indice plasticitate	Indice consistență	Compoziție granulometrică				Umiditate naturală	Greutate volum. naturală	Greutate volum. uscată	Porozitate	Indicele porilor	Grad de umiditate	Indice de activitate	Permeabilitate	Indici de compresibilitate				Rezist. la tăiere	
										Argilă	Praf	Nisip	Pietriș									Modul edometric	Coef. tasare	Tasare specif. la umezire	Unghi de frecare	Coeziune	
0		0,20		Sol vegetal					Ic	0,005	0,005-0,05	0,05 - 2,0	> 2,0	W %	γ kN/mc	γd kN/mc	n %	e	Sr	A2	K cm /s	M 2-3 kPa	ep2 cm/m	Im3 cm/m	Φ grd	c kPa	
1		1,50		Material umplută					Ip %																		
2				Nisip argilos	36797	33	15	18	0,91	17	40	43	-	16,6	18,60	15,95	40	0,66	0,68			-	-	-	-	-	
3		2,70																									
4	N.H 3,50	4,00		Pietriș poligen	36798	-	-	-	-	-	2	21	77	4,8	20,65	19,69	25	0,34	0,37			-	-	-	-	-	

FIŞA FORAJULUI F 20

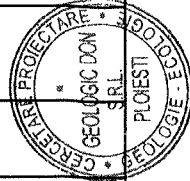
COTA : TN m

Cota foraj	Nivel hidrostatic	Grosime strat	Stratificație	Litologie	Nr. probă	Limita de curgere WL %	Limita frământare WP %	Indice plasticitate Ip %	Indice consistență Ic	Compoziție granulometrică				Umiditate naturală W %	Greutate volum. naturală γ kN/mc	Greutate volum. uscată γd kN/mc	Porozitate n %	Indicele porilor e	Grad de umiditate Sr	Indice de activitate A2	Permeabilitate K cm/s	Indici de compresibilitate				Rezist. la tăiere
										Argilă	Praf	Nisip	Pietriș									Modul edometric M 2-3 kPa	Coef. tasare ep2 cm/m	Tasare specif. la umezire Im3 cm/m	Unghi de frecare Φ grd	
0	N.H. 0,60	0,20		Sol vegetal					Ic	0,005	0,005-0,05	0,05 - 2,0	> 2,0	W	γ	γd	n	e	Sr	A2	K	M 2-3	ep2	Im3	Φ	c
1		0,90		Material umplutură																						
2		2,50		Nisip prăfos	36799	-	-	-	-	9	32	56	3	27,0	19,09	15,02	43	0,76	0,95				-	-	-	-
3				Pietriș poligen	36800	-	-	-	-	-	-	-	25	6,8	22,28	20,86	21	0,27	0,68				-	-	-	-
4		4,00		Sol vegetal																						



COTA : TN m

Cota foraj	Nivel hidrostatic	Grosime strat	Stratificație	Litologie	Nr. probă	Limita de curgere WL %	Limita frământare WP %	Indice plasticitate Ip %	Indice consistență Ic	Compoziție granulometrică				Umiditate naturală W %	Greutate volum. naturală γ kN/ mc	Greutate volum uscată γ_d kN/ mc	Porozitate n %	Indicele porilor e	Grad de umiditate Sr	Indice de activitate A2	Permeabilitate K cm /s	Indici de compresibilitate				Rezist. la tăiere
										Argilă	Praf	Nisip	Pietriș									Modul edometric M 2-3 kPa	Coef. tasare e p2 cm/m	Tasare specif. la tasare Im3 cm/m	Unghi de frecare Φ grd	
0		0,20		Sol vegetal																						
1	N.H 0,55	0,90		Material umplută																						
2		2,40		Nisip prăfos	36801	-	-	-	-	3	36	53	8	17,0	19,19	16,39	38	0,61	0,74							
3				Nisip mediu cu pietriș	36802	-	-	-	-	-	2	56	42	13,5	20,68	18,21	31	0,45	0,80							
4		4,00																								



GEOLOGIC DON

FIȘA FORAJULUI F 22

ȘANTIER : CONSTRUIRE PARC FOTOVOLTAIC
TEIUȘ, P,135, P,137, P,140, P,143, P143/3, JUD. ALBA

COTA : TN m

Cota foraj	Nivel hidrostatic	Grosime strat	Stratificație	Litologie	Nr. probă	Limita de curgere	Limita frământare	Indice plasticitate	Indice consistență	Compoziție granulometrică				Umiditate naturală	Greutate volum. naturală	Greutate volum. uscată	Porozitate	Indicele porilor	Grad de umiditate	Indice de activitate	Permeabilitate	Indici de compresibilitate				Rezist. la tăiere
										Argilă	Praf	Nisip	Pietriș									Modul edometric	Coef. tasare	Tasare specifi. la umezire	Unghi de frecare	
0		0,20		Sol vegetal		WL %	WP %	Ip %	Ic	0,005	0,005-0,05	0,05 - 2,0	> 2,0	W %	γ kN/mc	γ_d kN/mc	n %	e	Sr	A2	K cm /s	M 2-3 kPa	ep2 cm/m	Im3 cm/m	Φ grd	c kPa
1		0,80		Orizont tranziție																						
2				Praf argilos	36803	36	16	20	0,89	15	50	24	11	18,1	18,99	16,08	39	0,64	0,75							
3		3,00									1	23	76	8,1	22,08	20,42	23	0,29	0,74							
4		4,00		Pietriș poligen	36804																					



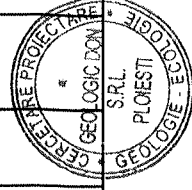
GEOLOGIC DON

FIȘA FORAJULUI F 23

ȘANTIER : CONSTRUIRE PARC FOTOVOLTAIC
TEIUȘ, P,135, P,137, P,140, P,143, P143/3, JUD. ALBA

COTA : TN m

Cota foraj	Nivel hidrostatic	Grosime strat	Stratificație	Litologie	Nr. probă	Limita de curgere WL %	Limita frământare WP %	Indice plasticitate Ip %	Indice consistență Ic	Compoziție granulometrică				Umiditate naturală W %	Greutate volum. naturală γ kN/ mc	Greutate volum. uscată γ_d kN/ mc	Porozitate n %	Indicele porilor e	Grad de umiditate Sr	Indice de activitate A2	Permeabilitate K cm /s	Indici de compresibilitate				Rezist. la tăiere
										Argilă 0,005	Praf 0,005-0,05	Nisip 0,05 - 2,0	Pietriș > 2,0									Modul edometric M 2-3 kPa	Coef. tasare e p2 cm/m	Tasare specif. la umezire Im3 cm/m	Unghi de frecare Φ grd	
0		0,20		Sol vegetal																						
1		0,80		Orizont tranziție																						
2				Nisip prăfos	36805	32	15	17	0,86	12	36	48	4	17,3	18,09	14,41	41	0,71	0,65				-	-	-	-
3	NH 3,00	3,20		Pietriș poligen	36806	-	-	-	-	-	-	29	71	9,8	22,48	20,48	22	0,29	0,90				-	-	-	-
4		4,00																								

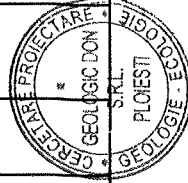


FIȘA FORAJULUI F 24

ȘANTIER : CONSTRUIRE PARC FOTOVOLTAIC
TEIUȘ, P,135, P,137, P,140, P,143, P143/3, JUD. ALBA

COTA : TN m

Cota foraj	Nivel hidrostatic	Grosime strat	Stratificație	Litologie	Nr. probă	Limita de curgere WL %	Limita frământare WP %	Indice plasticitate Ip %	Indice consistență Ic	Compoziție granulometrică				Umiditate naturală W %	Greutate volum. naturală γ kN/mc	Greutate volum. uscată γ _d kN/mc	Porozitate n %	Indicele porilor e	Grad de umiditate Sr	Indice de activitate A ₂	Permeabilitate K cm/s	Indici de compresibilitate				Rezist. la tăiere	
										Argilă	Praf	Nisip	Pietriș									Modul edometric M 2-3 kPa	Coef. tasare e p2 cm/m	Tasare specifi. la Im3 cm/m	Unghi de frecare Φ grd		Coeziune c kPa
0		0,20		Sol vegetal							0,005	0,005-0,05	0,05 - 2,0	> 2,0													
1		0,80		Orizont tranziție																							
2				Nisip argilos	36807	36	17	19	0,84	16	38	46	-	19,9	18,77	15,64	41	0,69	0,77								
3	N.H 2,50	3,00		Pietriș poligen	36808	-	-	-	-	-	-	-	63	8,7	20,99	19,31	27	0,37	0,63								
4		4,00																									



GEOLOGIC DON

FIȘA FORAJULUI F 25

ȘANTIER : CONSTRUIRE PARC FOTOVOLTAIC
TEIUȘ, P,135, P,137, P,140, P,143, P143/3, JUD. ALBA

COTA : TN m

Cota foraj	Nivel hidrostatic	Grosime strat	Stratificație	Litologie	Nr. probă	Limita de curgere WL %	Limita frământare WP %	Indice plasticitate Ip %	Indice consistență Ic	Compoziție granulometrică				Umiditate naturală W %	Greutate volum. naturală γ kN/mc	Greutate volum. uscată γd kN/mc	Porozitate n %	Indicele porilor e	Grad de umiditate Sr	Indice de activitate A2	Permeabilitate K cm/s	Indici de compresibilitate				Rezist. la tăiere
										Argilă 0,005	Praf 0,005-0,05	Nisip 0,05 - 2,0	Pietriș > 2,0									Modul edometric M 2-3 kPa	Coef. tasare ep2 cm/m	Tasare specif. la umezire Im3 cm/m	Unghi de frecare Φ grd	
0		0,20		Sol vegetal					Ic					W	γ	γd	n	e	Sr	A2	K	M 2-3	ep2	Im3	Φ	c
1		0,80		Orizont tranziție				21	0,64	22	51	27	-	24,4	18,40	14,78	44	0,79	0,83							
2	N.H 2,30			Nisip argilos	36809	38	17																			
3		3,20								-	2	27	71	18,1	22,70	20,98	20	0,26	0,84							
4		4,00		Pietriș poligen	36810	-	-	-	-																	



FIȘA FORAJULUI F 26

ȘANTIER : CONSTRUIRE PARC FOTOVOLTAIC
TEIUȘ, P,135, P,137, P,140, P,143, P143/3, JUD. ALBA

COTA : TN m

Cota foraj	Nivel hidrostatic	Grosime strat	Stratificație	Litologie	Nr. probă	Limita de curgere	Limita frământare	Indice plasticitate	Indice consistență	Compoziție granulometrică				Umiditate naturală	Greutate volum. naturală	Greutate volum. uscată	Porozitate	Indicele porilor	Grad de umiditate	Indice de activitate	Permeabilitate	Indici de compresibilitate			Rezist. la tăiere	
						WL %	WP %	Ip %	Ic	Argilă 0,005	Praf 0,005-0,05	Nisip 0,05 - 2,0	Pietriș > 2,0	W %	γ kN/ mc	γ _d kN/ mc	n %	e	Sr	A ₂	K cm /s	Modul edometric M 2-3 kPa	Coef. tasare e p2 cm/m	Tasare specif. la Im3 cm/m	Unghi de frecare Φ grd	Rezist. la tăiere Coeziune c kPa
0		0,20		Sol vegetal																						
1		0,80		Orizont tranziție	36811										18,70	16,49	37	0,60	0,59							
2		1,70		Nisip prăfos						8	37	53	2	13,4												
3	NH 2,60			Nisip mediu	36812								1	17,9	17,61	14,93	43	0,77	0,62							
4		4,00																								



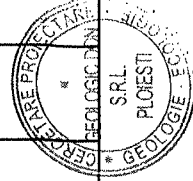
GEOLOGIC DON

FIȘA FORAJULUI F 27

ȘANTIER : CONSTRUIRE PARC FOTOVOLTAIC
TEIUȘ, P,135, P,137, P,140, P,143, P143/3, JUD. ALBA

COTA : TN m

Cota foraj	Nivel hidrostatic	Grosime strat	Stratificație	Litologie	Nr. probă	Limita de curgere	Limita frământare	Indice plasticitate	Indice consistență	Compoziție granulometrică				Umiditate naturală	Greutate volum. naturală	Greutate volum. uscată	Porozitate	Indicele porilor	Grad de umiditate	Indice de activitate	Permeabilitate	Indici de compresibilitate			Rezist. la tăiere	
						WL %	WP %	Ip %	Ic	Argilă 0,005	Praf 0,005-0,05	Nisip 0,05 - 2,0	Pietriș > 2,0	W %	γ kN/ mc	γ _d kN/ mc	n %	e	Sr	A2	K cm /s	Modul edometric M 2-3 kPa	Coef. tasare ep2 cm/m	Tasare specif. la Im3 cm/m	Unghi de frecare Φ grd	Rezist. la Coeziune c kPa
0		0,20		Sol vegetal																						
1		0,80		Orizont tranziție																						
2		2,00		Praf nisipos argilos	36813	36	17	19	0,73	22	40	33	5	22,0	17,65	14,47	45	0,83	0,71							
3	N.H 2,50			Nisip mediu cu pietriș	36814	-	-	-	-	-	-	54	46	11,5	21,36	19,15	27	0,38	0,81							
4		4,00																								



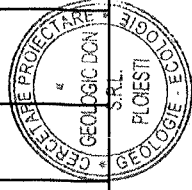
GEOLOGIC DON

FIȘA FORAJULUI F 28

ȘANTIER : CONSTRUIRE PARC FOTOVOLTAIC
TEIUȘ, P,135, P,137, P,140, P,143, P143/3, JUD. ALBA

COTA : TN m

Cota foraj	Nivel hidrostatic	Grosime strat	Stratificație	Litologie	Nr. probă	Limita de curgere	Limita frământare	Indice plasticitate	Indice consistență	Compoziție granulometrică				Umiditate naturală	Greutate volum. naturală	Greutate volum. uscată	Porozitate	Indicele porilor	Grad de umiditate	Indice de activitate	Permeabilitate	Indici de compresibilitate				Rezist. la tăiere	
						WL %	WP %	Ip %	Ic	Argilă 0,005	Praf 0,003-0,05	Nisip 0,05 - 2,0	Pietriș > 2,0	W %	γ kN/ mc	γd kN/ mc	n %	e	Sr	A2	K cm /s	Modul edometric M 2-3 kPa	Coef. tasare ep2 cm/m	Tasare specif. la Im3 cm/m	Unghi de frecare Φ grd	c kPa	Coeziune
0		0,20		Sol vegetal																							
1		0,80		Orizont tranziție																							
2	NH 1,50	1,80		Praf	36815	35	17	18	0,55	11	63	26	-	25,1	18,56	14,83	44	0,78	0,86								
3				Nisip mediu	36816	-	-	-	-	-	-	100	-	27,2	17,86	14,03	47	0,88	0,83								
4		4,00																									



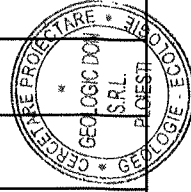
GEOLOGIC DON

FIȘA FORAJULUI F 29

ȘANTIER : CONSTRUIRE PARC FOTOVOLTAIC
TEIUȘ, P,135, P,137, P,140, P,143, P143/3, JUD. ALBA

COTA : TN m

Cota foraj	Nivel hidrostatic	Grosime strat	Stratificație	Litologie	Nr. probă	Limita de curgere	Limita frământare	Indice plasticitate	Indice consistență	Compoziție granulometrică				Umiditate naturală	Greutate volum. naturală	Greutate volum. uscată	Porozitate	Indicele porilor	Grad de umiditate	Indice de activitate	Permeabilitate	Indici de compresibilitate			Rezist. la tăiere	
						WL %	WP %	Ip %	Ic	Argilă 0,005	Praf 0,005-0,05	Nisip 0,05 - 2,0	Pietriș > 2,0	W %	γ kN/mc	γd kN/mc	n %	e	Sr	A2	K cm/s	Modul edometric M 2-3 kPa	Coef. tasare ep2 cm/m	Tasare specif. la Im3 cm/m	Unghi de frecare Φ grd	c kPa
0		0,20		Sol vegetal																						
1		0,80		Orizont tranziție																						
2		2,00		Nisip prăfos	36817	-	-	-	-	3	19	62	16	18,4	19,51	16,47	38	0,61	0,82			-	-	-	-	-
3	NH 2,50			Pietriș poligen	36818	-	-	-	-	-	1	43	56	12,6	21,06	18,69	29	0,41	0,82			-	-	-	-	-
4		4,00																								



FIȘA FORAJULUI F 30

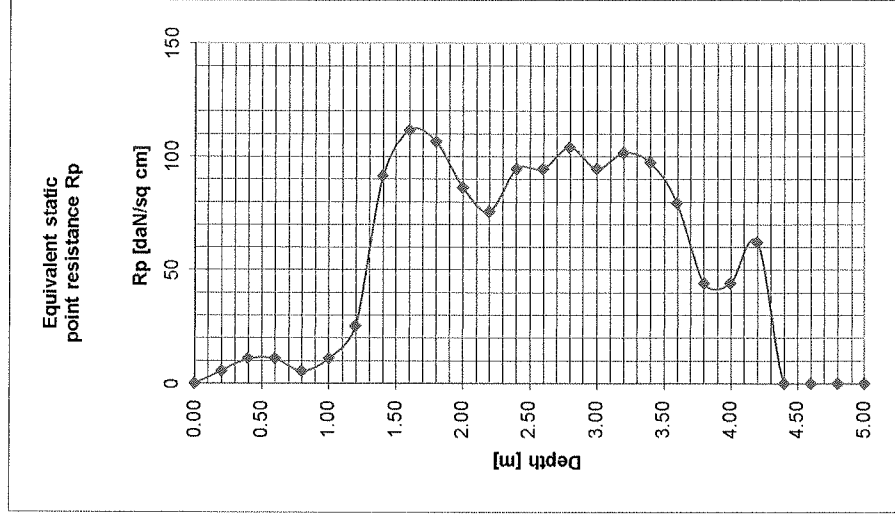
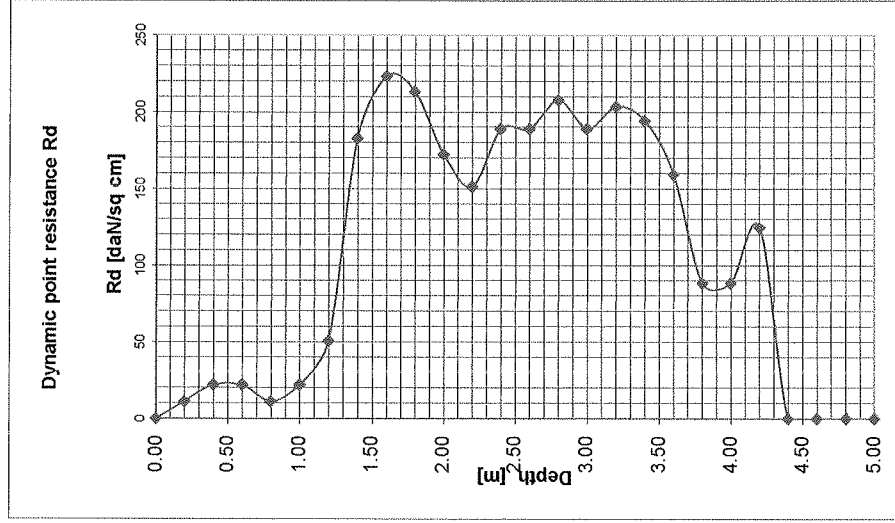
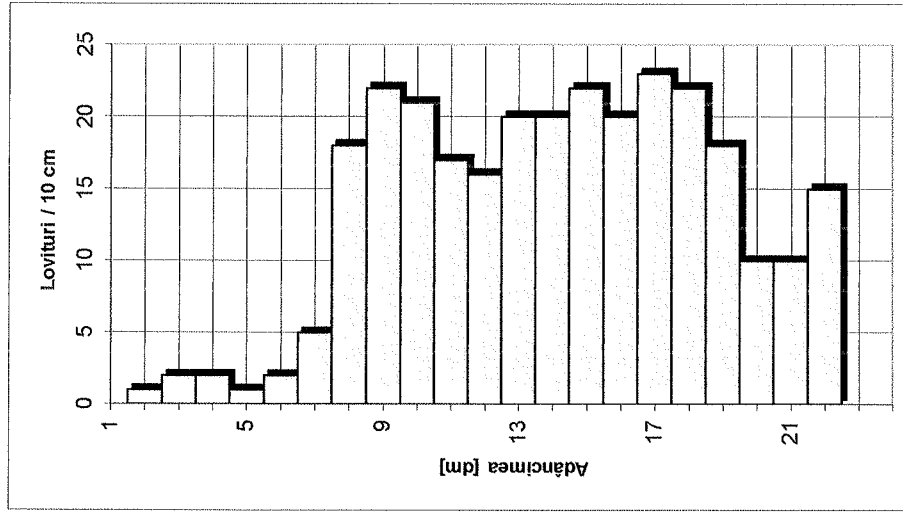
ȘANTIER : CONSTRUIRE PARC FOTOVOLTAIC
TEIUȘ, P,135, P,137, P,140, P,143, P143/3, JUD. ALBA

COTA : TN m

Cota foraj	Nivel hidrostatic	Grosime strat	Stratificație	Litologie	Nr. probă	Limita de curgere WL %	Limita frământare WP %	Indice plasticitate Ip %	Indice consistență Ic	Compoziție granulometrică				Umiditate naturală W %	Greutate volum. naturală γ kN/mc	Greutate volum. uscată γd kN/mc	Porozitate n %	Indicele porilor e	Grad de umiditate Sr	Indice de activitate A2	Permeabilitate K cm /s	Indici de compresibilitate				Rezist. la tăiere		
										Argilă	Praf	Nisip	Pietriș									Modul edometric M 2-3 kPa	Coef. tasare ep2 cm/m	Tasare specifi. la umezire Im3 cm/m	Unghi de frecare Φ grd		Coeziune c kPa	
0		0,00								0,005	0,005-0,05	0,05 - 2,0	> 2,0															
1		1,00		Material umplută	36819	36	15	21	0,94	19	41	40	-	16,2	19,50	16,78	36	0,57	0,75									
2	N.H 1,70	1,70		Praf nisipos argilos	36819																							
3				Nisip mare cu pietriș	36820	-	-	-	-	-	-	81	19	25,3	19,29	15,39	42	0,72	0,94									
4		4,00																										



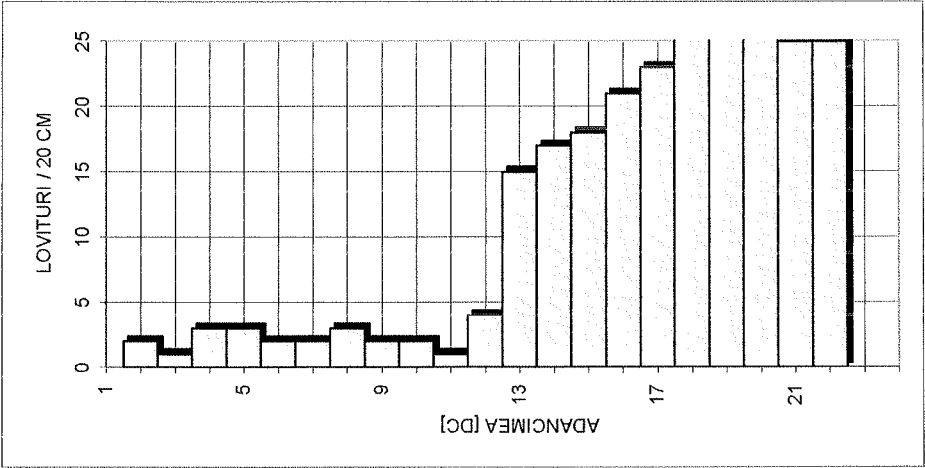
PARC FOTOVOLTAIC TEIUS - PDG 1



PARC FOTOVOLTAIC TEIUS

REZULTATUL INCERCARILOR PRIN PENETRARE DINAMICA CU CON

PDG 2

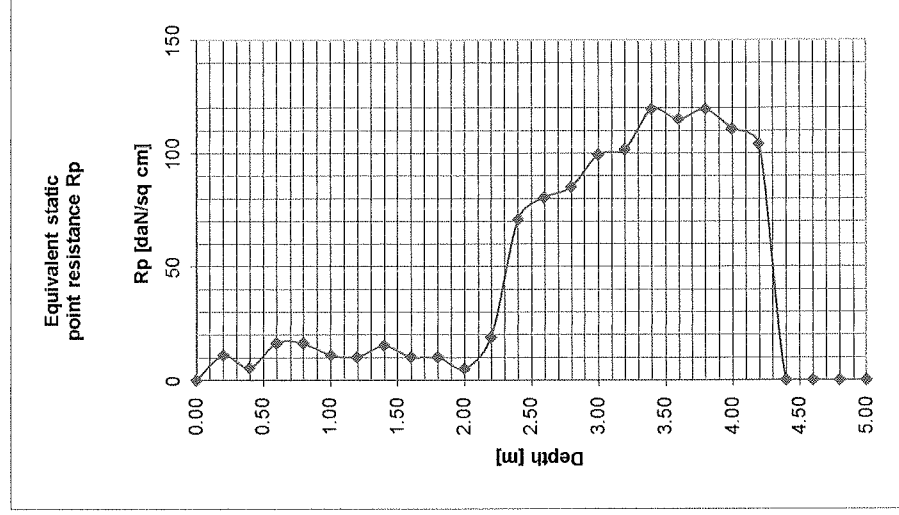
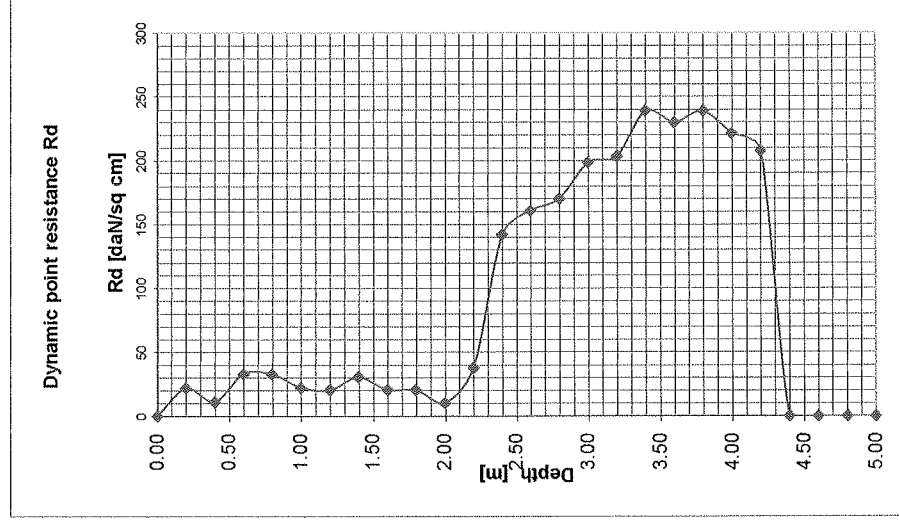
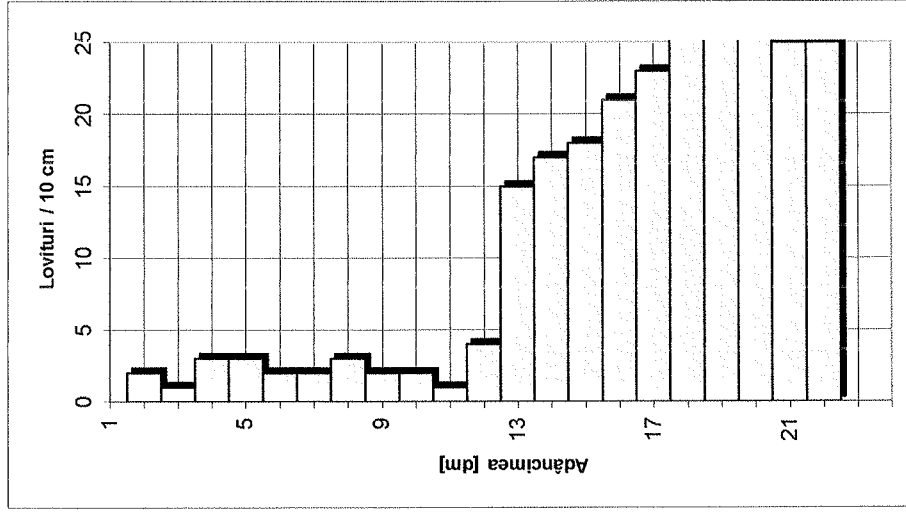


H	N10	Rd	Rp	n	e	lc	lb	M _{2,3}	E	φ
m	lov/10cm	daN/cm ²	daN/cm ²	%	-	-	-	daN/cm ²	daN/cm ²	°
0,0-1,0	2.2	24.11	12.05	49.0	0.96	0.52	0.15	65.61	72.17	30.25
1,0-2,0	2.0	20.30	10.15	49.7	0.99	0.51	0.14	62.48	68.72	30.80
2,0-3,0	15.0	141.76	70.88	40.7	0.69	0.80	0.43	97.92	166.46	31.28
3,0-4,0	25.6	226.37	113.19	38.0	0.61	1.04	0.58	106.46	180.97	31.71

DATA : IANUARIE 2022

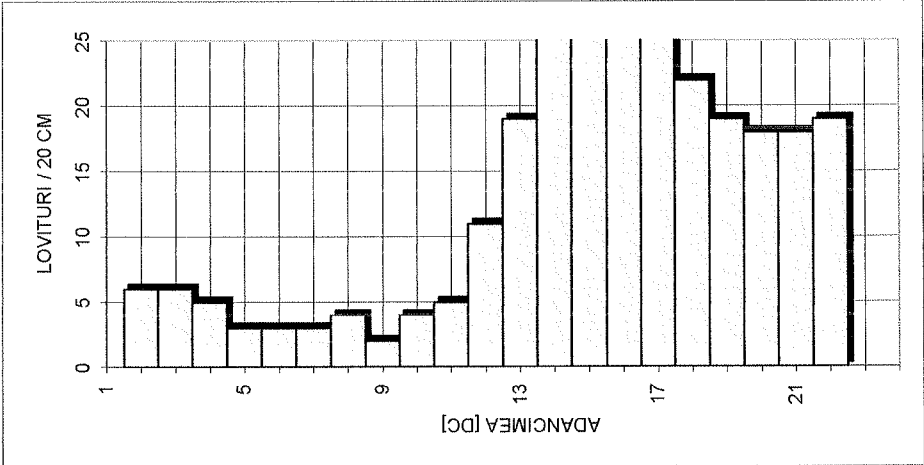


PARC FOTOVOLTAIC TEIUS - PDG 2



PARC FOTOVOLTAIC TEIUS
REZULTATUL INCERCARILOR PRIN PENETRARE DINAMICA CU CON

PDG 3

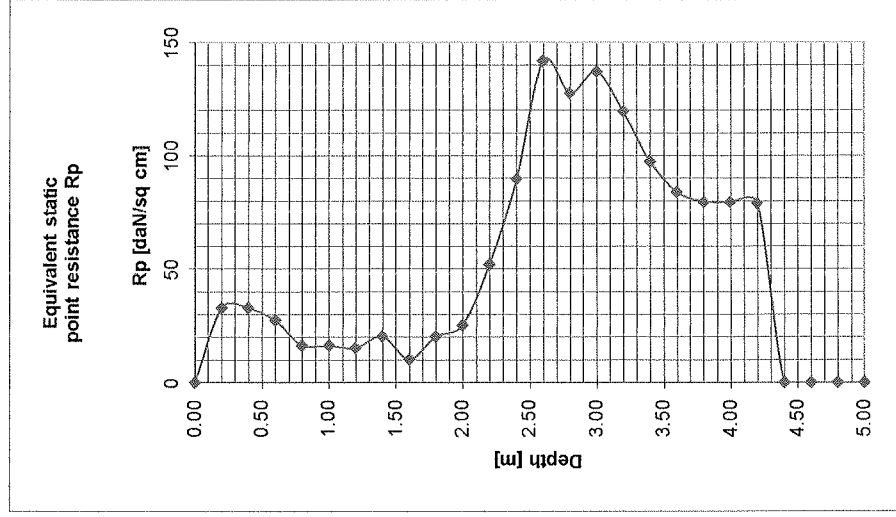
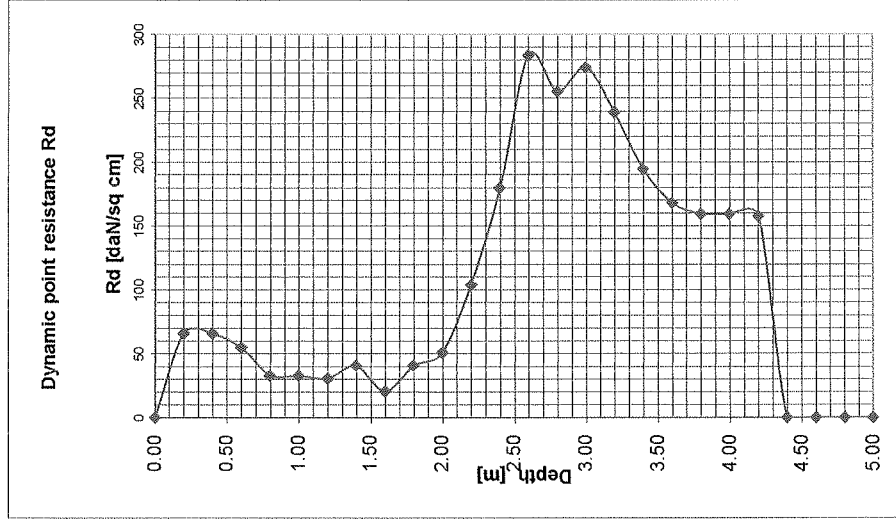
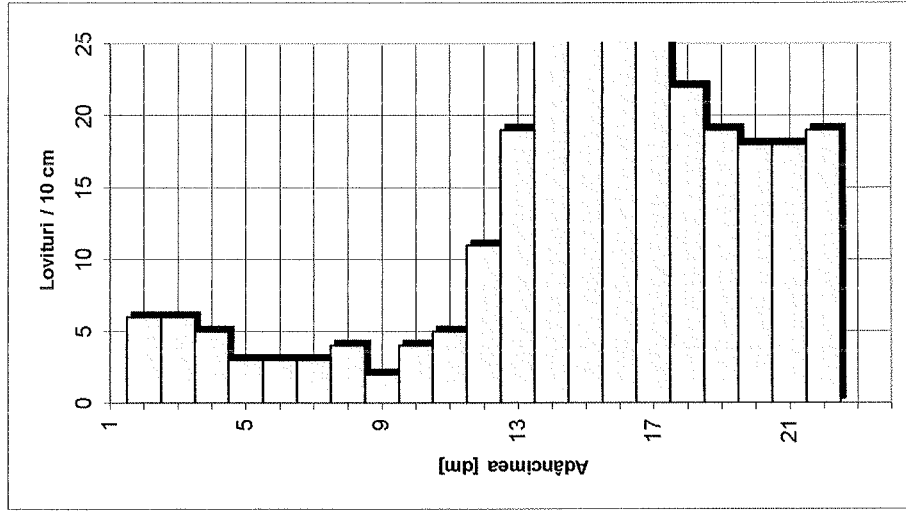


H	N10	Rd	Rp	n	e	lc	ld	M ₂₋₃	E	φ
m	lov/10cm	daN/cm ²	daN/cm ²	%	-	-	-	daN/cm ²	daN/cm ²	°
0,0-1,0	4,6	50,40	25,20	45,9	0,85	0,57	0,22	79,06	86,97	31,56
1,0-2,0	3,6	36,53	18,27	47,3	0,90	0,55	0,19	73,19	80,51	31,95
2,0-3,0	23,2	219,25	109,63	38,2	0,62	0,99	0,55	105,87	179,98	32,31
3,0-4,0	20,8	183,93	91,96	39,2	0,64	0,93	0,51	102,67	174,54	32,64

DATA : IANUARIE 2022



PARC FOTOVOLTAIC TEIUS - PDG 3

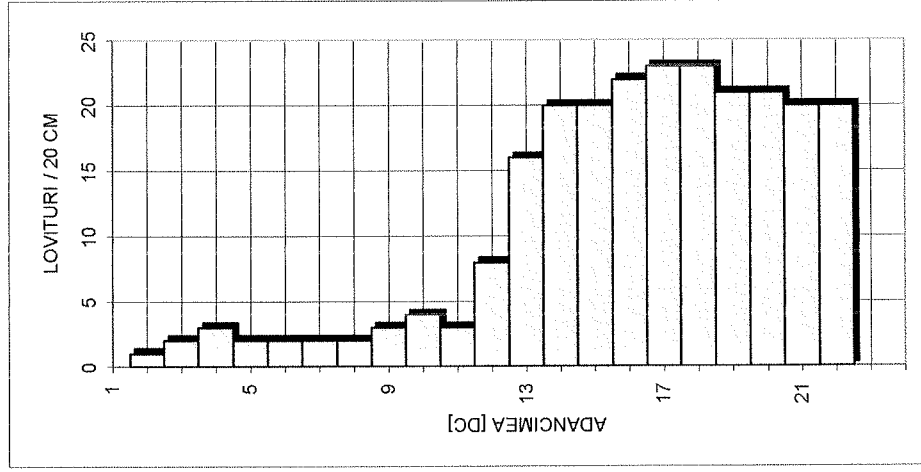


GEOLOGIC DON

PARC FOTOVOLTAIC TEIUS

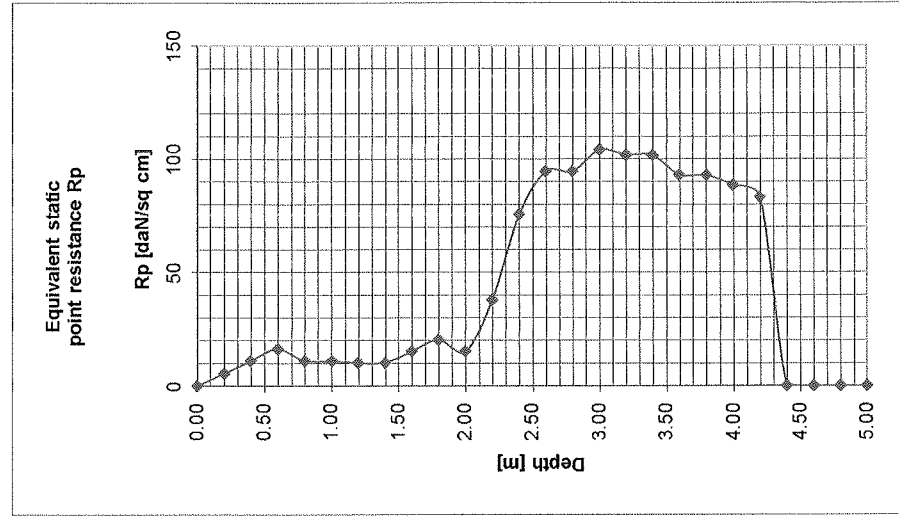
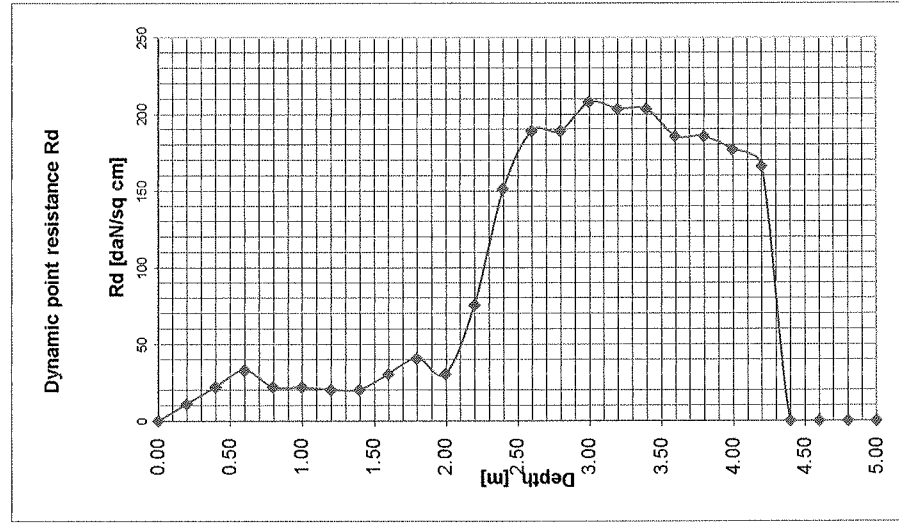
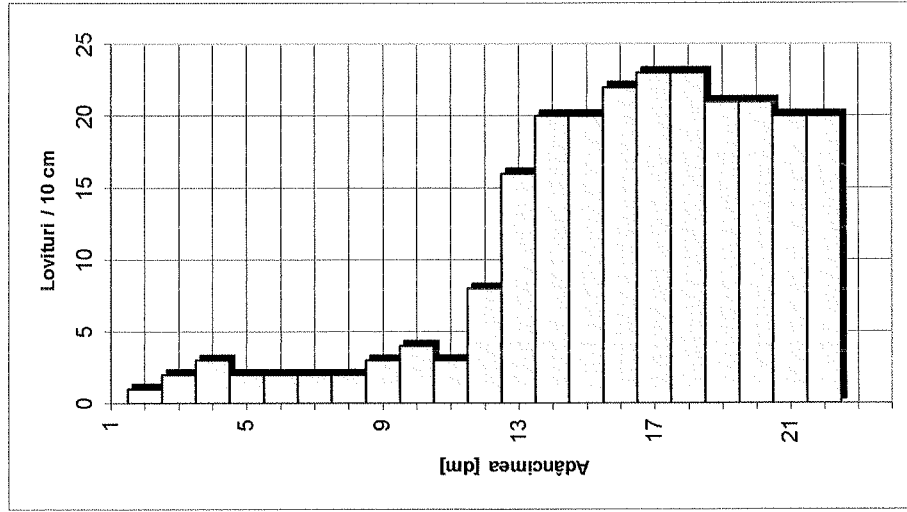
REZULTATUL INCERCARILOR PRIN PENETRARE DINAMICA CU CON

PDG 4

[illegible]

DATA : JANUARIE 2022

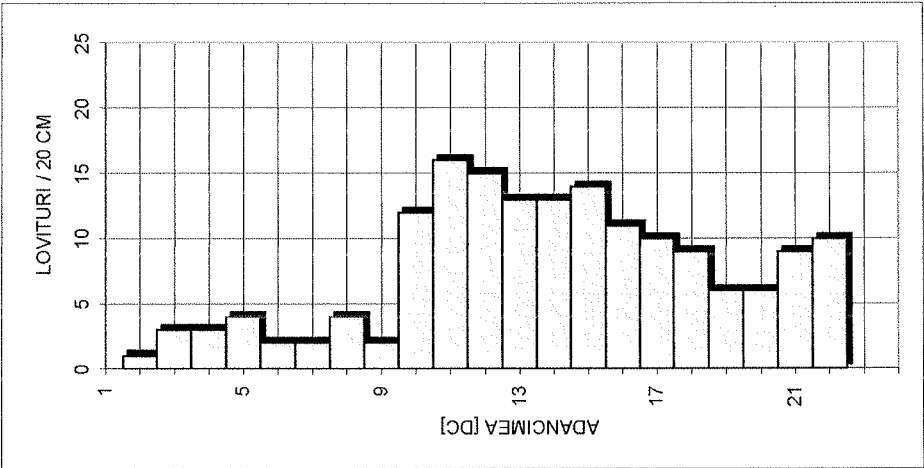




PARC FOTOVOLTAIC TEIUS

REZULTATUL INCERCARILOR PRIN PENETRARE DINAMICA CU CON

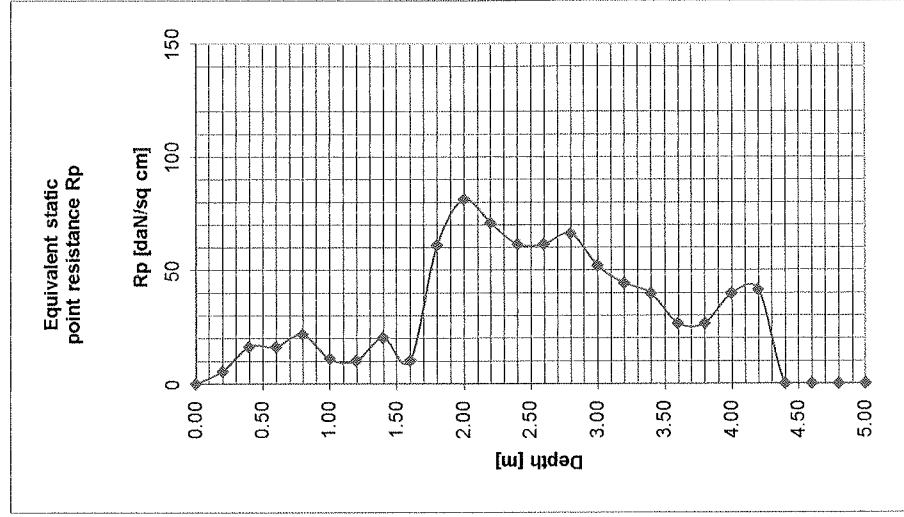
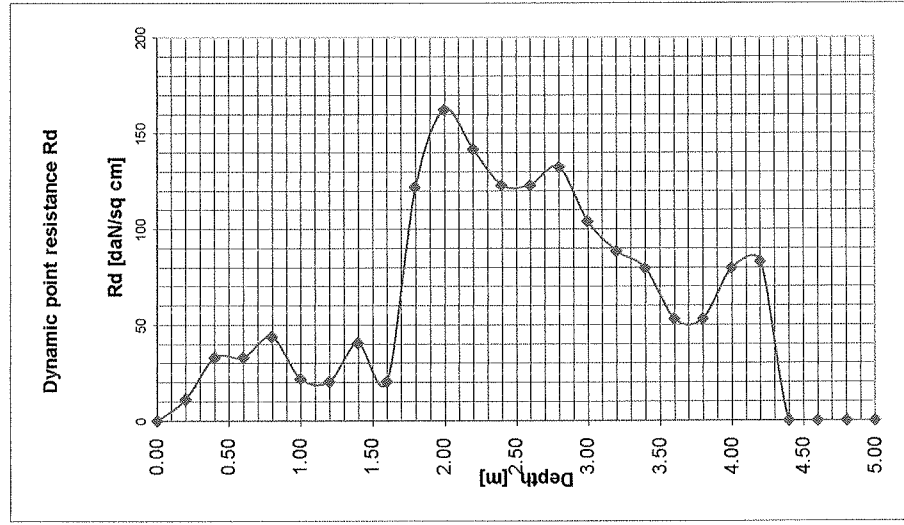
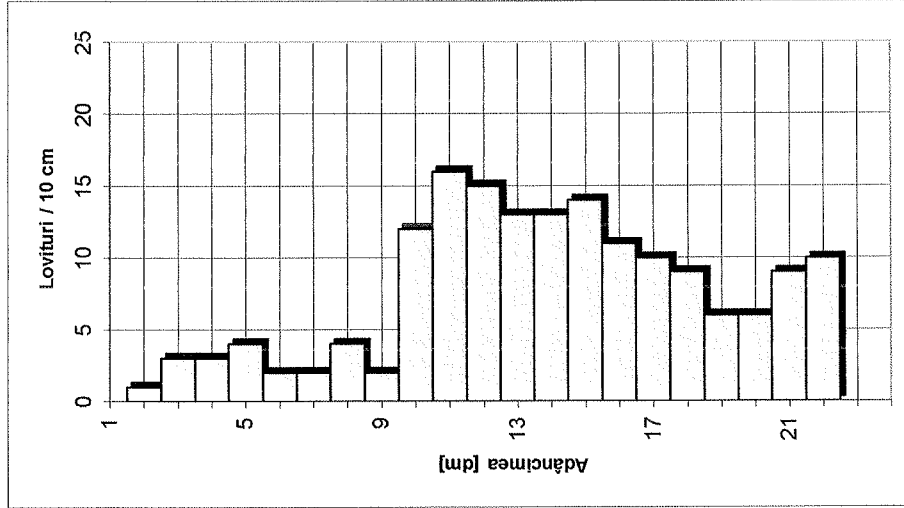
PDG 5



H	N10	Rd	Rp	n	e	lc	lb	M ₂₋₃	E	φ
m	lov/10cm	daN/cm ²	daN/cm ²	%	-	-	-	daN/cm ²	daN/cm ²	°
0,0-1,0	2.6	28.49	14.24	48.4	0.94	0.53	0.16	68.66	75.52	30.50
1,0-2,0	7.2	73.07	36.53	44.1	0.79	0.63	0.29	85.83	128.75	31.02
2,0-3,0	13.2	124.75	62.37	41.4	0.71	0.76	0.40	95.59	162.50	31.47
3,0-4,0	8.0	70.74	35.37	44.3	0.79	0.65	0.30	85.24	127.87	31.88

DATA : IANUARIE 2022



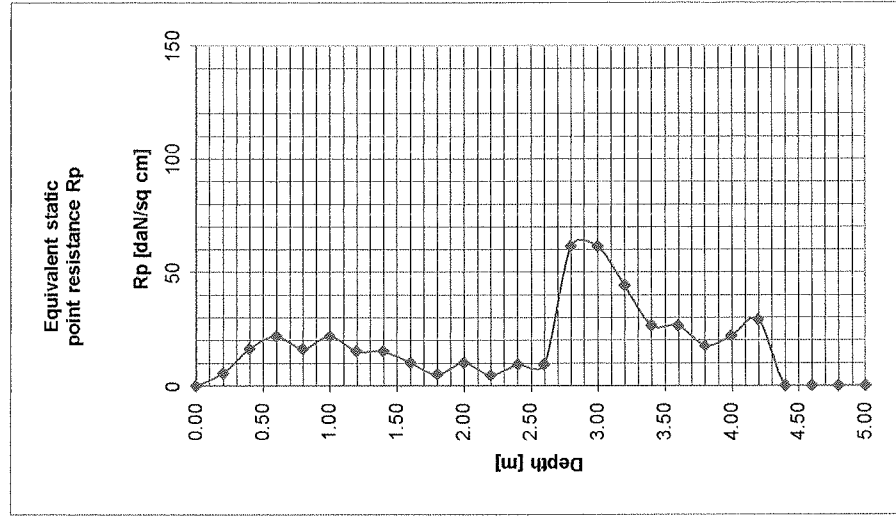
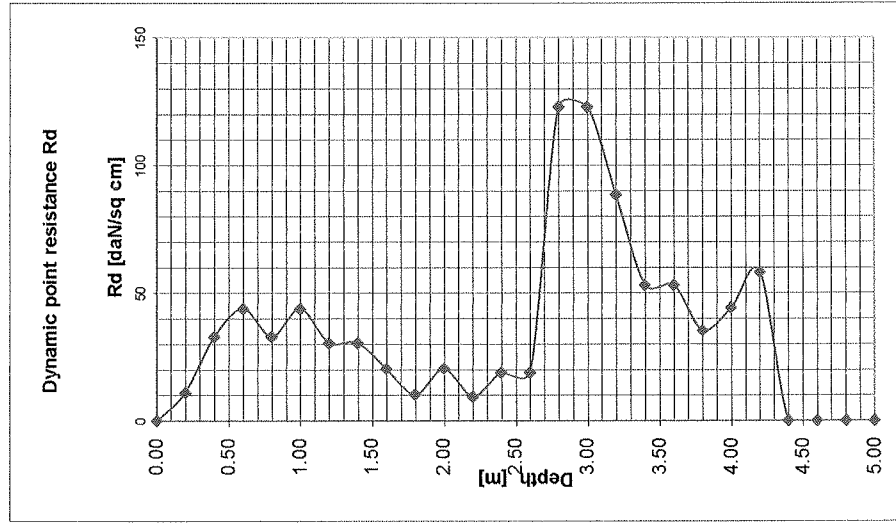
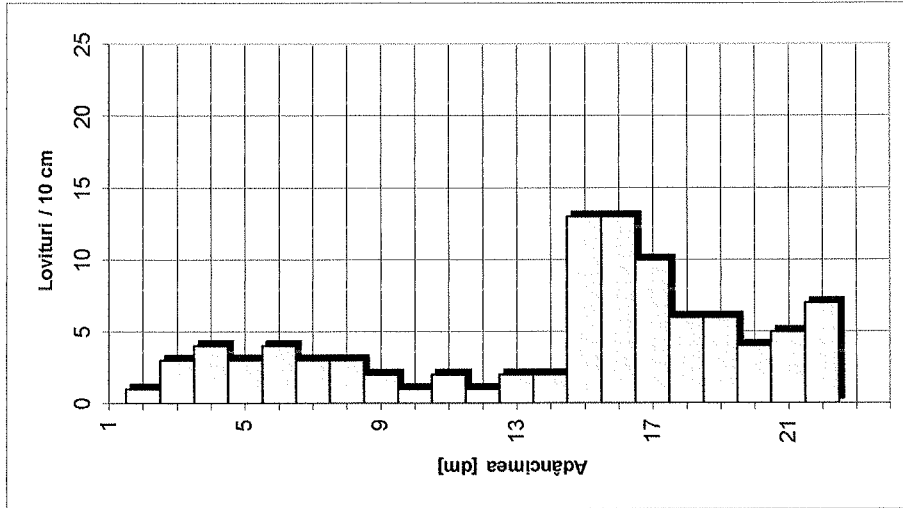


REZULTATUL INCERCARILOR PRIN PENETRARE DINAMICA CU CON

A histogram showing the frequency distribution of 'LOVITURI / 20 CM' (Y-axis) for 'ADANGCIMEA [DC]' (X-axis). The X-axis has major tick marks at 1, 5, 9, 13, 17, and 21. The Y-axis has major tick marks at 0, 5, 10, 15, 20, and 25. The histogram consists of 15 bars, each with a width of 2 units on the X-axis. The distribution is unimodal and slightly right-skewed, with a peak frequency of approximately 13 occurring between 15 and 17 on the X-axis.

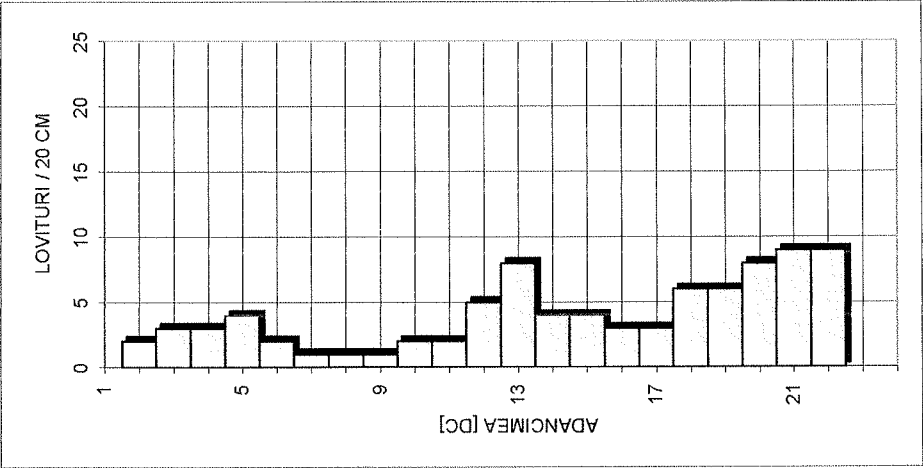
ADANGCIMEA [DC] Range	Frequency (LOVITURI / 20 CM)
1 - 3	1
3 - 5	2
5 - 7	3
7 - 9	4
9 - 11	3
11 - 13	4
13 - 15	3
15 - 17	13
17 - 19	13
19 - 21	10
21 - 23	6
23 - 25	6
25 - 27	4
27 - 29	5
29 - 31	7
31 - 33	7

[illegible]



PARC FOTOVOLTAIC TEIUS
REZULTATUL INCERCARILOR PRIN PENETRARE DINAMICA CU CON

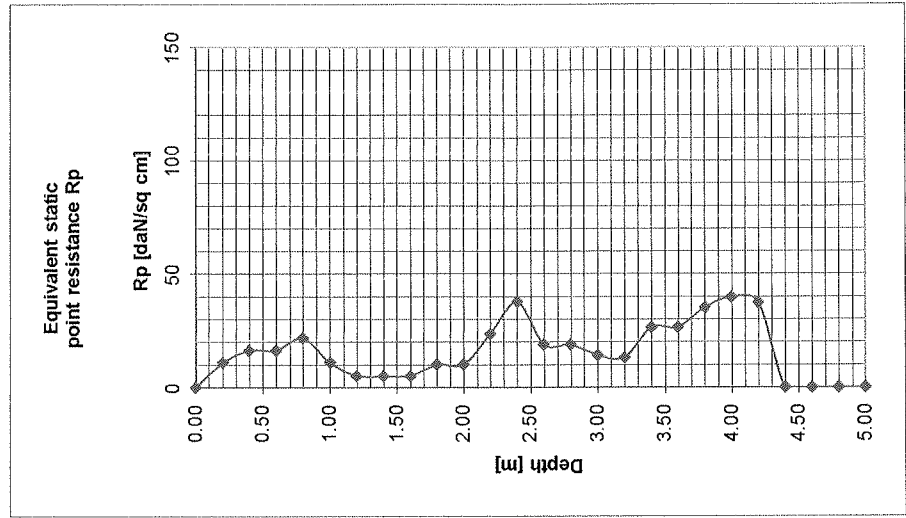
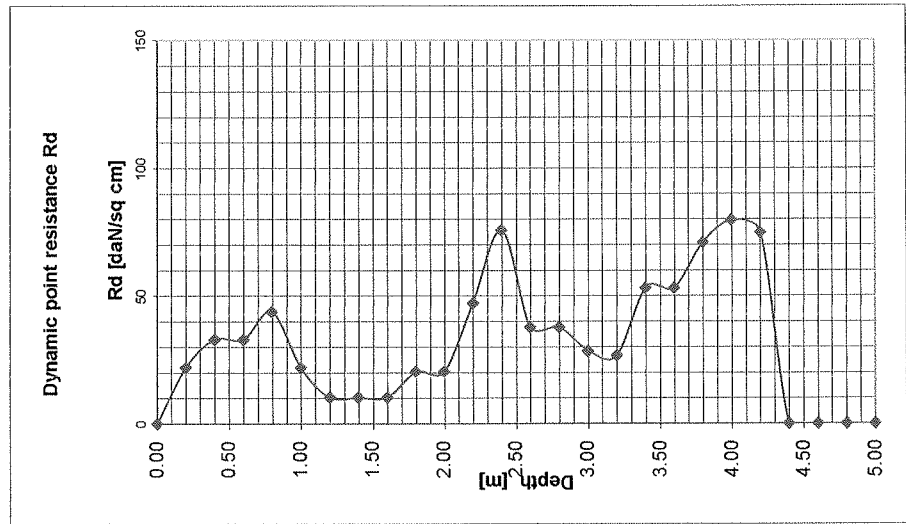
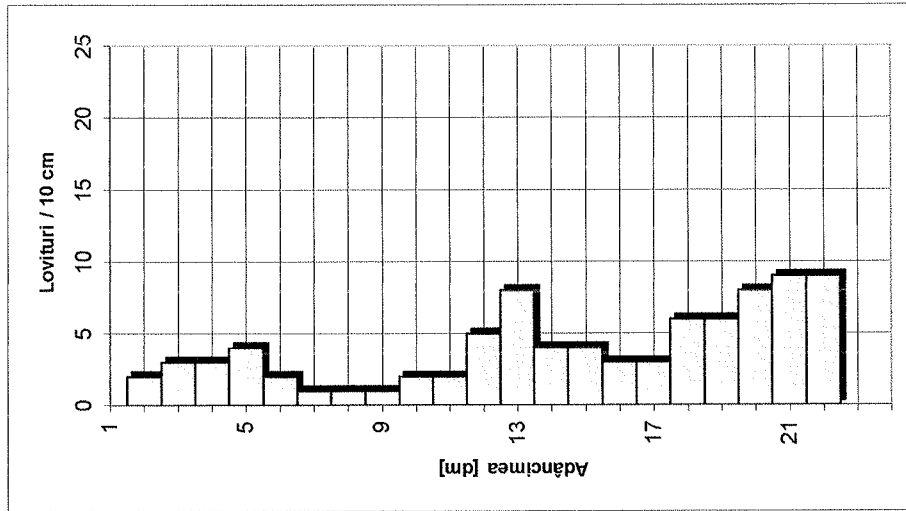
PDG 7



H	N10	Rd	Rp	n	e	lc	lb	M ₂₋₃	E	φ
m	lov/10cm	daN/cm ²	daN/cm ²	%	-	-	-	daN/cm ²	daN/cm ²	°
0,0-1,0	2,8	30,68	15,34	48,0	0,92	0,53	0,17	70,01	77,01	30,62
1,0-2,0	1,4	14,21	7,10	51,1	1,05	0,50	0,12	55,97	61,57	31,12
2,0-3,0	4,8	45,36	22,68	46,3	0,86	0,58	0,23	77,14	84,86	31,57
3,0-4,0	6,4	56,59	28,30	45,3	0,83	0,61	0,27	81,18	105,53	31,96

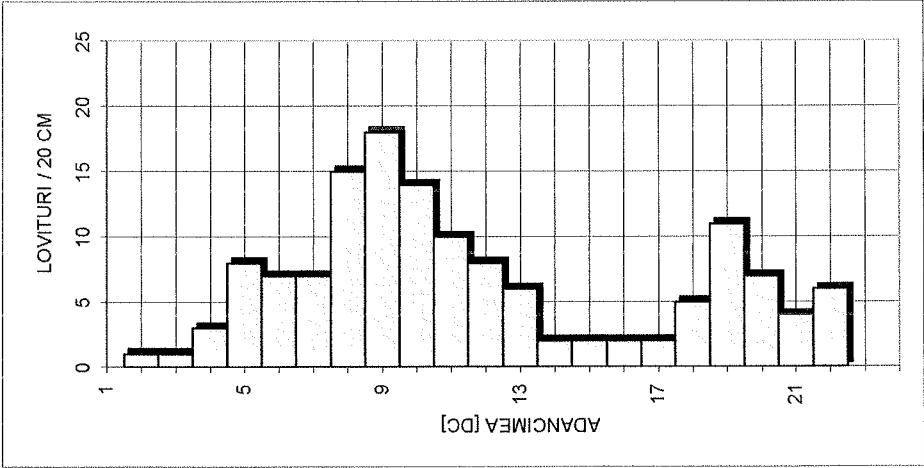
DATA : IANUARIE 2022





PARC FOTOVOLTAIC TEIUS
REZULTATUL INCERCARILOR PRIN PENETRARE DINAMICA CU CON

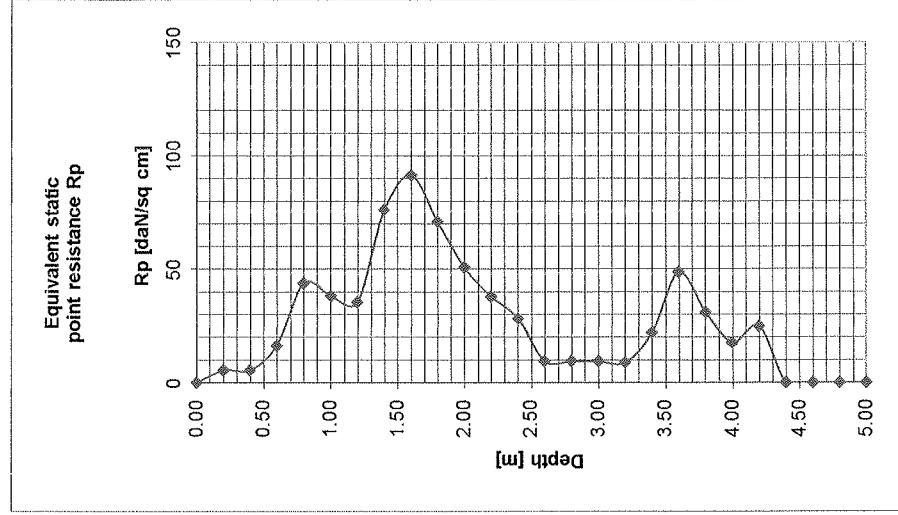
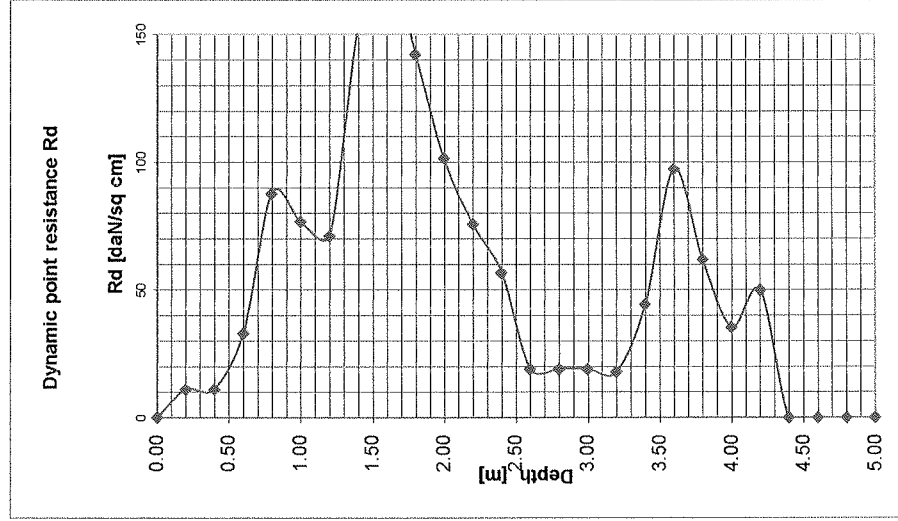
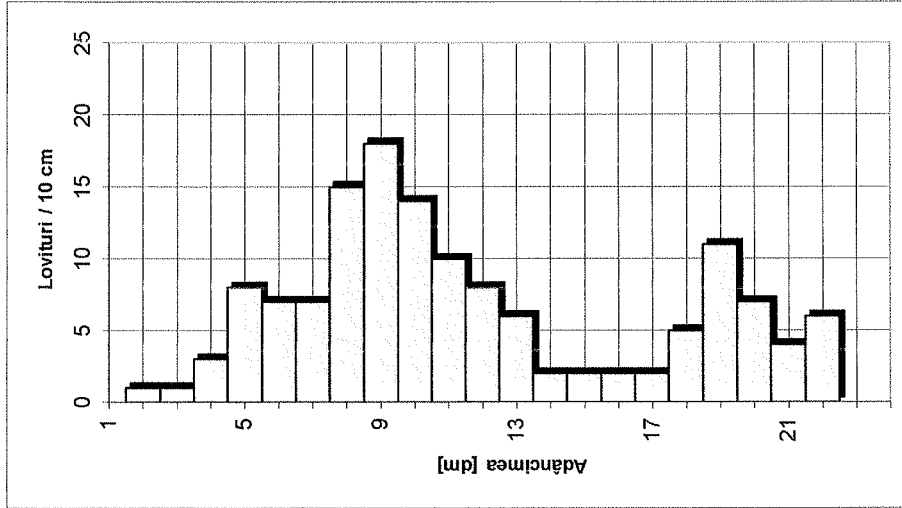
PDG 8



H	N10	Rd	Rp	n	e	lc	lb	M2,3	E	φ
m	lov/10cm	daN/cm²	daN/cm²	%	-	-	-	daN/cm²	daN/cm²	°
0,0-1,0	4,0	43,83	21,91	46,5	0,87	0,56	0,21	76,51	84,17	31,27
1,0-2,0	12,8	129,90	64,95	41,1	0,70	0,76	0,39	96,33	163,76	31,70
2,0-3,0	4,0	37,80	18,90	47,1	0,89	0,56	0,21	73,82	81,20	32,08
3,0-4,0	5,8	51,29	25,64	45,8	0,84	0,60	0,25	79,38	87,32	32,43

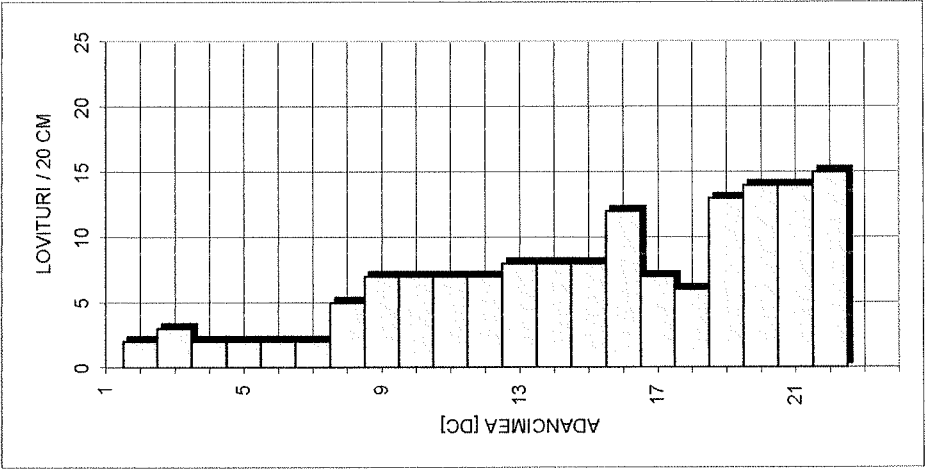
DATA : IANUARIE 2022





PARC FOTOVOLTAIC TEIUS
REZULTATUL INCERCARILOR PRIN PENETRARE DINAMICA CU CON

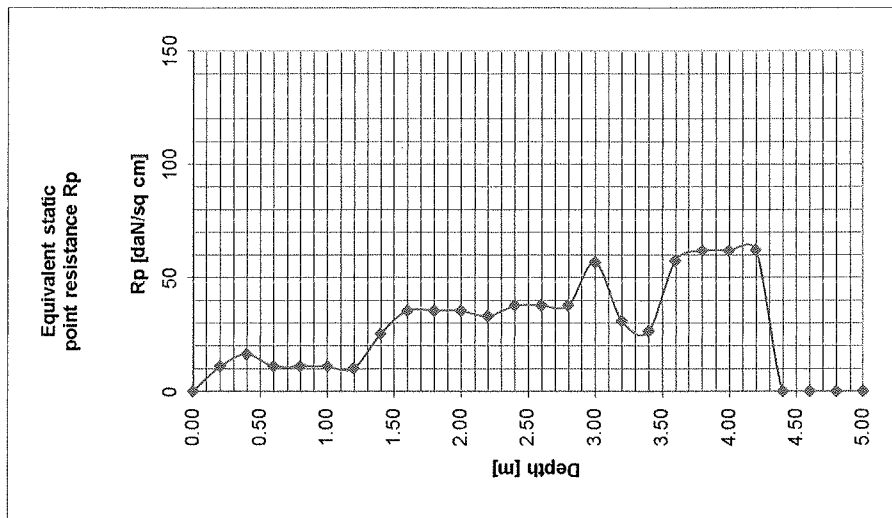
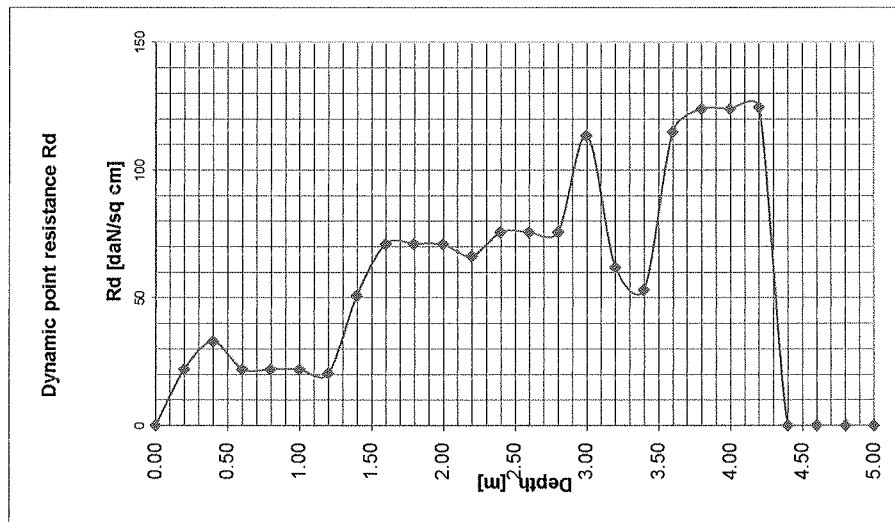
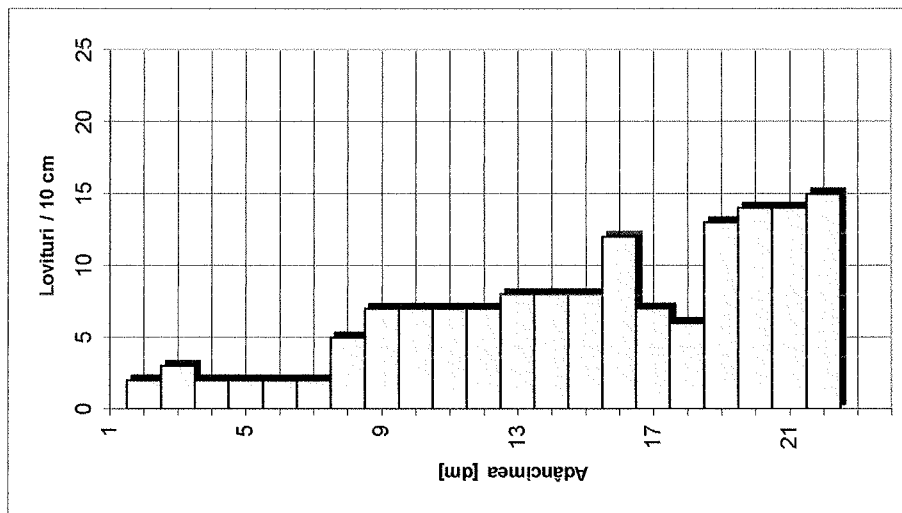
PDG 9



H	N10	Rd	Rp	n	e	lc	ld	M2,3	E	φ
m	lov/10cm	daN/cm ²	daN/cm ²	%	-	-	-	daN/cm ²	daN/cm ²	°
0,0-1,0	2,2	24,11	12,05	49,0	0,96	0,52	0,15	65,61	72,17	30,25
1,0-2,0	5,6	56,83	28,42	45,3	0,83	0,59	0,25	81,25	105,63	30,80
2,0-3,0	8,6	81,28	40,64	43,6	0,77	0,66	0,31	87,78	131,66	31,28
3,0-4,0	10,8	95,50	47,75	42,8	0,75	0,71	0,36	90,72	154,22	31,71

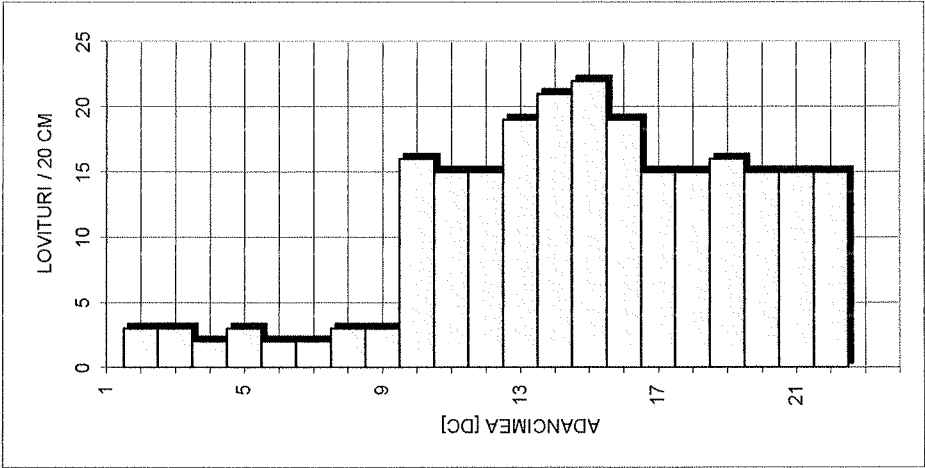
DATA : IANUARIE 2022





PARC FOTOVOLTAIC TEIUS
REZULTATUL INCERCARILOR PRIN PENETRARE DINAMICA CU CON

PDG 10

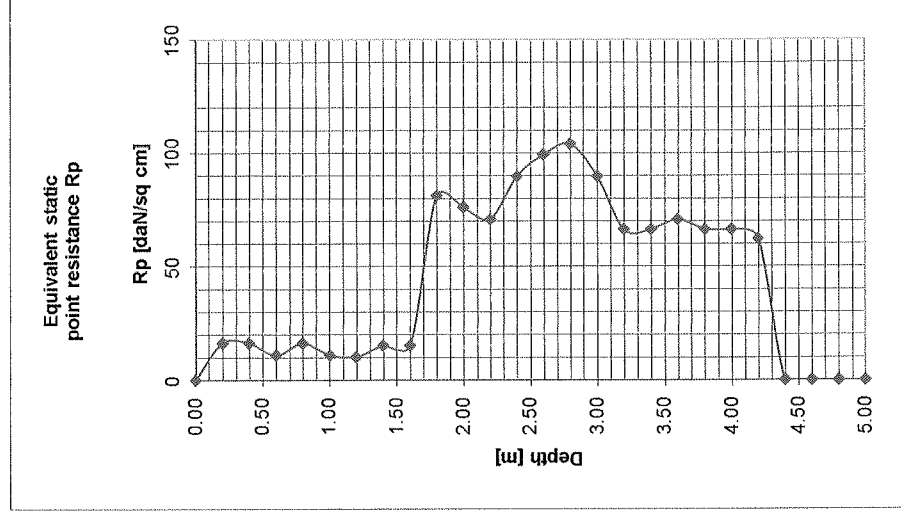
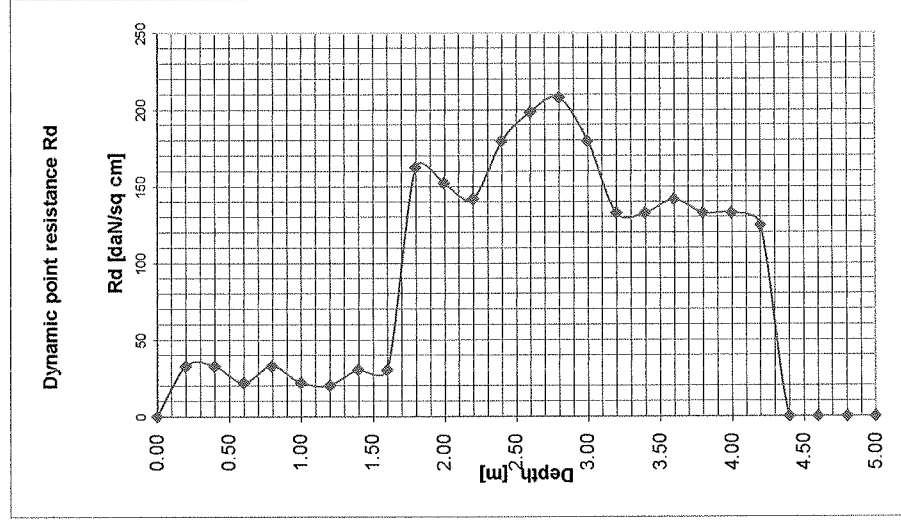
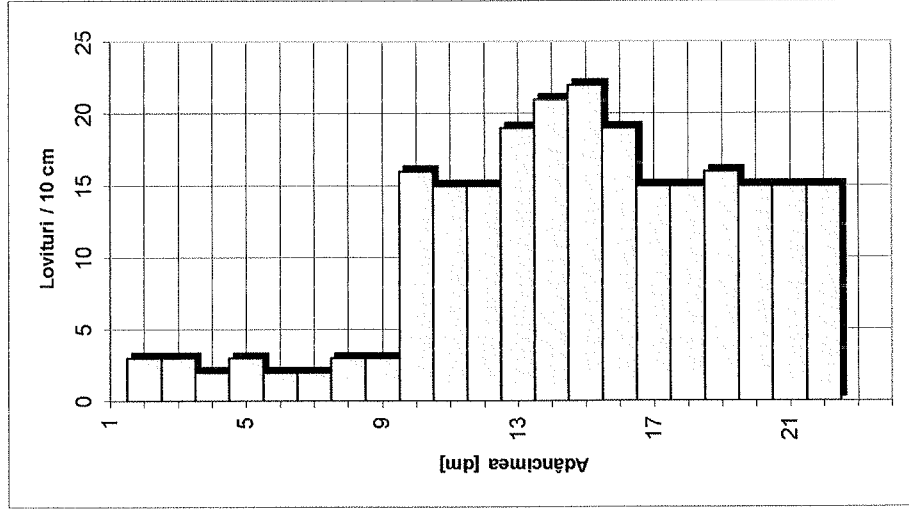


H	N10	Rd	Rp	n	e	lc	lb	M _{2,3}	E	φ
m	lov/10cm	daN/cm ²	daN/cm ²	%	-	-	-	daN/cm ²	daN/cm ²	°
0,0-1,0	2.6	28.49	14.24	48.4	0.94	0.53	0.16	68.66	75.52	30.50
1,0-2,0	7.8	79.16	39.58	43.7	0.78	0.64	0.30	87.29	130.94	31.02
2,0-3,0	19.2	181.45	90.73	39.3	0.65	0.90	0.49	102.42	174.12	31.47
3,0-4,0	15.2	134.41	67.20	41.0	0.69	0.81	0.43	96.95	164.81	31.88

DATA : IANUARIE 2022

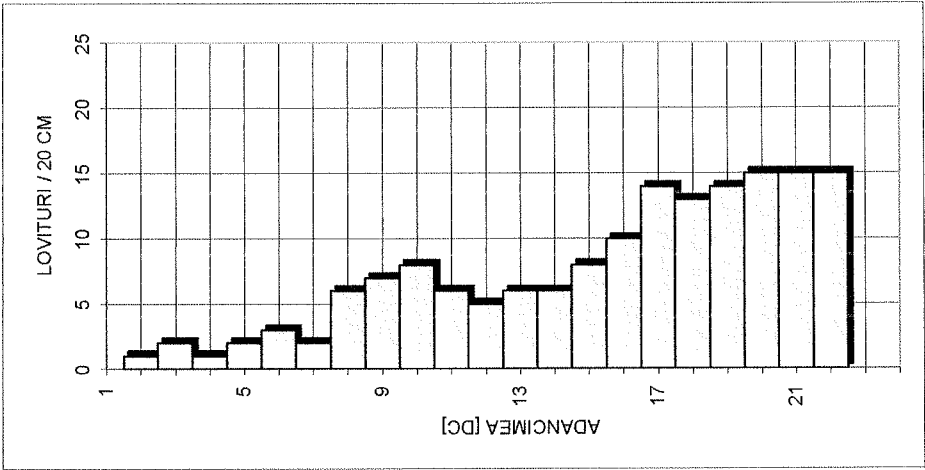


PARC FOTOVOLTAIC TEIUS - PDG 10



REZULTATUL INCERCARILOR PRIN PENETRARE DINAMICA CU CON

PDG 11

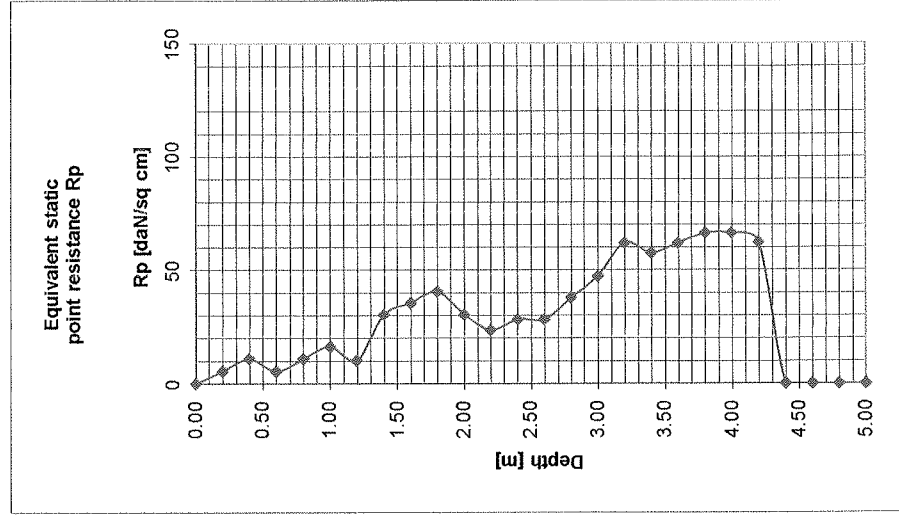
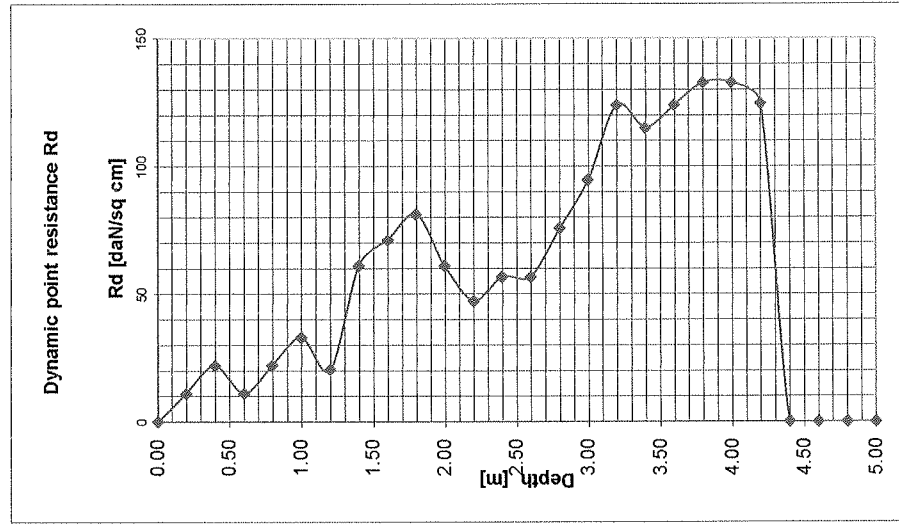
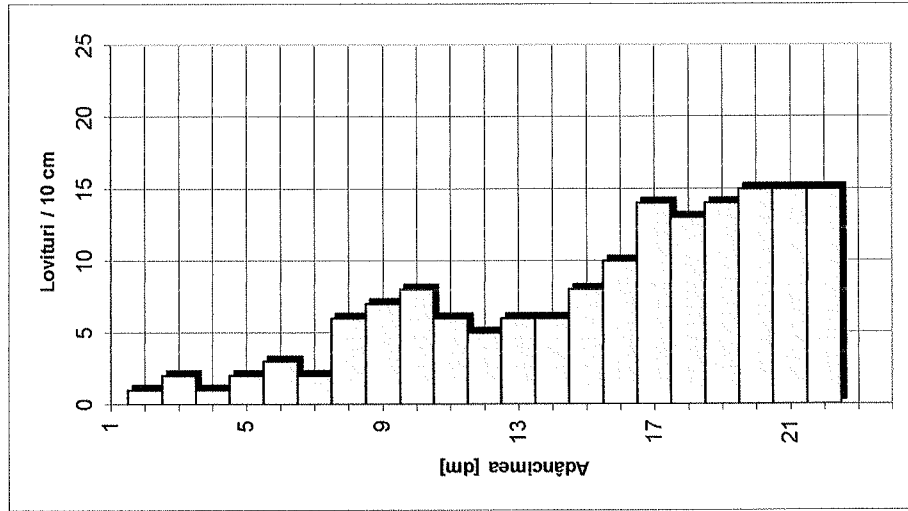


H	N10	Rd	Rp	n	e	lc	lb	M _{2,3}	E	φ
m	lov/10cm	daN/cm ²	daN/cm ²	%	-	-	-	daN/cm ²	daN/cm ²	°
0,0-1,0	1.8	19.72	9.86	49.8	0.99	0.51	0.13	61.95	68.15	29.98
1,0-2,0	5.8	58.86	29.43	45.1	0.82	0.60	0.25	81.39	106.46	30.57
2,0-3,0	7.0	66.15	33.03	44.6	0.80	0.63	0.28	84.02	109.23	31.08
3,0-4,0	14.2	125.57	62.73	41.3	0.70	0.79	0.42	95.71	162.70	31.53

DATA : IANUARIE 2022



PARC FOTOVOLTAIC TEIUS - PDG 11



PARC FOTOVOLTAIC TEIUS

REZULTATUL INCERCARILOR PRIN PENETRARE DINAMICA CU CON

Bar chart showing the frequency distribution of ADVANCIMEA [DC] for LOVITURI / 20 CM. The x-axis represents ADVANCIMEA [DC] with labels 1, 5, 9, 13, 17, 21. The y-axis represents frequency with labels 0, 5, 10, 15, 20, 25. The distribution is unimodal and slightly right-skewed, peaking around 19-20 DC.

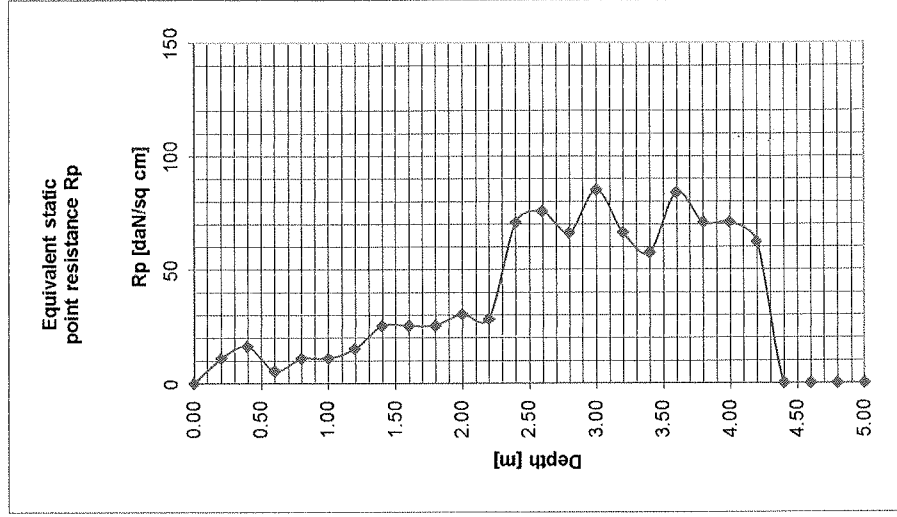
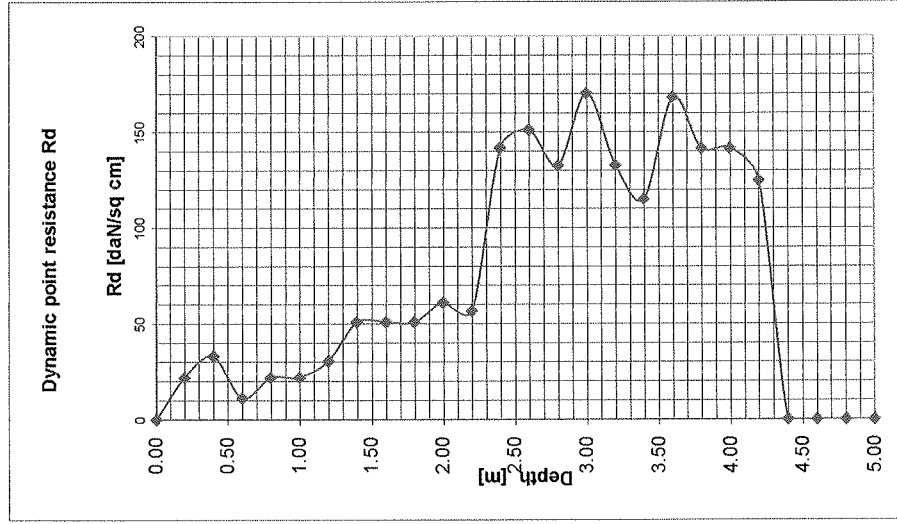
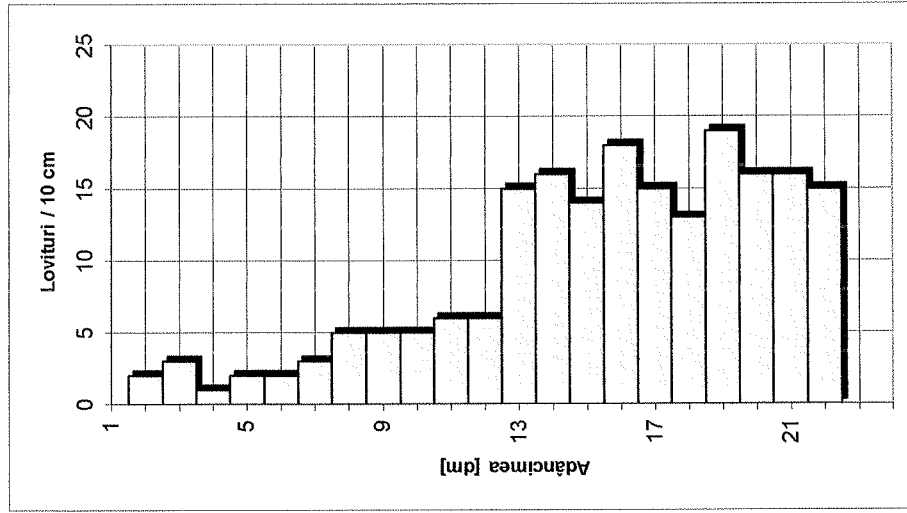
ADVANCIMEA [DC]	Frequency
1	2
2	3
3	3
4	1
5	2
6	2
7	3
8	5
9	5
10	5
11	6
12	6
13	15
14	16
15	14
16	18
17	15
18	13
19	19
20	16
21	16
22	15

[illegible]

DATA : JANUARIE 2022

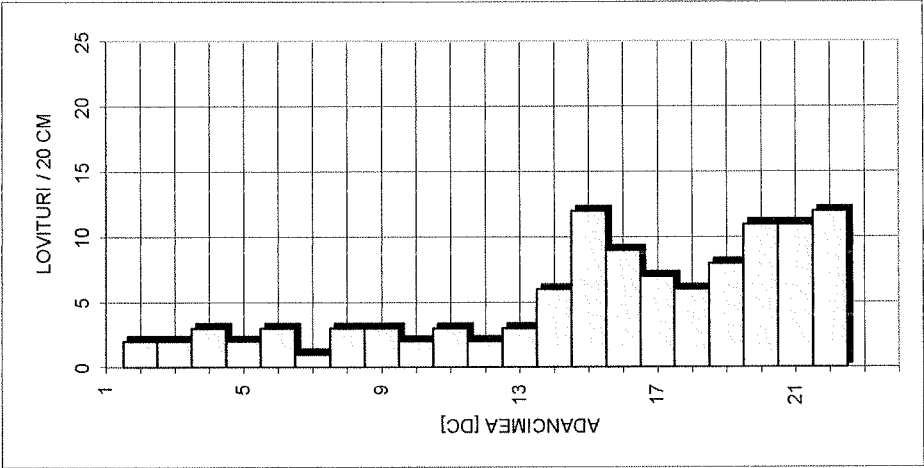


PARC FOTOVOLTAIC TEIUS - PDG 12



PARC FOTOVOLTAIC TEIUS
REZULTATUL INCERCARILOR PRIN PENETRARE DINAMICA CU CON

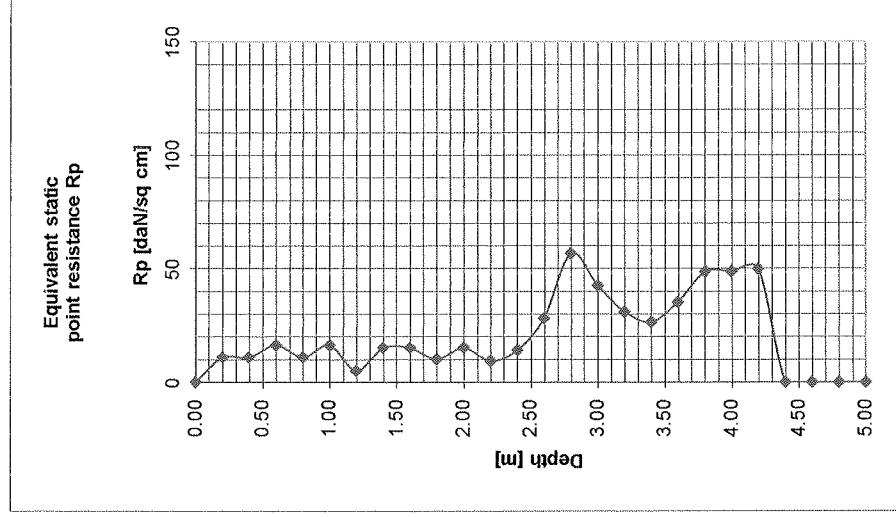
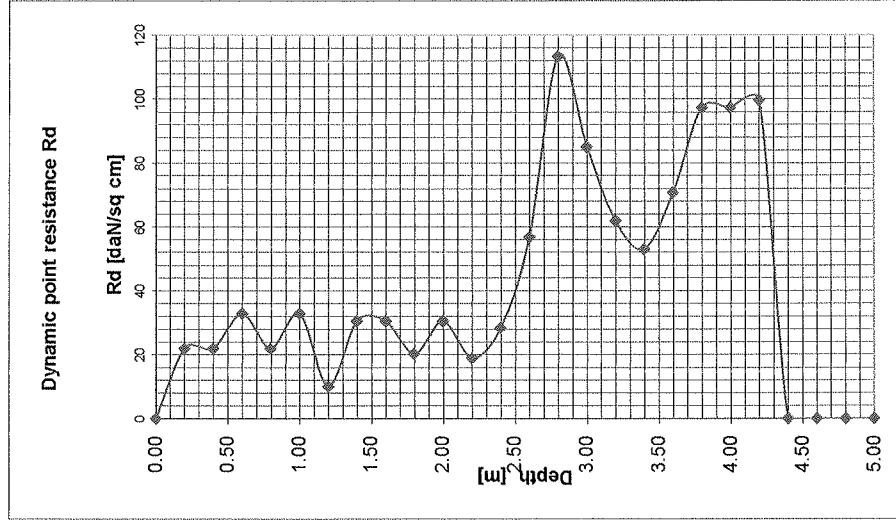
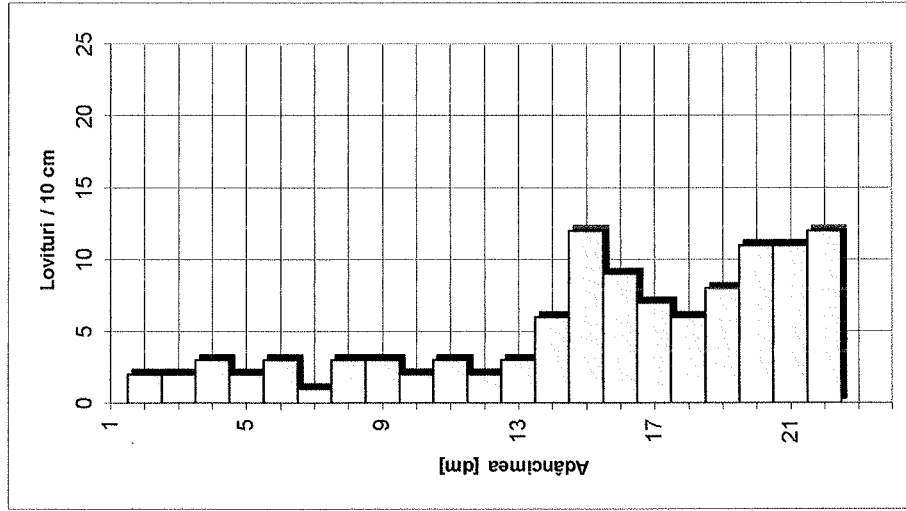
PDG 13



H	N10	Rd	Rp	n	e	lc	ld	M2.3	E	φ
m	lov/10cm	daN/cm²	daN/cm²	%	-	-	-	daN/cm²	daN/cm²	°
0,0-1,0	2,4	26,30	13,15	48,7	0,95	0,52	0,16	67,20	73,92	30,38
1,0-2,0	2,4	24,36	12,18	49,0	0,96	0,52	0,16	65,80	72,38	30,91
2,0-3,0	6,4	60,48	30,24	45,0	0,82	0,61	0,27	82,39	107,10	31,38
3,0-4,0	8,6	76,05	38,02	43,9	0,78	0,66	0,31	86,56	129,84	31,79

DATA : IANUARIE 2022

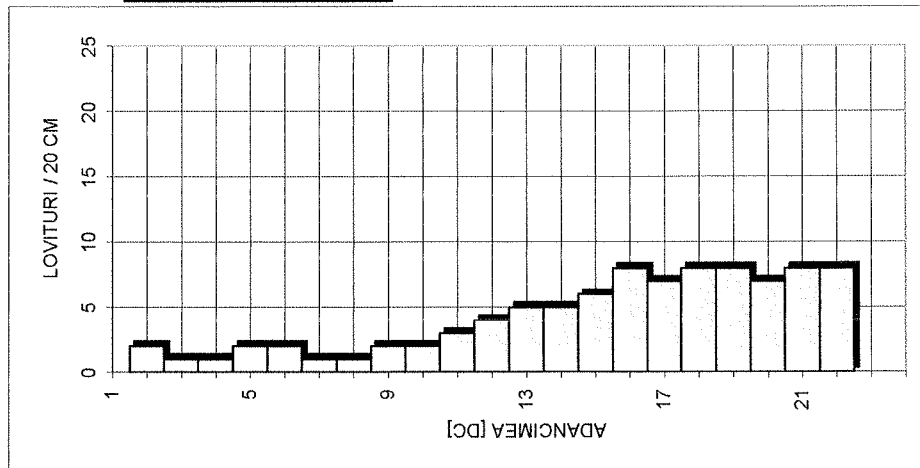




PARC FOTOVOLTAIC TEIUS

REZULTATUL INCERCARILOR PRIN PENETRARE DINAMICA CU CON

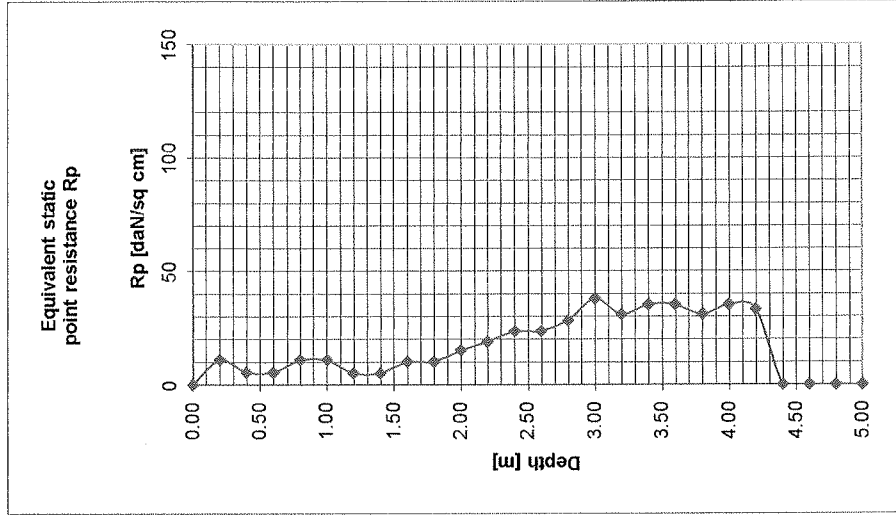
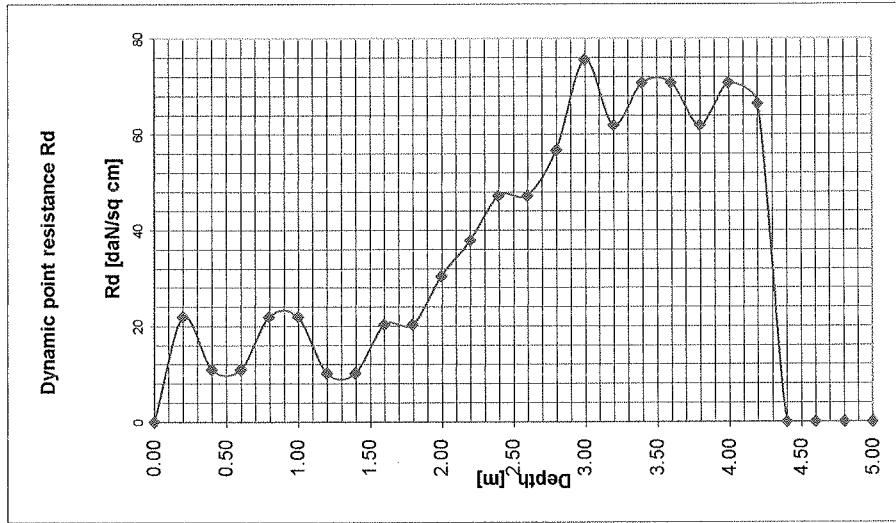
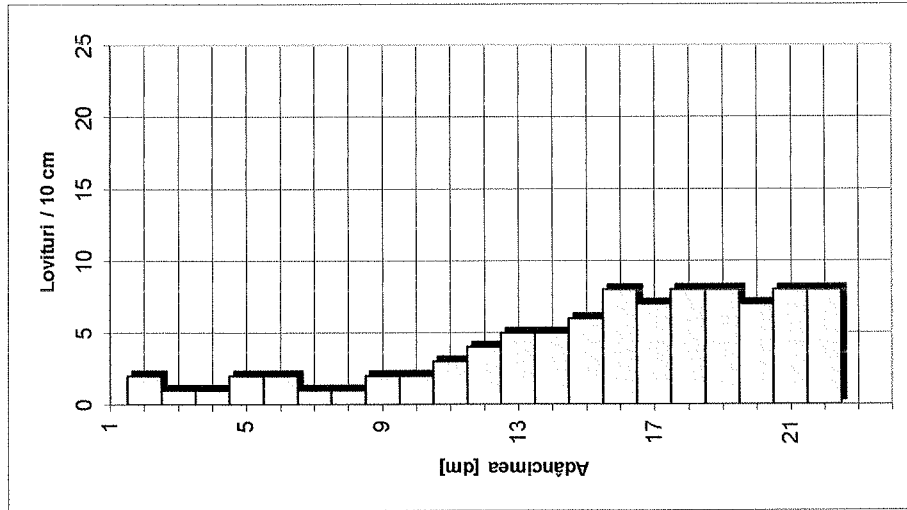
PDG 14

[illegible]

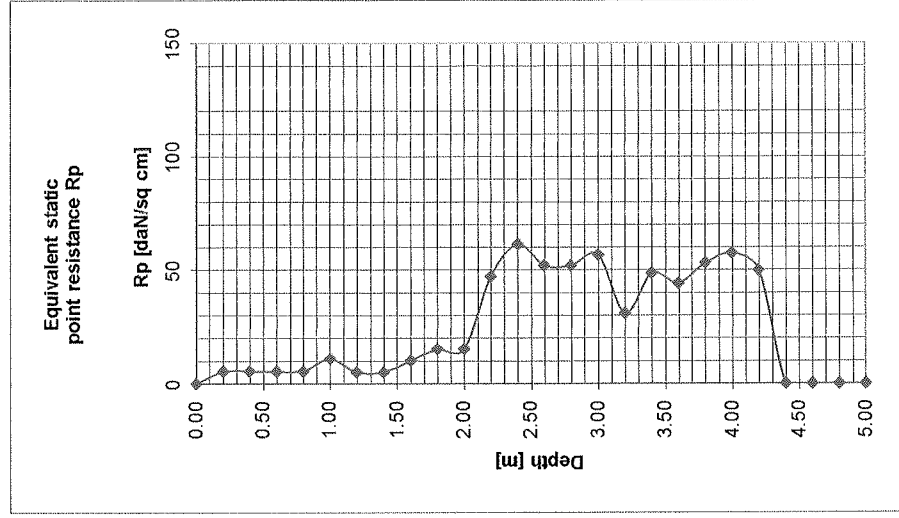
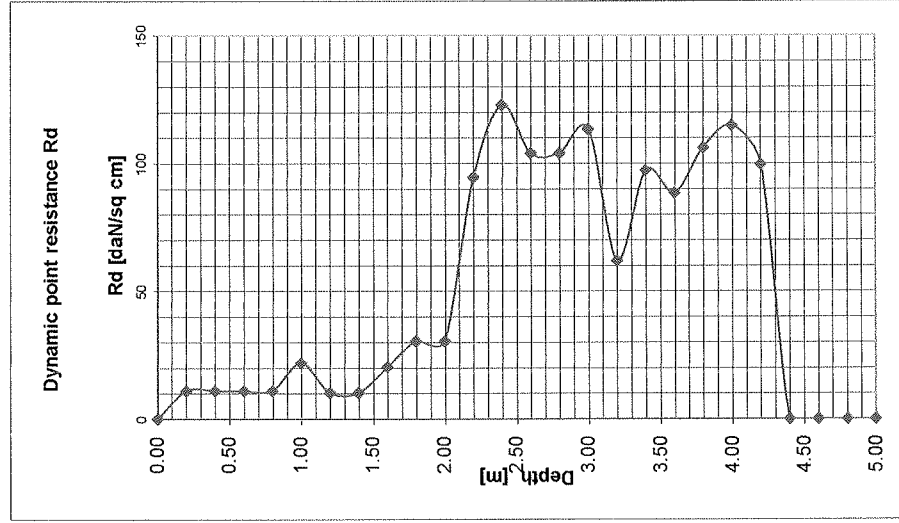
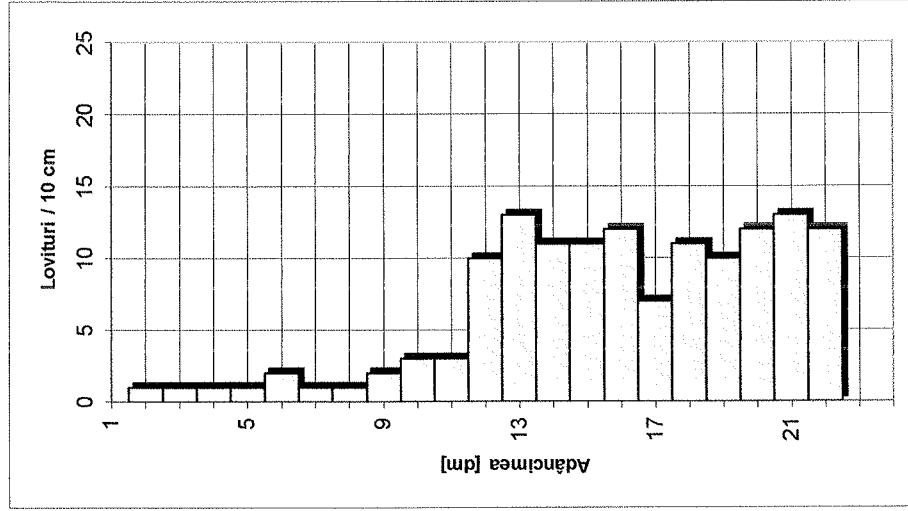
DATA : JANUARIE 2022



PARC FOTOVOLTAIC TEIUS - PDG 14



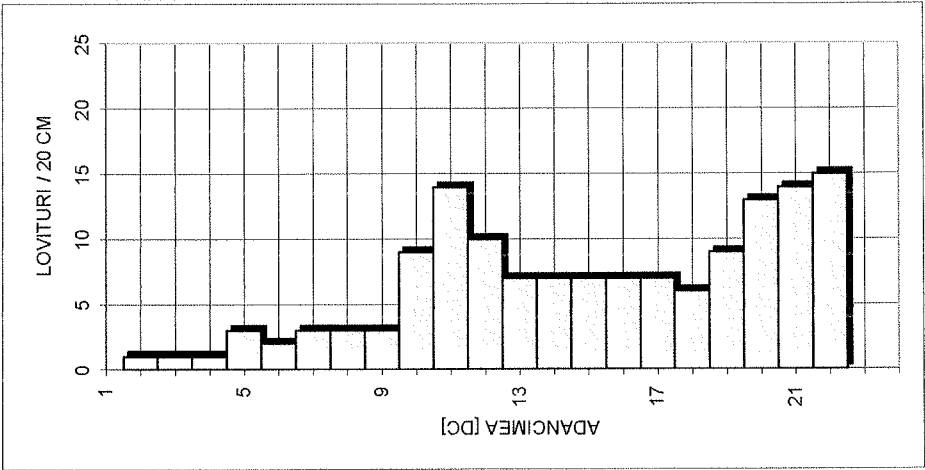
PARC FOTOVOLTAIC TEIUS - PDG 15



PARC FOTOVOLTAIC TEIUS

REZULTATUL INCERCARILOR PRIN PENETRARE DINAMICA CU CON

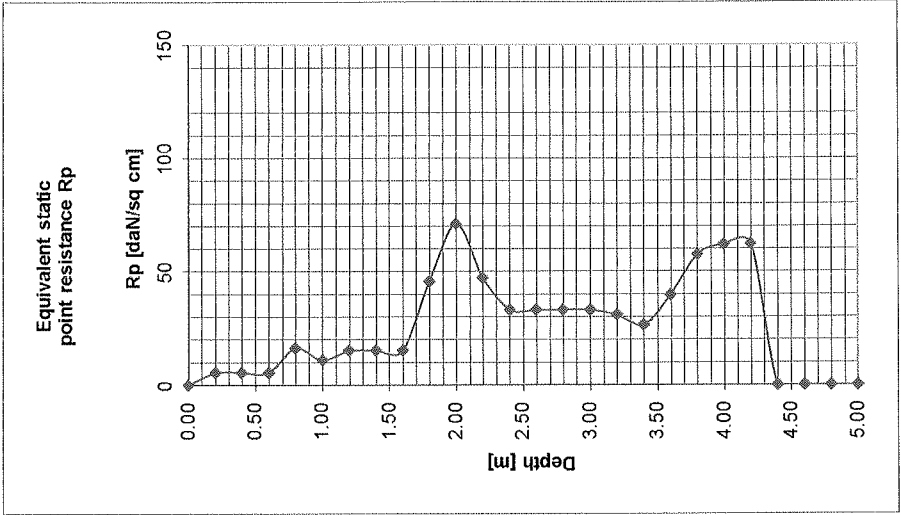
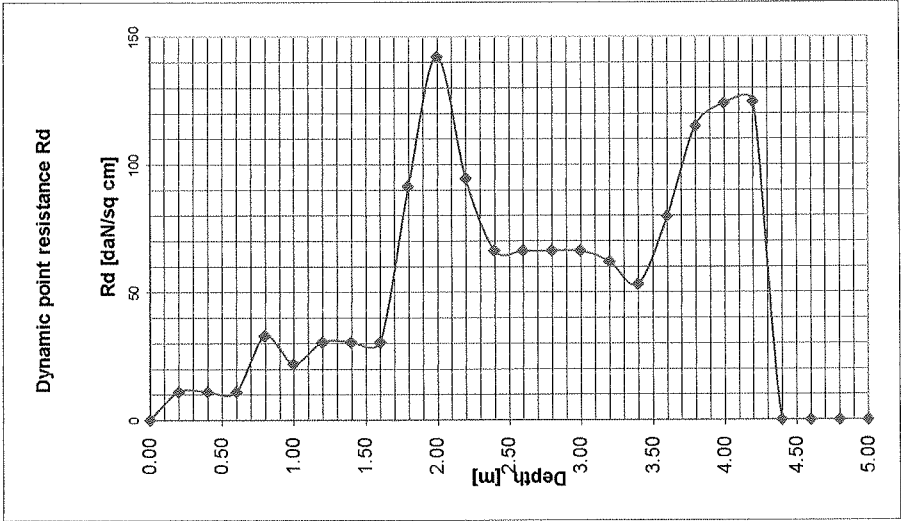
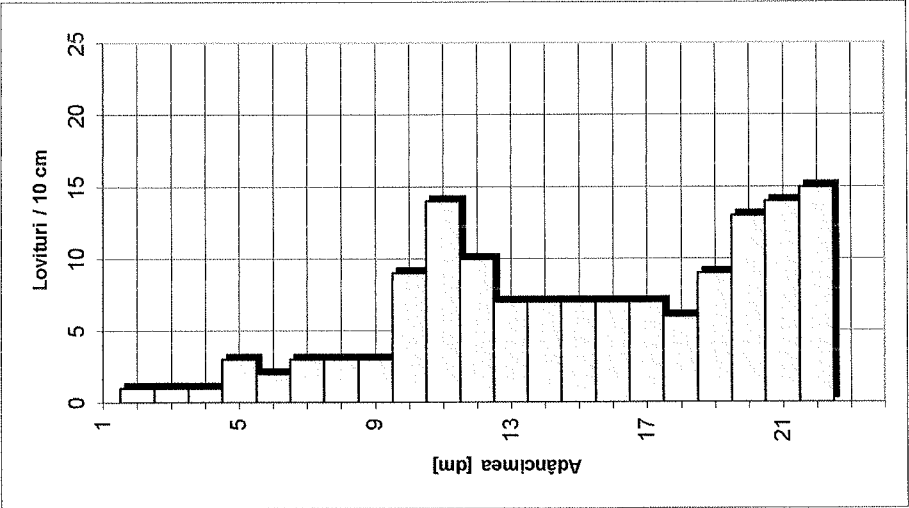
PDG 16



H	N10	Rd	Rp	n	e	lc	lb	M2,3	E	φ
m	lov/10cm	daN/cm²	daN/cm²	%	-	-	-	daN/cm²	daN/cm²	°
0,0-1,0	1.6	17.53	8.77	50.3	1.01	0.51	0.12	59.80	65.79	29.83
1,0-2,0	6.4	64.95	32.47	44.7	0.81	0.61	0.27	83.69	108.79	30.45
2,0-3,0	7.6	71.82	35.91	44.2	0.79	0.64	0.29	85.52	128.28	30.97
3,0-4,0	9.8	86.66	43.33	43.3	0.76	0.69	0.34	88.95	133.42	31.43

DATA : IANUARIE 2022

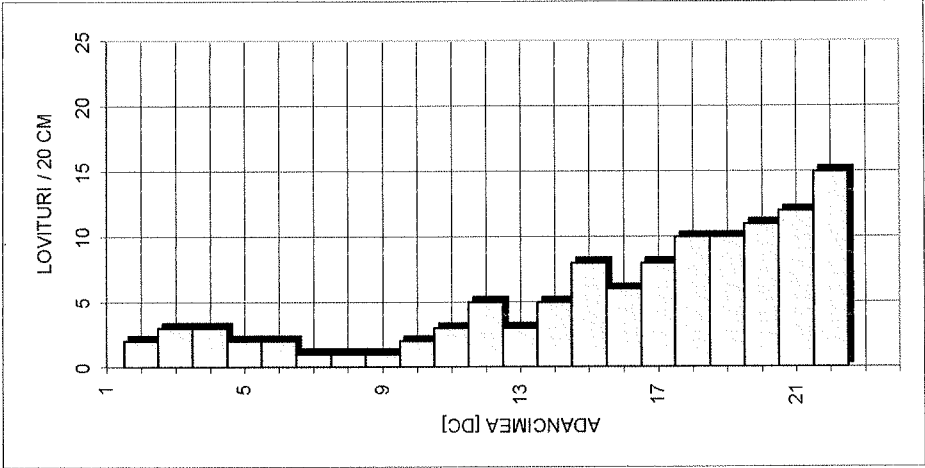




PARC FOTOVOLTAIC TEIUS

REZULTATUL INCERCARILOR PRIN PENETRARE DINAMICA CU CON

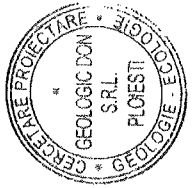
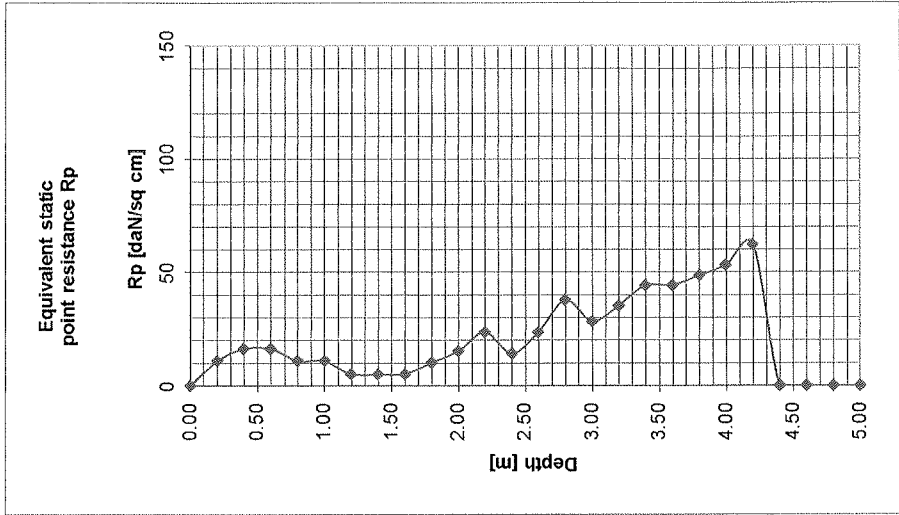
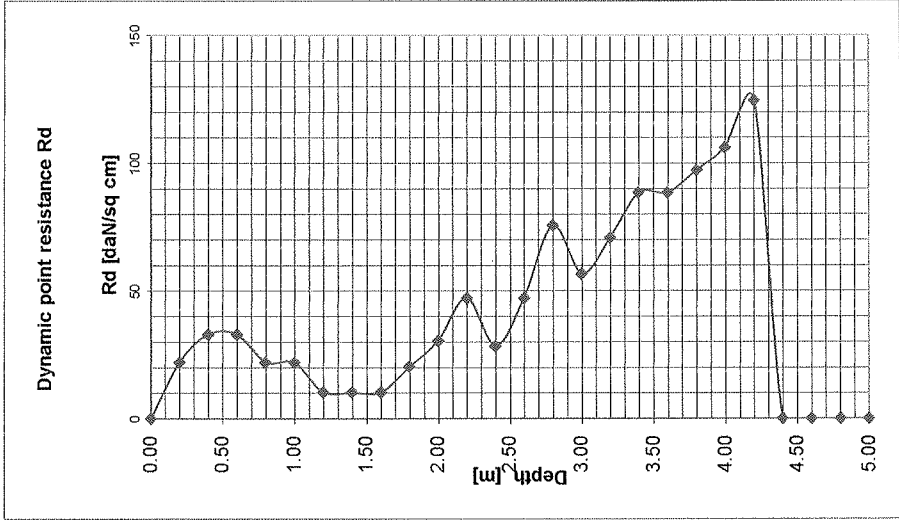
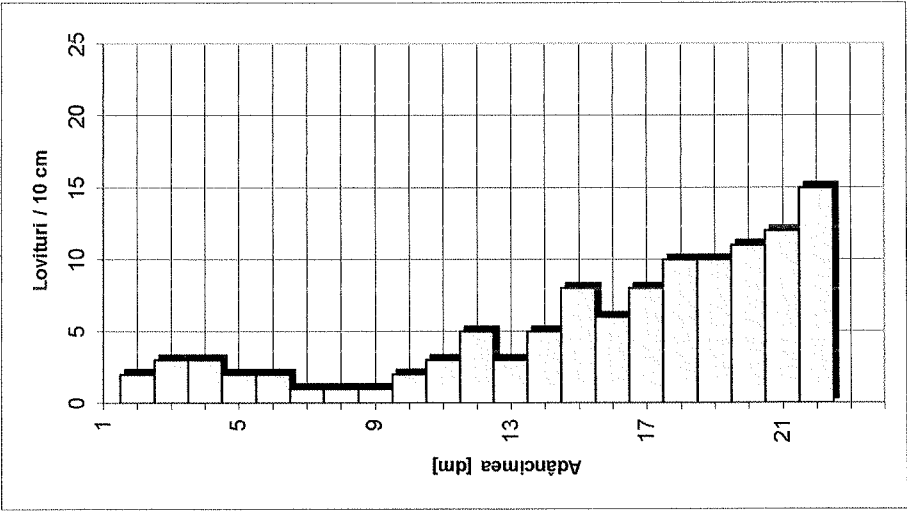
PDG 17



H	N10	Rd	Rp	n	e	lc	ld	M2,3	E	φ
m	lov/10cm	daN/cm²	daN/cm²	%	-	-	-	daN/cm²	daN/cm²	°
0,0-1,0	2,4	26,30	13,15	48,7	0,95	0,52	0,16	67,20	73,92	30,38
1,0-2,0	1,6	16,24	8,12	50,6	1,02	0,51	0,12	58,41	64,25	30,91
2,0-3,0	5,4	51,03	25,52	45,8	0,85	0,59	0,24	79,29	87,22	31,38
3,0-4,0	10,2	90,20	45,10	43,1	0,76	0,70	0,35	89,67	134,51	31,79

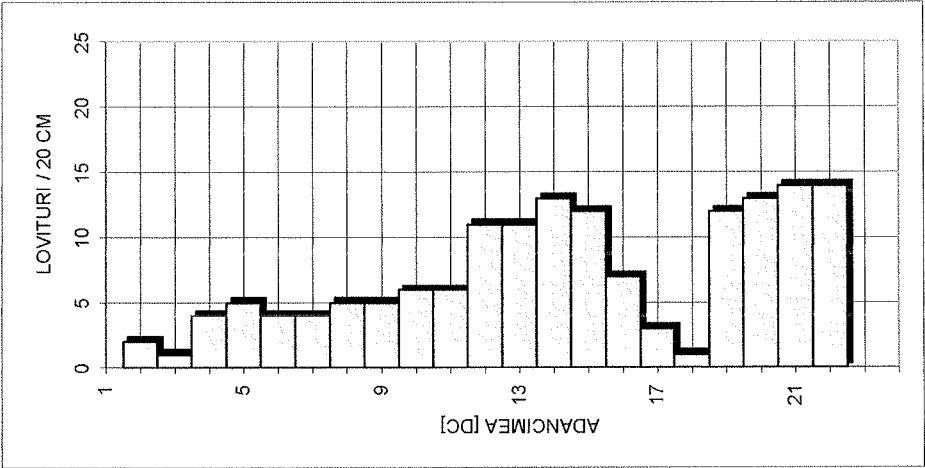
DATA : IANUARIE 2022





PARC FOTOVOLTAIC TEIUS
REZULTATUL INCERCARILOR PRIN PENETRARE DINAMICA CU CON

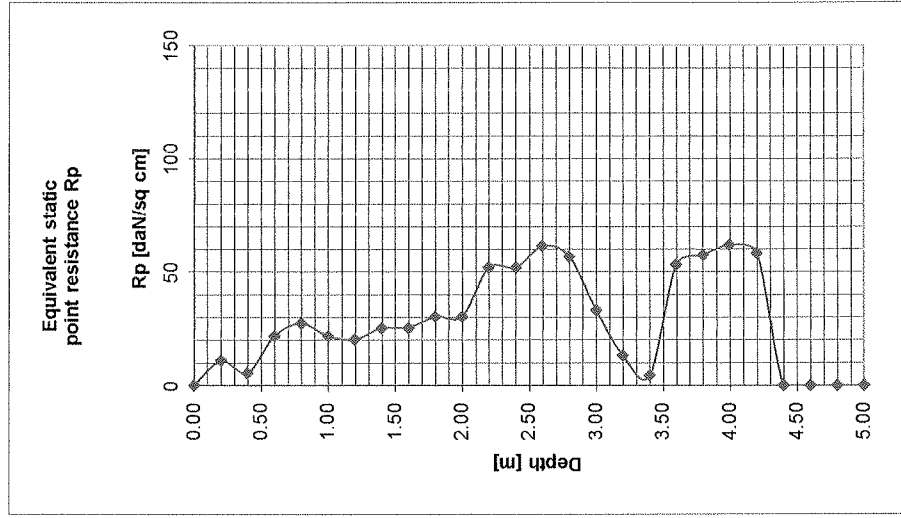
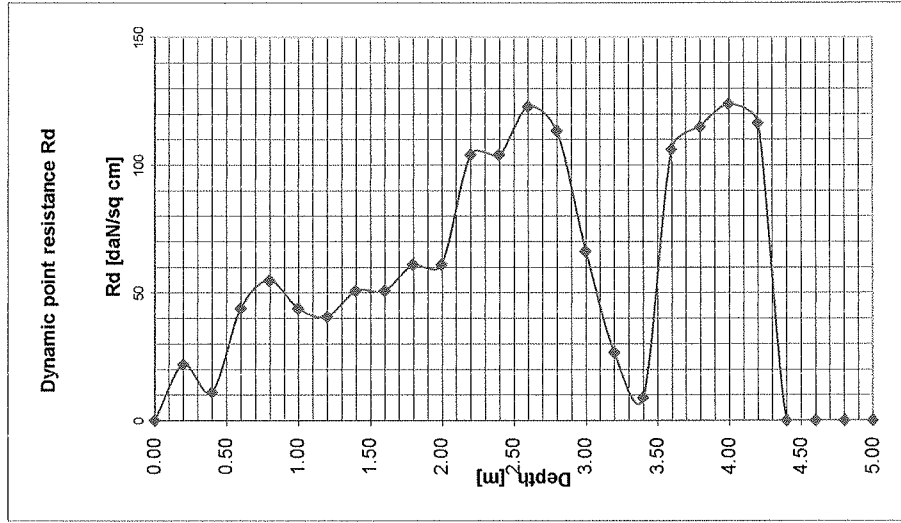
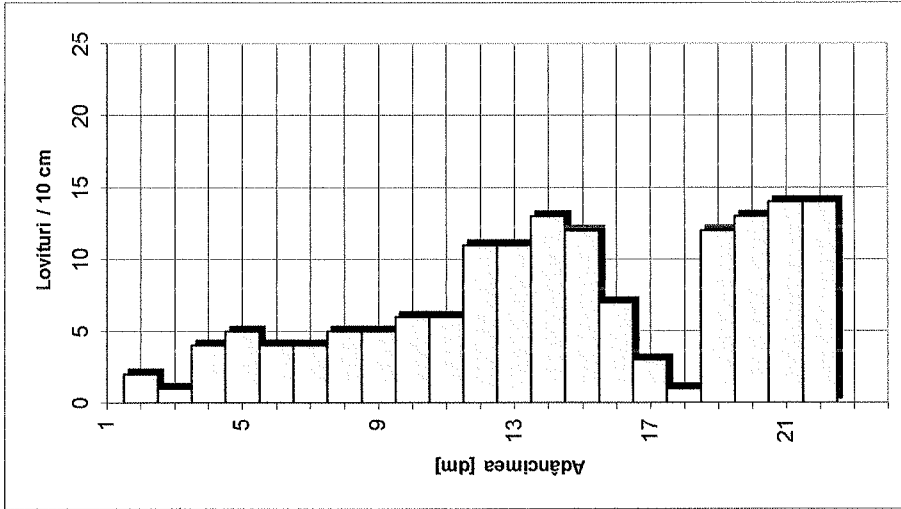
PDG 18



H	N10	Rd	Rp	n	e	lc	lb	M2.3	E	φ
m	lov/10cm	daN/cm²	daN/cm²	%	-	-	-	daN/cm²	daN/cm²	°
0,0-1,0	3.2	35.06	17.53	47.5	0.90	0.54	0.18	72.44	79.69	30.85
1,0-2,0	5.2	52.77	26.39	45.6	0.84	0.59	0.24	79.90	87.89	31.33
2,0-3,0	10.8	102.07	51.03	42.4	0.74	0.71	0.36	91.93	156.28	31.75
3,0-4,0	8.6	76.05	38.02	43.9	0.78	0.66	0.31	86.56	129.84	32.12

DATA : IANUARIE 2022

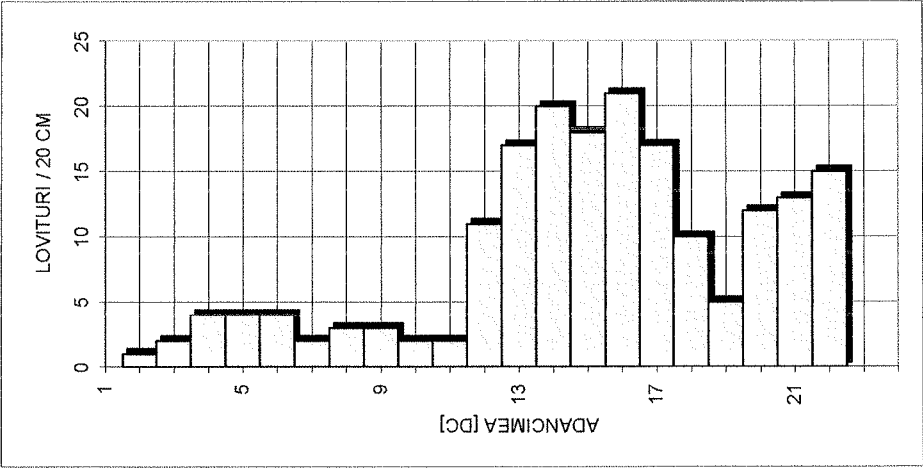




PARC FOTOVOLTAIC TEIUS

REZULTATUL INCERCARILOR PRIN PENETRARE DINAMICA CU CON

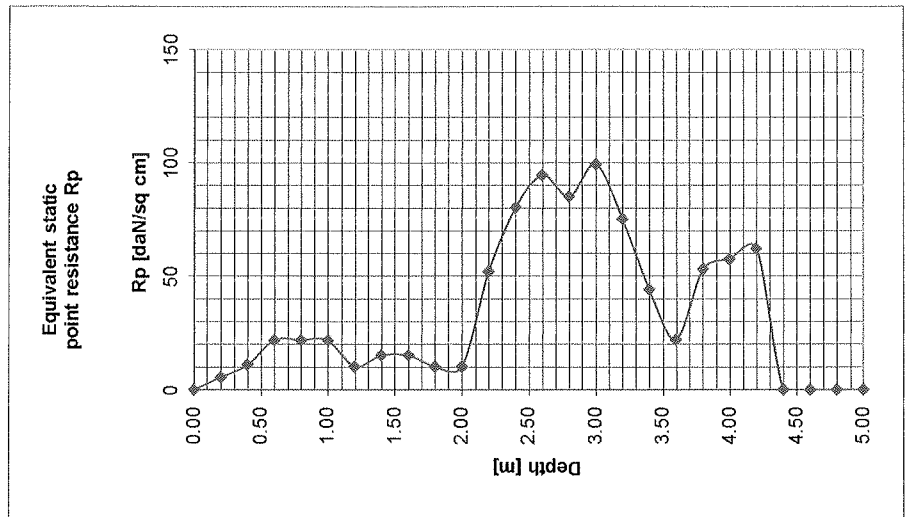
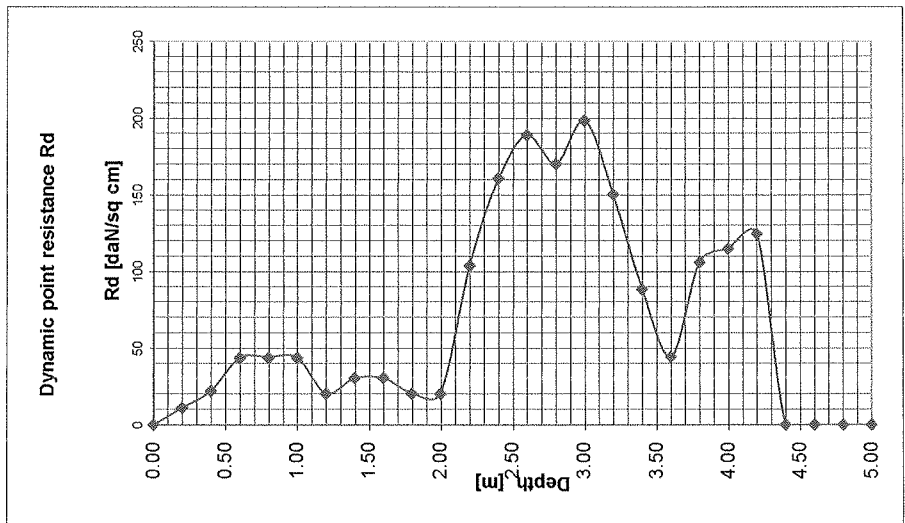
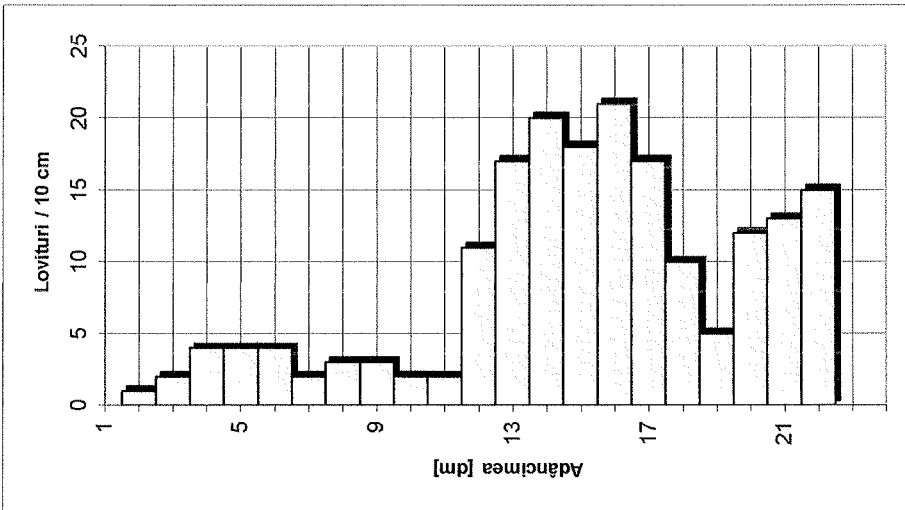
PDG 19



H	N10	Rd	Rp	n	e	lc	ld	M ₂₋₃	E	φ
m	lov/10cm	daN/cm ²	daN/cm ²	%	-	-	-	daN/cm ²	daN/cm ²	°
0,0-1,0	3,0	32,87	16,44	47,8	0,91	0,54	0,18	71,27	78,39	30,74
1,0-2,0	2,4	24,36	12,18	49,0	0,96	0,52	0,16	65,80	72,38	31,23
2,0-3,0	17,4	164,44	82,22	39,8	0,66	0,86	0,46	100,63	171,07	31,66
3,0-4,0	11,4	100,81	50,40	42,5	0,74	0,72	0,37	91,70	155,90	32,04

DATA : IANUARIE 2022

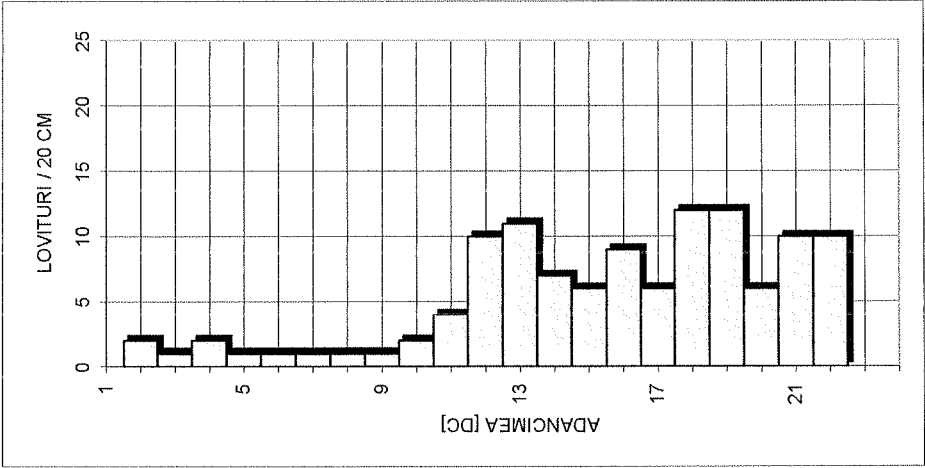




PARC FOTOVOLTAIC TEIUS

REZULTATUL INCERCARILOR PRIN PENETRARE DINAMICA CU CON

PDG 20

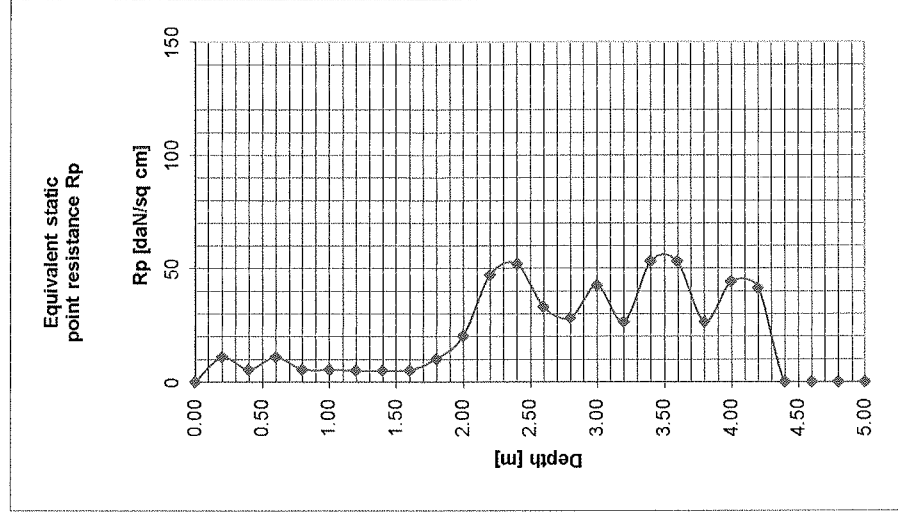
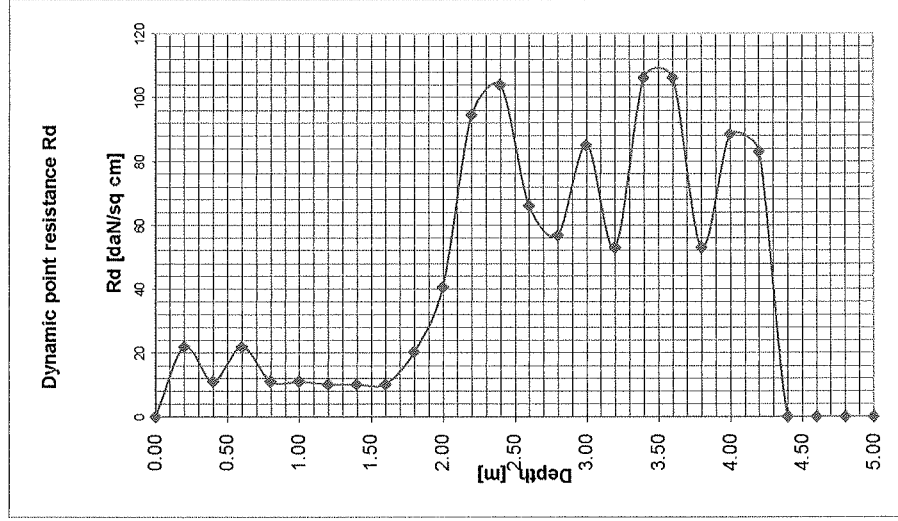
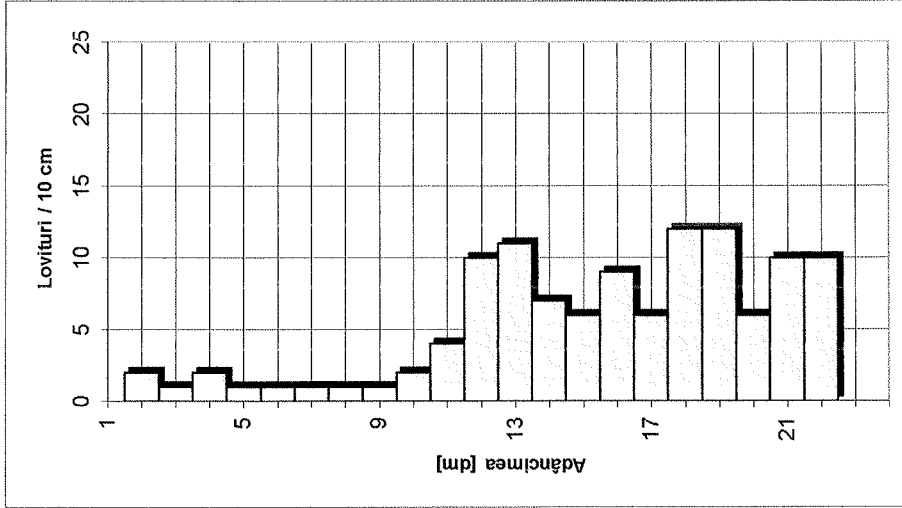


H	N10	Rd	Rp	n	e	lc	ld	M2-3	E	φ
m	lov/10cm	daN/cm²	daN/cm²	%	-	-	-	daN/cm²	daN/cm²	°
0,0-1,0	1.4	15.34	7.67	50.8	1.03	0.50	0.12	57.37	63.11	29.68
1,0-2,0	1.8	18.27	9.13	50.1	1.01	0.51	0.13	60.55	66.61	30.32
2,0-3,0	8.6	81.28	40.64	43.6	0.77	0.66	0.31	87.78	131.66	30.86
3,0-4,0	9.2	81.35	40.63	43.6	0.77	0.68	0.33	87.79	131.69	31.34

DATA : IANUARIE 2022

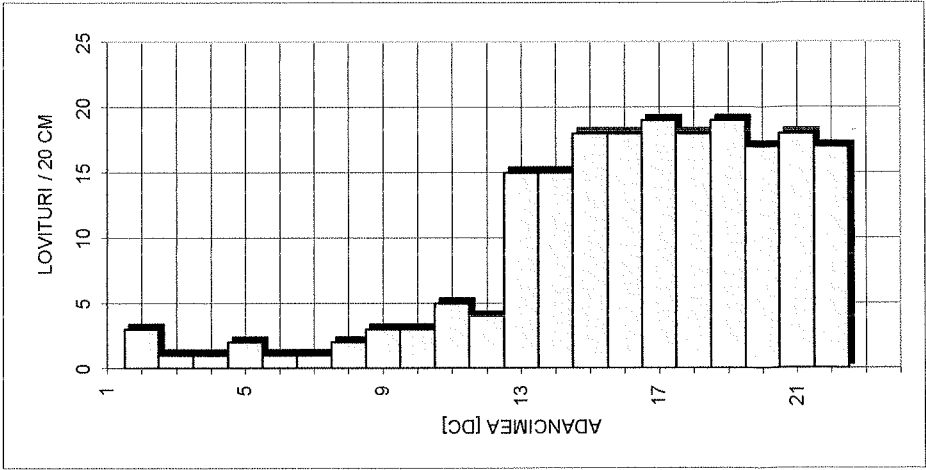


PARC FOTOVOLTAIC TEIUS - PDG 20



PARC FOTOVOLTAIC TEIUS
REZULTATUL INCERCARILOR PRIN PENETRARE DINAMICA CU CON

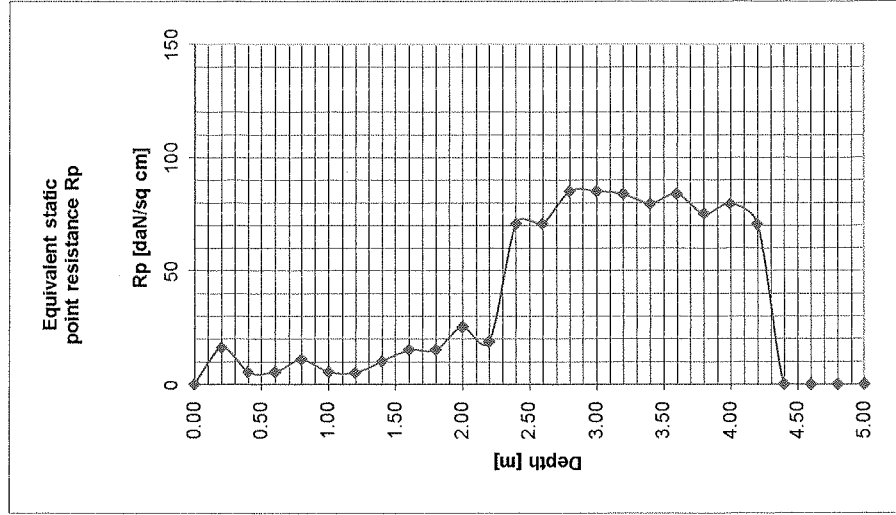
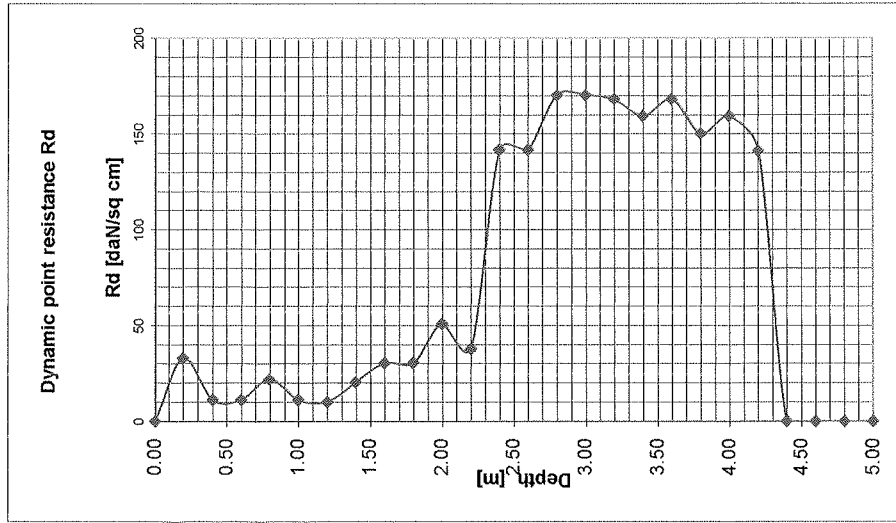
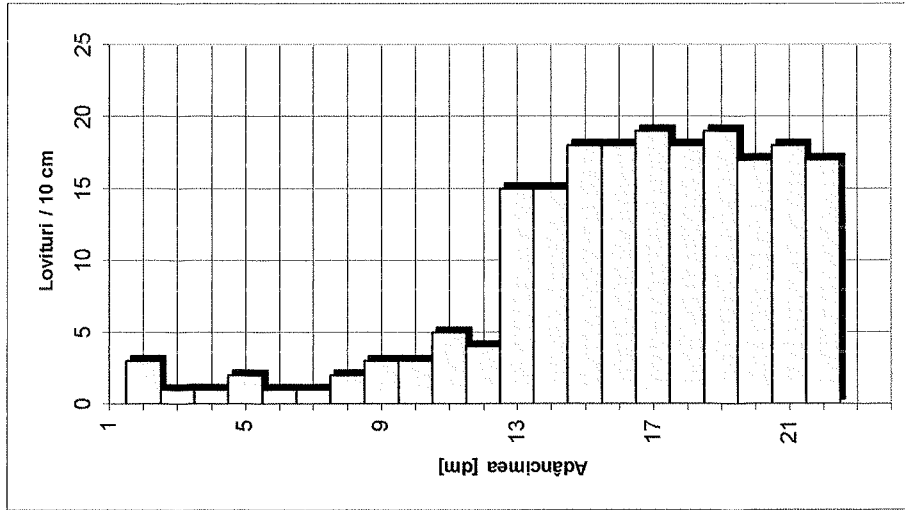
PDG 21



H	N10	Rd	Rp	n	e	lc	ld	M2-3	E	φ
m	lov/10cm	daN/cm ²	daN/cm ²	%	-	-	-	daN/cm ²	daN/cm ²	°
0,0-1,0	1,6	17,53	8,77	50,3	1,01	0,51	0,12	59,80	65,79	29,83
1,0-2,0	2,8	28,42	14,21	48,4	0,94	0,53	0,17	68,61	75,47	30,45
2,0-3,0	14,0	132,31	66,15	41,0	0,70	0,78	0,41	96,66	164,33	30,97
3,0-4,0	18,2	160,94	80,47	40,0	0,67	0,88	0,48	100,23	170,40	31,43

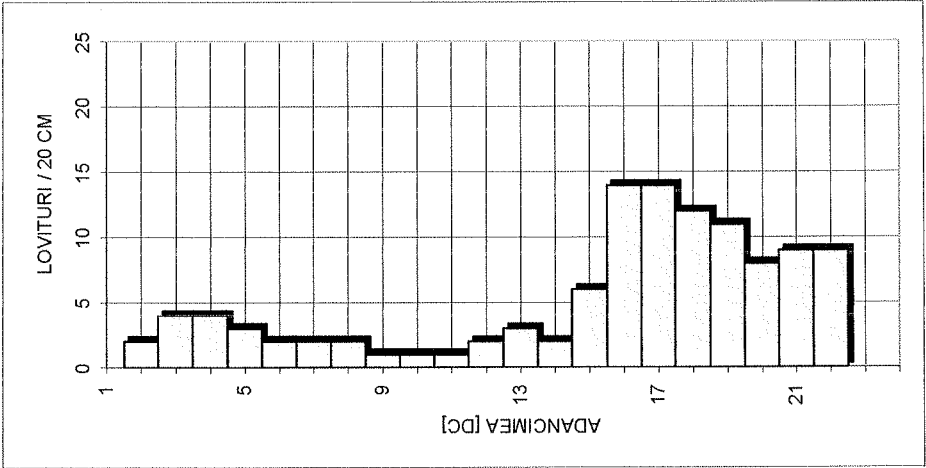
DATA : IANUARIE 2022





PARC FOTOVOLTAIC TEIUS
REZULTATUL INCERCARILOR PRIN PENETRARE DINAMICA CU CON

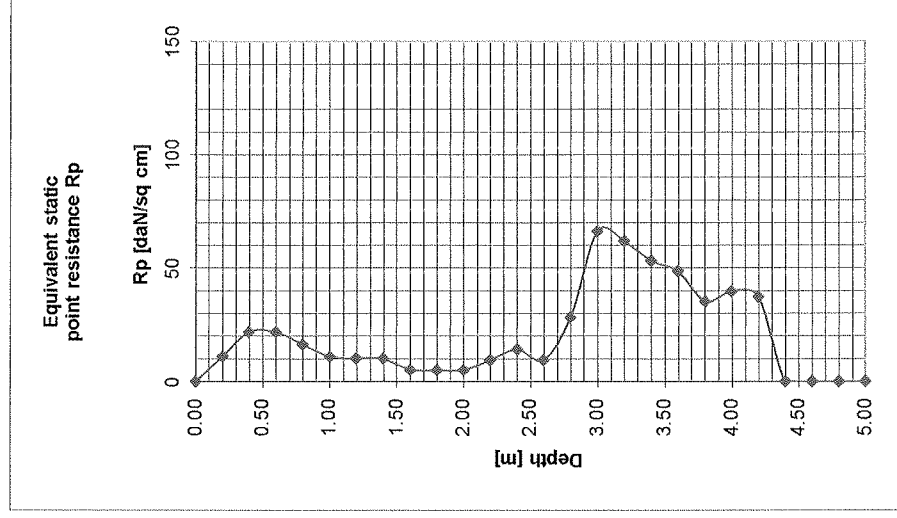
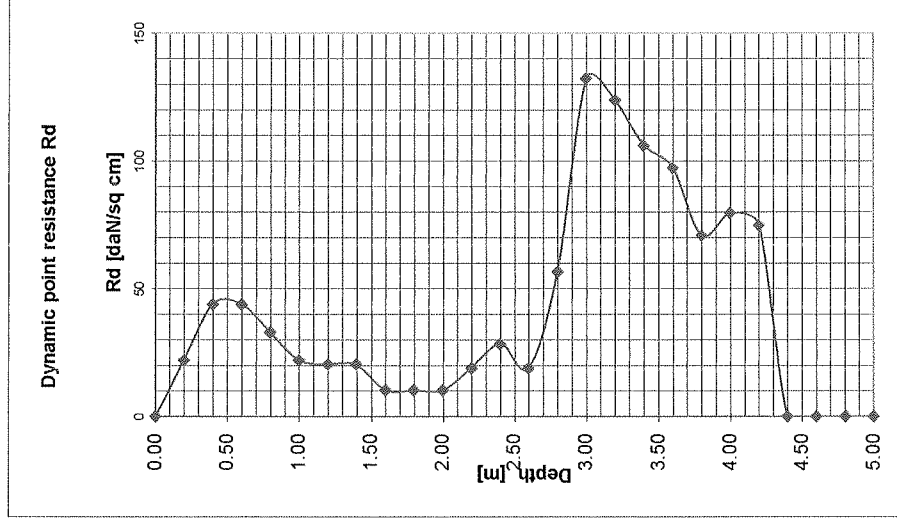
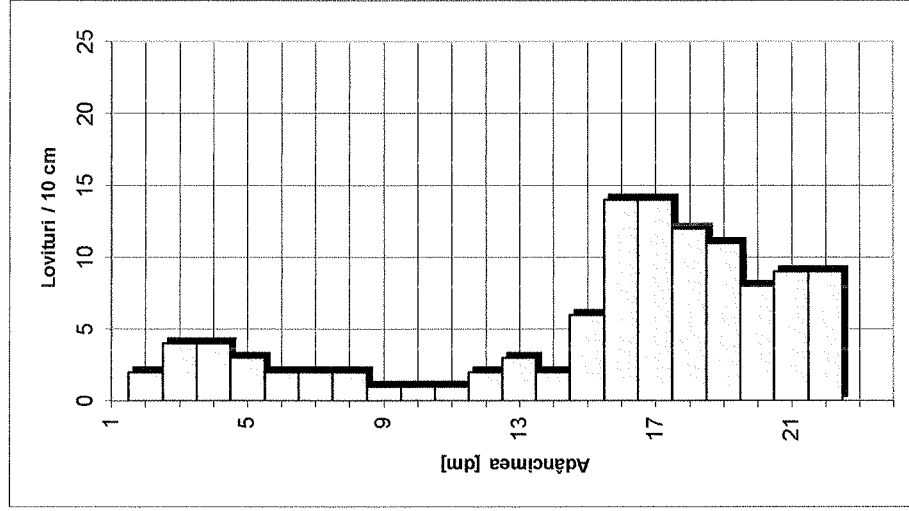
PDG 22



H	N10	Rd	Rp	n	e	lc	ld	M23	E	φ
m	lov/10cm	daN/cm²	daN/cm²	%	-	-	-	daN/cm²	daN/cm²	°
0,0-1,0	3,0	32,87	16,44	47,8	0,91	0,54	0,18	71,27	78,39	30,74
1,0-2,0	1,4	14,21	7,10	51,1	1,05	0,50	0,12	55,97	61,57	31,23
2,0-3,0	5,4	51,03	25,52	45,8	0,85	0,59	0,24	79,29	87,22	31,66
3,0-4,0	10,8	95,50	47,75	42,8	0,75	0,71	0,36	90,72	154,22	32,04

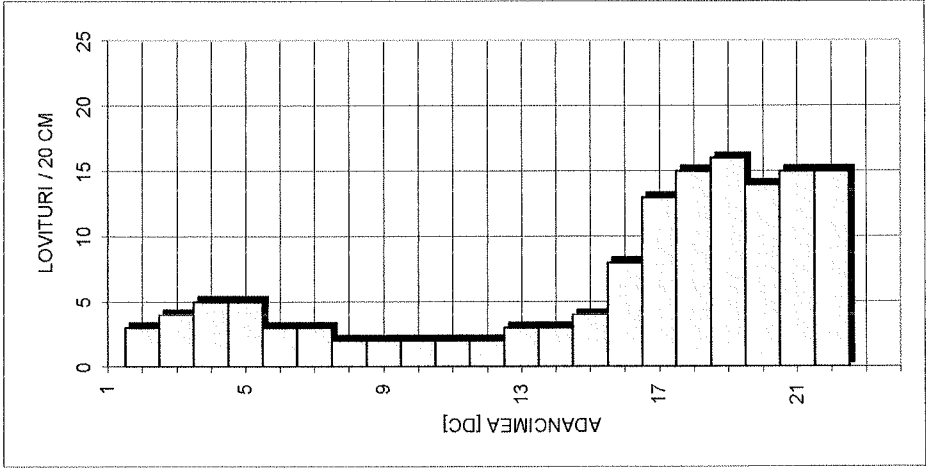
DATA : IANUARIE 2022





PARC FOTOVOLTAIC TEIUS
REZULTATUL INCERCARILOR PRIN PENETRARE DINAMICA CU CON

PDG 23

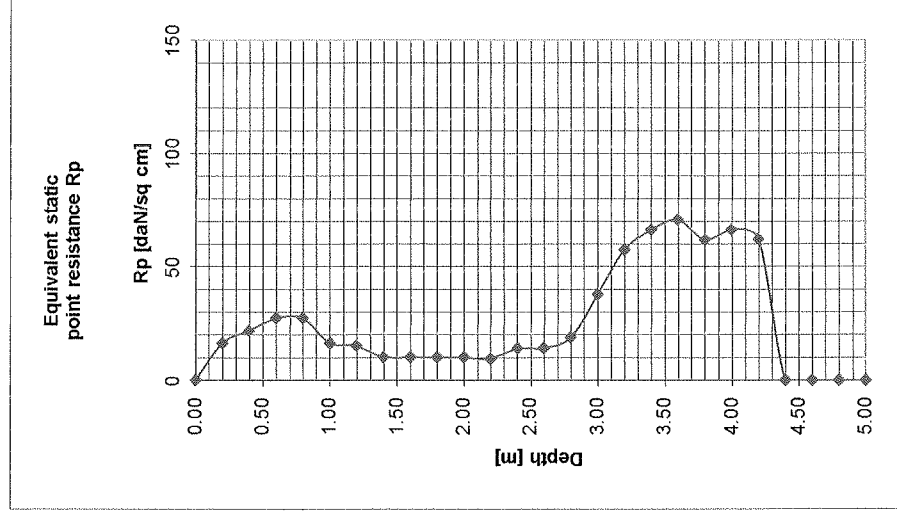
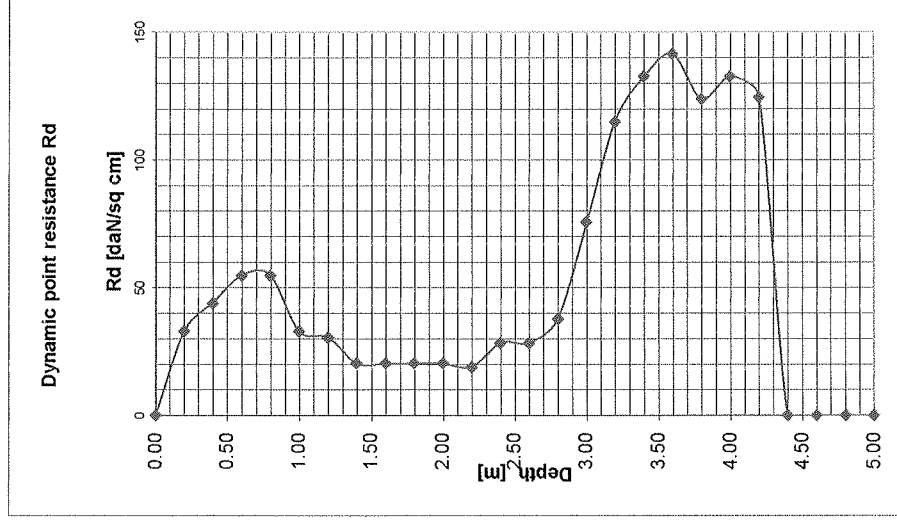
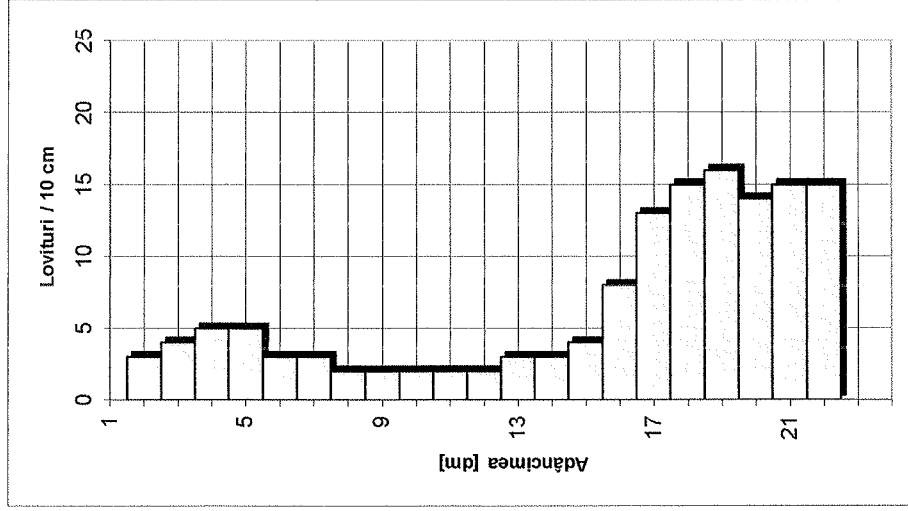


H	N10	Rd	Rp	n	e	lc	ld	M2-3	E	φ
m	lov/10cm	daN/cm²	daN/cm²	%	-	-	-	daN/cm²	daN/cm²	°
0,0-1,0	4,0	43,83	21,91	46,5	0,87	0,56	0,21	76,51	84,17	31,27
1,0-2,0	2,2	22,33	11,16	49,4	0,97	0,52	0,15	64,21	70,63	31,70
2,0-3,0	4,0	37,80	18,90	47,1	0,89	0,56	0,21	73,82	81,20	32,08
3,0-4,0	14,6	129,10	64,55	41,2	0,70	0,80	0,42	96,21	163,57	32,43

DATA : IANUARIE 2022

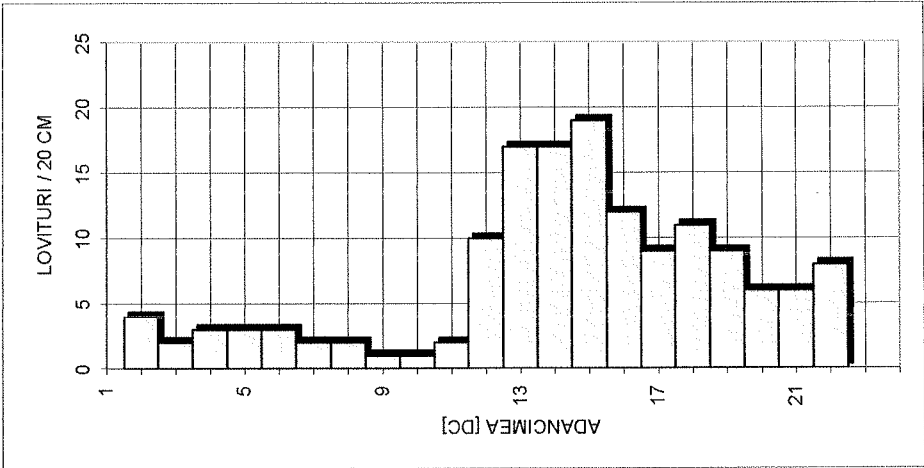


PARC FOTOVOLTAIC TEIUS - PDG 23



PARC FOTOVOLTAIC TEIUS
REZULTATUL INCERCARILOR PRIN PENETRARE DINAMICA CU CON

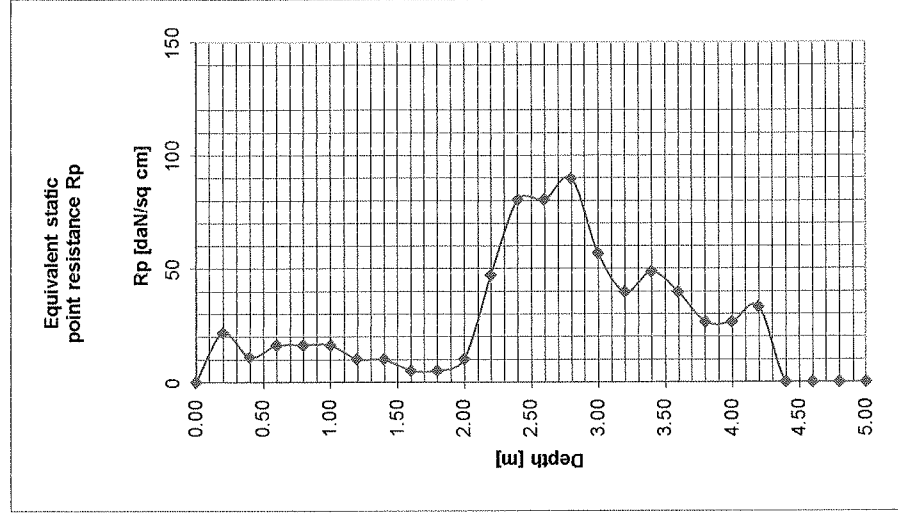
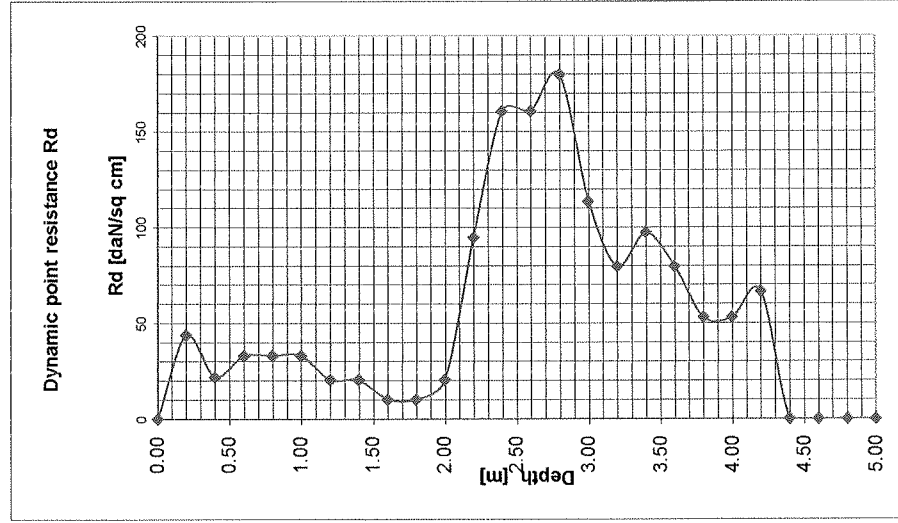
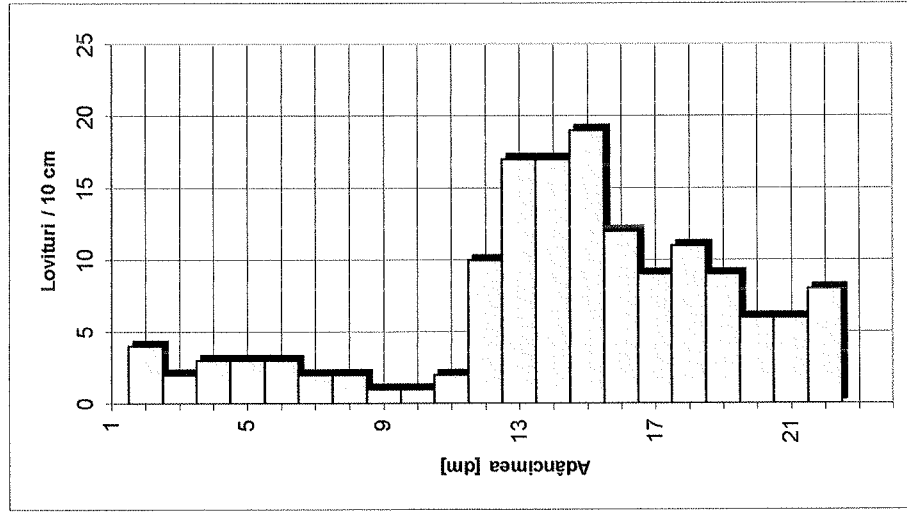
PDG 24



H	N10	Rd	Rp	n	e	lc	ld	M _{2,3}	E	φ
m	lov/10cm	daN/cm ²	daN/cm ²	%	-	-	-	daN/cm ²	daN/cm ²	°
0,0-1,0	3,0	32,87	16,44	47,8	0,91	0,54	0,18	71,27	78,39	30,74
1,0-2,0	1,6	16,24	8,12	50,6	1,02	0,51	0,12	58,41	64,25	31,23
2,0-3,0	15,0	141,76	70,88	40,7	0,69	0,80	0,43	97,92	166,46	31,66
3,0-4,0	8,2	72,51	36,25	44,1	0,79	0,65	0,31	85,99	128,54	32,04

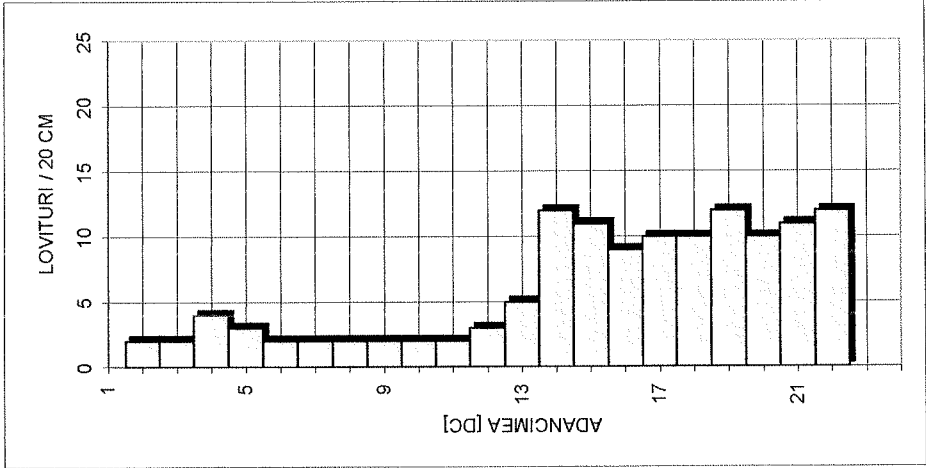
DATA : IANUARIE 2022





PARC FOTOVOLTAIC TEIUS
REZULTATUL INCERCARILOR PRIN PENETRARE DINAMICA CU CON

PDG 25

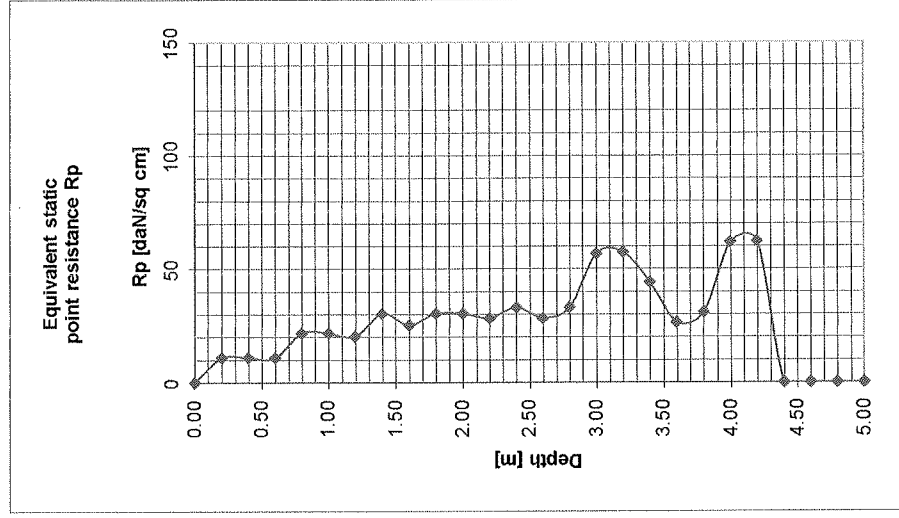
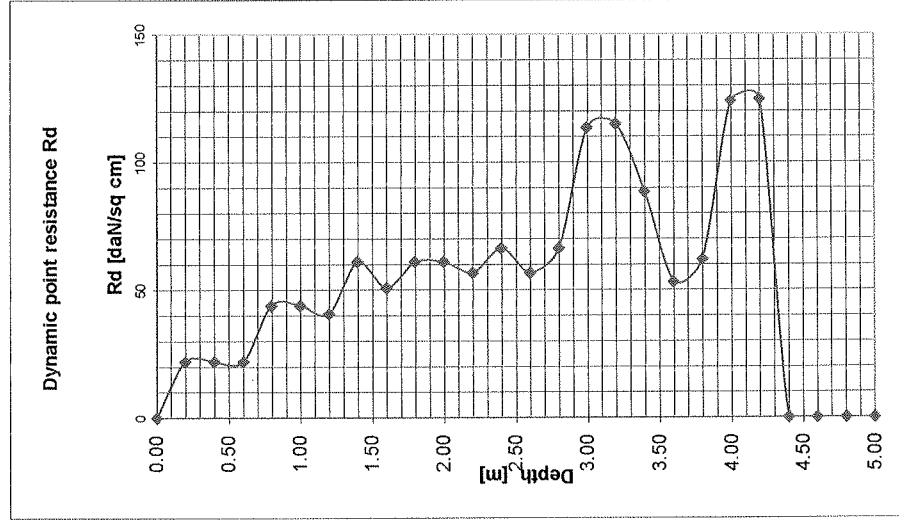
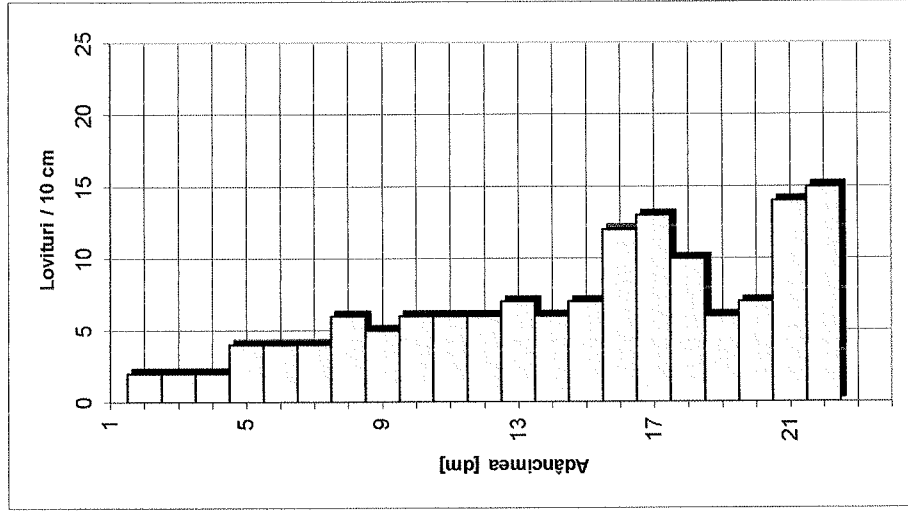


H	N10	Rd	Rp	n	e	lc	ld	M _{2,3}	E	φ
m	lov/10cm	daN/cm ²	daN/cm ²	%	-	-	-	daN/cm ²	daN/cm ²	°
0,0-1,0	2,6	28,49	14,24	48,4	0,94	0,53	0,16	68,66	75,52	30,50
1,0-2,0	2,0	20,30	10,15	49,7	0,99	0,51	0,14	62,48	68,72	31,02
2,0-3,0	8,0	75,60	37,80	43,9	0,78	0,65	0,30	86,46	129,69	31,47
3,0-4,0	10,6	93,73	46,87	42,9	0,75	0,71	0,35	90,38	153,64	31,88

DATA : IANUARIE 2022



PARC FOTOVOLTAIC TEIUS - PDG 26

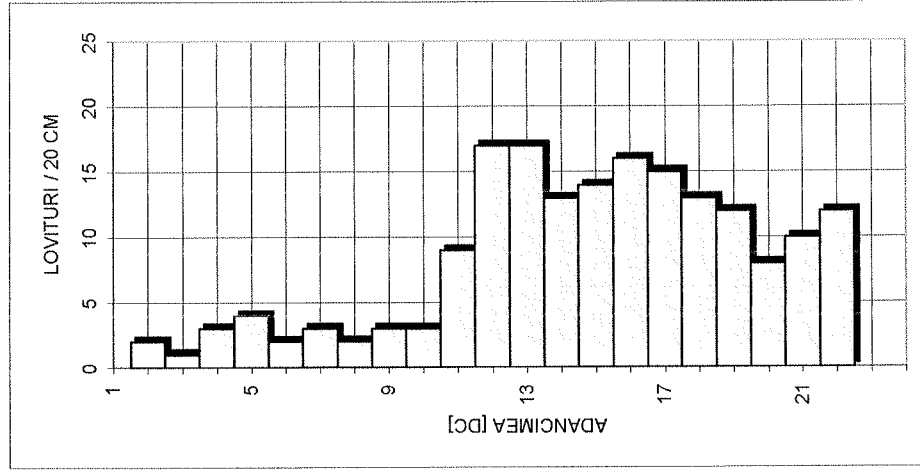


GEOLOGIC DON

PARC FOTOVOLTAIC TEIUS

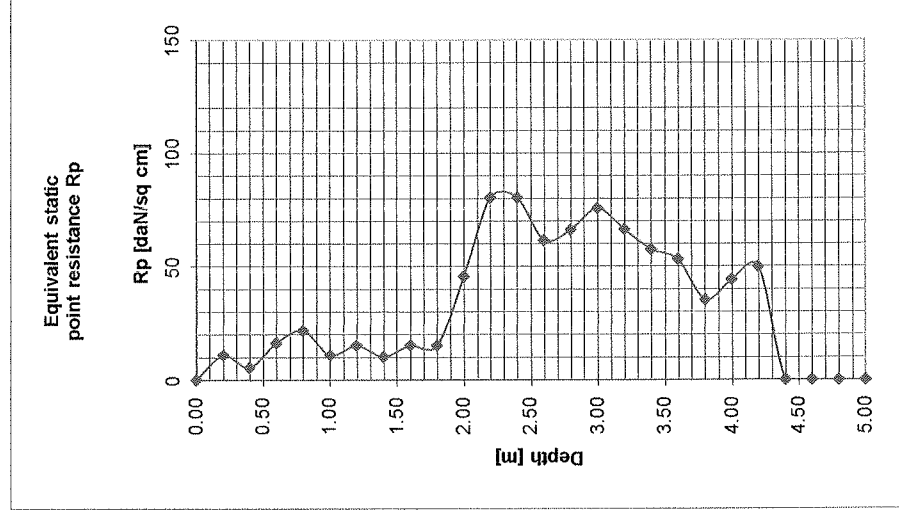
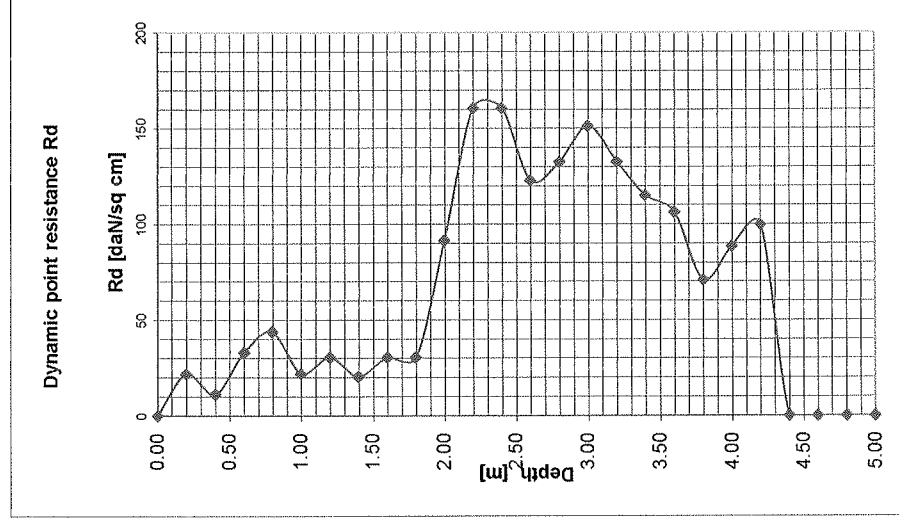
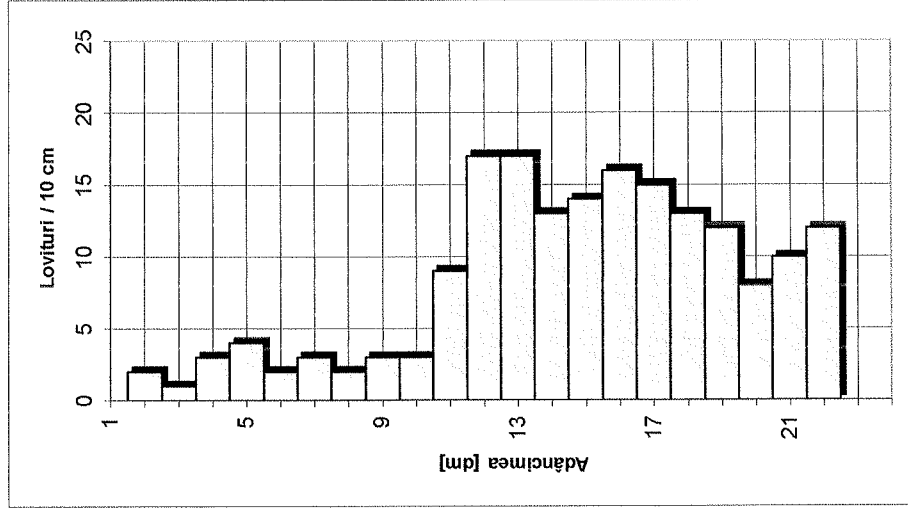
REZULTATUL INCERCARILOR PRIN PENETRARE DINAMICA CU CON

PDG 27

[illegible]

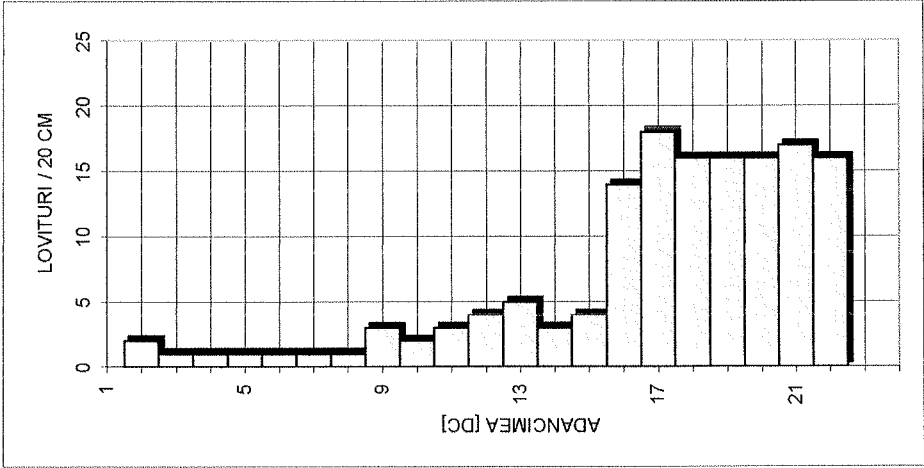
DATA : JANUARIE 2022





PARC FOTOVOLTAIC TEIUS
REZULTATUL INCERCARILOR PRIN PENETRARE DINAMICA CU CON

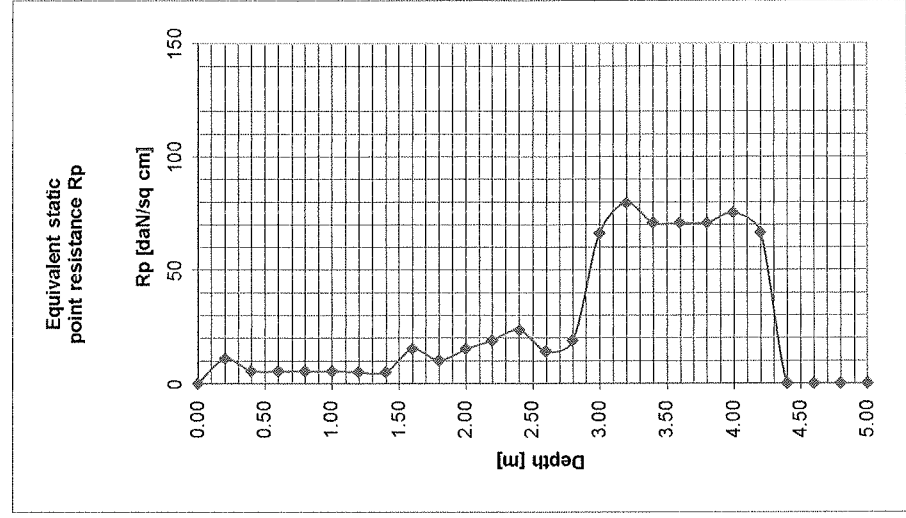
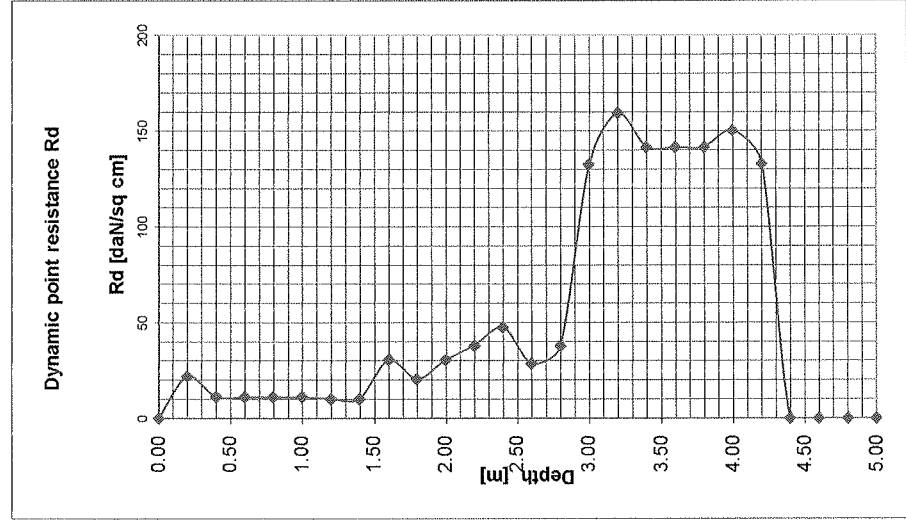
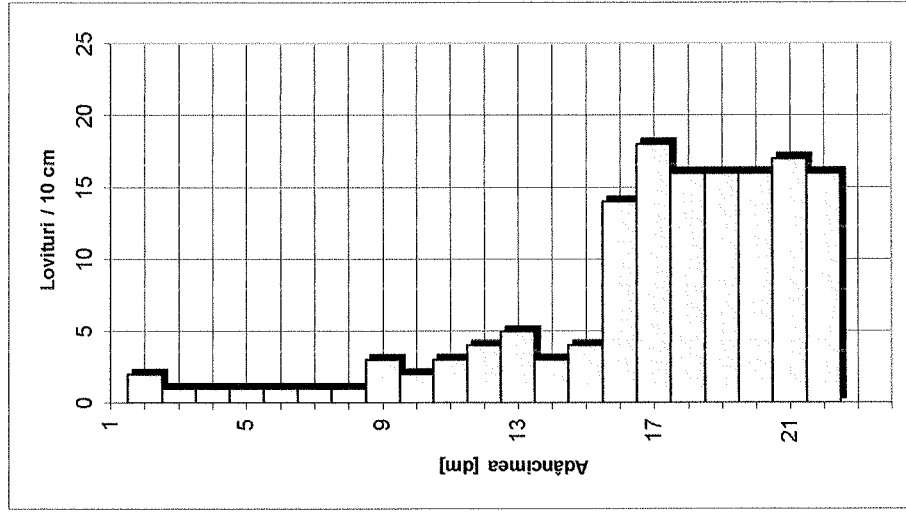
PDG 28



H	N10	Rd	Rp	n	e	lc	ld	M2,3	E	φ
m	lov/10cm	daN/cm ²	daN/cm ²	%	-	-	-	daN/cm ²	daN/cm ²	°
0,0-1,0	1,2	13,15	6,57	51,4	1,06	0,50	0,11	54,56	60,01	29,53
1,0-2,0	2,0	20,30	10,15	49,7	0,99	0,51	0,14	62,48	68,72	30,19
2,0-3,0	6,0	56,70	28,35	45,3	0,83	0,60	0,26	81,21	105,57	30,75
3,0-4,0	16,6	146,79	73,39	40,5	0,68	0,84	0,45	98,56	167,55	31,24

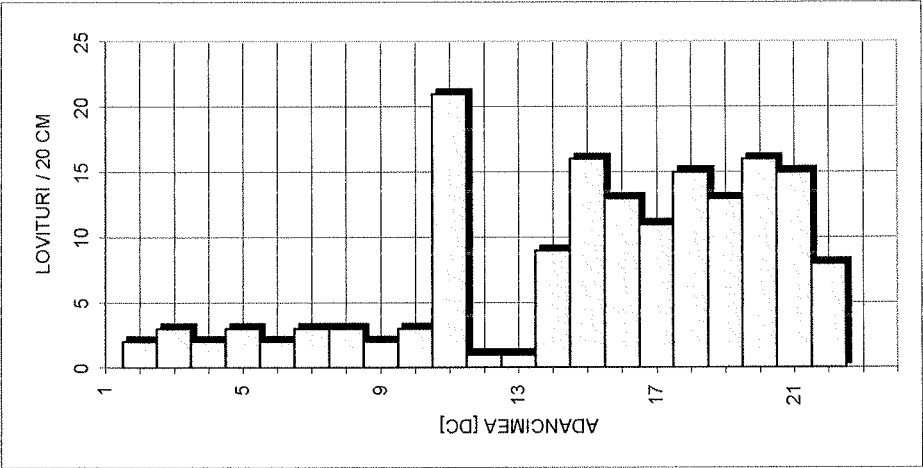
DATA : IANUARIE 2022





REZULTATUL INCERCARILOR PRIN PENETRARE DINAMICA CU CON

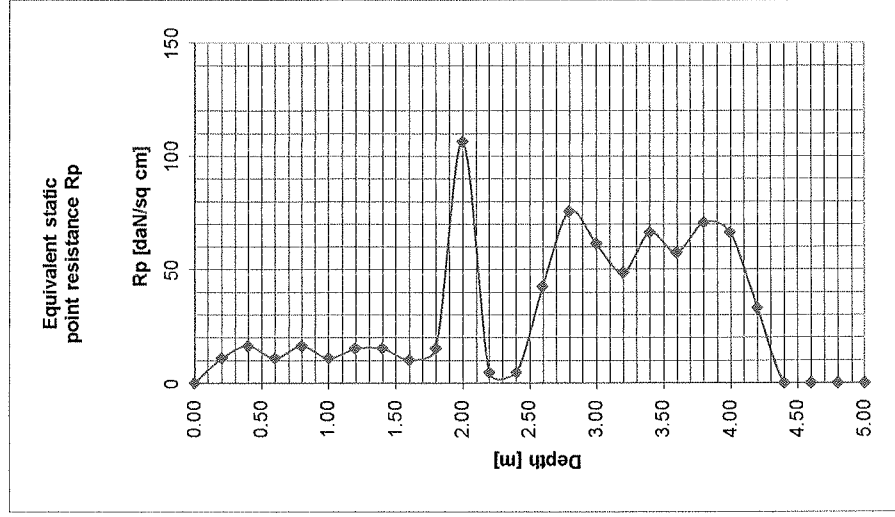
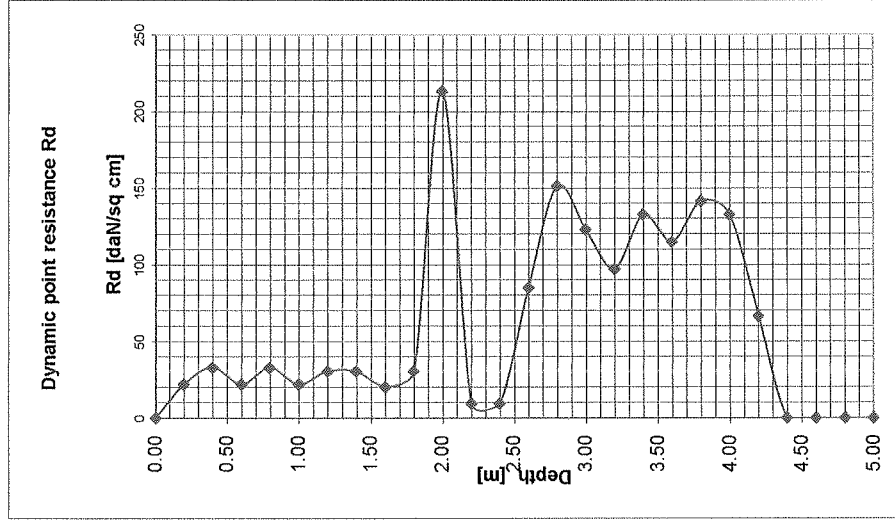
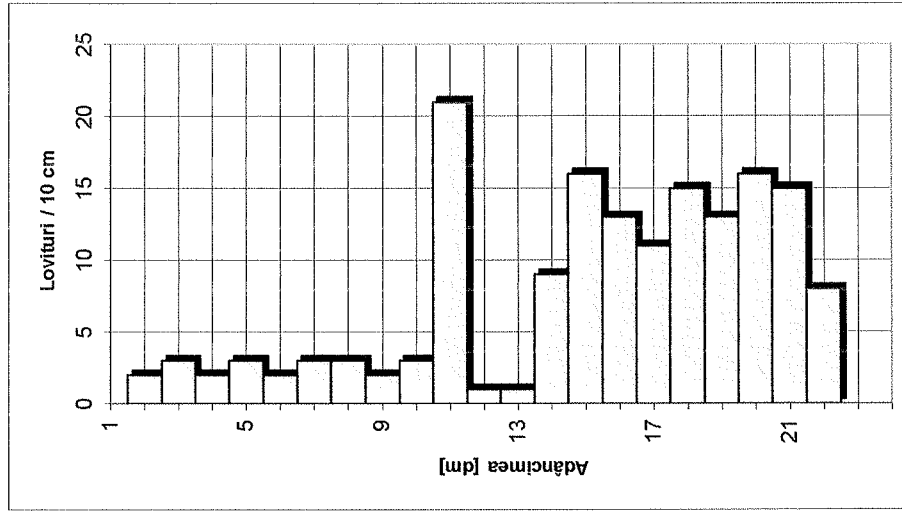
PDG 29



H	N10	Rd	Rp	n	e	lc	ld	M _{2,3}	E	φ
m	lov/10cm	daN/cm ²	daN/cm ²	%	-	-	-	daN/cm ²	daN/cm ²	°
0,0-1,0	2.4	26.30	13.15	48.7	0.95	0.52	0.16	67.20	73.92	30.38
1,0-2,0	6.4	64.95	32.47	44.7	0.81	0.61	0.27	83.69	108.79	30.91
2,0-3,0	8.0	75.60	37.80	43.9	0.78	0.65	0.30	86.46	129.69	31.38
3,0-4,0	14.0	123.80	61.90	41.4	0.71	0.78	0.41	95.45	162.26	31.79

DATA : IANUARIE 2022

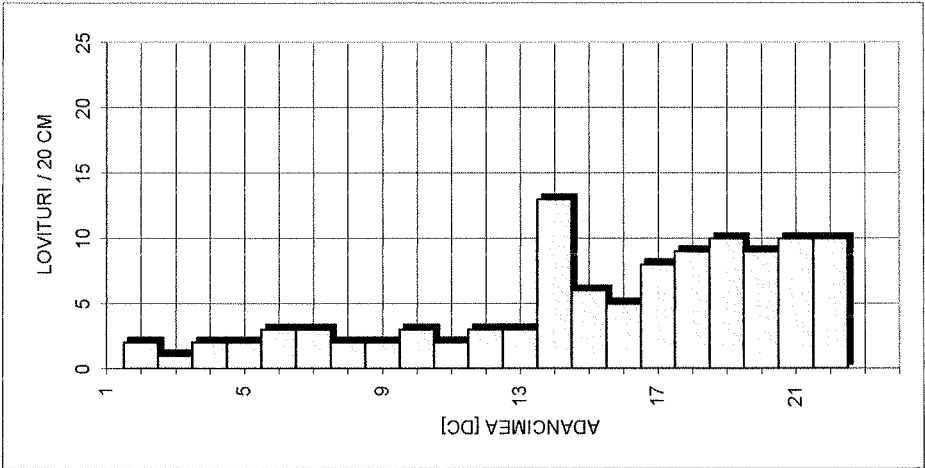




PARC FOTOVOLTAIC TEIUS

REZULTATUL INCERCARILOR PRIN PENETRARE DINAMICA CU CON

PDG 30

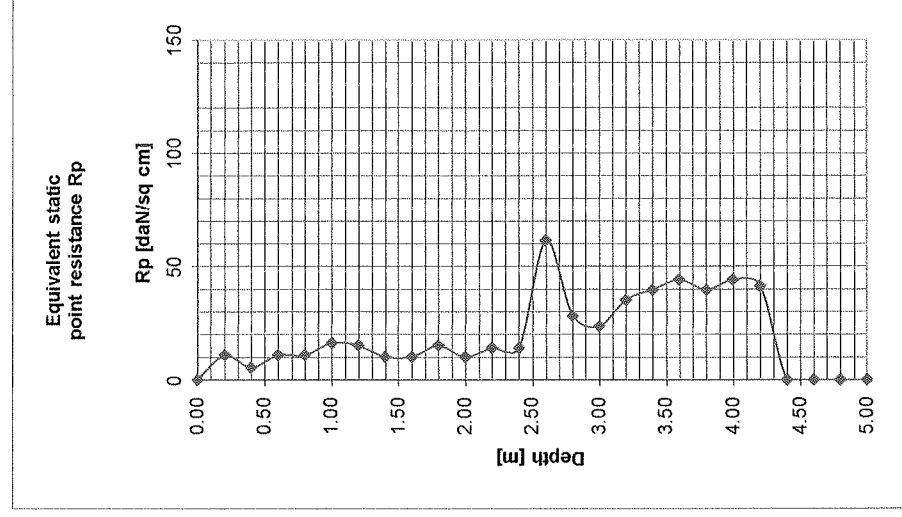
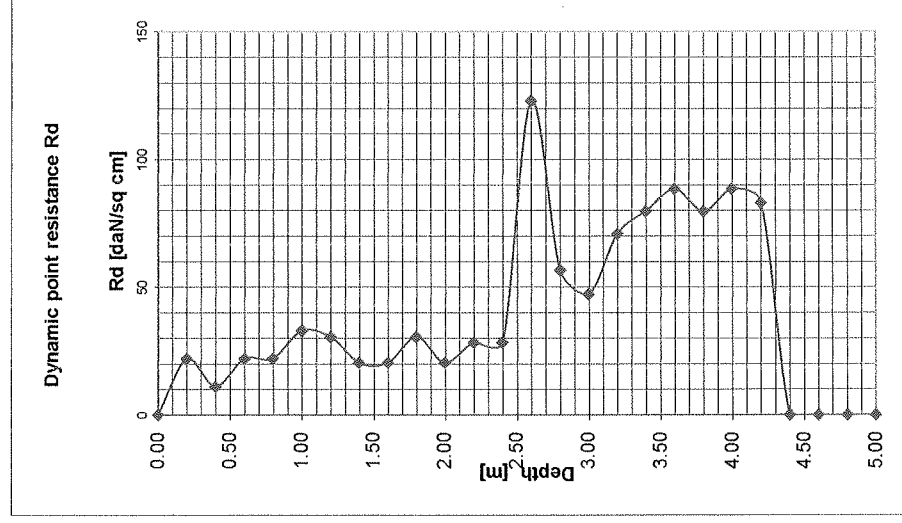
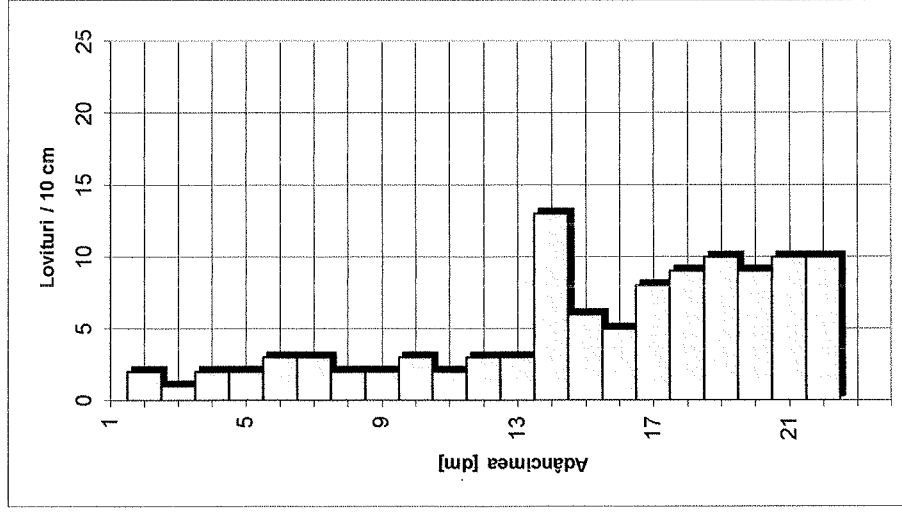


H	N10	Rd	Rp	n	e	lc	lb	M ₂₋₃	E	φ
m	lov/10cm	daN/cm ²	daN/cm ²	%	-	-	-	daN/cm ²	daN/cm ²	°
0,0-1,0	2,0	21,91	10,96	49,4	0,98	0,51	0,14	63,87	70,26	30,12
1,0-2,0	2,4	24,36	12,18	49,0	0,96	0,52	0,16	65,80	72,38	30,69
2,0-3,0	6,0	56,70	28,35	45,3	0,83	0,60	0,26	81,21	105,57	31,18
3,0-4,0	9,2	81,35	40,68	43,6	0,77	0,68	0,33	87,79	131,69	31,62



DATA : IANUARIE 2022

PARC FOTOVOLTAIC TEIUS - PDG 30



RAPORT DE INCERCARE NR. 128 DIN DATA DE 02.02.2022

1. **CLIENT:** SC GEOLOGIC DON SRL
Adresa: Ploiesti, str. Cheia, nr.1
- proiectant : NA
-elaborator studiu geotehnic : Da
2. **Comanda nr. intrare:** 35/20.01.2022
3. **Denumire lucrare:** CONSTRUIRE PARC FOTOVOLTAIC UAT TEIUS, P 135,
P 137, P 140, P 143, P 143/3, JUDET ALBA
4. **Data primirii obiectului de incercat in laborator** 20.01.2022
5. **Data efectuării incercarilor solicitate** 21 – 31.01.2022
6. **Obiectul de incercat** probe teren de fundare
7. **Metode aplicate pentru incercarile autorizate si efectuate de laborator:**
 - 7.1 Umiditate conform PL GTF 02 , STAS 1913/1-82
 - 7.2 Granulometrie (cernere si sedimentare) PL GTF 03 , STAS 1913/5-85, SR EN 933-1:2012
 - 7.3 Limite de plasticitate conform PL GTF 04 (metoda cupa si cilindrii), STAS 1913/4-86
 - 7.4 Caracteristicile pamanturilor contractile PL GTF 05, STAS 1913/12-88
 - 7.5 Caracteristici de compactare-incercarea Proctor PL GTF 06 , STAS 1913-13/83
 - 7.6 Determinarea greutatii volumice in teren PL GTF 07, STAS 1913/15-75
 - 7.7 Determinarea densitatii-metoda cu stanta PL GTF 08, STAS 1913/3-76
 - 7.8 Determinarea compresibilitatii pamantului prin incercare in edometru PL GTF 09, STAS 8942-1/89
 - 7.9 Determinarea rezistentei pamanturilor la forfecare prin incercarea la forfecare directa PL GTF 11, STAS 8942-2/82
 - 7.10 Determinarea permeabilitatii: metoda cu gradient variabil STAS 1913/6-76
8. Esantionarea a fost facuta de catre client SC GEOLOGIC DON SRL
Metoda de esantionare cercetari prin foraj executat in pamant
Persoana care a facut esantionarea Stefan Cassian
PV de esantionare si predare primire probe in 35/20.01.2022
laborator nr. intrare:
9. *Raportul de incercare contine 50 pagini din care 41 anexe*
10. *Rezultatele din prezentul raport de incercare se refera numai la obiectul de incercat.*
11. *Raportul de incercari este emis in 2 exemplare pentru Client si Laborator.*
12. *Fara aprobarea scrisa a laboratorului SC LABOR TEST acest raport de incercare nu poate fi reprodus decat integral*
13. *Incercarile s-au efectuat conform comenzii client si s-au respectat cerintele prevazute de normele in vigoare si de procedurile de lucru.*
14. *Declaram pe propria raspundere ca incercarile nu s-au efectuat sub presiuni de orice natura.*

Sef laborator
dr. ing. Ciocirdel Mihai



Denumire lucrare: CONSTRUIRE PARC FOTOVOLTAIC UAT TEIUS, P 135, P 137, P 140, P 143, P 143/3, JUDET ALBA

Sef profil
ing. Popa Laetitia

Seif laborator
dr. Ing. Ciocîrdel Mihai

RAPORT DE INCERCARE - CENTRALIZATOR

Denumire lucrare : CONSTRUIRE PARC FOTOVOLTAIC UAT TEIUS, P 135, P 137, P 140, P 143, P 143/3, JUDET ALBA

Sondajul	Tip proba tuburata/netuburata	Adancimea probei (m)	Descrierea probei	Granulozitate STAS 1913/5-85				Umiditate naturala STAS 1913/1-82				Plasticitate STAS 1913/4-86				Structura STAS 1913/3-76				Caracteristici contractile STAS 1913/12-88		Compresibilitatea STAS 8942/1-89		
				d ₁	d ₂	d ₃	d ₄	w _f %	w _L %	w _p %	I _p	I _c	Greutatea volumica γ _{td} kN/m ³	Porozitatea n %	Indice de porozitate e	Gradul de umiditate S _r	Modul de compresibilitate M ₂₋₃ kPa	Coef. de tasare specifica e _p	Tasare specif. la inundare i _{m3}					
5	NT	Proba 36769	Nisip prafos cafeniu cu rad. pl. carb., frag. conc.	12	48	36	4	13.8	32	15	17	1	18.99	37	0.58	0.63	-	-	-	-	-			
	NT	Proba 36770	Pietris cu nisip rnare cafeniu	-	42	2	56	9.9	-	-	-	-	22.74	22	0.28	0.95	-	-	-	-	-			
6	NT	Proba 36771	Praf argilos cafeniu cu interc. cen. si rug., rad. pl. carb.	22	17	61	-	15.0	37	14	23	0.95	18.61	39	0.63	0.63	-	-	-	-	-			
	NT	Proba 36772	Pietris cu nisip fin cafeniu	1	31	4	64	9.9	-	-	-	-	21.74	25	0.33	0.81	-	-	-	-	-			
7	NT	Proba 36773	Argila prafoasa cafenie negricioasa cu interc. cen., rad. pl. carb.	33	14	53	-	18.4	45	17	28	0.95	15.53	41	0.70	0.70	-	-	-	-	-			
	NT	Proba 36774	Pietris cu nisip prafos negricios	-	23	16	61	20.7	-	-	-	-	20.15	37	0.58	0.95	-	-	-	-	-			
8	NT	Proba 36775	Pietris cu nisip rnare cafeniu negricios	-	22	1	77	2.1	-	-	-	-	20.71	23	0.30	0.18	-	-	-	-	-			
	NT	Proba 36776	Pietris cu nisip cafeniu negricios	-	19	2	79	6.0	-	-	-	-	19.84	29	0.41	0.39	-	-	-	-	-			

Sef profil
ing. Popa Laetitia

Sef laborator
dr. Ing. Ciocirdel Mihai

RAPORT DE INCERCARE -- CENTRALIZATOR

Denumire lucrare : CONSTRUIRE PARC FOTOVOLTAIC UAT TEIUS, P 135, P 137, P 140, P 143, P 143/3, JUDET ALBA

Sondajul	Tip proba tulburata/netulburata	Adancimea probei (m)	Descrierea probei	Granulozitate STAS 1913/5-85				Plasticitate STAS 1913/4-86				Structura STAS 1913/3-76				Caracteristici contractile STAS 1913/12-88	Compresibilitatea STAS 8942/1-89			
				0.005 ->	0.05-0.005	2.00-0.05	2.00-200	w %	w _L %	w _p %	I _p	I _c	Greutatea volumica γ _d /m ³ kN	n %	Indice de porozitate e		Gradul de umiditate S _r	Modul de compresibilitate M ₂₋₃ kPa	Coef. de tasare specifica e _s	Tasare specifi- la inundare I _{ms}
9	NT	Proba 36777	Nisip praos cafeiniu cu interc. rug., rad. pl. carb.	3	17	80	-	19.0	-	-	-	19.02	39	0.65	0.78	-	-	-		
	NT	Proba 36778	Pietris cu nisip mediu cafeiniu negricios	-	-	42	58	12.4	-	-	-	21.35	28	0.39	0.85	-	-	-		
10	NT	Proba 36779	Nisip mediu cafeiniu negricios cu pietris mic	-	9	89	2	18.9	-	-	-	19.51	38	0.61	0.83	-	-	-		
	NT	Proba 36780	Pietris cu nisip mediu si fin cafeiniu negricios	-	-	37	63	14.8	-	-	-	21.85	28	0.39	1	-	-	-		
11	NT	Proba 36781	Nisip praos cafeiniu cu interc. rug., rad. pl. carb., frag. conc.	6	32	57	5	18.6	-	-	-	20.02	36	0.57	0.88	-	-	-		
	NT	Proba 36782	Pietris cu nisip mare negricios	-	-	44	56	8.4	-	-	-	21.25	26	0.35	0.65	-	-	-		
12	NT	Proba 36783	Nisip mare cafeiniu negricios cu pietris	-	5	93	2	19.2	-	-	-	20.01	36	0.57	0.89	-	-	-		
	NT	Proba 36784	Pietris cu nisip mare negricios	-	-	41	59	11.6	-	-	-	21.93	26	0.34	0.90	-	-	-		

Sef profil
ing. Popa Laetitia

Sef laborator
dr. Ing. Ciocirdel Mihai

RAPOARTE DE INCERCARE - CENTRALIZATOR

Denumire lucrare : CONSTRUIRE PARC FOTOVOLTAIC UAT TEIUS, P 135, P 137, P 140, P 143, P 143/3, JUDET ALBA

Sondajul	Tip proba tulburata/netulburata	Adancimea probei (m)	Descrierea probei	Granulozitate STAS 1913/5-85				Umiditate naturala STAS 1913/1-82		Plasticitate STAS 1913/4-86				Structura STAS 1913/3-76				Caracteristici contractile STAS 1913/12-88		Compresibilitatea STAS 8942/1-89				
				d ₁	d _{0.05-0.005}	d ₂	d ₄			w _L %	w _p %	I _p	I _c	Greutatea volumica γ_d kN/m ³	Porozitatea n %	Indice de porozitate e	S _r			Modul de compresibilitate M ₂₋₃ kPa	Coef. de tasare specifica e _p	Tasare specif. la inundare I _{ms}		
13	NT	Proba 36785	Nisip prafos cafeniu cu frag. conc.	-	11	87	2	12.7	-	-	-	-	17.11	42	0.74	0.46	-	-	-	-	-	-	-	-
	NT	Proba 36786	Pietris cu nisip mare si mediu cafeniu negricios	-	-	39	61	10.2	-	-	-	-	21.73	25	0.34	0.80	-	-	-	-	-	-	-	-
14	NT	Proba 36787	Praf argilos cafeniu cu interc. cen. si rug., rad. pl., frag. conc.	20	59	19	2	20.4	37	17	20	0.83	18.14	43	0.75	0.72	-	-	-	-	-	-	-	-
	NT	Proba 36788	Pietris in masa de praf nisipos cenusiu negricios	4	23	21	47	25.8	-	-	-	-	19.61	41	0.70	0.99	-	-	-	-	-	-	-	-
15	NT	Proba 36789	Praf argilos cafeniu cu interc. cen. si rug., rad. pl. carb., frag. conc.	15	55	29	1	18.0	35	16	19	0.89	18.55	40	0.68	0.71	-	-	-	-	-	-	-	-
	NT	Proba 36790	Pietris cu nisip fin si mare cafeniu cenusiu	-	3	21	76	8.1	-	-	-	-	21.65	24	0.32	0.68	-	-	-	-	-	-	-	-
16	NT	Proba 36791	Praf nisipos cafeniu cu interc. cen. si rug., rad. pl. carb., frag. conc.	10	51	37	2	17.1	32	15	17	0.87	17.75	42	0.74	0.61	-	-	-	-	-	-	-	-
	NT	Proba 36792	Pietris cu nisip mare cafeniu	-	-	33	67	7.6	-	-	-	-	21.05	26	0.35	0.58	-	-	-	-	-	-	-	-

Sef profil
ing. Popa Laetitia

Sef laborator
dr. Ing. Ciocirdel Mihai



RAPORT DE INCERCARE - CENTRALIZATOR

Denumire lucrare : CONSTRUIRE PARC FOTOVOLTAIC UAT TEIUS, P 135, P 137, P 140, P 143, P 143/3, JUDET ALBA

Sondajul	Tip proba tulburata/netulburata	Adancimea probei (m)	Descrierea probei	Granulozitate STAS 1913/5-85				Umiditate naturala STAS 1913/1-82	Plasticitate STAS 1913/4-86				Structura STAS 1913/3-76				Caracteristici contractile STAS 1913/12-89	Compresibilitatea STAS 8942/1-39		
				d ₁ > 0.005	d ₃ 0.05-0.005	d ₂ 2.00-0.05	d ₄ 2.00-200		w %	w _L %	w _p %	Limite framantare	Indice plasticitate	Indice consistenta	Greutatea volumica γ _{td} kN/m ³	n %		e	S _r	Gradul de umiditate
17	NT	Proba 36793	Praf cafeniu cu interc. cen. si rug., rad. pl. carb., frag. conc.	14	60	24	2	20.2	34	17	17	0.81	18.36 15.27	42	0.73	0.74	-	-	-	-
	NT	Proba 36794	Pietris cu nisip mare cafeniu negricios	-	1	34	65	8.7	-	-	-	-	21.37 19.65	25	0.34	0.67	-	-	-	-
18	NT	Proba 36795	Nisip fin si mediu negricios cu pietris mic	-	5	82	13	13.1	-	-	-	-	19.32 17.07	35	0.55	0.64	-	-	-	-
	NT	Proba 36796	Pietris cu nisip fin si mare cafeniu negricios	-	-	39	61	10.7	-	-	-	-	20.59 18.59	30	0.42	0.68	-	-	-	-
19	NT	Proba 36797	Nisip argilos cafeniu cu interc. calc.	17	40	43	-	16.6	33	15	18	0.91	18.60 15.95	40	0.66	0.68	-	-	-	-
	NT	Proba 36798	Pietris cu nisip fin galben cafeniu	-	2	21	77	4.8	-	-	-	-	20.65 19.69	25	0.34	0.37	-	-	-	-
20	NT	Proba 36799	Nisip praos cafeniu cu interc. cen. si rug., rad. pl. carb., frag. conc.	9	32	56	3	27.0	-	-	-	-	19.09 15.02	43	0.76	0.95	-	-	-	-
	NT	Proba 36800	Pietris cu nisip fin si mare cenusiu negricios	-	-	25	75	6.8	-	-	-	-	22.28 20.86	21	0.27	0.68	-	-	-	-

Sef profil
ing. Popa Laetitia

Sef laborator
dr. Ing. Ciocirdel Mihai

Penndemire lucrare : CONSTRUIRE PARC FOTOVOLTAIC UAT TEIUS, P 135, P 137, P 140, P 143, P 143/3, JUDET ALBA

Sef profil
ing. Popa Laetitia

Sef laborator
dr. Ing. Ciocîrdel Mihai

RAPORT DE INCERCARE - CENTRALIZATOR

Denumire lucrare: CONSTRUIRE PARC FOTOVOLTAIC UAT TEIUS, P 135, P 137, P 140, P 143, P 143/3, JUDET ALBA

Sondajul	Tip proba tulburata/netulburata	Adancimea probei (m)	Descrierea probei	Granulozitate STAS 1913/5-85				Umiditate naturala STAS 1913/1-82	Plasticitate STAS 1913/4-86				Structura STAS 1913/3-76				Caracteristici contractile STAS 1913/12-88	Compresibilitatea STAS 8942/1-89		
				d ₁	d ₂	d ₃	d ₄		w %	w _L %	w _p %	Indice framantare	Indice plasticitate	Indice consistenta	Greutatea volumica γ _d /m ³ kN/m ³	n %		e	S _r	Modul de compresibilitate M ₂₋₃ kPa
25	NT	Proba 36809	Praf argilos cafeniu cu interc. rug., interc. calc.	22	51	27	-	24.4	38	17	21	0.64	18.40 14.78	44	0.79	0.83	-	-	-	
	NT	Proba 36810	Pietris cu nisip fin cafeniu	-	2	27	71	18.1	-	-	-	-	22.70 20.98	20	0.26	0.84	-	-	-	
26	NT	Proba 36811	Nisip prafos galben cafeniu cu interc. rug. si frag. conc.	8	37	53	2	13.4	-	-	-	-	18.70 16.49	37	0.60	0.59	-	-	-	
	NT	Proba 36812	Nisip mediu negricios cu pietris mic	-	-	99	1	17.9	-	-	-	-	17.61 14.93	43	0.77	0.62	-	-	-	
27	NT	Proba 36813	Praf nisipos argilos cafeniu cu interc. rug., rad. pl. carb., frag. conc.	22	40	33	5	22.0	36	17	19	0.73	17.65 14.47	45	0.83	0.71	-	-	-	
	NT	Proba 36814	Nisip mediu cafeniu cu interc. cen. si pietris	-	-	54	46	11.5	-	-	-	-	21.36 19.15	27	0.38	0.81	-	-	-	
28	NT	Proba 36815	Praf cafeniu cu interc. cen., rad. pl. carb.	11	63	26	-	25.1	35	17	18	0.55	18.56 14.83	44	0.78	0.86	-	-	-	
	NT	Proba 36816	Nisip mediu si fin cenusiu negricios	-	-	100	-	27.2	-	-	-	-	17.86 14.03	47	0.88	0.83	-	-	-	

Sef profil
ing. Popa Laetitia

Sef laborator
dr. Ing. Ciocîrdel Mihai

RAPORT DE INCERCARE - CENTRALIZATOR

Denumire lucrare : CONSTRUIRE PARC FOTOVOLTAIC UAT TEIUS, P 135, P 137, P 140, P 143, P 143/3, JUDET ALBA

Sondajul	Tip proba tulburata/netulburata	Adancimea probei (m)	Descrierea probei	Granulozitate STAS 1913/5-85				Umiditate naturala STAS 1913/1-82				Plasticitate STAS 1913/4-86				Structura STAS 1913/3-76				Caracteristici contractile STAS 1913/12-88		Compresibilitatea STAS 894/2/1-89		
				> 0.005	0.05-0.005	2.00-0.05	2.00-200	d ₁	d ₃	d ₂	d ₄	w %	w _L %	w _p %	I _p	I _c	Greutatea volumica γ/γ_d kN/m ³	n %	e					
29	NT	Proba 36817	Nisip prafoș cafeniu cu frag. conc.	3	19	62	16	18.4	-	-	-	-	-	-	19.51 16.47	38	0.61	0.82	0.82	-	-	-		
	NT	Proba 36818	Pietris cu nisip în cenușiu negricios	-	1	43	56	12.6	-	-	-	-	-	-	21.06 18.69	29	0.41	0.82	0.82	-	-	-		
30	NT	Proba 36819	Prăf nisipos argilos cafeniu cu interc. cen. și rug., rad. pl. carb.	19	41	40	-	16.2	36	15	21	0.94	19.50 16.78	36	0.57	0.75	0.75	-	-	-	-	-		
	NT	Proba 36820	Nisip mare și mediu cu pietris	-	-	81	19	25.3	-	-	-	-	-	-	19.29 15.39	42	0.72	0.94	0.94	-	-	-		

Sef profil
ing. Popa Laetitia

Sef laborator
dr. Ing. Ciocirde Mihai

LABOR TEST

Laborator geotehnic Gr. II
Autorizatie nr. 3015

SC LABOR TEST SRL
Ploiesti, str. Ineu, nr.3
Tel./Fax : 0721522208/0244595907

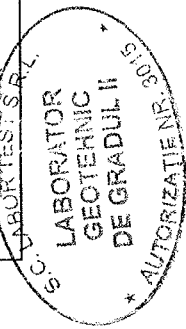
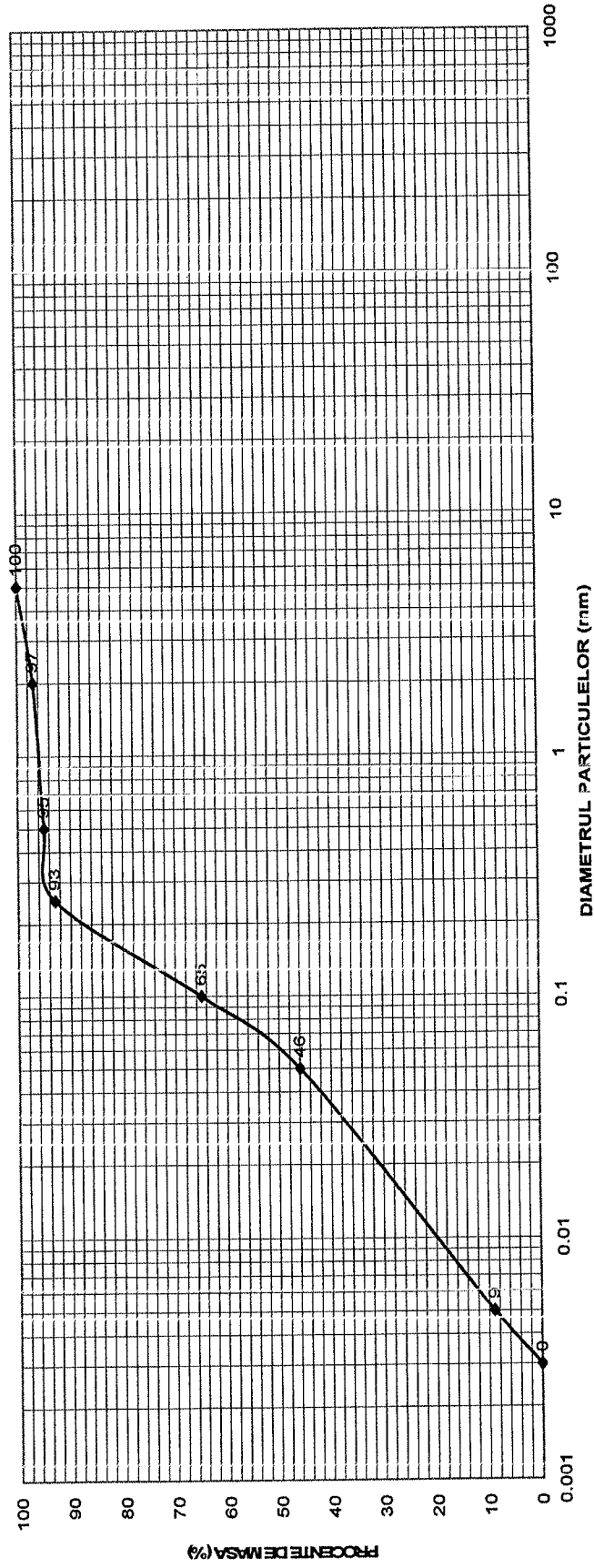


DIAGRAMA DISTRIBUTIEI GRANULOMETRICE
CONSTRUIRE PARC FOTOVOLTAIC UAT TEIUS, P 135, P 137, P 140, P 143, P 143/3, JUDET ALBA
FORAJ 1, PROBA 36761



0.002<d<0.005	Argila	9%	0.25<d<0.50	Nisip mijlociu	2%	20<d<70	Pietris mare	-%
0.005<d<0.05	Praf	37%	0.50<d<2	Nisip mare	2%	70<d<200	Bolovanis	-%
0.05<d<0.25	Nisip fin	47%	2<d<20	Pietris mic	3%	d >200	Blocuri	-%

Sef profil
ing. Popa Laetitia

LABOR TEST

Laborator geotehnic Gr. II
Autorizatie nr. 3015

SC LABOR TEST SRL
Ploiesti, str. Ineu, nr.3
Tel./Fax : 0721522208/0244595907

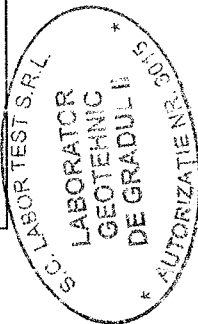
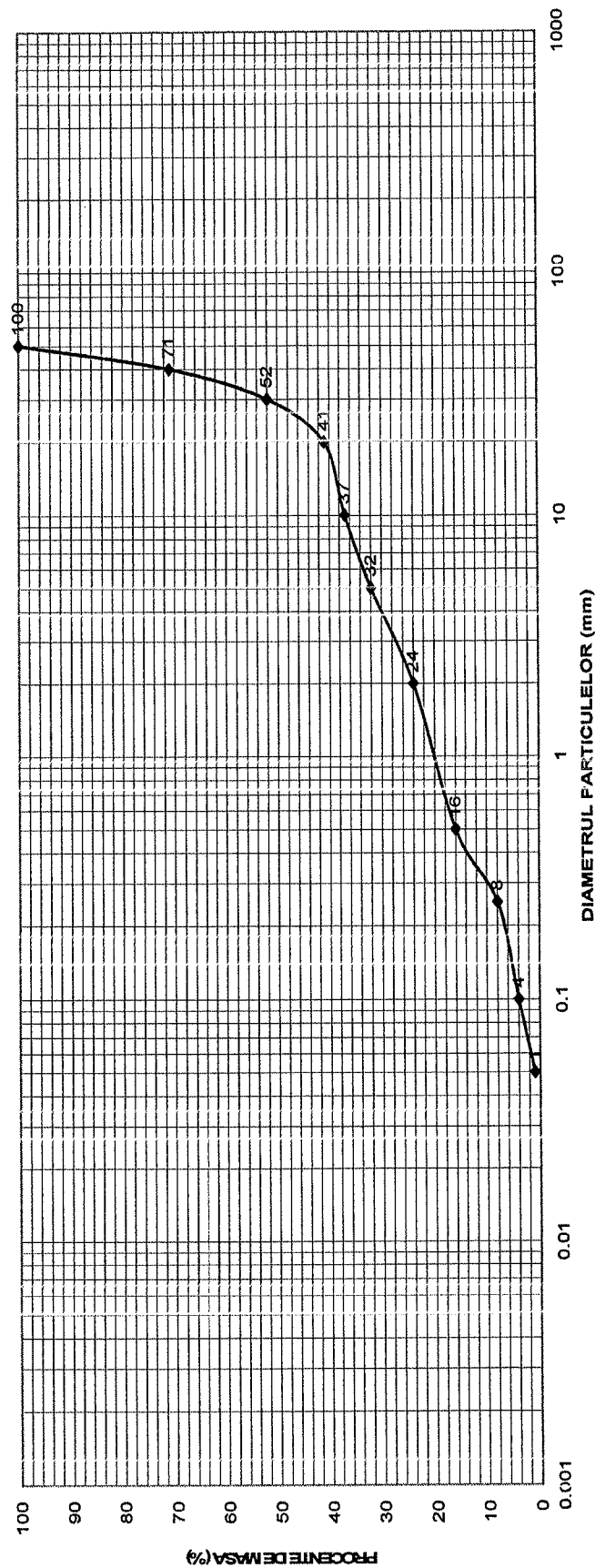


DIAGRAMA DISTRIBUTIEI GRANULOMETRICE
CONSTRUIRE PARC FOTOVOLTAIC UAT TEIUS, P 135, P 137, P 140, P 143, P 143/3, JUDET ALBA
FORAJ 1, PROBA 36762



0.002<d<0.005	Argila	-%	0.25<d<0.50	Nisip mijlociu	8%	20<d<70	Pietris mare	59%
0.005<d<0.05	Praf	1%	0.50<d<2	Nisip mare	8%	70<d<200	Bolovanis	-%
0.05<d<0.25	Nisip fin	7%	2<d<20	Pietris mic	17%	d >200	Blocuri	-%

Sef profil
ing. Popa Laetitia

LABOR TEST

Laborator geotehnic Gr. II
Autorizatie nr. 3015

SC LABOR TEST SRL
Ploiesti, str. Ineu, nr.3
Tel./Fax : 0721522208/0244595907

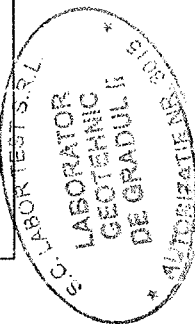
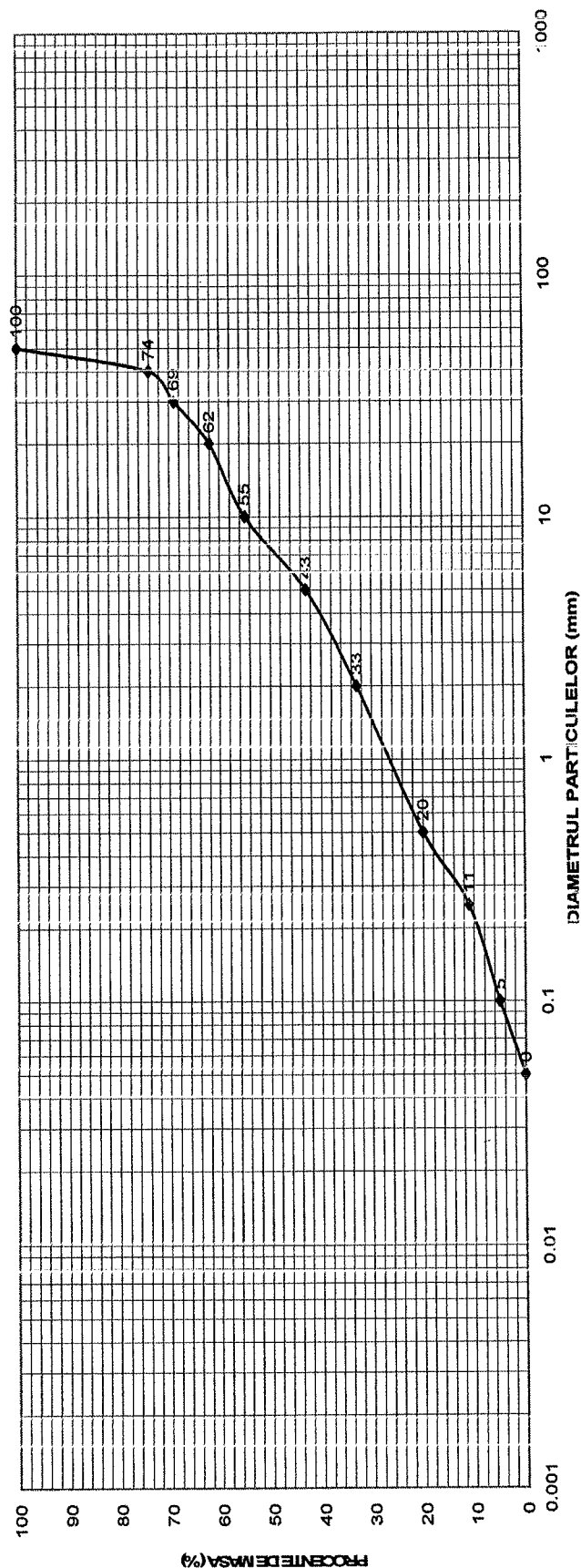


DIAGRAMA DISTRIBUTIEI GRANULOMETRICE
CONSTRUIRE PARC FOTOVOLTAIC UAT TEIUS, P 135, P 137, P 140, P 143, P 143/3, JUDET ALBA
FORAJ 2, PROBA 36764



0.002<d<0.005	Argila	-%	0.25<d<0.50	Nisip mijlociu	9%	20<d<70	Pietris mare	38%
0.005<d<0.05	Praf	-%	0.50<d<2	Nisip mare	13%	70<d<200	Bolovanis	-%
0.05<d<0.25	Nisip fin	11%	2<d<20	Pietris mic	29%	d >200	Blocuri	-%

Sef profil
ing. Popa Lăcătia

LABOR TEST

Laborator geotehnic Gr. II
Autorizatie nr. 3015

SC LABOR TEST SRL
Plotesti, str. Ineu, nr.3
Tel./Fax : 0721522208/0244595907

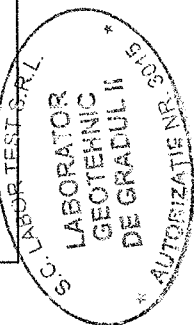
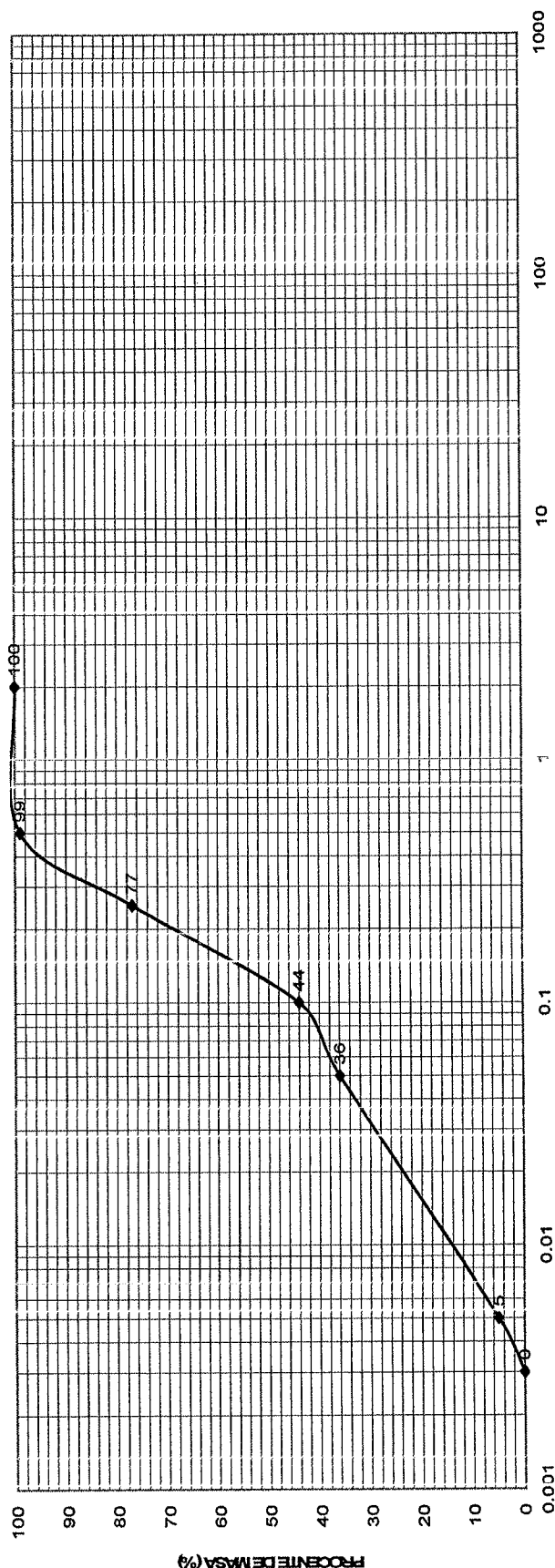


DIAGRAMA DISTRIBUTIEI GRANULOMETRICE
CONSTRUIRE PARC FOTOVOLTAIC UAT TEIUS, P 135, P 137, P 140, P 143, JUDET ALBA
FORAJ 3, PROBA 36765



DIAMETRUL PARTICULELOR (mm)

0.002<d<0.005	Argila	5%	0.25<d<0.50	Nisip mijlociu	22%	20<d<70	Pietris mare	-%
0.005<d<0.05	Praf	31%	0.50<d<2	Nisip mare	1%	70<d<200	Bolovanis	-%
0.05<d<0.25	Nisip fin	41%	2<d<20	Pietris mic	-%	d >200	Blocuri	-%

Sef profil
ing. Popa Laetitia

LABOR TEST

Laborator geotehnic Gr. II
Autorizatie nr. 3015

SC LABOR TEST SRL
Ploiesti, str. Ineu, nr.3
Tel./Fax : 0721522208/0244595907

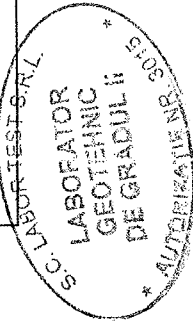
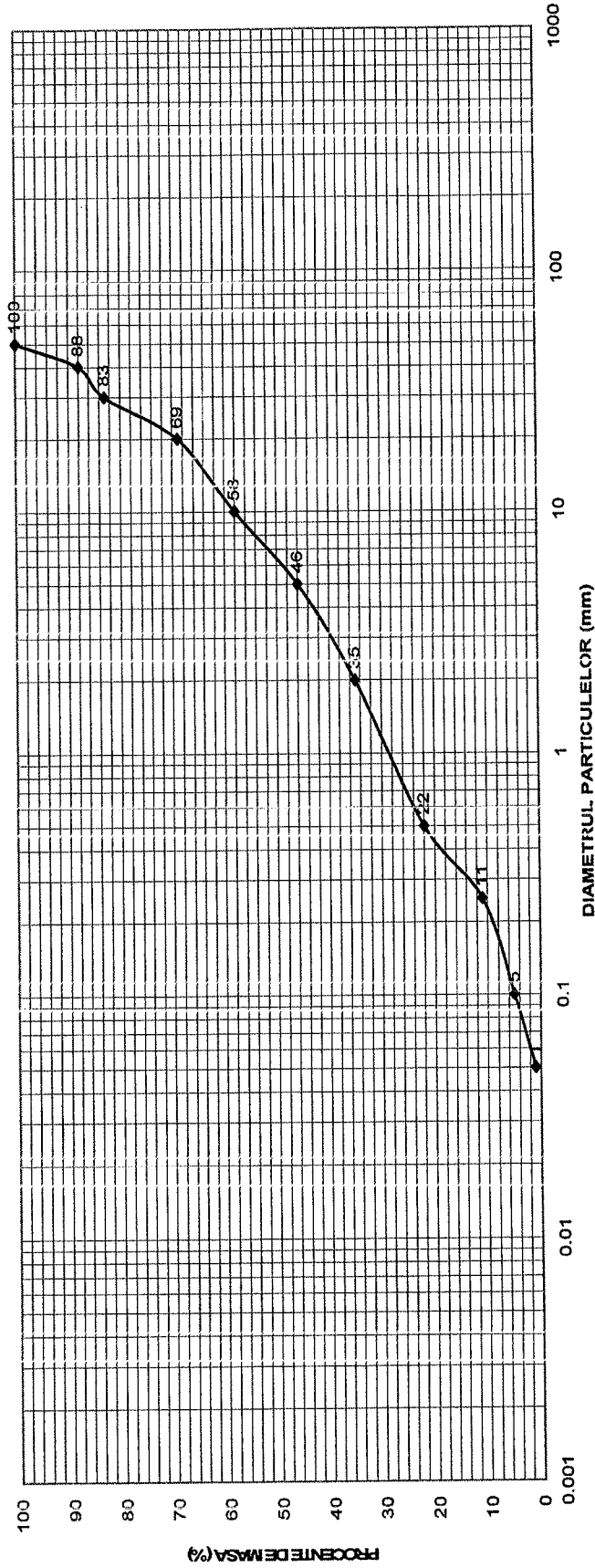
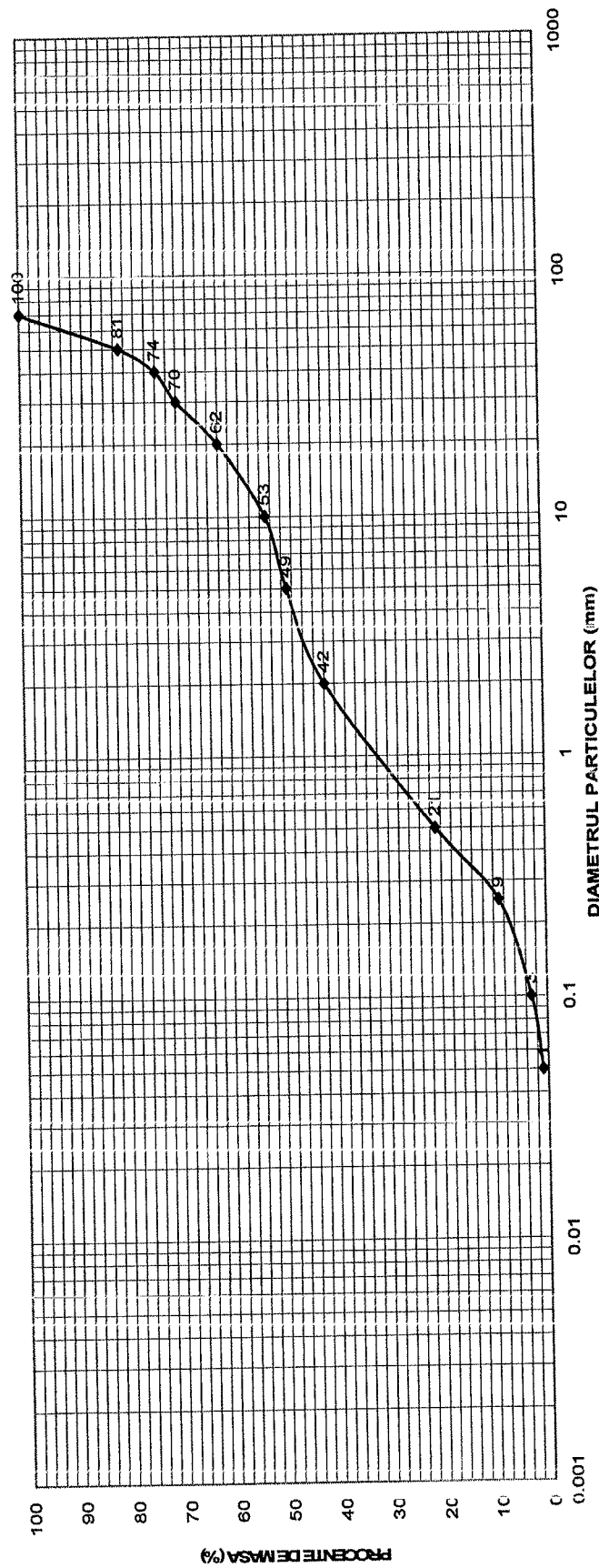
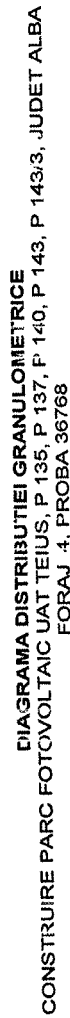


DIAGRAMA DISTRIBUTIEI GRANULOMETRICE
CONSTRUIRE PARC FOTOVOLTAIC UAT TEIUS, P 135, P 137, P 140, P 143, P 143/3, JUDET ALBA
FORAJ 3, PROBA 36786



0.002<d<0.005	Argila	%	0.25<d<0.50	Nisip mijlociu	11%	20<d<70	Pietris mare	31%
0.005<d<0.05	Praf	1%	0.50<d<2	Nisip mare	13%	70<d<200	Bolovanis	-%
0.05<d<0.25	Nisip fin	10%	2<d<20	Pietris mic	34%	d >200	Blocuri	-%

Sef profil
ing. Popa Laetitia



DIAMETRIKUL PARTIKULELOR (mm)								
		%	0.25<d<0.50	Nisip mijlociu	12%	20<d<70	Pietris mare	38%
	Argila							
	Praf	1%	0.50<d<2	Nisip mare	21%	70<d<200	Bolovanis	-%
	Nisip fin	8%	2<d<20	Pietris mic	20%	d >200	Blocuri	-%

Sef profil
ing. Popa Laetitia

LABOR TEST

Laborator geotehnic Gr. II
Autorizatie nr. 3015

SC LABOR TEST SRL
Ploiesti, str. Ineu, nr.3
Tel./Fax : 0721522208/024459507

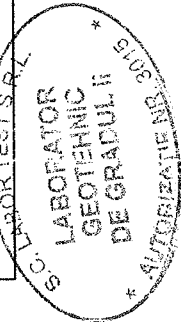
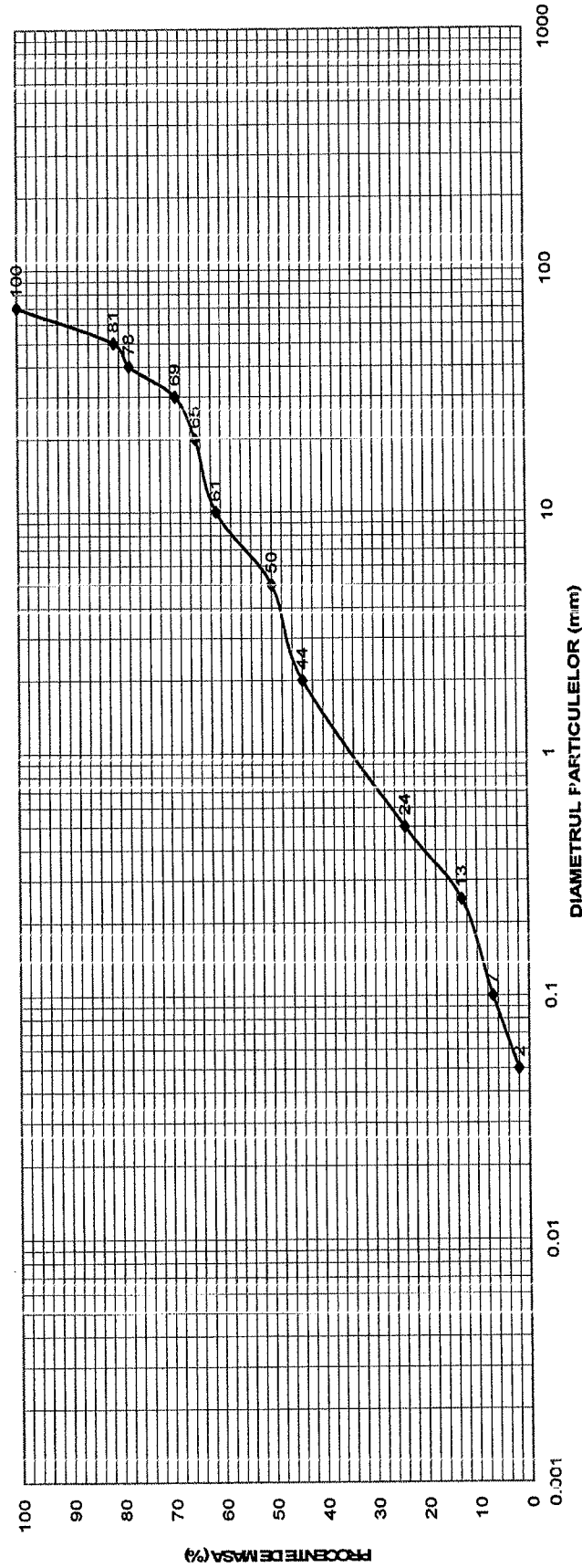


DIAGRAMA DISTRIBUTIEI GRANULOMETRICE
CONSTRUIRE PARC FOTOVOLTAIC UAT TEIUS, P 135, P 137, P 140, P 143, P 143/3, JUDET ALBA
FORAJ 5, PROBA 36770



0.002 < d < 0.005	Argila	-%	0.25 < d < 0.50	Nisip mijlociu	11%	20 < d < 70	Pietris mare	35%
0.005 < d < 0.05	Praf	2%	0.50 < d < 2	Nisip mare	20%	70 < d < 200	Bolovanis	-%
0.05 < d < 0.25	Nisip fin	11%	2 < d < 20	Pietris mic	21%	d > 200	Blocuri	-%

Sef proiect
ing. Popa Laetitia

LABOR TEST

Laborator geotehnic Gr. II
Autorizatie nr. 3015

SC LABOR TEST SRL
Ploiesti, str. Ineu, nr.3
Tel./Fax : 0721522208/0244595907

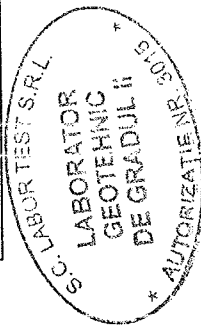
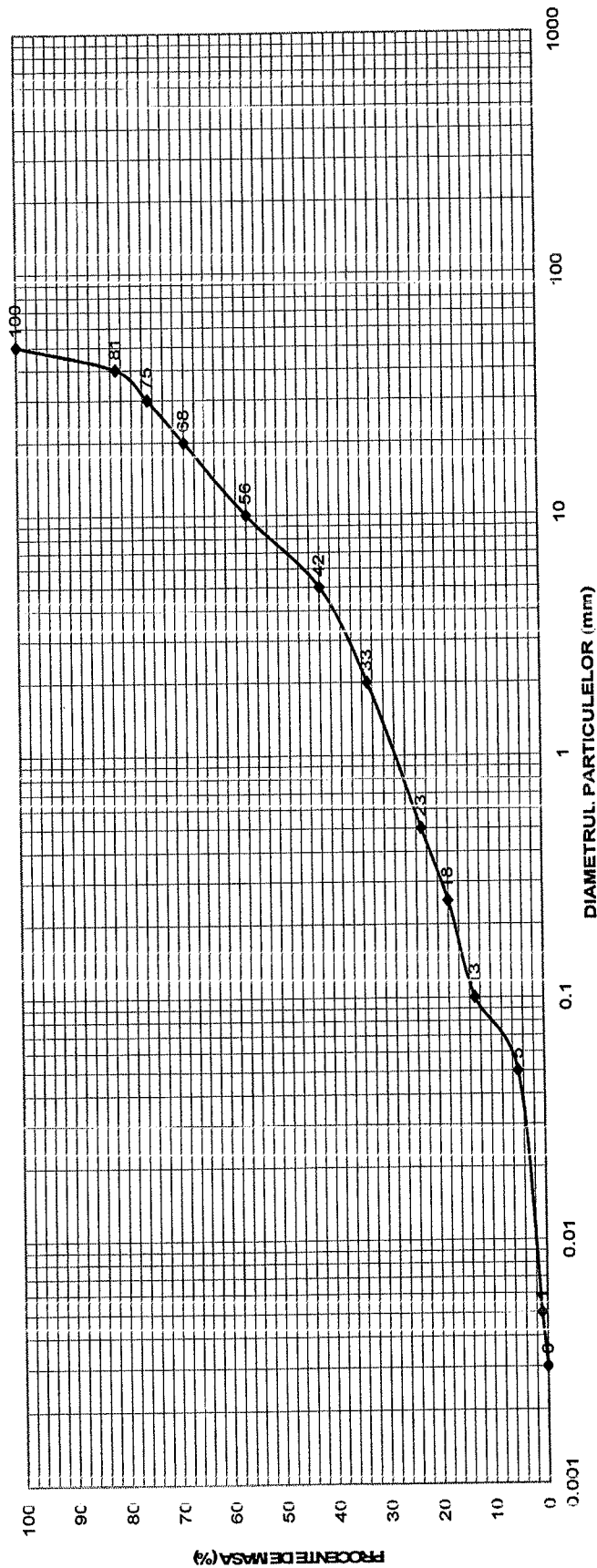


DIAGRAMA DISTRIBUTIEI GRANULOMETRICE
CONSTRUIRE PARC FOTOVOLTAIC UAT TEIUS, P 135, P 137, P 140, P 143, P 143, P 143, JUDET ALBA
FORAJ 6, PROBA 36772



DIAMETRUL PARTICULELOR (mm)	Argila	Praf	Nisip fin	0.002<d<0.005	0.005<d<0.05	0.05<d<0.25	1%	4%	13%	0.25<d<0.50	0.50<d<2	2<d<20	Nisip mijlociu	Nisip mare	Pietris mic	20<d<70	70<d<200	d >200	Pietris mare	32%

Sef profil
ing.Popa Laetitia

LABOR TEST

SC LABOR TEST SRL
Ploiesti, str. Ineu, nr.3
Tel./Fax : 0721522208/0244595907

Laborator geotehnic Gr. II
Autorizatie nr. 3015

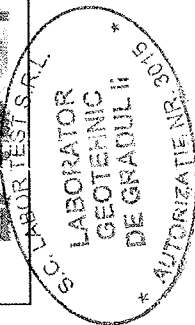
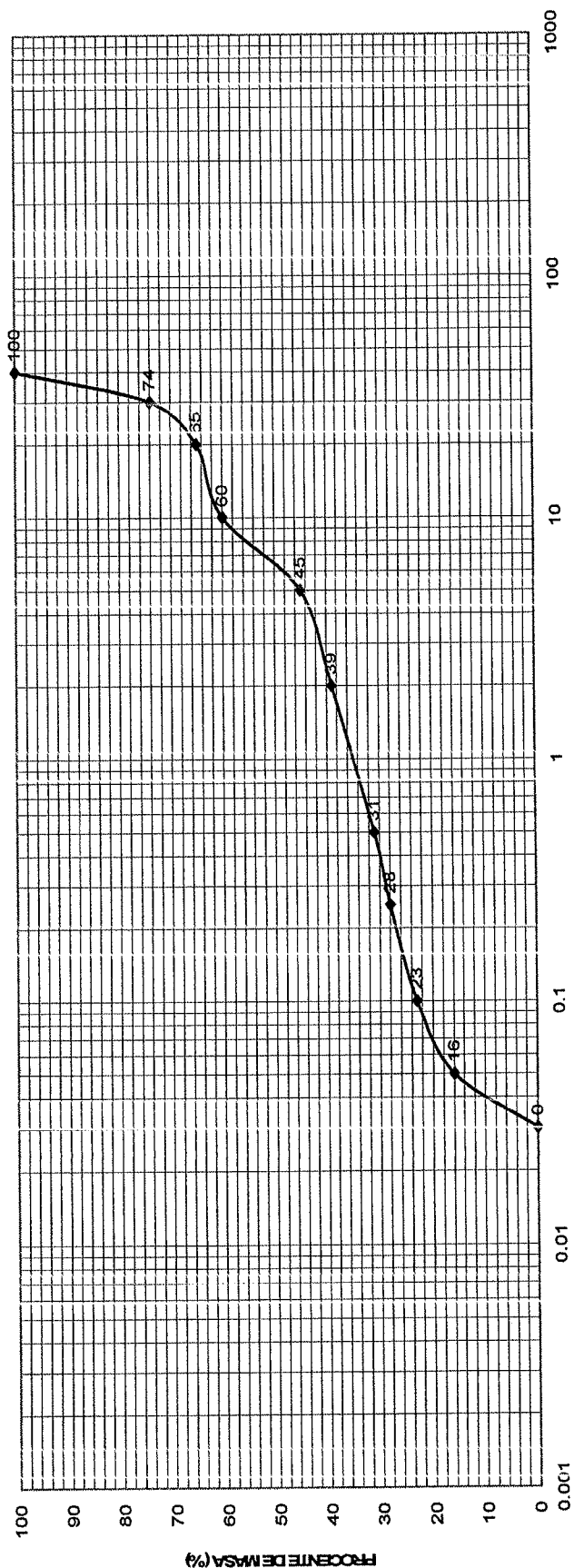


DIAGRAMA DISTRIBUTIEI GRANULOMETRICE
CONSTRUIRE PARC FOTOVOLTAIC UAT TEIUS, P 135, P 137, P 140, P 143, JUDET ALBA
FORAJ 7, PROBA 36774



0.002<d<0.005	Argila	-%	0.25<d<0.50	Nisip mijlociu	3%	20<d<70	Pietris mare	35%
0.005<d<0.05	Praf	16%	0.50<d<2	Nisip mare	8%	70<d<200	Bolovanis	-%
0.05<d<0.25	Nisip fin	12%	2<d<20	Pietris mic	26%	d >200	Blocuri	-%

Sef profil
ing.Popa Laetitia

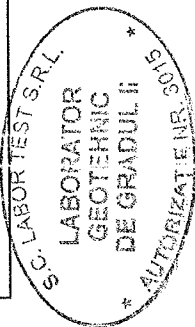
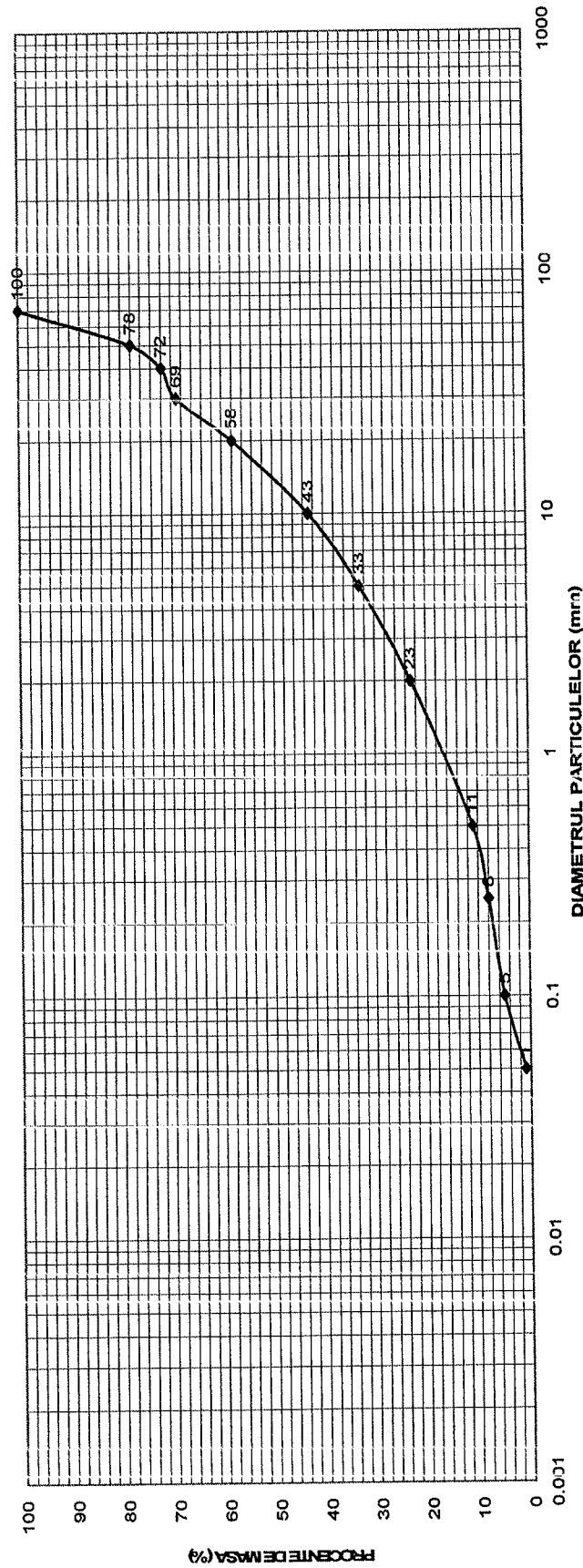


DIAGRAMA DISTRIBUTIEI GRANULOMETRICE
CONSTRUIRE PARC FOTOVOLTAIC UAT TEIUS, P 135, P 137, P 140, P 143, P 143/3, JUDET ALBA
FORAJ 8, PROBA 36775



DIAMETRUL PARTICULELOR (mm)	Argila	Praf	Nisip fin	Nisip mijlociu	Nisip mare	Pietris mic	Pietris mare	Bolovanis	Blocuri
0.002<d<0.005	1%	7%	3%	12%	35%	42%	-	-	-
0.005<d<0.01	1%	7%	3%	12%	35%	42%	-	-	-
0.01<d<0.025	1%	7%	3%	12%	35%	42%	-	-	-

Sef profil
ing. Popa Laetitia

LABOR TEST

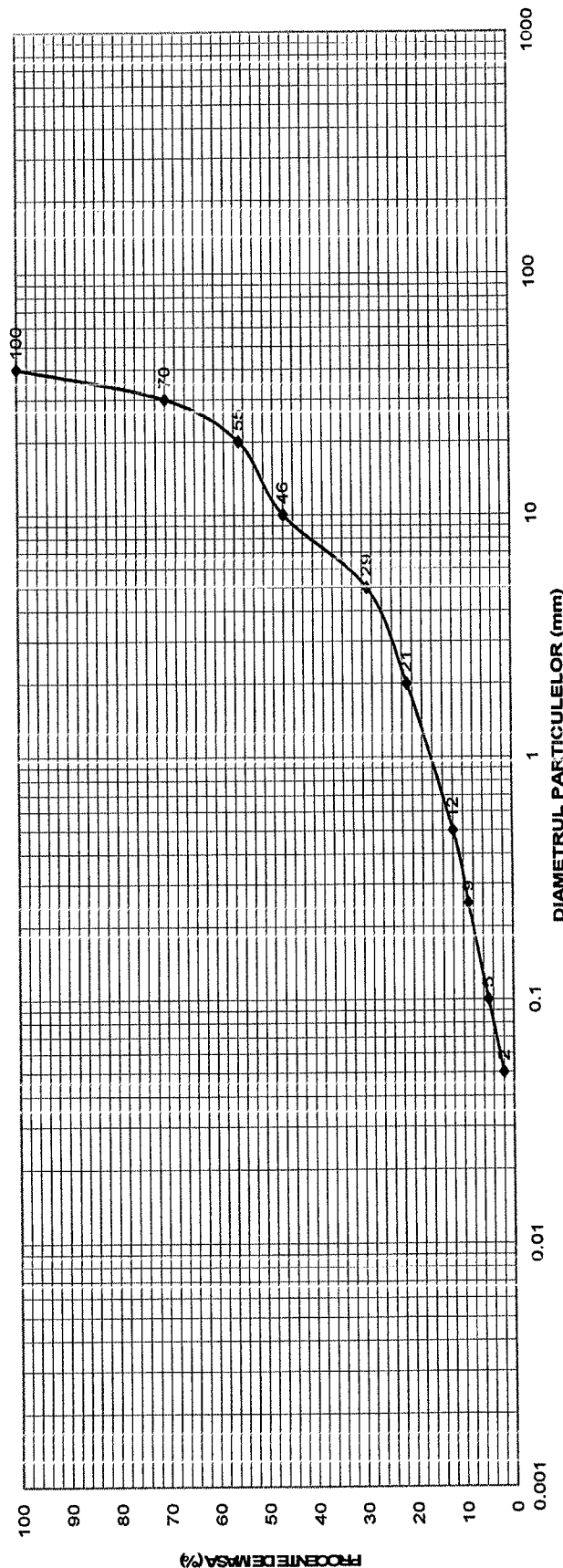
SC LABOR TEST SRL
LABORATOR
GEOTEHNIC
DE GRADUL II

* AUTORIZAT DE INC 3015 *

Laborator geotehnic Gr. II
Autorizatie nr. 3015

SC LABOR TEST SRL
Ploiesti, str. Ineu, nr.3
Tel./Fax : 0721522208/0244595907

DIAGRAMA DISTRIBUTIEI GRANULOMETRICE
CONSTRUIRE PARC FOTOVOLTAIC UAT TEIUS, P 135, P 137, P 140, P 143, P 143/3, JUDET ALBA
FORAJ 8, PROBA 36776



0.002<d<0.005	Argila	-%	0.25<d<0.50	Nisip mijlociu	3%	20<d<70	Pietris mare	45%
0.005<d<0.05	Praf	2%	0.50<d<2	Nisip mare	9%	70<d<200	Bolovanis	-%
0.05<d<0.25	Nisip fin	7%	2<d<20	Pietris mic	34%	d >200	Blocuri	-%

Sef profil
ing.Popa Laetitia

LABOR TEST

Laborator geotehnic Gr. II
Autorizatie nr. 3015

SC LABOR TEST SRL
Ploiesti, str. Ineu, nr.3
Tel./Fax : 0721522208/0244595907

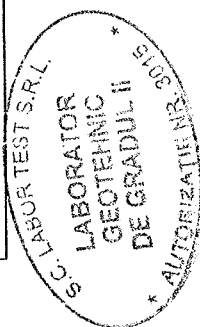
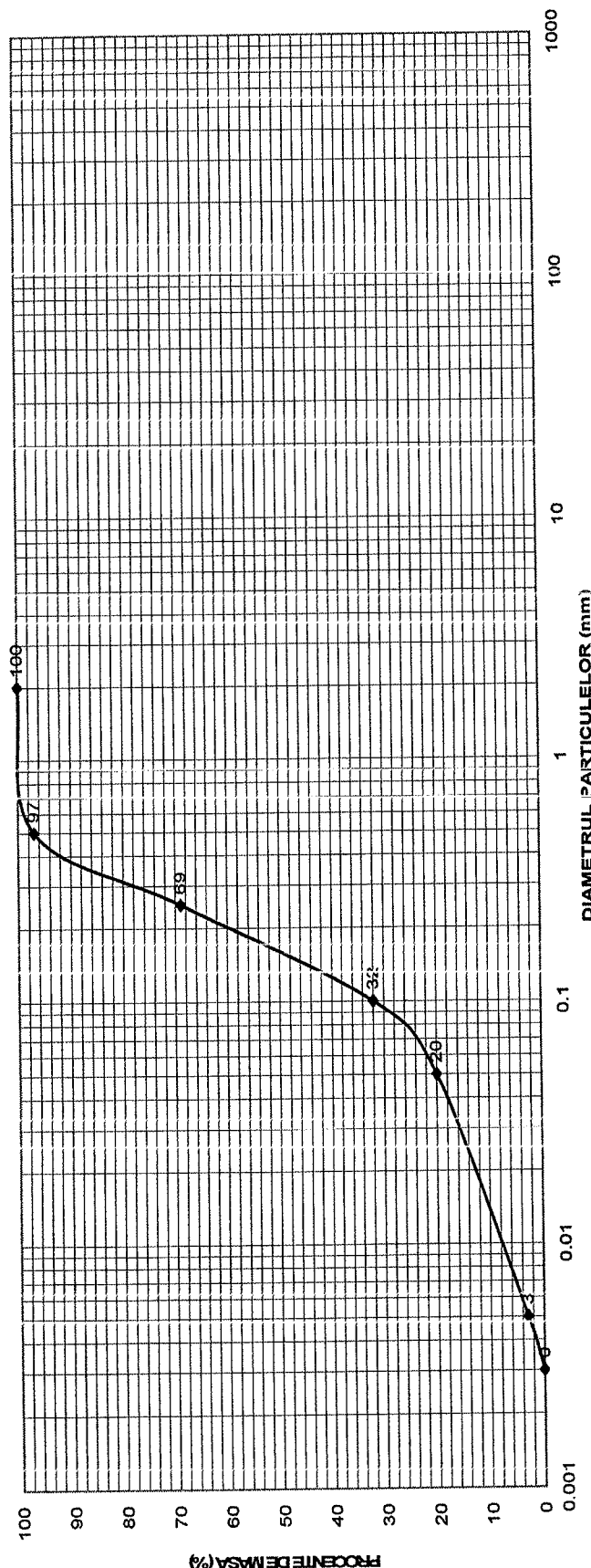
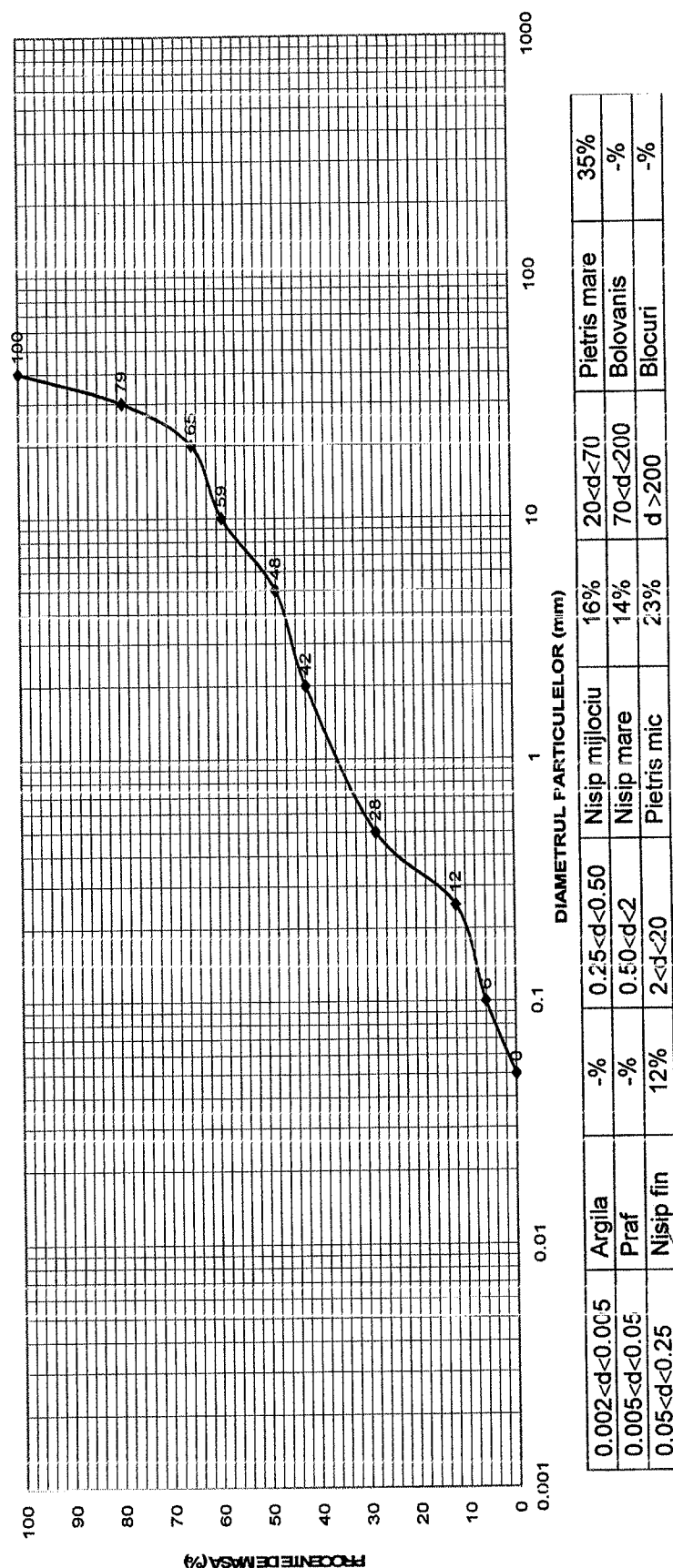


DIAGRAMA DISTRIBUTIEI GRANULOMETRICE
CONSTRUIRE PARC FOTVOLTAIC UAT TEIUS, P 135, P 137, P 140, P 143, P 143/3, JUDET ALBA
FORAJ 9, PROBA 36777



0.002<d<0.005	Argila	3%	0.25<d<0.50	Nisip mijlociu	28%	20<d<70	Pietris mare	-%
0.005<d<0.05	Praf	17%	0.50<d<2	Nisip mare	3%	70<d<200	Bolovanis	-%
0.05<d<0.25	Nisip fin	49%	2<d<20	Pietris mic	-%	d >200	Blocuri	-%

Sef profil
ing. Popa Laetitia



Sef profil
ing. Popa Laetitia

LABOR TEST

Laborator geotehnic Gr. II
Autorizatie nr. 3015

SC LABOR TEST SRL
Ploiesti, str. Ineu, nr.3
Tel./Fax : 0721522208/0244595907

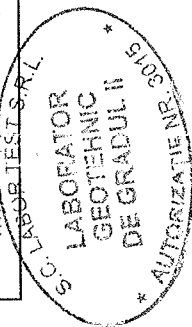
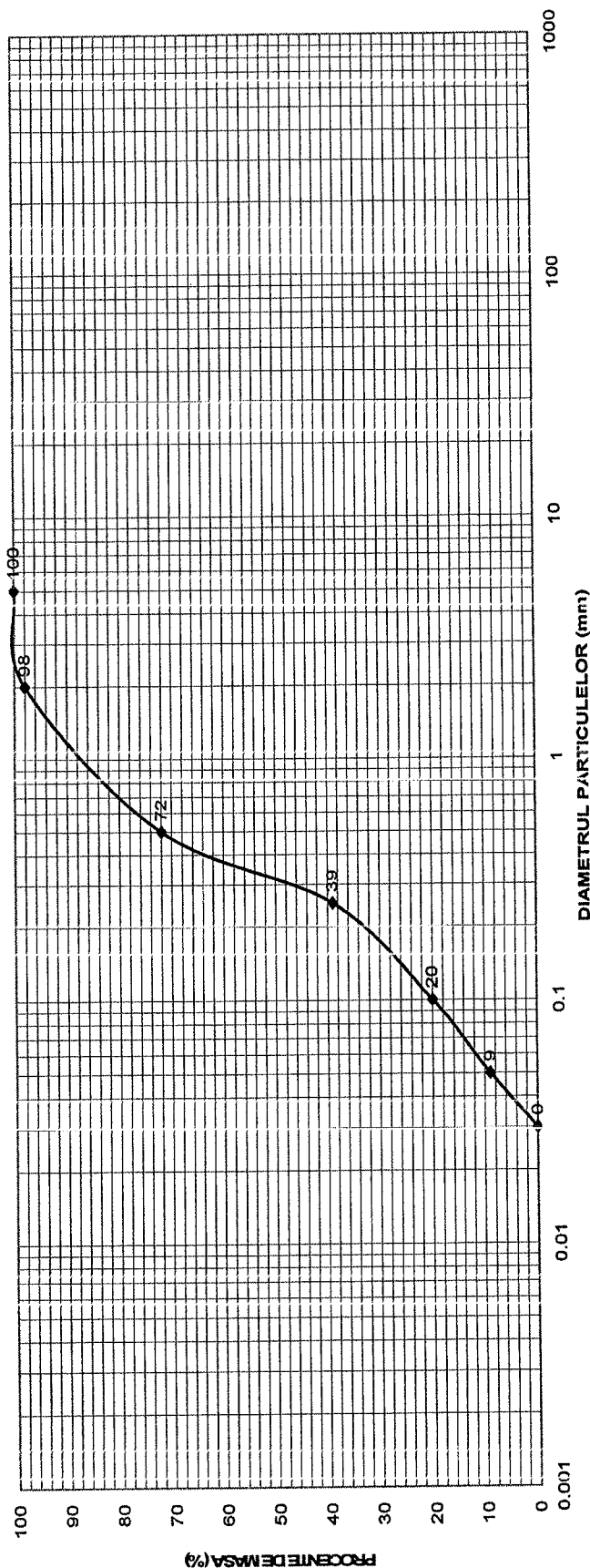


DIAGRAMA DISTRIBUTIEI GRANULOMETRICE
CONSTRUIRE PARC FOTOVOLTAIC UAT TEIUS, P 135, P 137, P 140, P 143, P 143/3, JUDET ALBA
FORAJ 10, PROBA 36779



0.002<d<0.005	Argila	-%	0.25<d<0.50	Nisip mijlociu	3%	20<d<70	Pietris mare	-%
0.005<d<0.05	Praf	9%	0.50<d<2	Nisip mare	26%	70<d<200	Bolovanis	-%
0.05<d<0.25	Nisip fin	30%	2<d<20	Pietris mic	2%	d >200	Blocuri	-%

Sef profil
ing. Popa Laetitia

LABOR TEST

Laborator geotehnic Gr. II
Autorizatie nr. 3015

SC LABOR TEST SRL
Ploiesti, str. Ineu, nr.3
Tel./Fax : 0721522208/0244595307

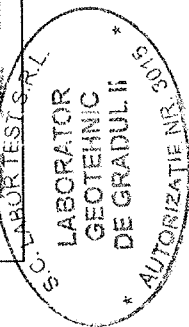
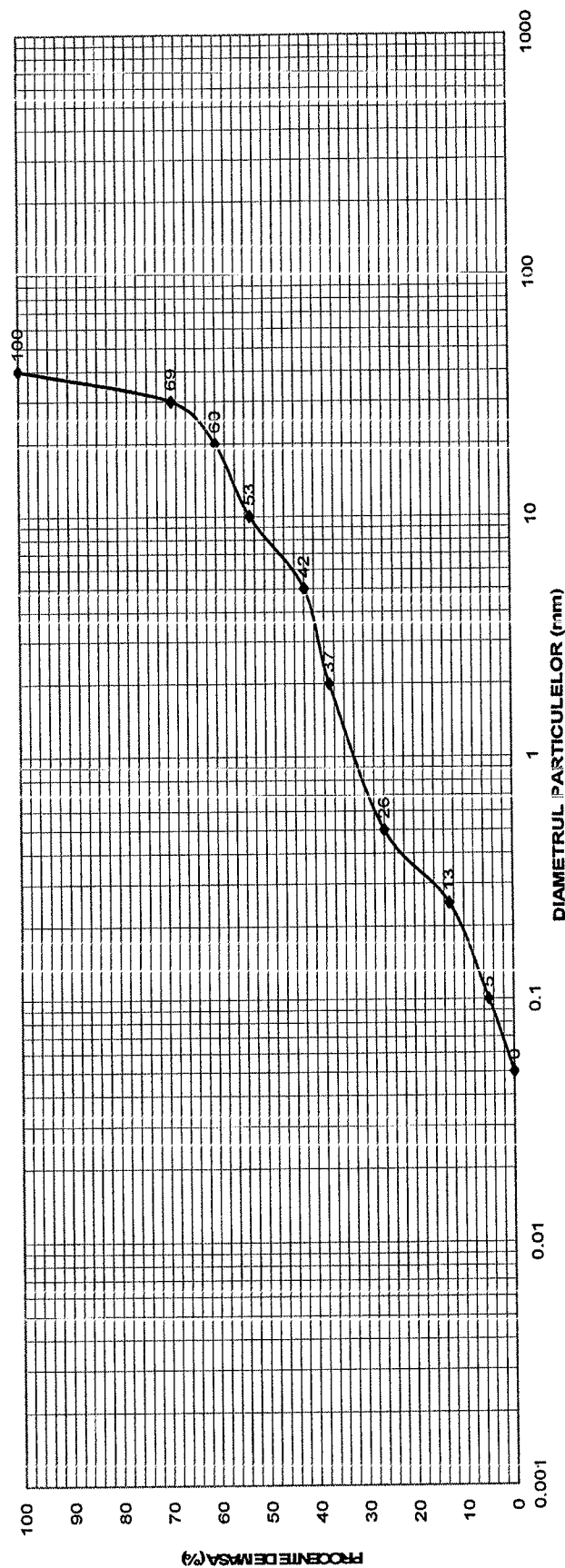


DIAGRAMA DISTRIBUTIEI GRANULOMETRICE
CONSTRUIRE PARC FOTOVOLTAIC UAT TEIUS, P 135, P 137, P 140, P 143, P 143/3, JUDET ALBA
FORAJ 10, PROBA 36780



0.002<d<0.005	Argila	-%	0.25<d<0.50	Nisip mijlociu	13%	20<d<70	Pietris mare	40%
0.005<d<0.05	Praf	-%	0.50<d<2	Nisip mare	11%	70<d<200	Bolovanis	-%
0.05<d<0.25	Nisip fin	13%	2<d<20	Pietris mic	23%	d >200	Blocuri	-%

Sef profil
ing. Popa Laetitia

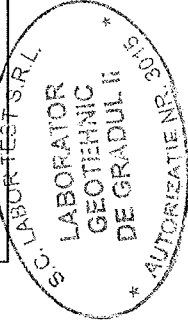
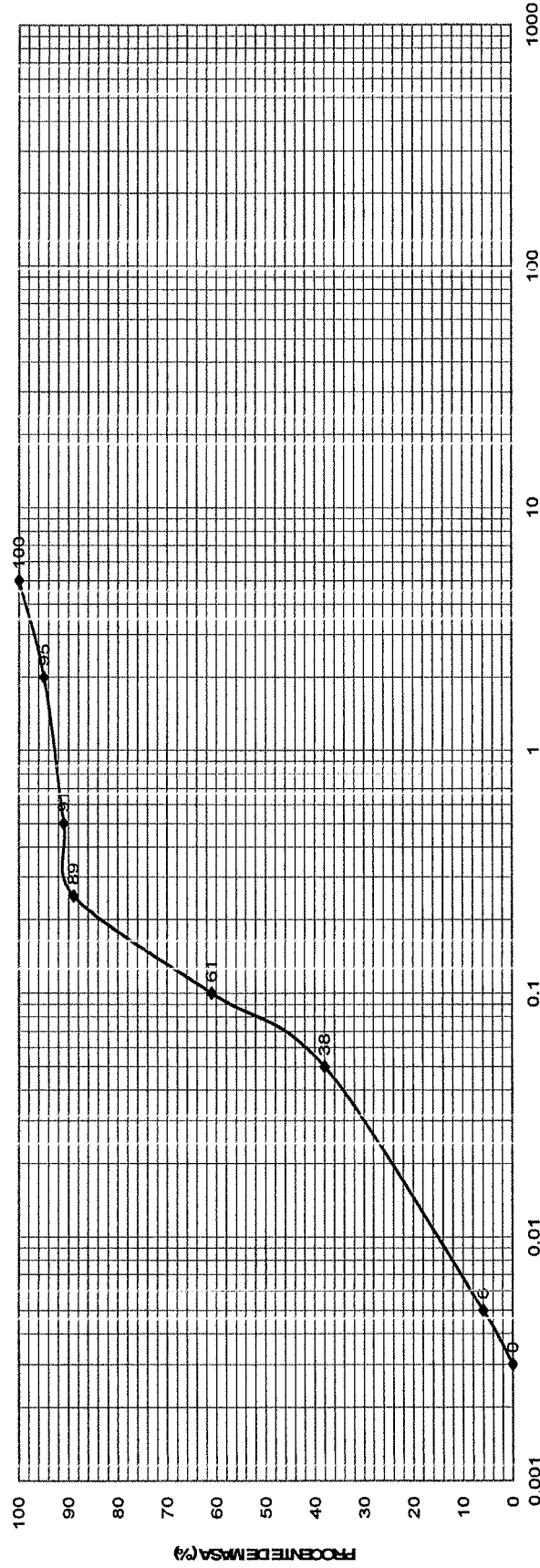


DIAGRAMA DISTRIBUTIEI GRANULOMETRICE
CONSTRUIRE PARC FOTOVOLTAIC UAT TE US, P 135, P 137, P 140, P 143, P 143/3, JUDET ALBA
FORAJ 11, PROBA 36781



0.002<d<0.005	Argila	6%	0.25<d<0.50	Nisip mijlociu	2%	20<d<70	Pietris mare	-%
0.005<d<0.05	Praf	32%	0.50<d<2	Nisip mare	4%	70<d<200	Bolovanis	-%
0.05<d<0.25	Nisip fin	51%	2<d<20	Pietris mic	5%	d >200	Blocuri	-%

Sef profil/
ing. Popa Laetitia

LABOR TEST

SC LABOR TEST SRL
Ploiesti, str. Ineu, nr.3
Tel./Fax : 072152208/0244595907

Laborator geotehnic Gr. II
Autorizatie nr. 3015

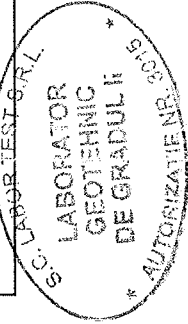
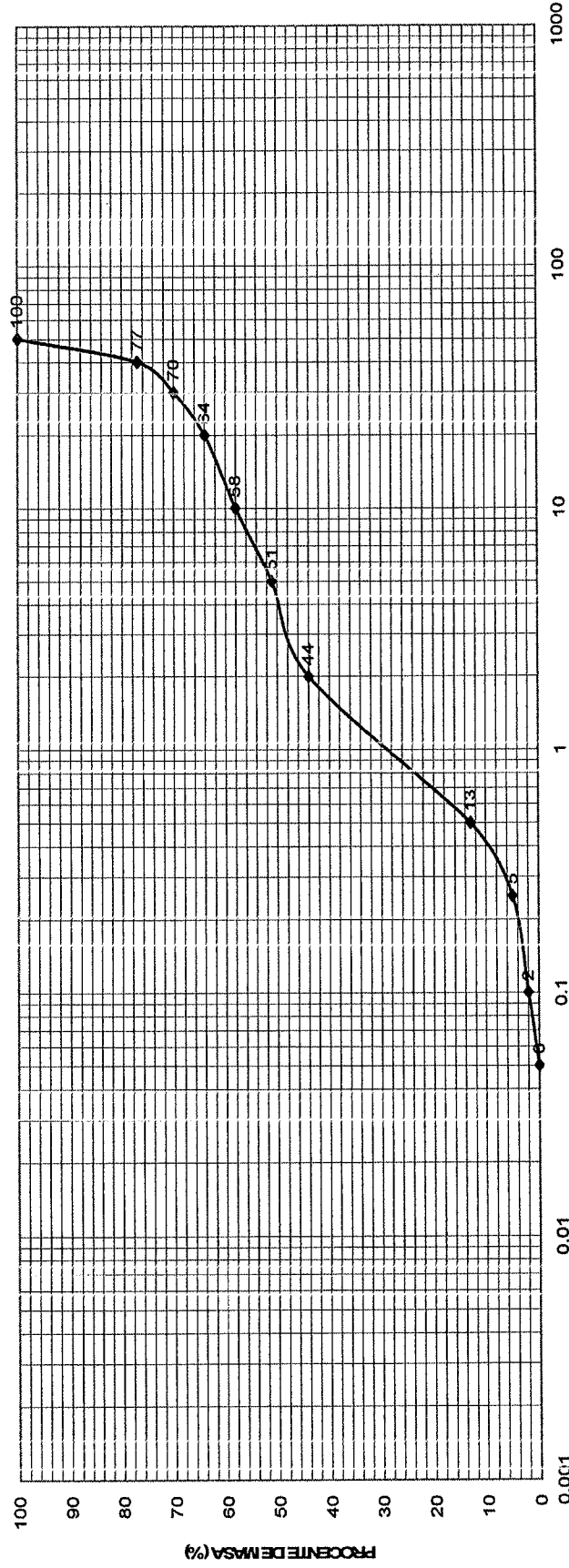


DIAGRAMA DISTRIBUTIEI GRANULOMETRICE
CONSTRUIRE PARC FOTOVOLTAIC UAT TEIUS, P 135, P 137, P 140, P 143, P 143/3, JUDET ALBA
FORAJ 11, PROBA 36782



0.002<d<0.005	Argila	-%	0.25<d<0.50	Nisip mijlociu	8%	20<d<70	Pietris mare	36%
0.005<d<0.05	Praf	-%	0.50<d<2	Nisip mare	31%	70<d<200	Bolovanis	-%
0.05<d<0.25	Nisip fin	5%	2<d<20	Pietris mic	20%	d >200	Blocuri	-%

Sef profil
ing.Popa Laetitia

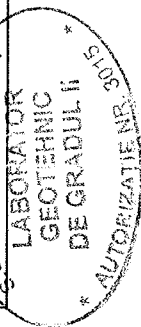
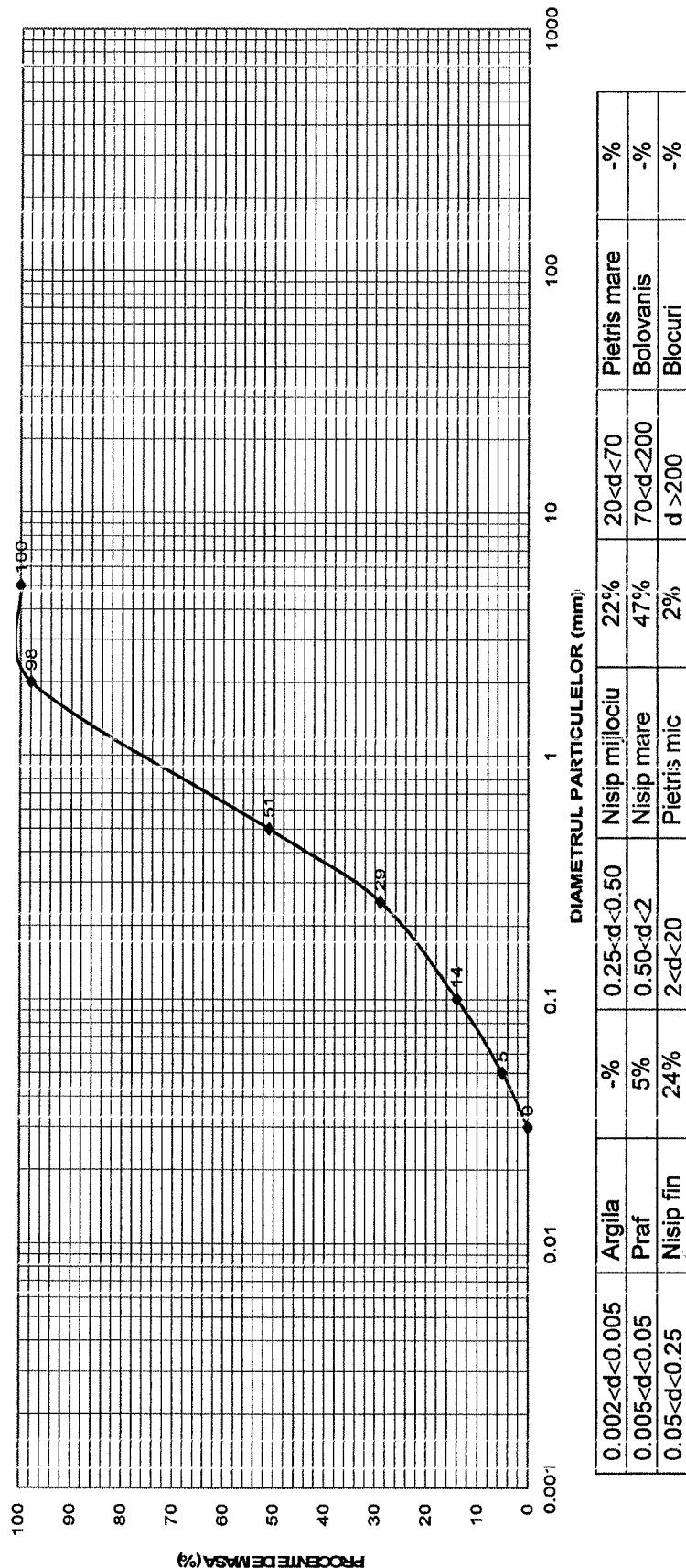


DIAGRAMA DISTRIBUTIEI GRANULOMETRICE
CONSTRUIRE PARC FOTOVOLTAIC UAT TEIUS, P 135, P 137, P 140, P 143, P 143/3, JUDET ALBA
FORAJ 12, PROBA 36783



Sef profil
ing. Popa Laetitia

LABOR TEST

Laborator geotehnic Gr. II
Autorizatie nr. 3015

SC LABOR TEST SRL
Ploiesti, str. Ineu, nr.3
Tel /Fax : 0721522208/0244595907

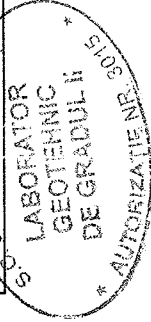
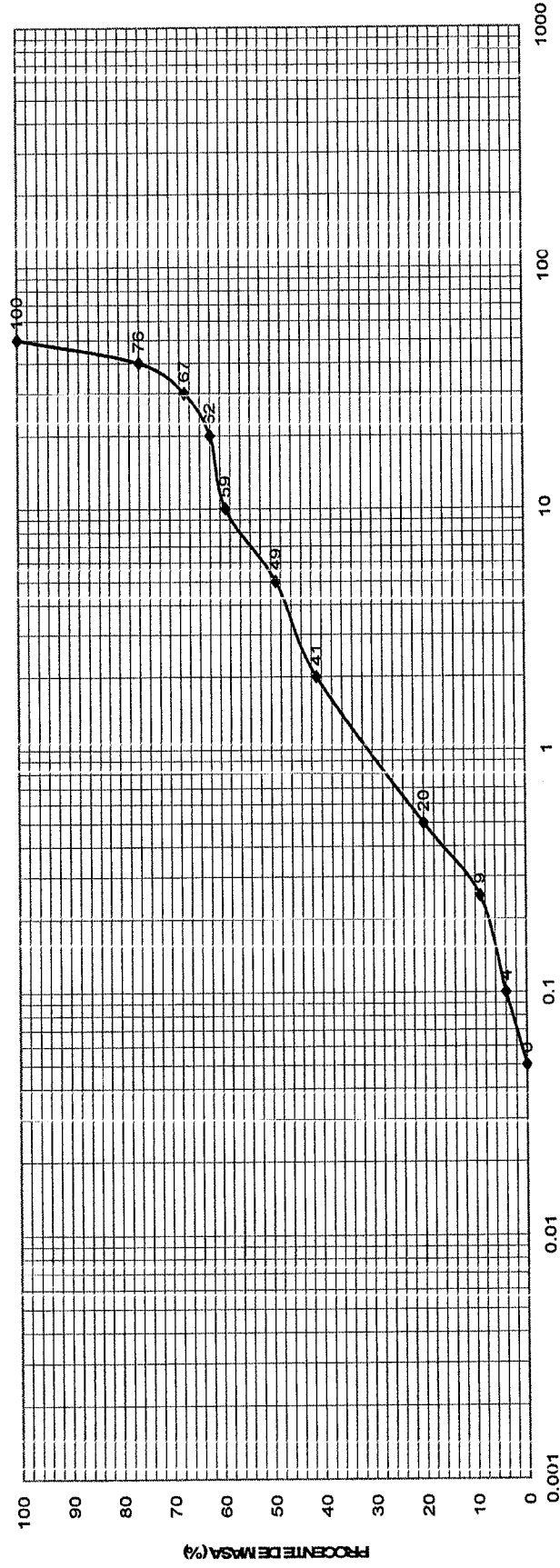


DIAGRAMA DISTRIBUTIEI GRANULOMETRICE
CONSTRUIRE PARC FOTOVOLTAIC UAT TEIUS, P 135, P 137, P 140, P 143, P 143/3, JUDET ALBA
FORAJ 12, PROBA 36784



DIAMETRUL PARTICULELOR (mm)

0.002<d<0.005	Argila	-%	0.25<d<0.50	Nisip mijlociu	1%	20<d<70	Pietris mare	38%
0.005<d<0.05	Praf	-%	0.50<d<2	Nisip mare	2%	70<d<200	Bolovanis	-%
0.05<d<0.25	Nisip fin	9%	2<d<20	Pietris mic	2%	d >200	Blocuri	-%

Sef profil
ing. Popa Laetitia

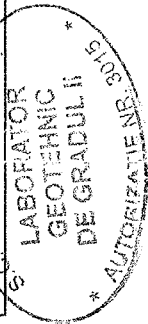
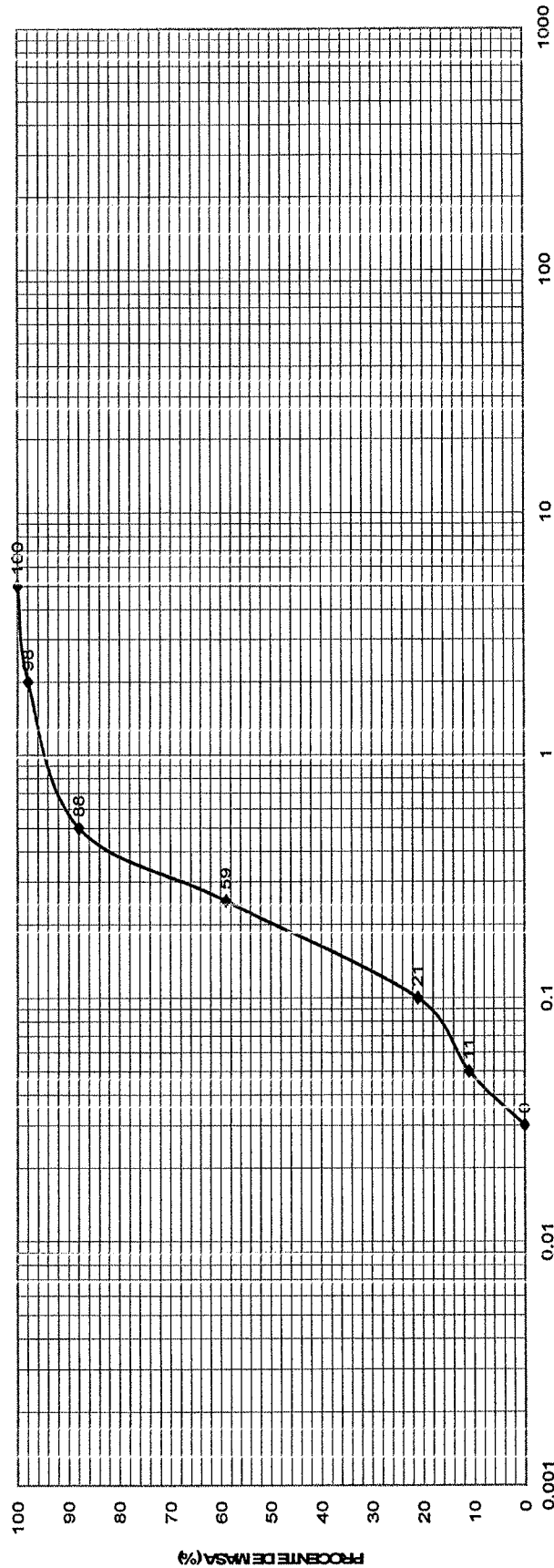


DIAGRAMA DISTRIBUTIEI GRANULOMETRICE
CONSTRUIRE PARC FOTOVOLTAIC UAT TEIUS, P 135, P 137, P 140, P 143, P 143/3, JUDET ALBA
FORAJ 13, PROBA 36785



DIAMETRUL PARTICULELOR (mm)

0.002<d<0.005	Argila	-%	0.25<d<0.50	Nisip mijlociu	29%	20<d<70	Pietris mare	-%
0.005<d<0.05	Praf	11%	0.50<d<2	Nisip mare	10%	70<d<200	Bolovanis	-%
0.05<d<0.25	Nisip fin	48%	2<d<20	Pietris mic	2%	d >200	Blocuri	-%

Sef profil
ing. Popa Laetitia

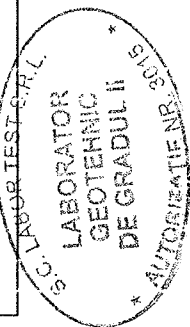
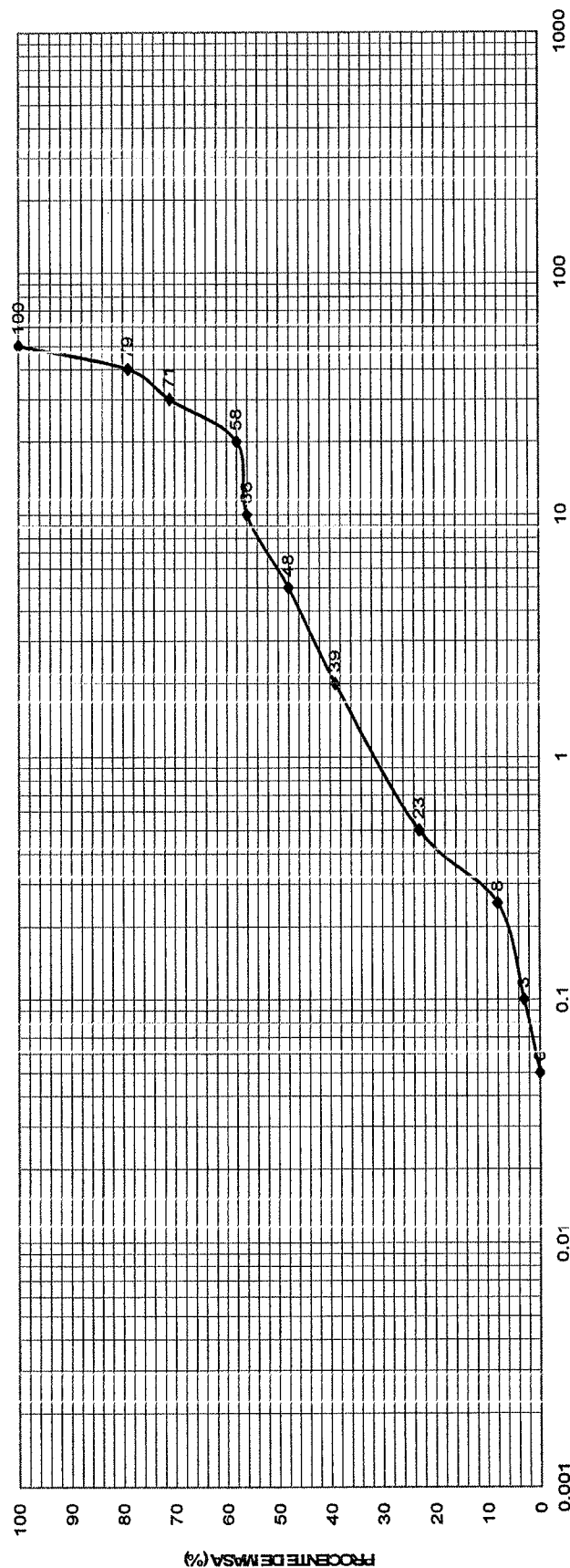


DIAGRAMA DISTRIBUTIEI GRANULOMETRICE
CONSTRUIRE PARC FOTOVOLTAIC UAT TEIUS, P 135, P 137, P 140, P 143, P 143/3, JUDET ALBA
FORAJ 13, PROBA 36786



0.002 < d < 0.005	Argila	-%	0.25 < d < 0.50	Nisip mijlociu	15%	20 < d < 70	Pietris mare	42%
0.005 < d < 0.05	Praf	-%	0.50 < d < 2	Nisip mare	16%	70 < d < 200	Bolovanis	-%
0.05 < d < 0.25	Nisip fin	8%	2 < d < 20	Pietris mic	19%	d > 200	Blocuri	-%

Sef profil
ing. Popa Laetitia

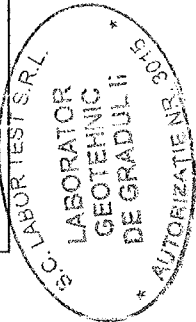
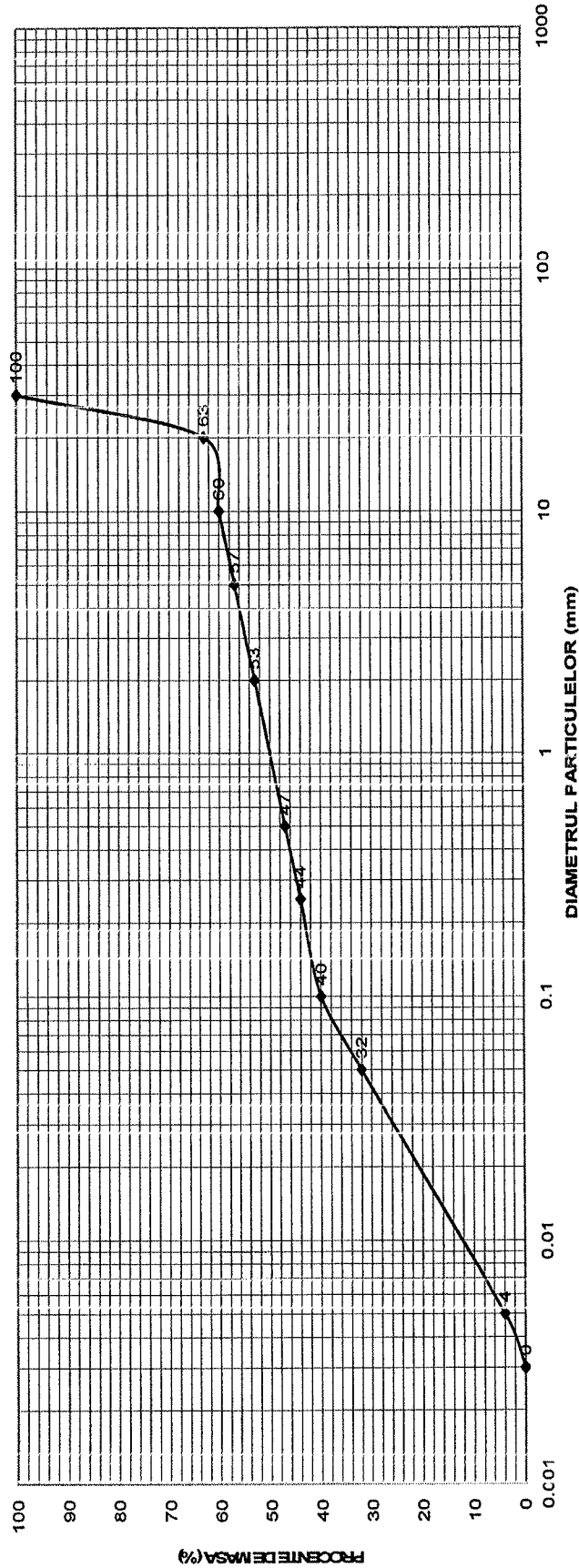


DIAGRAMA DISTRIBUTIEI GRANULOMETRICE
CONSTRUIRE PARC FOTOVOLTAIC UAT TEIUS, P 135, P 137, P 140, P 143, P 143/3, JUDET ALBA
FORAJ 14, PROBA 36788



0.002<d<0.005	Argila	4%	0.25<d<0.50	Nisip mijlociu	3%	20<d<70	Pietris mare	37%
0.005<d<0.05	Praf	28%	0.50<d<2	Nisip mare	6%	70<d<200	Bolovanis	-%
0.05<d<0.25	Nisip fin	12%	2<d<20	Pietris mic	10%	d >200	Blocuri	-%

Sef profil
ing. Popa Laetitia

LABOR TEST

Laborator geotehnic Gr. II
Autorizație nr. 3015

SC LABOR TEST SRL
Ploiesti, str. Ineu, nr.3
Tel./Fax : 0721522208/0244595907

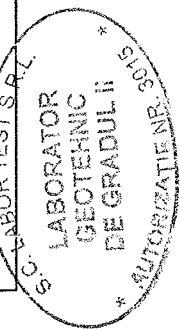
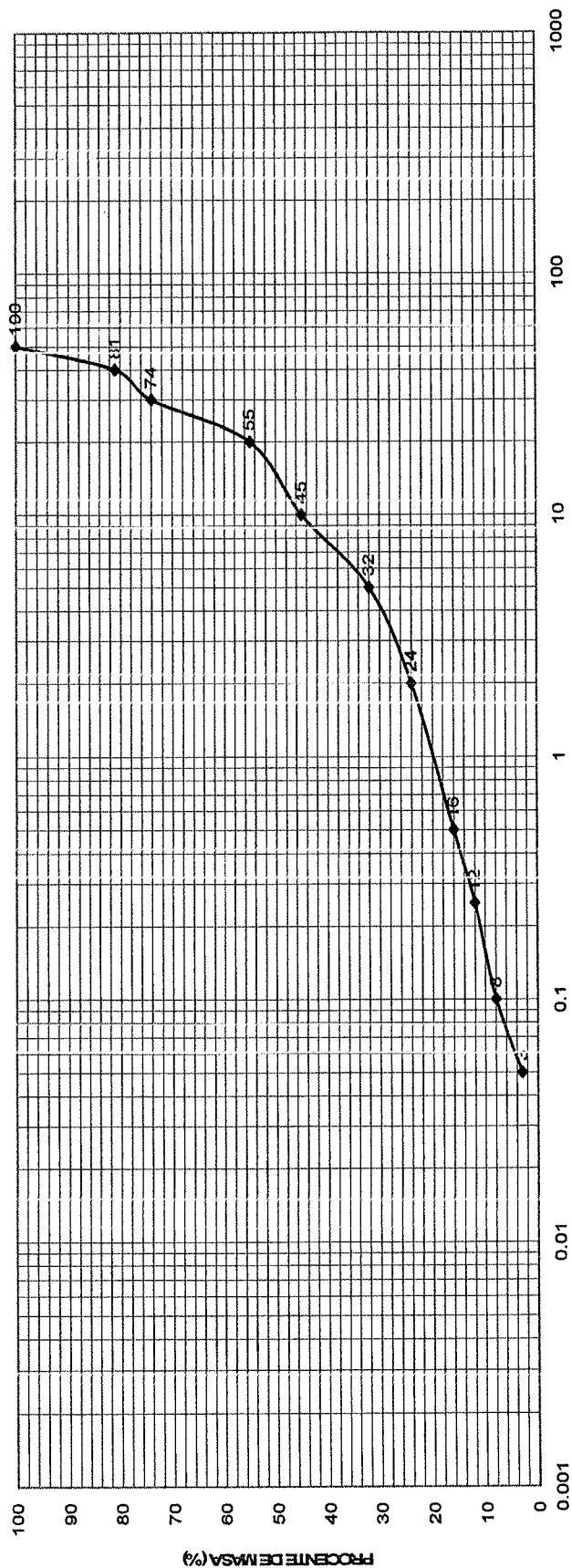


DIAGRAMA DISTRIBUTIEI GRANULOMETRICE
CONSTRUIRE PARC FOTOVOLTAIC UAT TEIUS, P 135, P 137, P 140, P 143, P 143/3, JUDET ALBA
FORAJ 15, PROBA 36790



0.002<d<0.005	Argila	-%	0.25<d<0.50	Nisip mijlociu	4%	20<d<70	Pietris mare	45%
0.005<d<0.05	Praf	3%	0.50<d<2	Nisip mare	8%	70<d<200	Bolovanis	-%
0.05<d<0.25	Nisip fin	9%	2<d<20	Pietris mic	31%	d >200	Blocuri	-%

Sef profil
ing. Popa Laetitia

LABOR TEST

Laborator geotehnic Gr. II
Autorizatie nr. 3015

SC LABOR TEST SRL
Ploiesti, str. Ineu, nr.3
Tel./Fax : 0721622208/0244595907

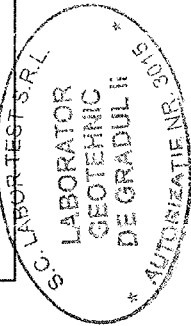
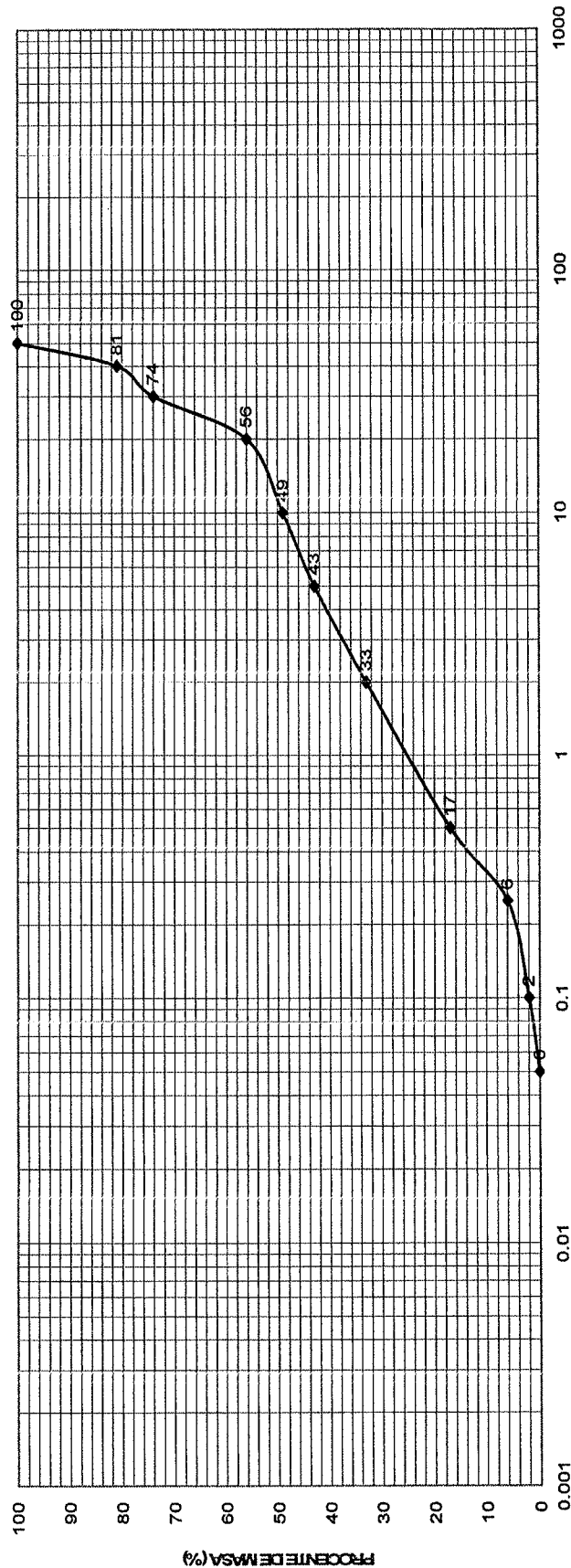


DIAGRAMA DISTRIBUTIEI GRANULOMETRICE
CONSTRUIRE PARC FOTOVOLTAIC UAT TEIUS, P 135, P 137, P 140, P 143, P 143/3, JUDET ALBA
FORAJ 16, PROBA 36792



DIAMETRUL PARTICULELOR (mm)	Argila	Praf	Nisip fin	Nisip mijlociu	Nisip mare	Pietris mic	20<d<70	70<d<200	d >200	Pietris mare	Bolovanis	Blocuri
0.002<d<0.005	-%	-%	6%	11%	16%	23%						
0.005<d<0.05	-%	-%	6%	11%	16%	23%						
0.05<d<0.25	-%	-%	6%	11%	16%	23%						

Sef profil
ing. Popa Laetitia

LABOR TEST

Laborator geotehnic Gr. II
Autorizatie nr. 3015

SC LABOR TEST SRL
Ploiesti, str. Ineu, nr.3
Tel./Fax : 0721522208/0244595907

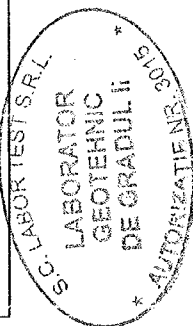
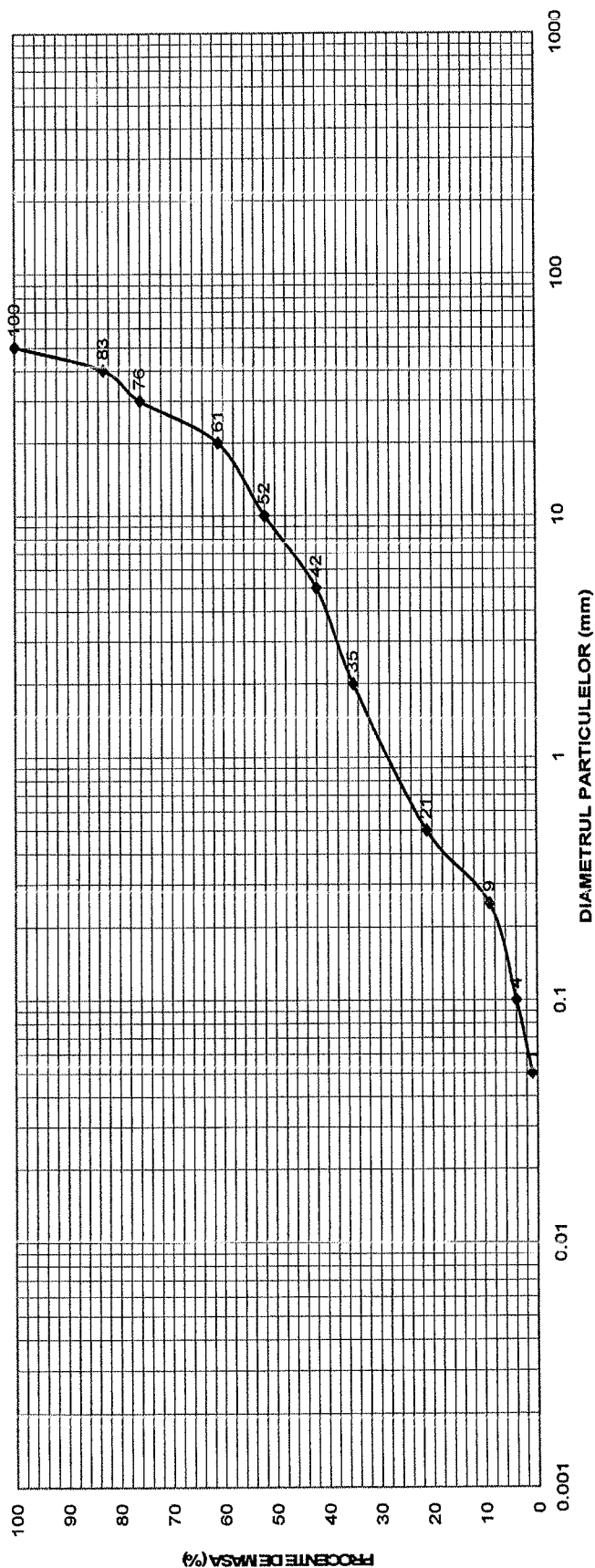


DIAGRAMA DISTRIBUTIEI GRANULOMETRICE
CONSTRUIRE PARC FOTOVOLTAIC UAT TEIUS, P 135, P 137, P 140, P 143, P 143/3, JUDET ALBA
FORAJ 17, PROBA 36794



0.002<d<0.005	Argila	-%	0.25<d<0.50	Nisip mijlociu	12%	20<d<70	Pietris mare	39%
0.005<d<0.05	Praf	1%	0.50<d<2	Nisip mare	14%	70<d<200	Bolovanis	-%
0.05<d<0.25	Nisip fin	8%	2<d<20	Pietris mic	26%	d >200	Blocuri	-%

Sef profil
ing. Popa Laetitia

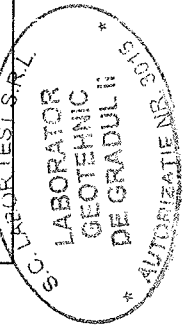
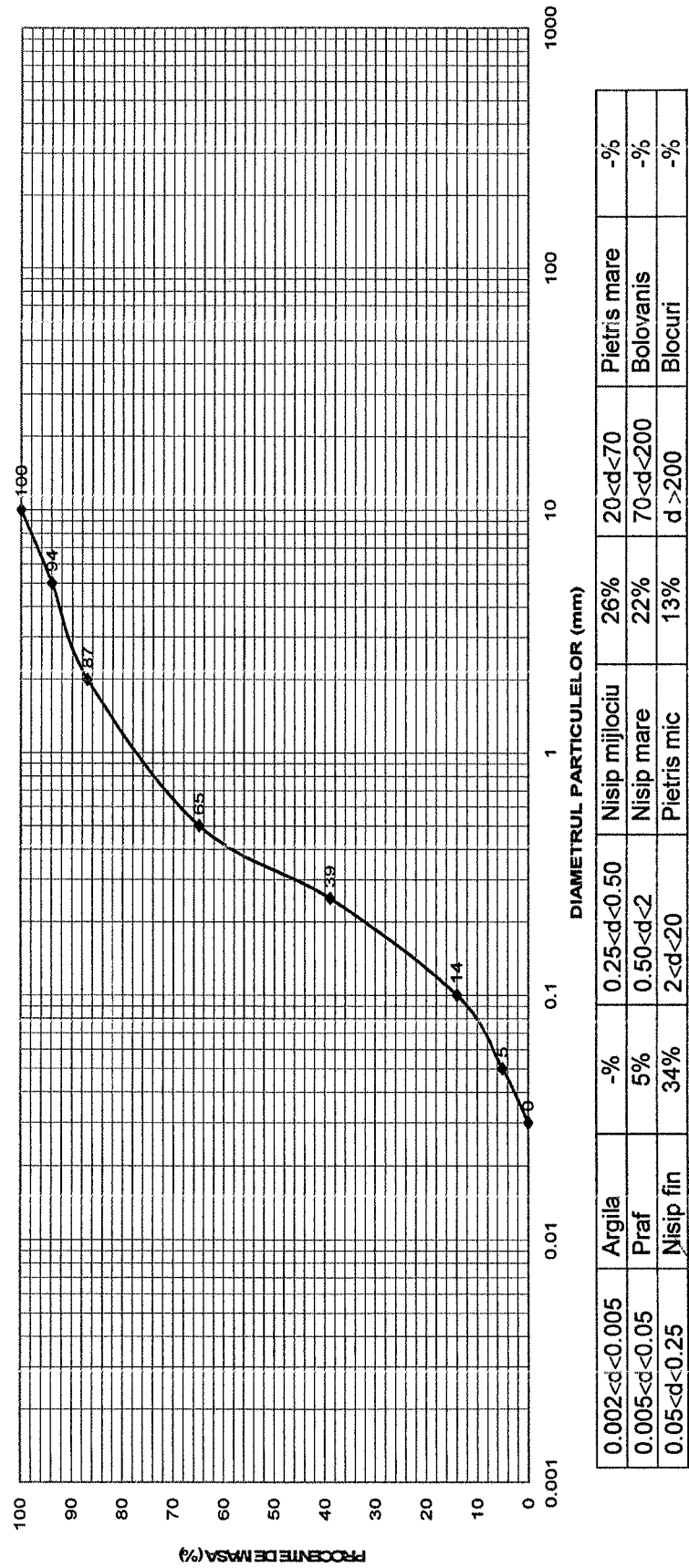


DIAGRAMA DISTRIBUTIEI GRANULOMETRICE
 CONSTRUIRE PARC FOTOVOLTAIC UAT TEIUS, P 135, P 137, P 140, P 143, P 143/3, JUDET ALBA
 FORAJ 18, PROBA 36795



Sef profil
 ing. Popa Laetitia

LABOR TEST

Laborator geotehnic Gr. II
Autorizatie nr. 3015

SC LABOR TEST SRL
Ploiesti, str. Ineu, nr.3
Tel./Fax : 0721522208/0244595907

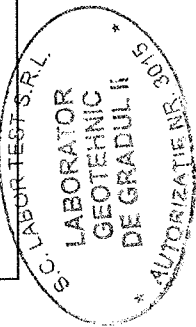
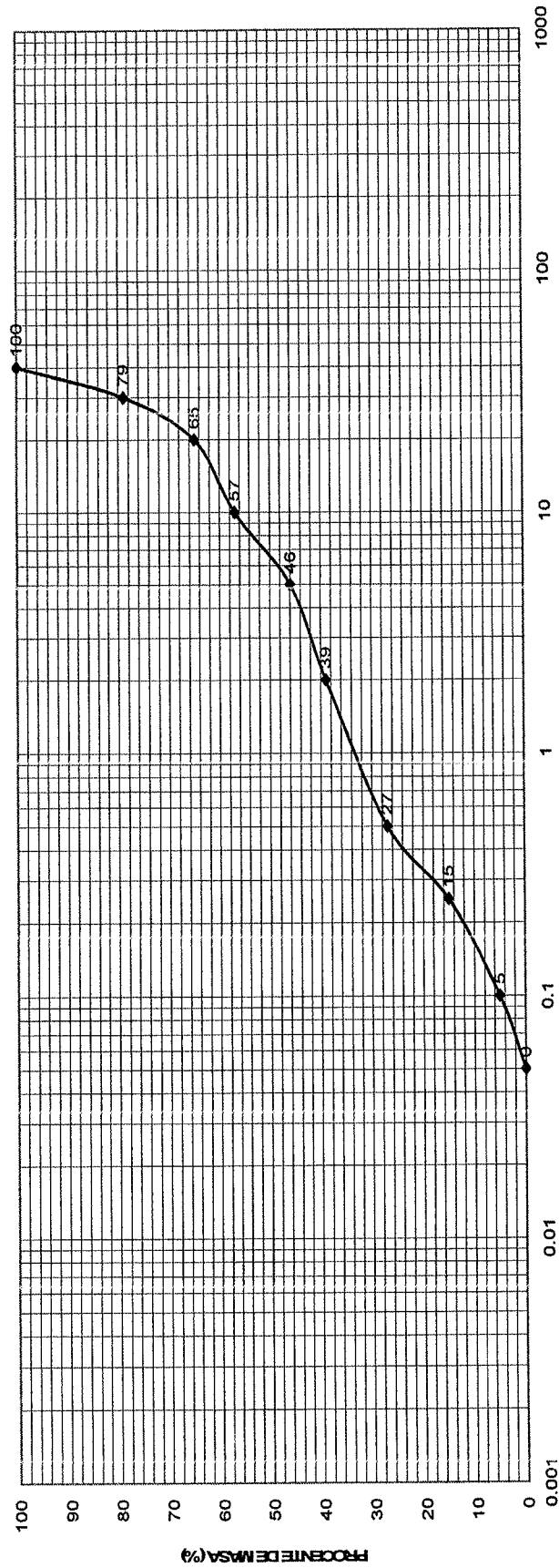


DIAGRAMA DISTRIBUTIEI GRANULOMETRICE
CONSTRUIRE PARC FOTOVOLTAIC UAT TEIUS, P 135, P 137, P 140, P 143, P 143/3, JUDET ALBA
FORAJ 18, PROBA 36796



0.002<d<0.005	Argila	-%	0.25<d<0.50	Nisip mijlociu	12%	20<d<70	Pietris mare	35%
0.005<d<0.05	Praf	-%	0.50<d<2	Nisip mare	12%	70<d<200	Bolovanis	-%
0.05<d<0.25	Nisip fin	15%	2<d<20	Pietris mic	26%	d >200	Blocuri	-%

Sef profil
ing. Popa Laetitia

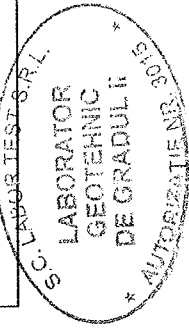
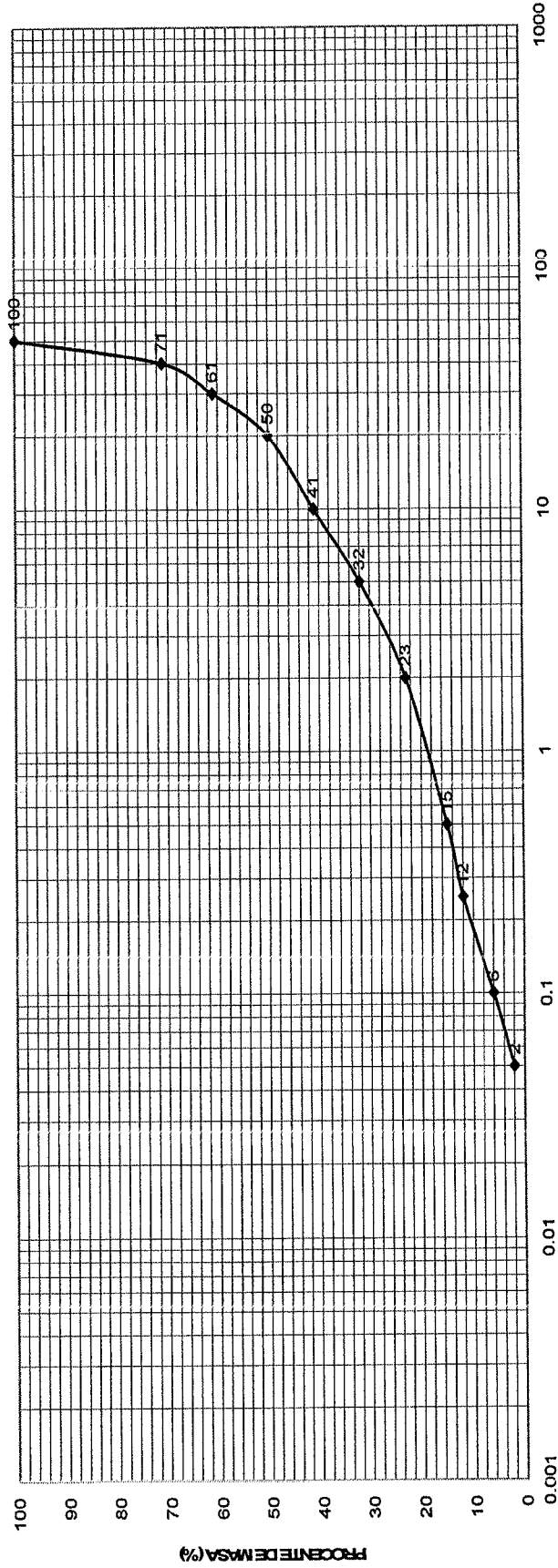


DIAGRAMA DISTRIBUTIEI GRANULOMETRICE
CONSTRUIRE PARC FOTOVOLTAIC UAT TEIUS, P 135, P 137, P 140, P 143, P 143/3, JUDET ALBA
FORAJ 19, PROBA 36798



DIAMETRUL PARTICULELOR (mm)

0.002<d<0.005	Argila	-%	0.25<d<0.50	Nisip mijlociu	3%	20<d<70	Pietris mare	50%
0.005<d<0.05	Praf	2%	0.50<d<2	Nisip mare	8%	70<d<200	Bolovanis	-%
0.05<d<0.25	Nisip fin	10%	2<d<20	Pietris mic	27%	d >200	Blocuri	-%

Sef profil
ing. Popa Laetitia

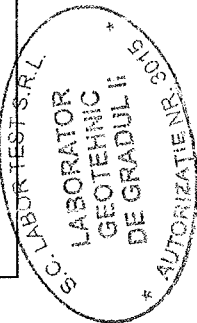
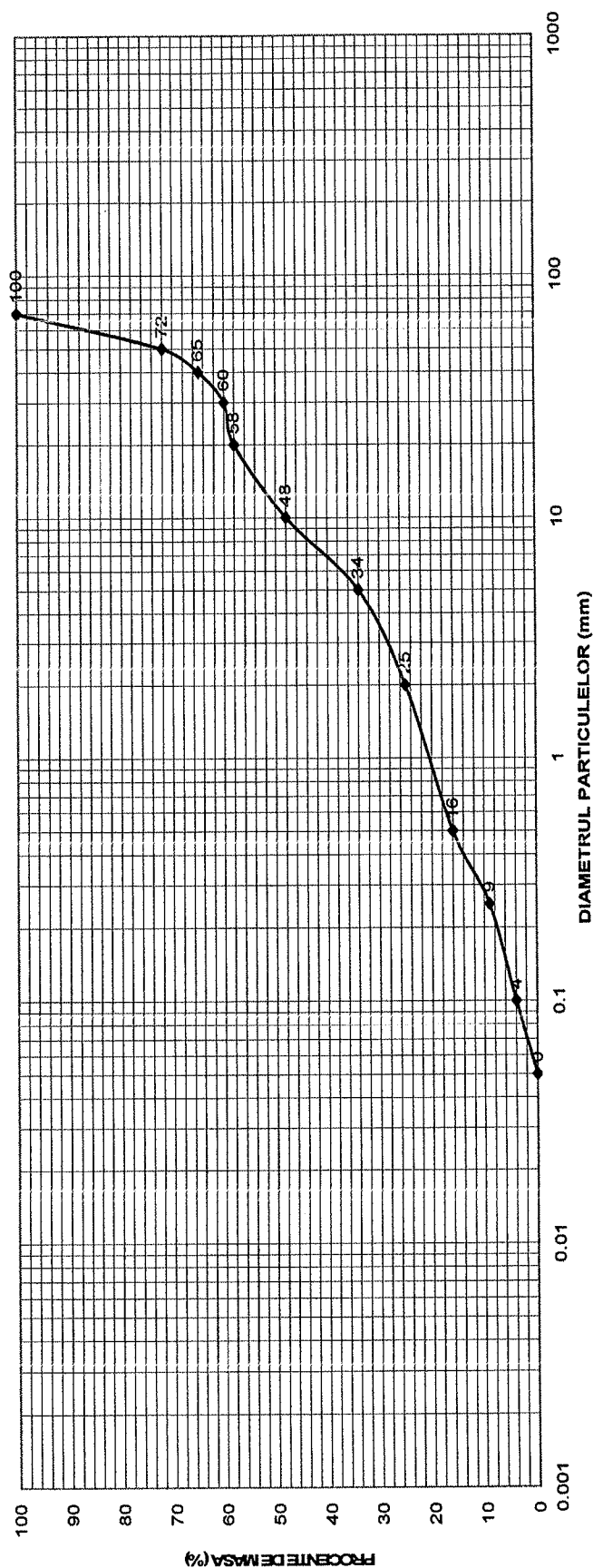


DIAGRAMA DISTRIBUTIEI GRANULOMETRICE
CONSTRUIRE PARC FOTOVOLTAIC UAT TEIUS, P 135, P 137, P 140, P 143, P 143/3, JUDET ALEA
FORAJ 20, PROBA 36800



0.002<d<0.005	Argila	-%	0.25<d<0.50	Nisip mijlociu	7%	20<d<70	Pietris mare	42%
0.005<d<0.05	Praf	-%	0.50<d<2	Nisip mare	9%	70<d<200	Bolovanis	-%
0.05<d<0.25	Nisip fin	9%	2<d<20	Pietris mic	33%	d >200	Blocuri	-%

Sef profil
ing. Popa Laetitia

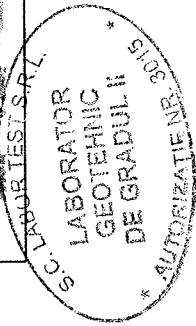
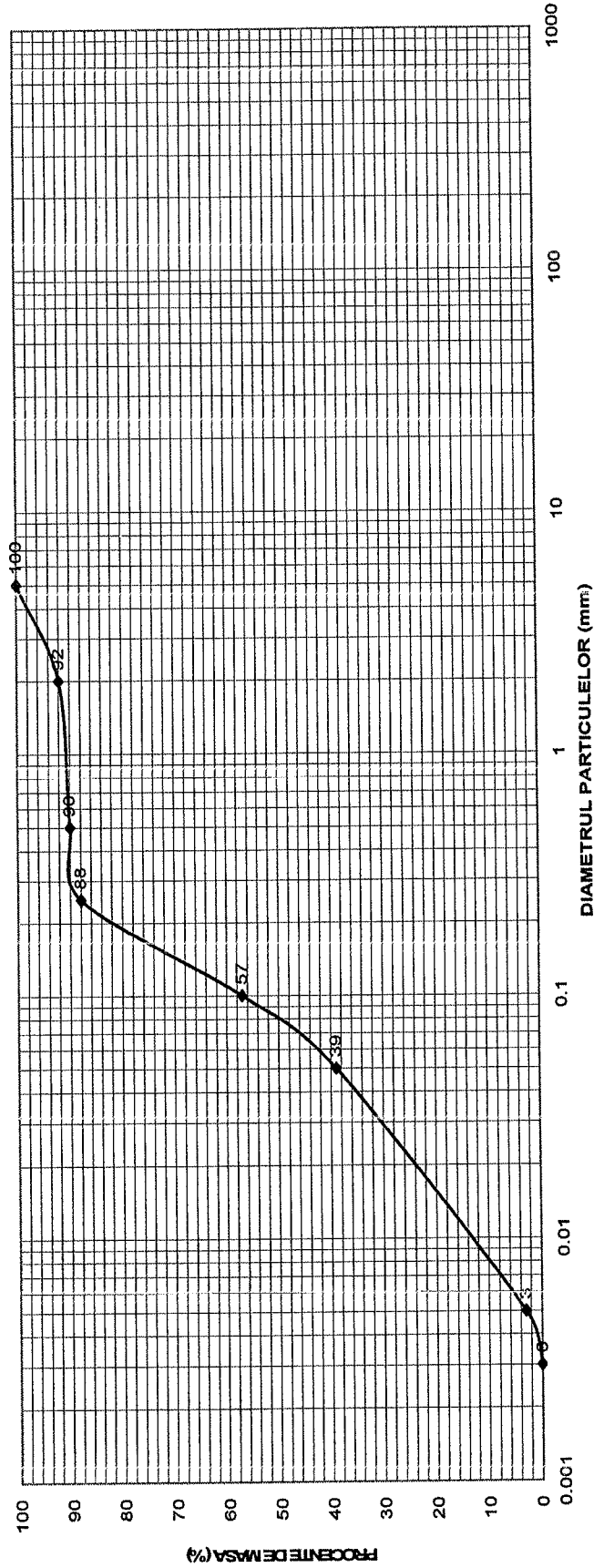


DIAGRAMA DISTRIBUTIEI GRANULOMETRICE
CONSTRUIRE PARC FOTOVOLTAIC UAT TEIUS, P 135, P 137, P 140, P 143, P 143/3, JUDET ALBA
FORAJ 21, PROBA 36801



0.002<d<0.005	Argila	3%	0.25<d<0.50	Nisip mijlociu	2%	20<d<70	Pietris mare	-%
0.005<d<0.05	Praf	36%	0.50<d<2	Nisip mare	2%	70<d<200	Bolovanis	-%
0.05<d<0.25	Nisip fin	49%	2<d<20	Pietris mic	8%	d >200	Blocuri	-%

Sef profil
ing. Popa Laetitia

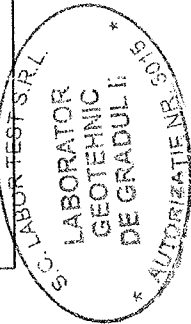
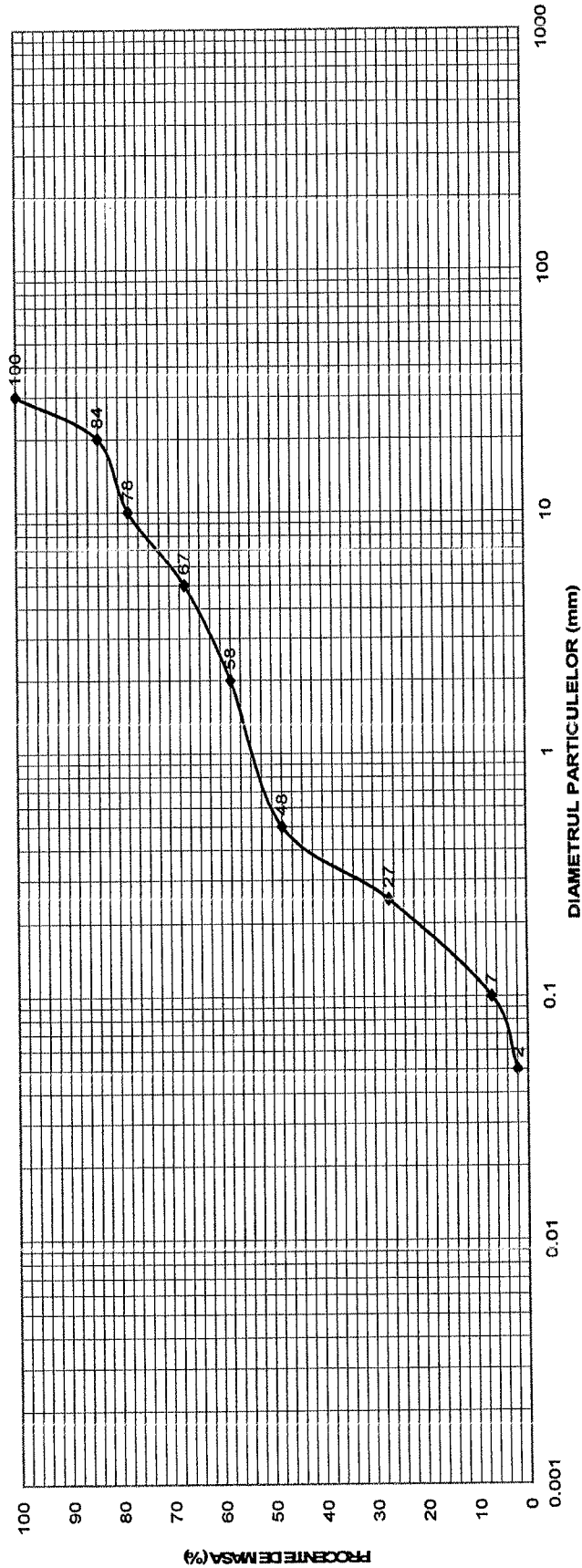


DIAGRAMA DISTRIBUTIEI GRANULOMETRICE
CONSTRUIRE PARC FOTOVOLTAIC UAT TEIUS, P 135, P 137, P 140, P 143, P 143/3, JUDET ALBA
FORAJ 21, PROBA 36802



0.002<d<0.005	Argila	-%	0.25<d<0.50	Nisip mijlociu	21%	20<d<70	Pietris mare	16%
0.005<d<0.05	Praf	2%	0.50<d<2	Nisip mare	10%	70<d<200	Bolovanis	-%
0.05<d<0.25	Nisip fin	25%	2<d<20	Pietris mic	26%	d >200	Blocuri	-%

Sef profil
ing. Popa Laetitia

LABOR TEST

LABOR TEST SRL

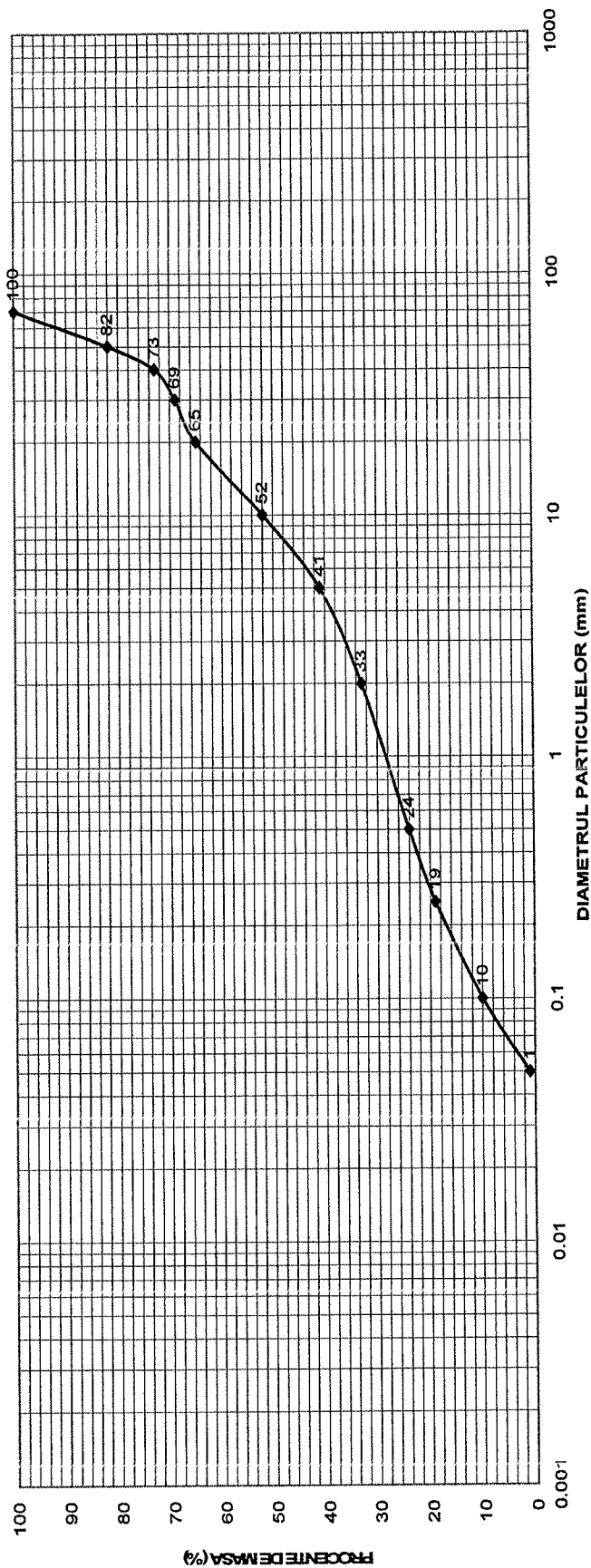
LABORATOR
GEOTEHNIC
DE GRADUL II

* AUTORIZATIE NR. 3015

Laborator geotehnic Gr. II
Autorizatie nr. 3015

SC LABOR TEST SRL
Ploiesti, str. Ineu, nr.3
Tel./Fax : 0721522208/0244595907

DIAGRAMA DISTRIBUTIEI GRANULOMETRICE
CONSTRUIRE PARC FOTOVOLTAIC UAT TEIUS, P 135, P 137, P 140, P 143, P 143/3, JUDET ALBA
FORAJ 22, PROBA 36804



0.002<d<0.005	Argila	-%	0.25<d<0.50	Nisip mijlociu	5%	20<d<70	Pietris mare	35%
0.005<d<0.05	Praf	1%	0.50<d<2	Nisip mare	9%	70<d<200	Bolovanis	-%
0.05<d<0.25	Nisip fin	18%	2<d<20	Pietris mic	32%	d >200	Blocuri	-%

Sef profil
ing. Popa Laetitia

LABOR TEST

SC LABOR TEST SRL
Ploiesti, str. Ineu, nr.3
Tel /Fax : 0721522208/0244595907

Laborator geotehnic Gr. II
Autorizatie nr. 3015

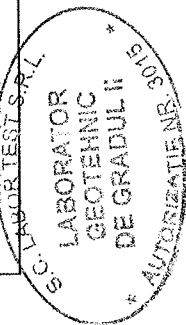
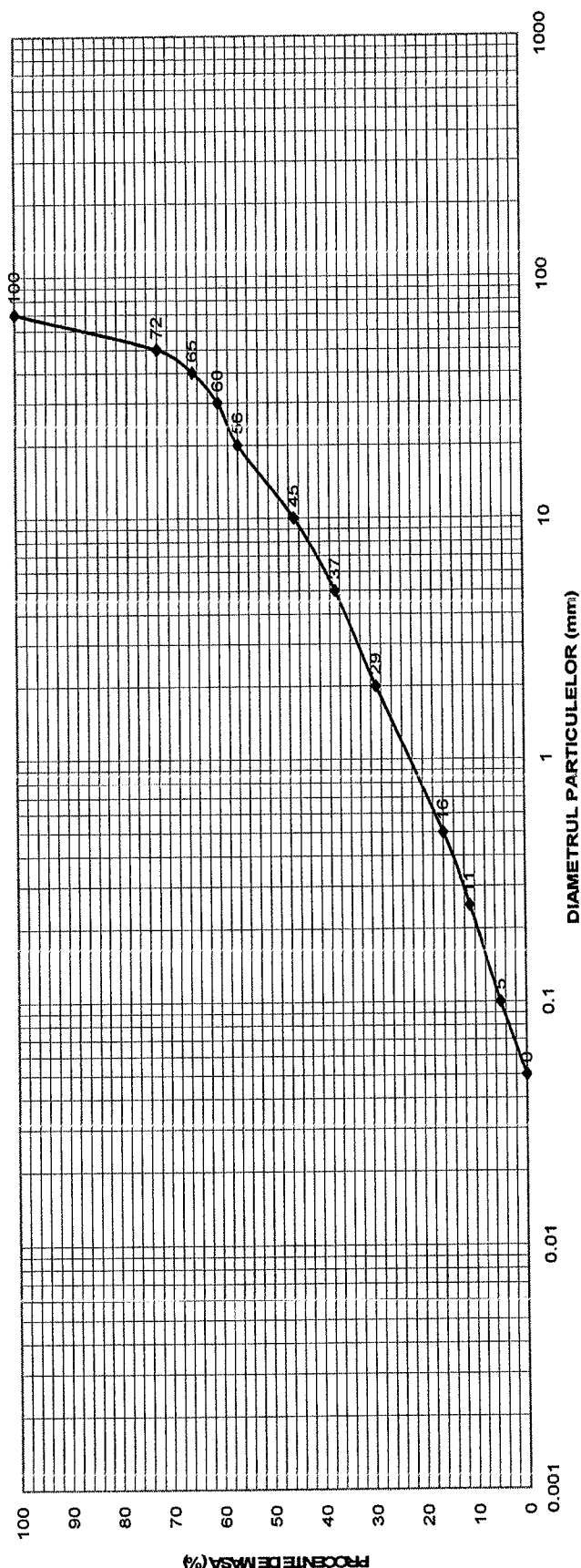


DIAGRAMA DISTRIBUTIEI GRANULOMETRICE
CONSTRUIRE PARC FOTOVOLTAIC UAT TEIUS, P 135, P 137, P 140, P 143, P 143/3, JUDET ALBA
FORAJ 23, PROBA 36806



0.002<d<0.005	Argila	-%	0.25<d<0.50	Nisip mijlociu	5%	20<d<70	Pietris mare	44%
0.005<d<0.05	Praf	-%	0.50<d<2	Nisip mare	13%	70<d<200	Bolovanis	-%
0.05<d<0.25	Nisip fin	11%	2<d<20	Pietris mic	27%	d >200	Blocuri	-%

Sef profil
ing. Popa Laetitia

LABOR TEST

Laborator geotehnic Gr. II
Autorizatie nr. 3015

SC LABOR TEST SRL
Ploiesti, str. Ineu, nr.3
Tel /Fax : 0721522208/0244595907

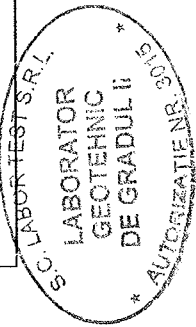
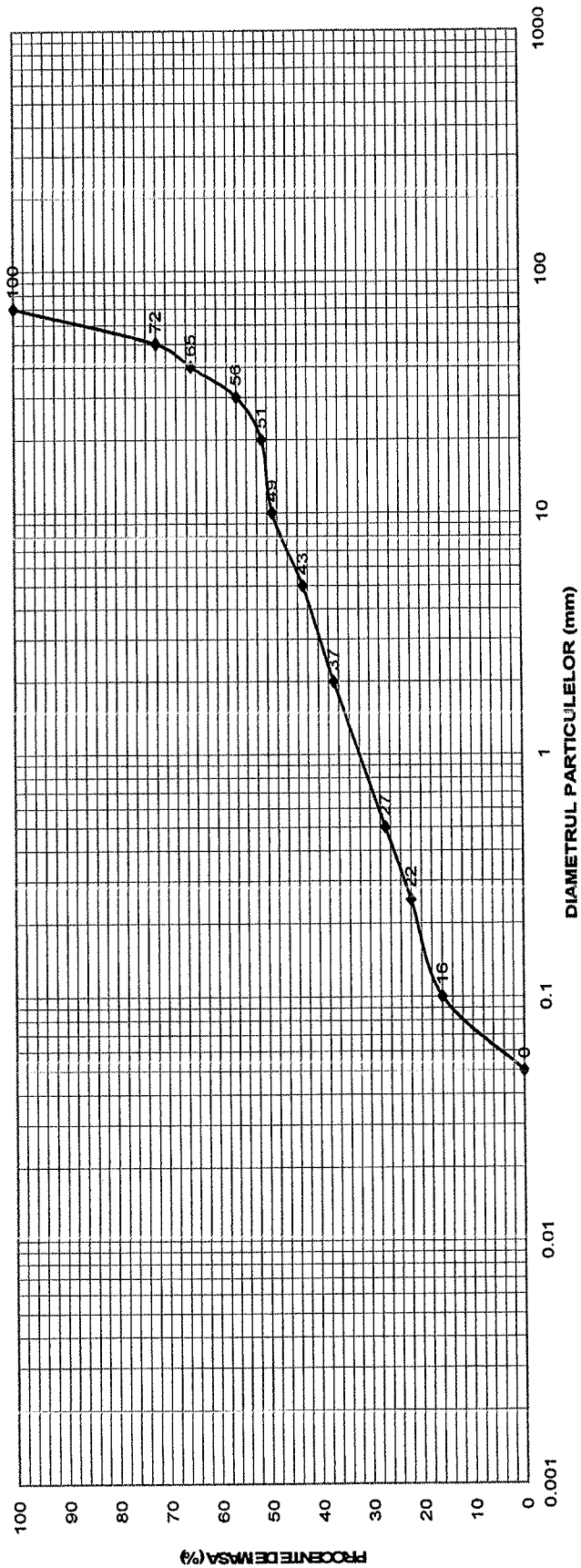


DIAGRAMA DISTRIBUTIEI GRANULOMETRICE
CONSTRUIRE PARC FOTOVOLTAIC UAT TEIUS, P 135, P 137, P 140, P 143, P 143/3, JUDET ALBA
FORAJ 24, PROBA 36808



0.002<d<0.005	Argila	-%	0.25<d<0.50	Nisip mijlociu	5%	20<d<70	Pietris mare	49%
0.005<d<0.05	Praf	-%	0.50<d<2	Nisip mare	10%	70<d<200	Bolovanis	-%
0.05<d<0.25	Nisip fin	22%	2<d<20	Pietris mic	14%	d >200	Blocuri	-%

Sef profil
ing. Popa Laetitia

LABOR TEST

Laborator geotehnic Gr. II
Autorizatie nr. 3015

SC LABOR TEST SRL
Ploiesti, str. Ineu, nr.3
Tel /Fax : 0721522208/0244595907

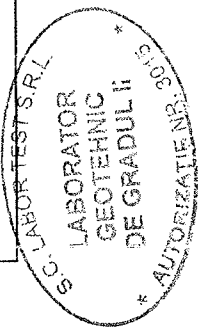
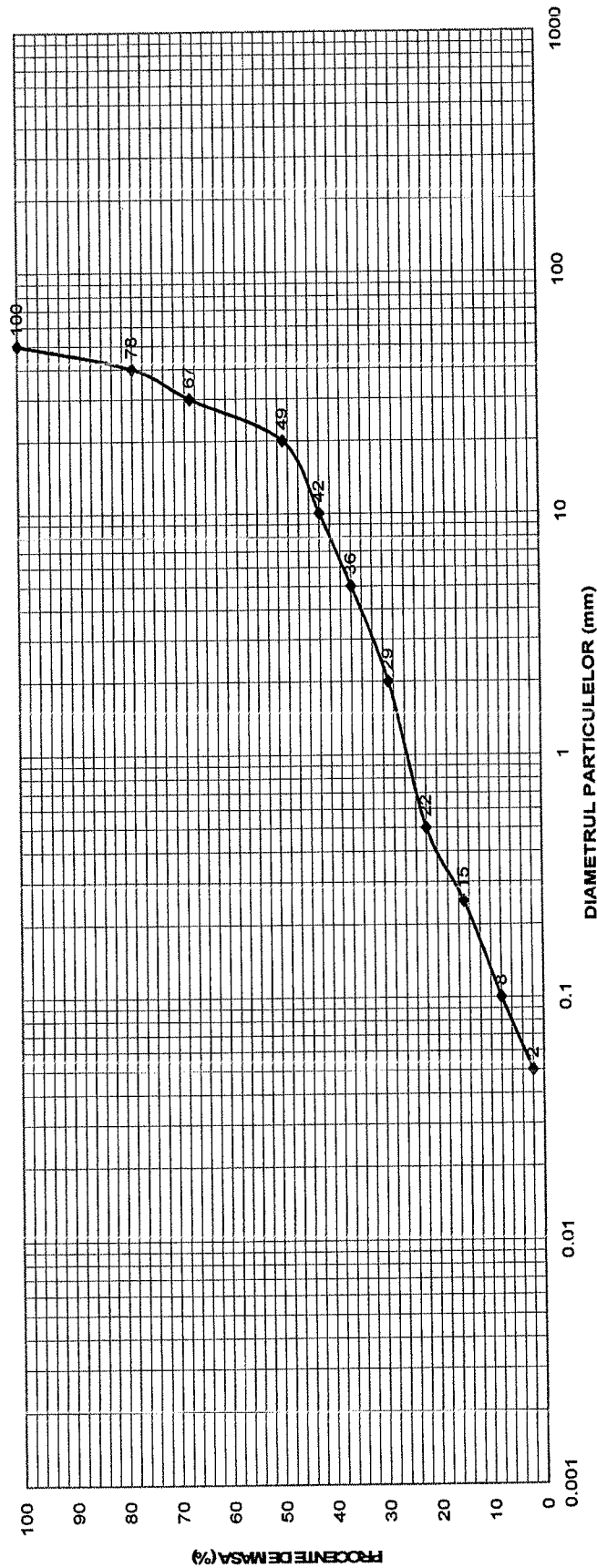


DIAGRAMA DISTRIBUTIEI GRANULOMETRICE
CONSTRUIRE PARC FOTOVOLTAIC UAT TEIUS, P 135, P 137, P 140, P 143, P 143/3, JUDET ALBA
FORAJ 25, PROBA 36810



0.002<d<0.005	Argila	%	0.25<d<0.50	Nisip mijlociu	7%	20<d<70	Pietris mare	51%
0.005<d<0.05	Praf	2%	0.50<d<2	Nisip mare	7%	70<d<200	Bolovanis	-%
0.05<d<0.25	Nisip fin	13%	2<d<20	Pietris mic	20%	d >200	Blocuri	-%

Sef profil
ing. Popa Laetitia

LABOR TEST

Laborator geotehnic Gr. II
Autorizatie nr. 3015

SC LABOR TEST SRL
Ploiesti, str. Ineu, nr.3
Tel./Fax : 0721522208/0244595907

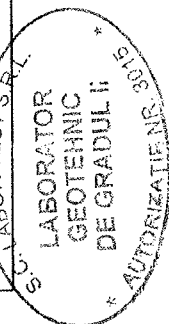
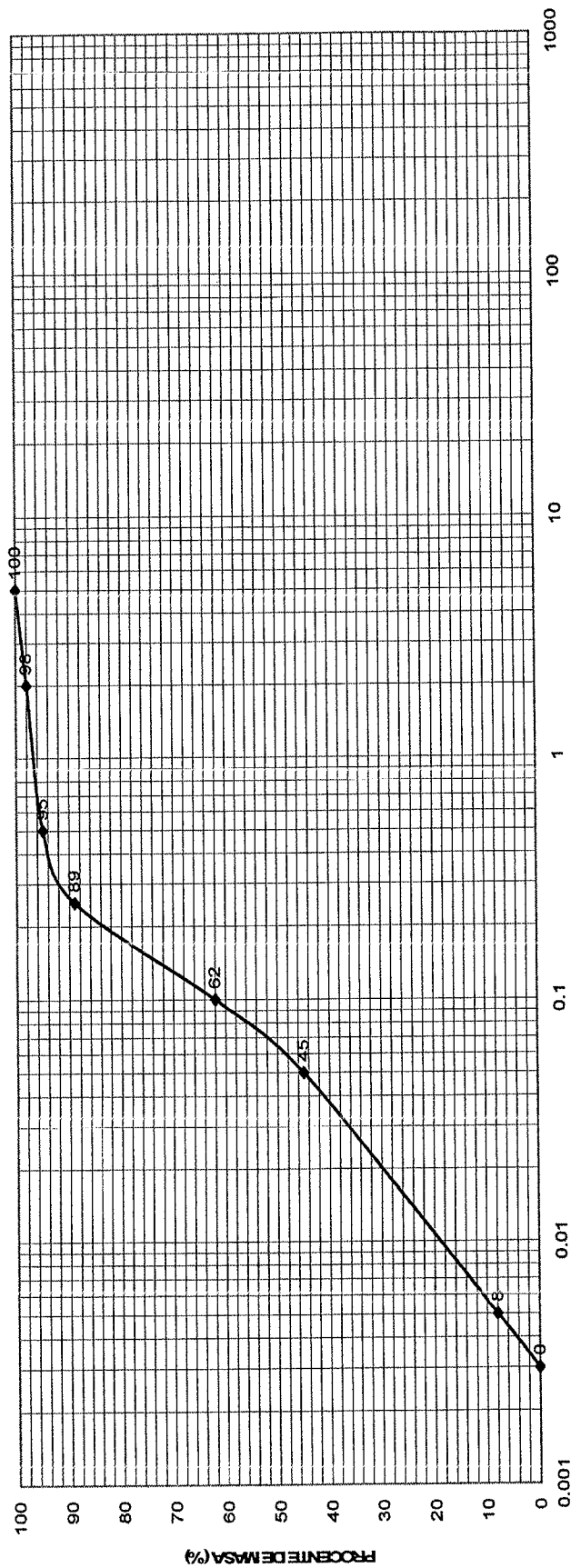


DIAGRAMA DISTRIBUTIEI GRANULOMETRICE
CONSTRUIRE PARC FOTOVOLTAIC UAT TEIUS, P 135, P 137, P 140, P 143, P 143/3, JUDET ALBA
FORAJ 26, PROBA 36811



DIAMETRUL PARTICULELOR (mm)

0.002<d<0.005	Argila	8%	0.25<d<0.50	Nisip mijlociu	6%	20<d<70	Pietris mare	-%
0.005<d<0.05	Praf	37%	0.50<d<2	Nisip mare	3%	70<d<200	Bolovanis	-%
0.05<d<0.25	Nisip fin	44%	2<d<20	Pietris mic	2%	d >200	Blocuri	-%

Sef profil
ing.Popa Laetitia

LABOR TEST

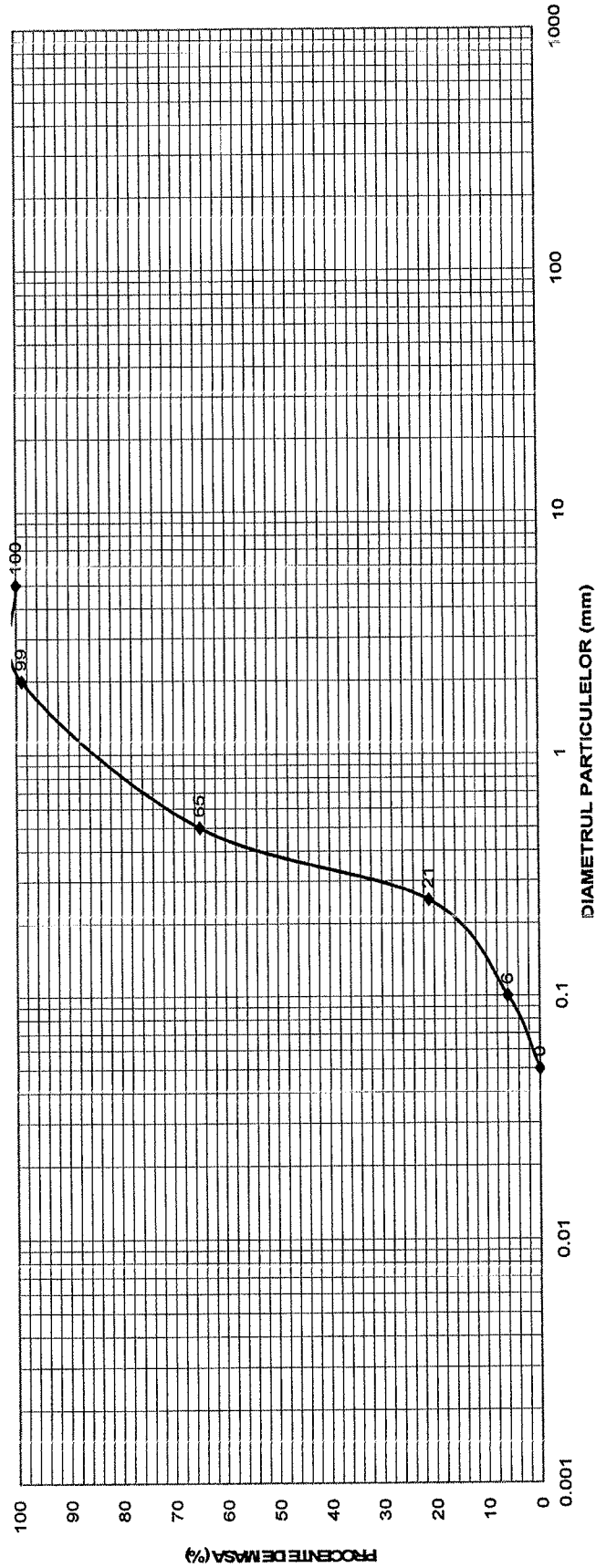
Laborator geotehnic Gr. II
Autorizatie nr. 3015

SC LABOR TEST SRL
Ploiesti, str. Ineu, nr.3
Tel./Fax : 0721522208/0244595907

LABORATOR
GEOTEHNIC
DE GRADUL II

AUTORIZATIE NR. 3015

DIAGRAMA DISTRIBUTIEI GRANULOMETRICE
CONSTRUIRE PARC FOTOVOLTAIC UAT TEIUS, P 135, P 137, P 140, P 143, P 143/3, JUDET ALBA
FORAJ 26, PROBA 36812



0.002<d<0.005	Argila	-%	0.25<d<0.50	Nisip mijlociu	44%	20<d<70	Pietris mare	-%
0.005<d<0.05	Praf	-%	0.50<d<2	Nisip mare	34%	70<d<200	Bolovanis	-%
0.05<d<0.25	Nisip fin	21%	2<d<20	Pietris mic	1%	d >200	Blocuri	-%

Sef profil
ing. Popa Laetitia

LABOR TEST

S.C. LABOR TEST S.R.L.

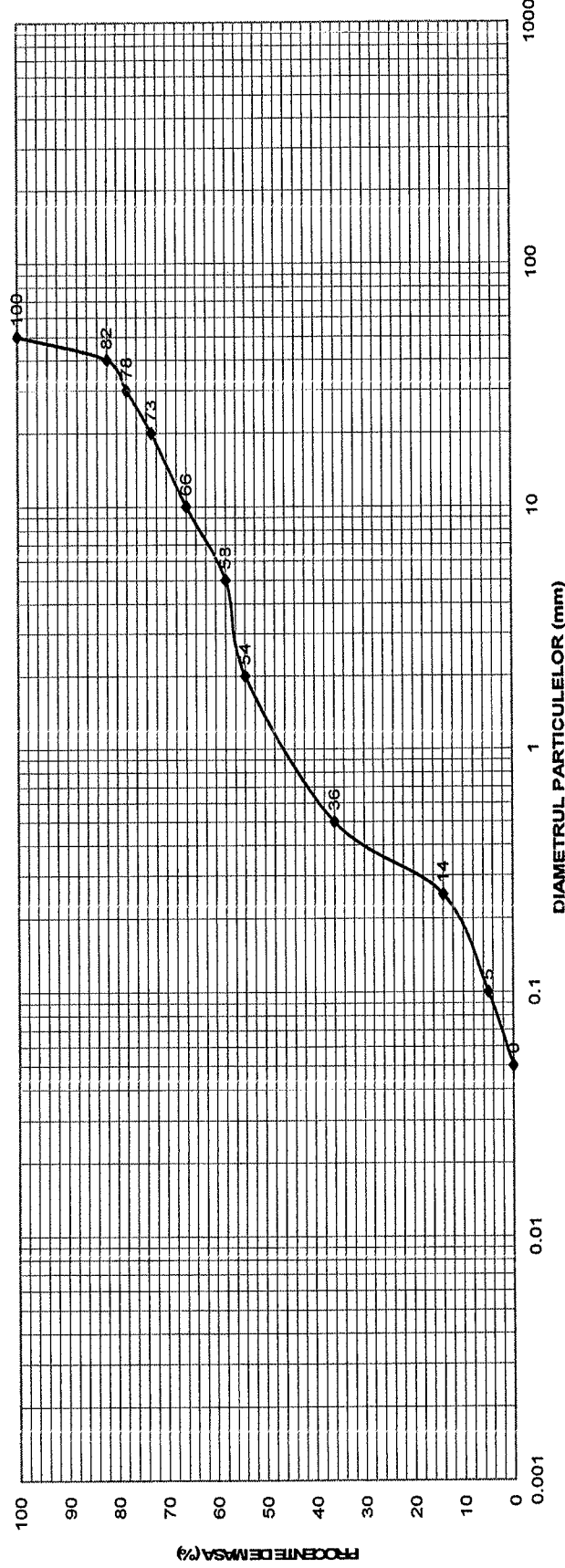
LABORATOR
GEOTEHNIC
DE GRADUL II *

* AUTORIZATIE NR. 3015

Laborator geotehnic Gr. II
Autorizatie nr. 3015

SC LABOR TEST SRL
Ploiesti, str. Ineu, nr.3
Tel./Fax : 0721522208/0244595907

DIAGRAMA DISTRIBUTIEI GRANULOMETRICE
CONSTRUIRE PARC FOTOVOLTAIC UAT TEIUS, P 135, P 137, P 140, P 143, P 143/3, JUDET ALBA
FORAJ 27, PROBA 36814



DIAMETRUL PARTICULELOR (mm)

0.002<d<0.005	Argila	-%	0.25<d<0.50	Nisip mijlociu	22%	20<d<70	Pietris mare	27%
0.005<d<0.05	Praf	-%	0.50<d<2	Nisip mare	18%	70<d<200	Bolovanis	-%
0.05<d<0.25	Nisip fin	14%	2<d<20	Pietris mic	19%	d >200	Blocuri	-%

Sef profil
ing. Popa Laetitia

LABOR TEST

Laborator geotehnic Gr. II
Autorizatie nr. 3015

SC LABOR TEST SRL
Ploiesti, str. Ineu, nr.3
Tel./Fax : 0721522208/0244595907

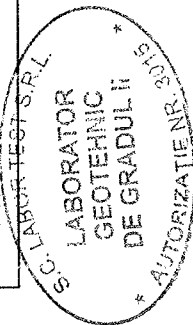
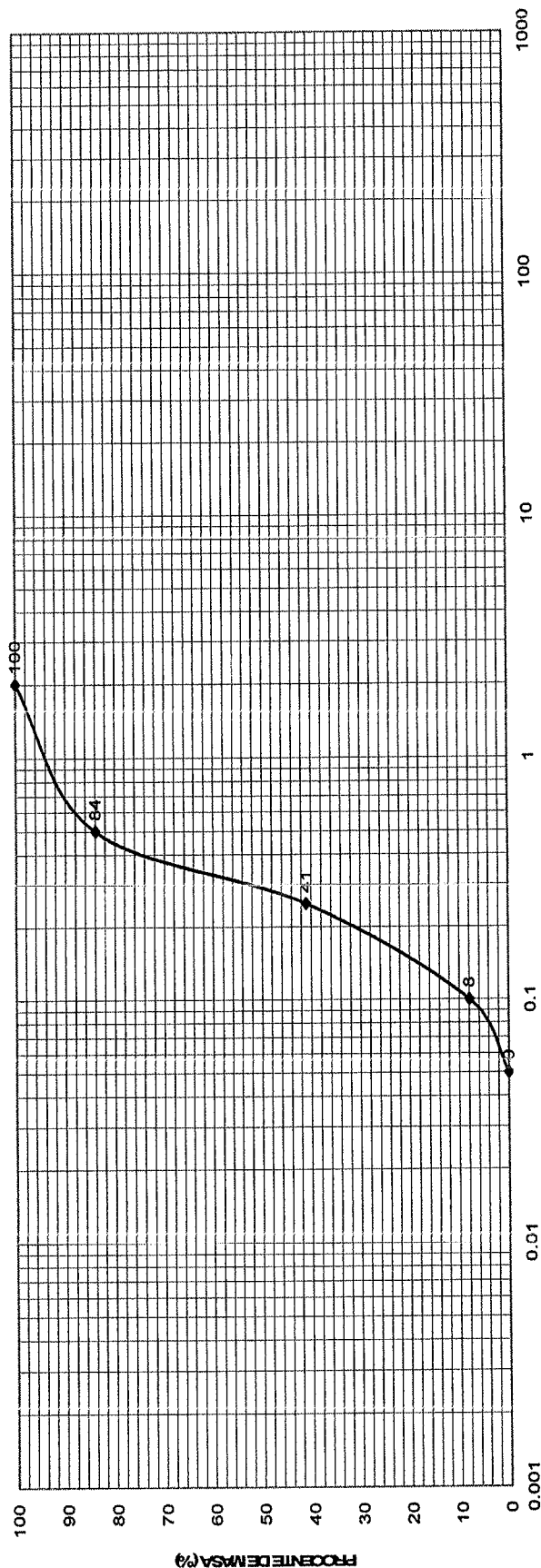


DIAGRAMA DISTRIBUTIEI GRANULOMETRICE
CONSTRUIRE PARC FOTOVOLTAIC UAT TEIUS, P 135, P 137, P 140, P 143, P 143/3, JUDET ALBA
FORAJ 28, PROBA 36816



DIAMETRUL PARTICULELOR (mm)

0.002<d<0.005	Argila	-%	0.25<d<0.50	Nisip mijlociu	43%	20<d<70	Pietris mare	-%
0.005<d<0.05	Praf	-%	0.50<d<2	Nisip mare	16%	70<d<200	Bolovanis	-%
0.05<d<0.25	Nisip fin	41%	2<d<20	Pietris mic	-%	d >200	Blocuri	-%

Sef profil
ing. Popa Laetitia

LABOR TEST

Laborator geotehnic Gr. II
Autorizatie nr. 3015

SC LABOR TEST SRL
Ploiesti, str. Ineu, nr.3
Tel./Fax : 0721522208/0244595907

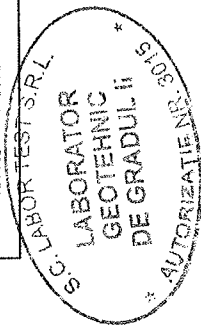
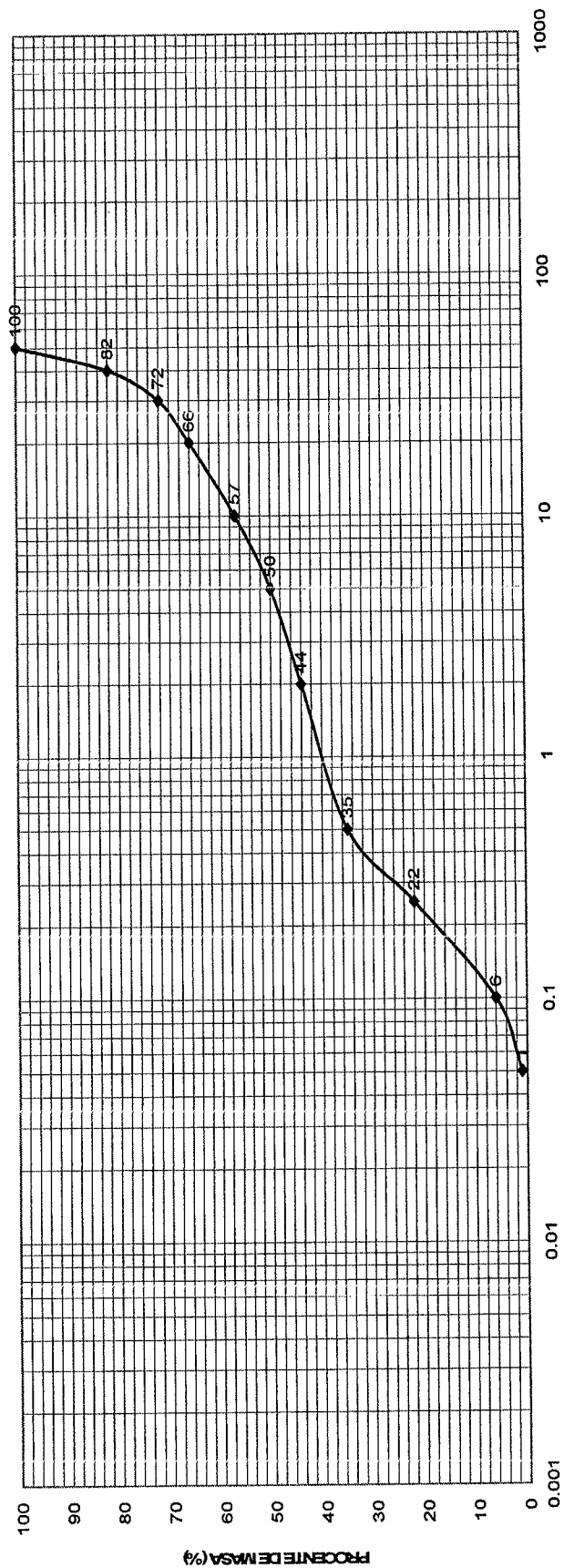


DIAGRAMA DISTRIBUTIEI GRANULOMETRICE
CONSTRUIRE PARC FOTOVOLTAIC UAT TEIUS, P 135, P 137, P 140, P 143, P 143/3, JUDET ALBA
FORAJ 29, PROBA 36818

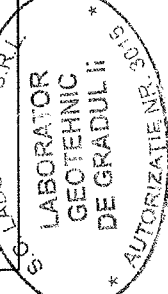


DIAMETRUL PARTICULELOR (mm)

0.002<d<0.005	Argila	-%	0.25<d<0.50	Nisip mijlociu	13%	20<d<70	Pietris mare	34%
0.005<d<0.05	Praf	1%	0.50<d<2	Nisip mare	9%	70<d<200	Bolovanis	-%
0.05<d<0.25	Nisip fin	21%	2<d<20	Pietris mic	22%	d >200	Blocuri	-%

Sef profil
ing. Popa Laetitia

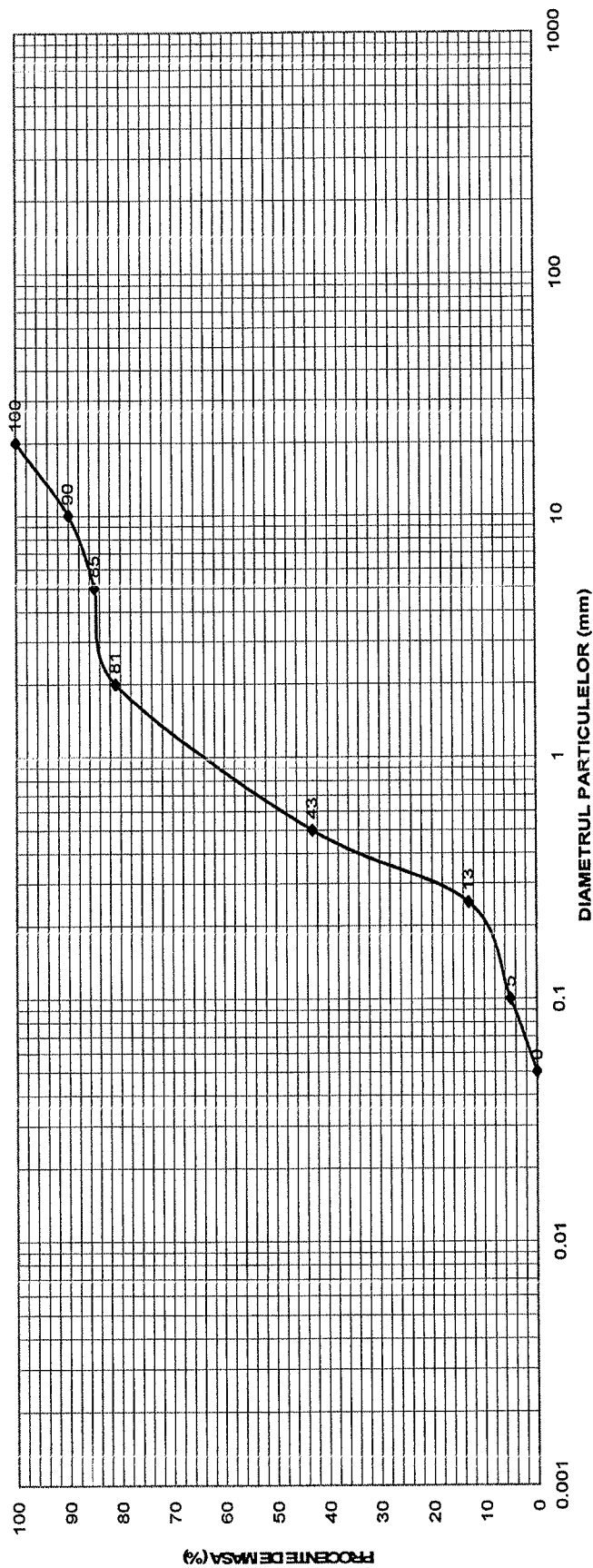
LABOR TEST



Laborator geotehnic Gr. II
Autorizatie nr. 3015

SC LABOR TEST SRL
Ploiesti, str. Ineu, nr.3
Tel./Fax : 0721522208/0244595907

DIAGRAMA DISTRIBUTIEI GRANULOMETRICE
CONSTRUIRE PARC FOTOVOLTAIC UAT TEIUS, P 135, P 137, P 140, P 143, P 143/3, JUDET ALBA
FORAJ 30, PROBA 36820



0.002<d<0.005	Argila	-%	0.25<d<0.50	Nisip mijlociu	30%	20<d<70	Pietris mare	-%
0.005<d<0.05	Praf	-%	0.50<d<2	Nisip mare	38%	70<d<200	Bolovanis	-%
0.05<d<0.25	Nisip fin	13%	2<d<20	Pietris mic	19%	d >200	Blocuri	-%

Sef profil
ing. Popa Laetitia



PETROSTAR S.A.

COMPANIE DE CERCETARE, INGINERIE TEHNOLOGICĂ ȘI PROIECTARE
PENTRU INDUSTRIA EXTRACTIVĂ DE PETROL ȘI GAZE

Bd. București nr. 37, 100520 Ploiești, PRAHOVA
Telefon : (0244) 513777 / 575963
Fax : (0244) 575412
www.petrostar.ro ; petrostar@petrostar.ro

Registrul Comerțului: J29 / 166 / 19.03.1991
Cod unic de înregistrare: RO1360296
Capital social: 3 380 173 lei

RAPORT DE ÎNCERCARE AChA nr. 05 / 25.01.2022

CLIENT: S.C. GEOLOGIC DON S.R.L.
ADRESA: PLOIEȘTI, STR. CHEIA, NR. 1, JUD. PRAHOVA
DENUMIREA LUCRĂRII:
PANOURI FOTOVOLTAICE TEIUȘ, JUD ALBA

NR. CONTRACT/COMANDA: 382/3551, ET. 12

Descrierea si identificarea probei (probelor) ce urmează a fi supusă (e) analizelor :

Probă apă Foraj 25, Cota = -2.3 m ;

Proba a fost prelevată de beneficiar, la data de: 20.01.2022 ;

Data primirii probei în laborator: 21.01.2022;

Data executării analizelor: 21.01.2022 - 25.01.2022

Multiplicarea sau utilizarea în alte scopuri a raportului de încercare fără aprobarea emitentului este interzisă ;

Raportul de încercare conține: 1 pagină.

REZULTATELE ÎNCERCĂRILOR

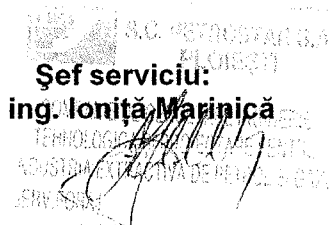
Analiză agresivitate apă Foraj 25, Cota= - 2.3 m PANOURI FOTOVOLTAICE TEIUȘ, JUD ALBA			Valori limită pentru evaluare conform SR EN 206-1		
Denumirea Încercării	Metoda de încercare utilizată	Rezultatul încercării	XA1	XA2	XA3
pH	SR ISO 4316	7,50	5,50 - 6,50	4,50 - 5,49	4,00-4,49
Sulfat (SO_4^{2-}), mg/L	SR EN 196-2	122.8	200 - 600	601 - 3000	3001-6000
CO_2 agresiv , mg/L	SR EN 13577	22.3	15 - 40	41 - 100	>100 pana la saturatie
Amoniu (NH_4^+), mg/L	SR ISO 7150-1	3.48	15 - 30	31 - 60	61-100
Magneziu (Mg^{2+}), mg/L	SR EN ISO 7980	30.7	300 - 1000	1001 - 3000	>3000 pana la saturatie

OBSERVATII:

- Pentru determinarea CO_2 agresiv, proba a fost conservată la primirea în laborator.
- Raportul se refera numai la proba încercată.

Efectuat:
Fediuc Andreea

Șef serviciu:
ing. Ioniță Marinică





PETROSTAR S.A.

COMPANIE DE CERCETARE, INGINERIE TEHNOLOGICĂ ȘI PROIECTARE
PENTRU INDUSTRIA EXTRACTIVĂ DE PETROL ȘI GAZE

Bd. București nr. 37, 100520 Ploiești, PRAHOVA
Telefon : (0244) 513777 / 575963
Fax : (0244) 575412
www.petrostar.ro ; petrostar@petrostar.ro

Registrul Comerțului: J29 / 166 / 19.03.1991
Cod unic de înregistrare: RO1360296
Capital social: 3 380 173 lei

RAPORT DE ÎNCERCARE AChA nr. 06 / 25.01.2022

CLIENT: S.C. GEOLOGIC DON S.R.L.
ADRESA: PLOIEȘTI, STR. CHEIA, NR. 1, JUD. PRAHOVA
DENUMIREA LUCRĂRII:
PANOURI FOTOVOLTAICE TEIUȘ, JUD ALBA

NR. CONTRACT/COMANDA: 382/3551, ET. 12

Descrierea și identificarea probei (probelor) ce urmează a fi supusă (e) analizelor :

Probă apă Foraj 1, Cota = -1.4 m ;

Proba a fost prelevată de beneficiar, la data de: 17.01.2022 ;

Data primirii probei în laborator: 21.01.2022;

Data executării analizelor: 21.01.2022 - 25.01.2022

Multiplicarea sau utilizarea în alte scopuri a raportului de încercare fără aprobarea emitentului este interzisă ;

Raportul de încercare conține: 1 pagină.

REZULTATELE ÎNCERCĂRILOR

Analiză agresivitate apă Foraj 1, Cota= -1.4 m PANOURI FOTOVOLTAICE TEIUȘ, JUD ALBA			Valori limită pentru evaluare conform SR EN 206-1		
Denumirea Încercării	Metoda de încercare utilizată	Rezultatul încercării	XA1	XA2	XA3
pH	SR ISO 4316	7,60	5,50 - 6,50	4,50 - 5,49	4,00-4,49
Sulfat (SO_4^{2-}), mg/L	SR EN 196-2	102.8	200 - 600	601 - 3000	3001-6000
CO_2 agresiv , mg/L	SR EN 13577	18.7	15 - 40	41 - 100	>100 pana la saturatie
Amoniu (NH_4^+), mg/L	SR ISO 7150-1	2.58	15 - 30	31 - 60	61-100
Magneziu (Mg^{2+}), mg/L	SR EN ISO 7980	25.7	300 - 1000	1001 - 3000	>3000 pana la saturatie

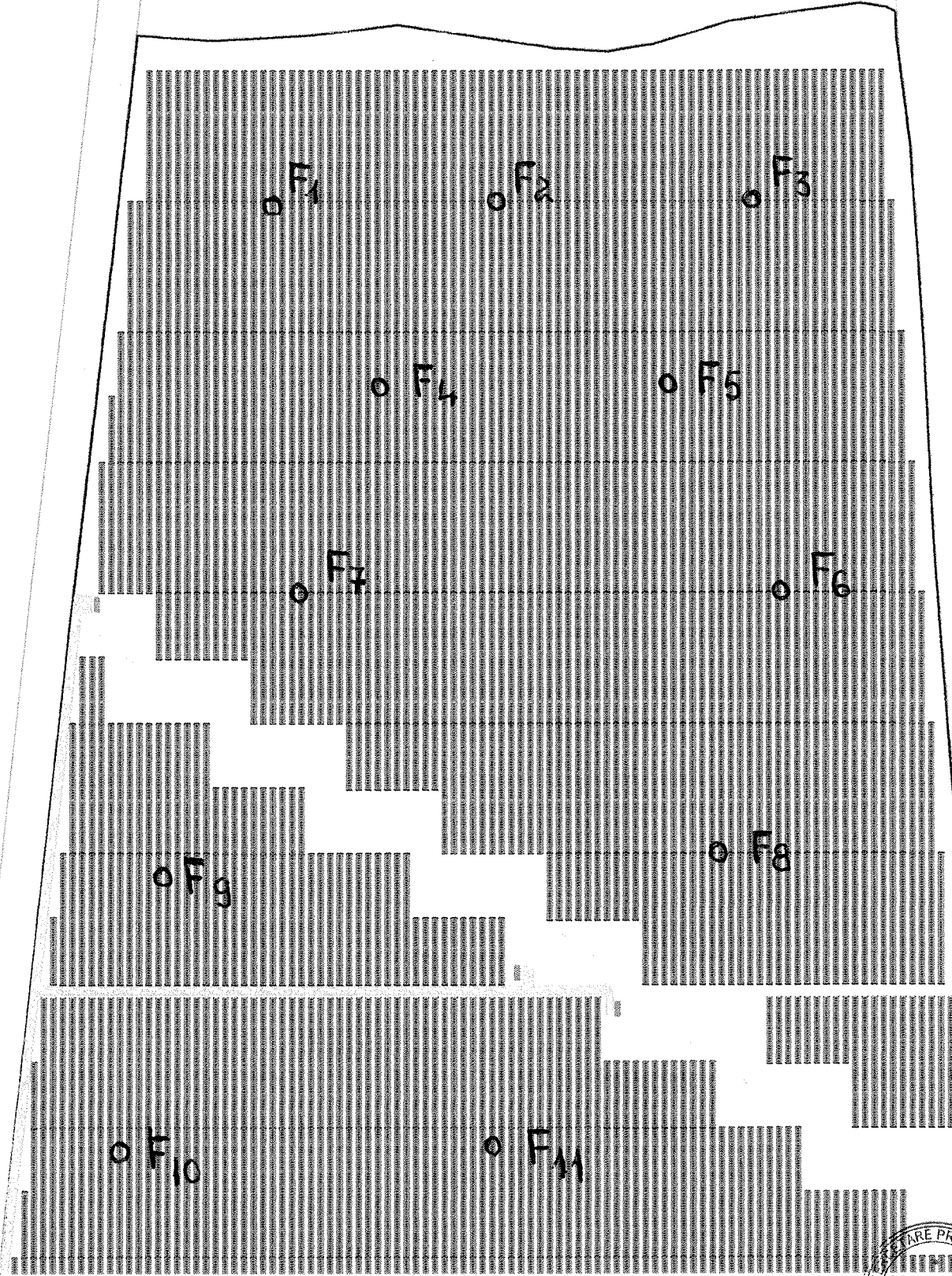
OBSERVAȚII:

- Pentru determinarea CO_2 agresiv, proba a fost conservată la primirea în laborator.
- Raportul se referă numai la proba încercată.

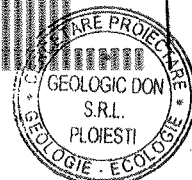
Efectuat:
Fediuc Andreea

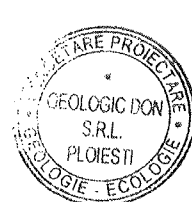
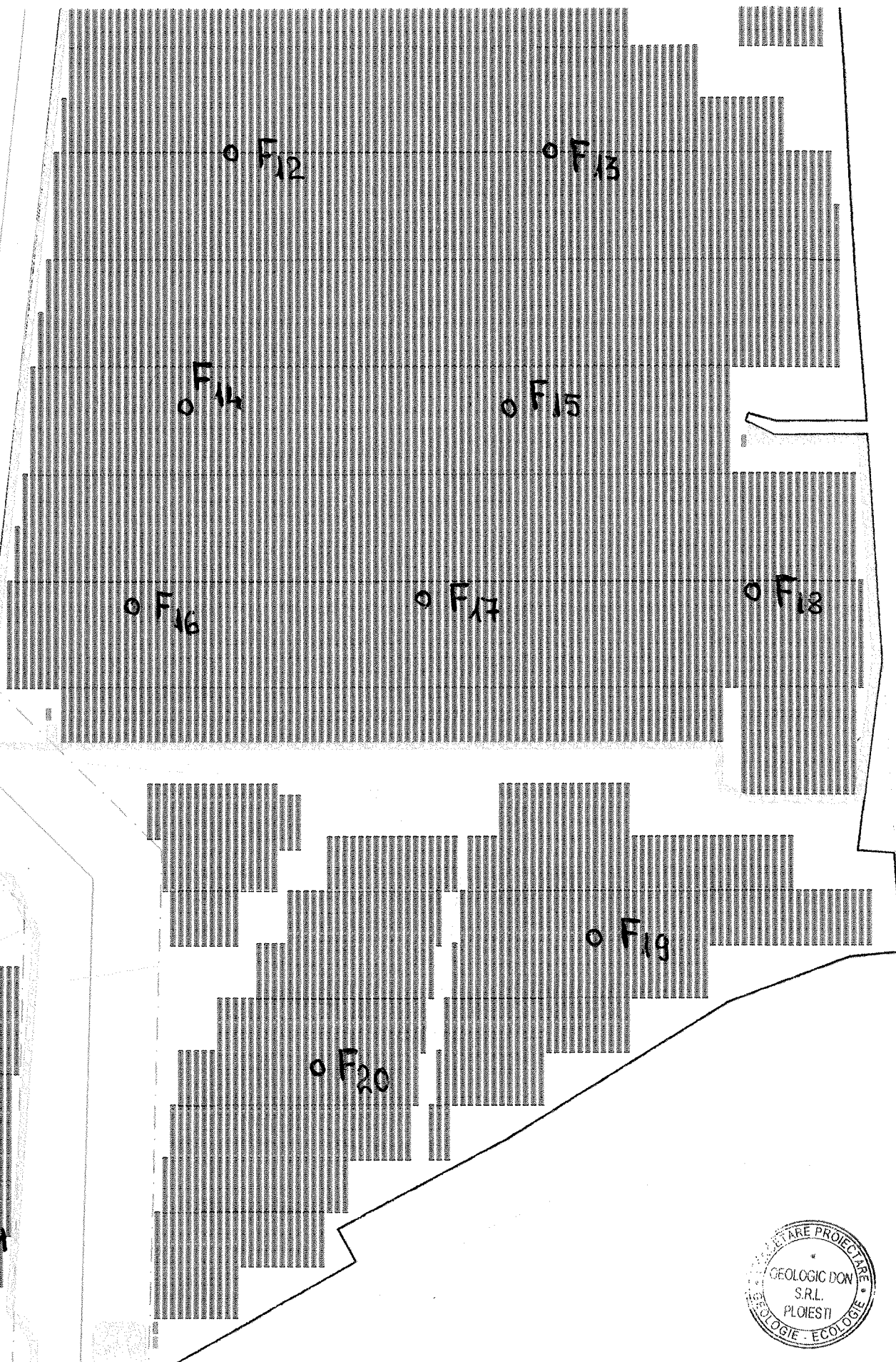
S.C. PETROSTAR S.A.
PLOIEȘTI

Șef serviciu:
ing. Ioniță Marinică

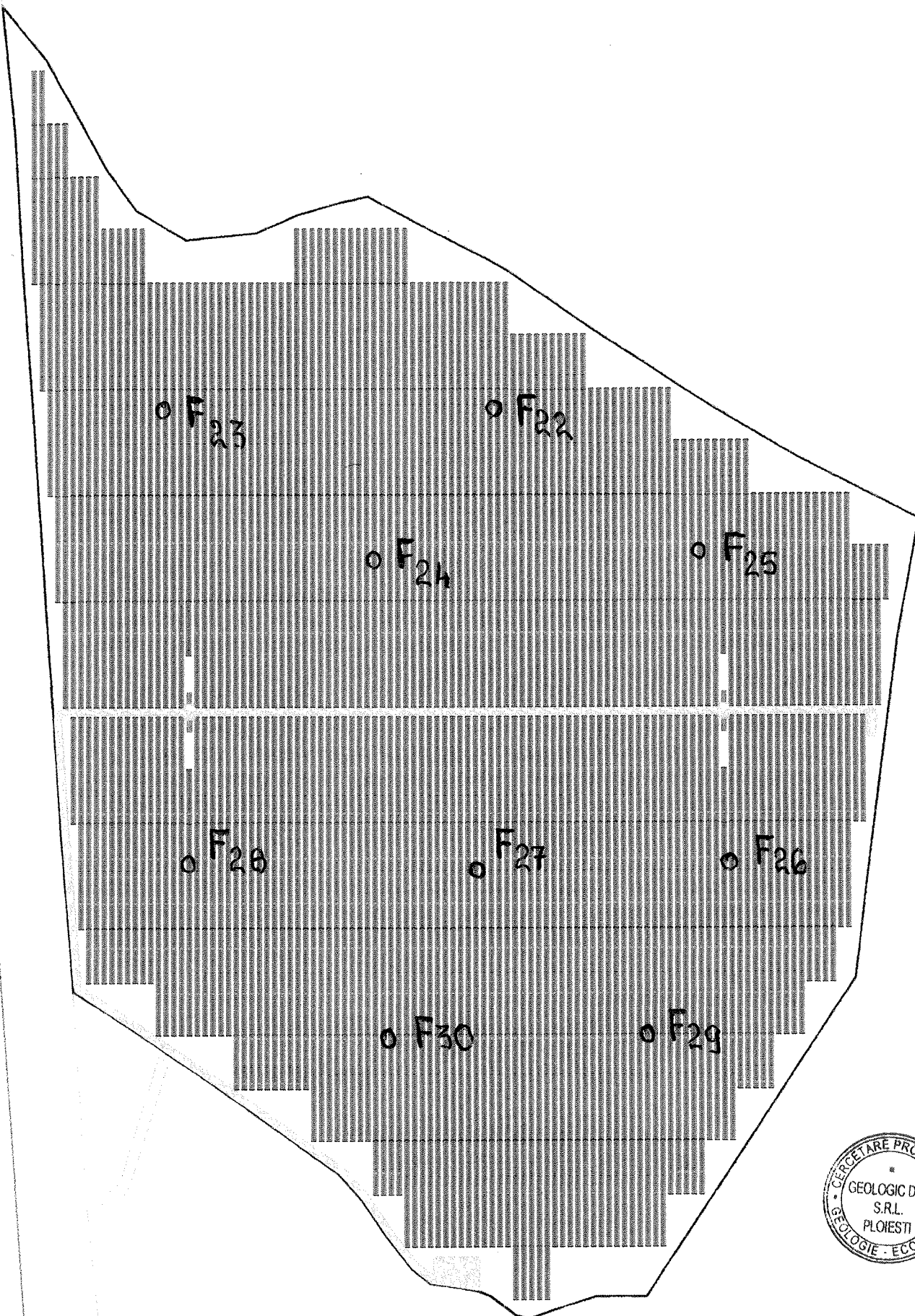


AMPLASAREA FORAJELOR GEOTEHNICE





AMPLASAREA FORAJELOR GEOTEHNICE



AMPLASAREA FORAJELOR GEOTEHNICE